

ZÁPADOČESKÁ UNIVERZITA V PLZNI
FAKULTA STROJNÍ

Studijní program: N 2301 Strojní inženýrství
Studijní obor: 2302T019 Stavba výrobních strojů a zařízení

DIPLOMOVÁ PRÁCE

Konstrukční návrh válečkovacího zařízení pro soustruh

Autor: **Bc. Martin BEBER**

Vedoucí práce: **Doc. Ing. Zdeněk HUDEC, CSc.**

Akademický rok 2019/2020

ZÁPADOČESKÁ UNIVERZITA V PLZNI

Fakulta strojní

Akademický rok: 2019/2020

ZADÁNÍ DIPLOMOVÉ PRÁCE

(projektu, uměleckého díla, uměleckého výkonu)

Jméno a příjmení: **Bc. Martin BEBER**

Osobní číslo: **S18N0024P**

Studijní program: **N2301 Strojní inženýrství**

Studijní obor: **Stavba výrobních strojů a zařízení**

Téma práce: **Návrh válečkovacího zařízení pro soustruh SR4000**

Zadávající katedra: **Katedra konstruování strojů**

Zásady pro vypracování

Základní požadavky:

Proveďte rešerše technologie válečkování. Proveďte analýzu požadavků na zařízení. Zpracujte varianty konstrukce válečkovacího zařízení. Vytvořte výkresovou dokumentaci a příslušné výpočty. Proveďte technicko ekonomické hodnocení konstrukce.

Základní technické údaje:

Technické parametry jsou uvedeny v příloze zadání.

Osnova diplomové práce:

1. Rešerše a analýza vlastností požadované konstrukce.
2. Projekt výrobku ve variantách.
3. Konstrukční návrh a výpočty výsledné varianty.
4. Dokumentace (výkresy a kusovník).
5. Technicko ekonomické hodnocení.

Rozsah diplomové práce: **50-70 stran A4**
Rozsah grafických prací: **dle potřeby**
Forma zpracování diplomové práce: **tištěná**

Seznam doporučené literatury:

HOSNEDL, S., KRÁTKÝ, J. *Příručka strojního inženýra 1.*. Praha: Computer Press, 1999

HUDEC, Z. *Posuvové mechanizmy – příklady*. Plzeň: ZČU, 2013

Podkladový materiál, výkresy, katalogy, apod. poskytnuté zadavatelem úkolu.

Vedoucí diplomové práce: **Doc. Ing. Zdeněk Hudec, CSc.**
Katedra konstruování strojů

Konzultant diplomové práce: **Ing. Pavel Klesa**
ŠKODA MACHINE TOOLS, a.s.

Datum zadání diplomové práce: **16. října 2019**

Termín odevzdání diplomové práce: **28. května 2020**



Doc. Ing. Milan Edl, Ph.D.
děkan

Prof. Ing. Václava Lašová, Ph.D.
vedoucí katedry

Prohlášení o autorství

Předkládám tímto k posouzení a obhajobě bakalářskou/diplomovou práci, zpracovanou na závěr studia na Fakultě strojní Západočeské univerzity v Plzni.

Prohlašuji, že jsem tuto bakalářskou/diplomovou práci vypracoval samostatně, s použitím odborné literatury a pramenů, uvedených v seznamu, který je součástí této bakalářské/diplomové práce.

V Plzni dne:

.....
podpis autora

ANOTAČNÍ LIST DIPLOMOVÉ PRÁCE

AUTOR	Příjmení Bc. Beber		Jméno Martin
STUDIJNÍ OBOR	2301R016 „Stavba výrobních strojů a zařízení“		
VEDOUCÍ PRÁCE	Příjmení (včetně titulu) Doc. Ing. Hudec, CSc.	Jméno Zdeněk	
PRACOVÍSTĚ	ZČU - FST - KKS		
DRUH PRÁCE	DIPLOMOVÁ	BAKALÁŘSKÁ	Nehodící se škrtněte
NÁZEV PRÁCE	Konstrukční návrh válečkovacího zařízení pro soustruh		

FAKULTA	strojní	KATEDRA	KKS	ROK ODEVZD.	2020
---------	---------	---------	-----	----------------	------

POČET STRAN (A4 a ekvivalentů A4)

CELKEM	204	TEXTOVÁ ČÁST	50	GRAFICKÁ ČÁST	154
--------	-----	--------------	----	------------------	-----

STRUČNÝ POPIS (MAX 10 ŘÁDEK) ZAMĚŘENÍ, TÉMA, CÍL POZNATKY A PŘÍNOSY	Diplomová práce obsahuje rešerši problematiky technologie válečkování a návrh válečkovacího zařízení pro soustruh.
KLÍČOVÁ SLOVA ZPRAVIDLA JEDNOSLOVNÉ POJMY, KTERÉ VYSTIHUJÍ PODSTATU PRÁCE	válečkování, CAD, návrh, design

SUMMARY OF DIPLOMA SHEET

AUTHOR	Surname Bc. Beber		Name Martin
FIELD OF STUDY	2301R016 "Design of Manufacturing Machines and Equipment"		
SUPERVISOR	Surname (Inclusive of Degrees) Doc. Ing. Hudec, CSc.		Name Zdeněk
INSTITUTION	ZČU - FST - KKS		
TYPE OF WORK	DIPLOMA	BACHELOR	Delete when not applicable
TITLE OF THE WORK	Design of roller burnishing tool for lathe		

FACULTY	Mechanical Engineering	DEPARTMENT	Machine Design	SUBMITTED IN	2020
----------------	------------------------	-------------------	----------------	---------------------	------

NUMBER OF PAGES (A4 and eq. A4)

TOTALLY	204	TEXT PART	50	GRAPHICAL PART	154
----------------	-----	------------------	----	-----------------------	-----

BRIEF DESCRIPTION TOPIC, GOAL, RESULTS AND CONTRIBUTIONS	The thesis disserts on roller burnishing technology and contains a proposed solution of roller burnishing machine for lathe.
KEY WORDS	roller burnishing, design, CAD,

Poděkování

Děkuji vedoucímu mé diplomové práce Doc. Ing. Zdeňku Hudcovi, CSc. za čas, trpělivost, odborné vedení mé práce a cenné rady, které mi poskytl.

Děkuji své rodině za podporu a zázemí poskytnuté při studiu.

Obsah

Obsah.....	1
Seznam obrázků	3
Seznam tabulek	4
Seznam příloh.....	4
1. Úvod	5
1.1. Téma diplomové práce	5
1.2. Historie společnosti Škoda Machine Tool a.s.	5
1.3. Hrotové soustruhy ŠKODA SR	8
2. Technologie Válečkování.....	9
2.1. Podstata válečkování	9
2.2. Druhy válečkování.....	10
2.2.1. Statické válečkování.....	10
2.2.2. Dynamické válečkování	11
2.3. Příprava operace	11
2.4. Optimální velikost přítlačné síly při válečkování.....	11
2.5. Rychlosť válečkování.....	12
2.6. Posuv nástroje	12
2.7. Převálečkování.....	12
2.8. Metody chlazení a mazání	12
3. Konkurenční řešení	13
3.1. ROLLER 2800 CNC	13
4. Specifikace zadaných požadavků a parametrů	15
5. Konstrukční návrh	16
5.1. Použitý software	16
5.2. Volba koncepce řešení.....	16
5.3. Návrh válečkovací hlavy	17
5.3.1. Spektrum zatížení a materiál	18
5.3.2. Varianta 1	18
5.3.3. Varianta 2	20
5.3.4. Varianta 3	22
5.3.5. Vyhodnocení variant a volba uložení	23
5.3.6. Vyhlazovací váleček.....	24
5.3.7. Návrh otáčení válečkovací hlavy	24
5.4. Návrh přítlačného mechanismu a hydraulického obvodu	27
5.4.1. Návrh hydromotoru	27
5.4.2. Volba čerpadla a elektromotoru	29
5.4.3. Návrh hydraulického agregátu a potrubí	30
5.5. MKP analýza vedení pinoly	33
5.5.1. Vstupní parametry	33
5.5.2. Definice úlohy	34
5.5.3. Tvorba sítě.....	36
5.5.4. Okrajové podmínky a kontakty	38
5.5.5. Výsledky MKP analýzy	40
5.5.6. Vyhodnocení MKP analýzy	42
5.6. Návrh natáčení válečkovacích hlav	43
5.6.1. Upnutí spojky	43

5.6.2.	Zdvihací mechanismus.....	44
5.6.3.	Otočný mechanismus	45
5.7.	Návrh vedení saní	46
5.8.	Návrh posuvového mechanismu.....	47
5.9.	Návrh chlazení.....	48
6.	Technickoekonomické hodnocení a závěr	49
	Použité zdroje.....	50

Seznam obrázků

Obrázek 1: Klikový hřídel Škoda	5
Obrázek 2: První těžká CNC horizontka	6
Obrázek 3: Soustruh typu SROV	7
Obrázek 4: Soustružení na stroji SR [11]	8
Obrázek 5: Kvalita povrchu [14]	9
Obrázek 6: Tok materiálu [14]	9
Obrázek 7: Zvýšení meze únavy [13]	10
Obrázek 8: Statické válečkování [16]	10
Obrázek 9: Nástroj pro dynamické válečkování [17]	11
Obrázek 10: Roller 2800 CNC [10]	13
Obrázek 11: Roller 2800 CNC, schéma [10]	14
Obrázek 12: Profil lože soustruha typu SR4000	15
Obrázek 13: Schéma konceptu konstrukce	16
Obrázek 14: Kinematické schéma	17
Obrázek 15: Řešení tvaru válečkovací hlavy	17
Obrázek 16: Uložení válečku, varianta 1	19
Obrázek 17: Posunutí, varianta 1	19
Obrázek 18: Natočení, varianta 1	19
Obrázek 19: Reakce, varianta 1	20
Obrázek 20: Redukované napětí, varianta 1	20
Obrázek 21: Uložení válečku, varianta 2	20
Obrázek 22: Natočení, varianta 2	21
Obrázek 23: Posunutí, varianta 2	21
Obrázek 24: Redukované napětí, varianta 2	21
Obrázek 25: Reakce, varianta 2	21
Obrázek 26: Uložení válečku, varianta 3	22
Obrázek 27: Posunutí, varianta 3	22
Obrázek 28: Natočení, varianta 3	22
Obrázek 29: Reakce, varianta 3	23
Obrázek 30: Redukované napětí, varianta 3	23
Obrázek 31: Uložení tvářecího válečku	23
Obrázek 32: Vyhazovací váleček	24
Obrázek 33: Otočný mechanismus válečkovací hlavy	25
Obrázek 34: Upnutí válečkovací hlavy	25
Obrázek 35: Zatížení válečkovací hlavy	26
Obrázek 36: Utahovací moment šroubů válečkovací hlavy	26
Obrázek 37: Přitlačný mechanismus	27
Obrázek 38: Hydromotor	28
Obrázek 39: Utahovací moment šroubů příruby hydromotoru	28
Obrázek 40: Ukázka katalogu čerpadel Rexroth [20]	29
Obrázek 41: Nádrž s víkem	30
Obrázek 42: Hydraulický agregát	31
Obrázek 43: Hydraulické schéma	32
Obrázek 44: Uložení hydraulického obvodu	33
Obrázek 45: Působení sil	34
Obrázek 46: Idealizovaný model	34
Obrázek 47: Idealizovaný model	35
Obrázek 48: Idealizovaný model	35

Obrázek 49: Idealizovaný model.....	36
Obrázek 50: Detail na rozdělené plochy	36
Obrázek 51: 3D síť	37
Obrázek 52: Detail na nahrazené šrouby.....	37
Obrázek 53: Nahrazení hydromotoru.....	38
Obrázek 54: Upnutí	38
Obrázek 55: Síly.....	39
Obrázek 56: Okrajové podmínky a kontakty	39
Obrázek 57: Celkové posunutí	40
Obrázek 58: Průběh napětí (Von mises) ve vedení pinoly	40
Obrázek 59: Průběh napětí (Von mises) v pinole.....	41
Obrázek 60: Průběh napětí (Von mises) v nalisování	41
Obrázek 61: Průběh napětí (Von mises) tělesa hlavy	42
Obrázek 62: Řez natáčecím mechanismem.....	43
Obrázek 63: Síla a stlačení talířových pružin.....	44
Obrázek 64: Předepnutí šroubů sestavy zdvihu	45
Obrázek 65: Předepnutí šroubů příruby	45
Obrázek 66: Valivé jednotky.....	46
Obrázek 67: Posuvový mechanismus Wittenstein	47
Obrázek 68: Válečkovací zařízení.....	48

Seznam tabulek

Tabulka 1: Parametry pružin	43
Tabulka 2: Vstupní parametry posuvu	47
Tabulka 4: Technické hodnocení	49

Seznam příloh

- Příloha č. 1: Zatížení válečku
- Příloha č. 2: Uložení válečku, varianta 1
- Příloha č. 3: Uložení válečku, varianta 2
- Příloha č. 4: Uložení válečku, varianta 3
- Příloha č. 5: Kontrola šroubů upnutí válečkovací hlavy
- Příloha č. 6: Výpočet vedení pinoly
- Příloha č. 7: Kontrola šroubů příruby hydromotoru
- Příloha č. 8: Návrh hydraulického obvodu pro řízení přítlaku
- Příloha č. 9: Výpočet hirthovy spojky
- Příloha č. 10: Hirthovo ozubení
- Příloha č. 11: Výpočet talířových pružin
- Příloha č. 12: Výpočet šroubů zdvihače tělesa
- Příloha č. 13: Výpočet šroubů otočného tělesa
- Příloha č. 14: Návrh valivého vedení
- Příloha č. 15: Valivé jednotky
- Příloha č. 16: Mechanismus posuvu

1. Úvod

1.1. Téma diplomové práce

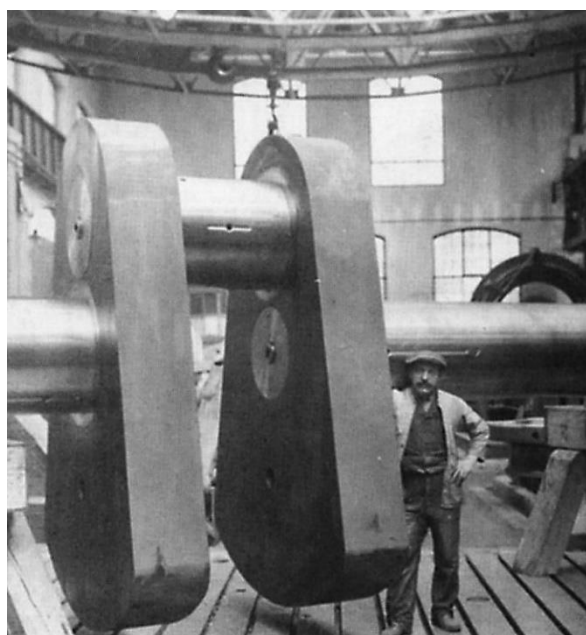
Tato diplomová práce se zabývá návrhem válečkovacího zařízení jako speciálního příslušenství pro soustruh SR4000. Před samotným návrhem zařízení se formou rešerše pojednává o technologii válečkování. Téma práce bylo zadáno firmou Škoda Machine Tool a.s.

1.2. Historie společnosti Škoda Machine Tool a.s.

Škoda Machine Tool a.s. je jedním z nejvýznamnějších světových výrobců těžkých horizontálních frézovacích a vyvrtávacích strojů, těžkých soustruhů, otočných stolů, speciálního příslušenství a dalších zařízení. [3] Tato akciová společnost navázala na strojírenskou výrobu Škodových závodů, které v roce 1859 založil v Plzni hrabě Valdštejn. Rozšíření, úspěchů a světového věhlasu však strojírny dosáhly až za nového majitele, který jim dal i své jméno. Emil Škoda nastoupil do strojírenských závodů nejdříve jako hlavní inženýr. Po třech letech, v roce 1869, továrnu, ve které tehdy pracovalo 100 lidí, koupil. Za jeho vedení zažily Škodovy závody velmi dynamický rozvoj v mnoha strojírenských odvětvích. V osmdesátých letech byla vybudována moderní ocelárna, ve které se vyráběly velké ocelové odlitky a výkovky. V průběhu let se zde vyrábělo mnoho výrobků i pro export do celého světa. Byly to například strojní části cukrovarů, pivovarů, zdymadel, elektráren, mostních konstrukcí, parních strojů, nebo lodí. V roce 1899 se z podniku stala akciová společnost. Ještě před první světovou válkou Škodovy závody zaujaly prvenství ve zbrojném průmyslu Rakouska – Uherska. Dodávaly dělostřeleckou výzbroj námořnictvu i pozemnímu vojsku. V této době zde pracovalo 35 tisíc lidí. Po roce 1918 se Škodovka stala mnohooborovým koncernem. Výroba se rozšířila o nové obory, jako byly parní a později elektrické lokomotivy, které se velmi brzy vyvážely nejen do Evropy, ale i do Číny, Indie, Afriky, Ameriky, Kolumbie, nebo Litvy. V roce 1911 zahájily Škodovy závody výrobu vlastních obráběcích strojů. V roce 1920 se zde začaly vyrábět soustruhy pro opracování klikových hřídelí. [2]

V roce 1923 byla do obchodního rejstříku zapsána značka Škodových závodů, dnes tak známý okřídený šíp v kruhu. Šíp symbolizuje rychlosť, jeho křídla pokrok a volnost, oko v křídle poukazuje na přesnost a vnímavost k okolí a kruh je symbolem jednoty, úplnosti, světla a harmonie. Autorem loga je František Michl. [5]

S touto značkou vyjela v roce 1926 první trojčítá rychlíková lokomotiva, přezdívaná Mikádo. O rok později to byla rychlíková elektrická lokomotiva. Velké obliby získal tzv. Modrý šíp, což byl velmi spolehlivý kolejový vůz se spalovacím motorem. Později, byly ve Škodovce zkonstruovány a vyrobeny první trolejbusy a tramvaje. [2] S vývojem a výrobou užitkových automobilů Škoda začala společnost po fúzi s automobilovým podnikem Laurin & Klement v roce 1925,



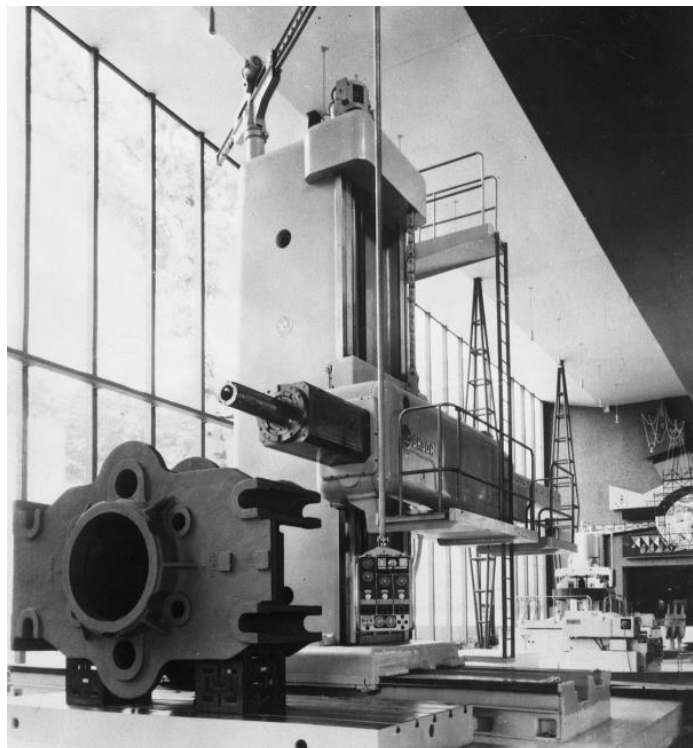
Obrázek 1: Klikový hřídel Škoda

kdy se automobilka po požáru dostala do velkých finančních problémů. Úspěšné modely, které brzy poté vyjely z plzeňského závodu, byly v roce 1932 Škoda 420, která byla přejmenována na Škoda Popular, Škoda Superb, Škoda Rapid a v roce 1936 Škoda Favorit. [4]

Koncern Škoda založil v roce 1927 Československou leteckou společnost jako akciovou společnost se základním kapitálem 8 milionů korun. Její první letadla byla Avia B.H.25. Soustředila se na mezinárodní leteckou dopravu. Po 2. světové válce ale svoji činnost neobnovila. [6] V roce 1929 Škoda koupila pražskou leteckou továrnu Avia, kam se soustředila letecká výroba.

V roce 1928 se započalo s výstavbou zbrojního závodu na Slovensku v Dubnici nad Váhom, kde se před válkou vyráběly především děla a munice. [7] Za okupace a během 2. světové války byl celý Škoda koncern včleněn do zbrojního programu nacistického Německa. Zbrojní výroba byla rozšířena, vyráběly se zde dělostřelecké zbraně, granáty, polnice a houfnice, minometry, nebo protitanková děla. Němci zadávali výrobu zbraní podle vlastní dokumentace, vyráběly se zde také lokomotivy podle jednotné německé konstrukce. [1] V roce 1940 slavila firma velký úspěch, když zavedla do sortimentu elektromotory. [2] V dubnu 1944 ve Škodovce pracovalo více než 12 tisíc zaměstnanců. 25. dubna 1945 však bylo leteckým bombardováním spojenců zničeno 70 procent plzeňského podniku. Přes rozsáhlé škody se podařilo výrobu velmi rychle obnovit. Po válce byl koncern zestátněn a postupně se od Škodových závodů osamostatňovaly jeho části, jako automobilka v Mladé Boleslavě, letecká továrna Avia v Praze a také závody na Slovensku. Výroba v Plzni se začala soustředit na těžké strojírenství, průmyslovou výstavbu, dopravní prostředky pro hromadnou dopravu a na energetiku. [1] V roce 1958 zaznamenala velký mezinárodní úspěch horizontální vyvrtávačka Škoda WD 200, která získala zlatou medaili na výstavě Expo v Bruselu. Tento stroj vykazoval vysokou přesnost a efektivitu obrábění. Byl postupně inovován a do roku 1974 se jich vyrobilo rekordní množství 1200 ks. [8]

V polovině sedmdesátých let byla vyvinuta první těžká horizontka, která byla ovládána CNC systémem, což bylo ve své době světovým unikátem. [2] Od sedmdesátých let Škodovka rozšířila vývoz svých výrobků především do zemí RVHP, ale i do dalších zemí Evropy, Asie, Afriky i Ameriky. Jednalo se o širokou škálu strojů a zařízení. Z dopravní techniky to byly elektrické lokomotivy a trolejbusy, ze strojních a investičních celků se vyvážely především cukrovary, pivovary, lihovary nebo rafinerie, z energetiky to byly jaderné reaktory, turbíny, generátory a transformátory. Dále se vyvážely tabákové stroje a varny. V roce 1990 byl zrušen státní podnik a vznikla akciová společnost Škoda, koncern, Plzeň. V dalších letech proběhla privatizace.



Obrázek 2: První těžká CNC horizontka

Od roku 1994 nesla společnost jméno Škoda a.s. Reorganizace přinesla rozdělení na 25 dceřiných společností s ručením omezeným a kumulovanou ztrátou 13 miliard korun. Přes snahy o stabilizaci byl v roce 2001 na Škodu a.s. vyhlášen konkurs. Poté dostala společnost nový název podle většinového vlastníka Škoda Holding, a.s. a Škoda Investment, a.s. [1]

Škoda machine Tool s.r.o. (dále ŠMT) vznikla v roce 1993 založením společného podniku závodu Obráběcí stroje Škoda a německé firmy Dörries Scharman. Na základě společné dohody se v Plzni vyráběly těžké horizontky typu Heavycut. [2] V roce 1996 německá firma vyhlásila bankrot a Škoda a.s. převzala majoritní podíl firmy. [1] Od roku 1999 se ve firmě vyrábí soustruhy typu SROV. V roce 2000 se firma rozšířila svoje produktové portfolio o horizontky typu HCW a FCW a v roce 2009 byl dokončen vývoj vysokootáčkového stroje typu HCW 20004000. V roce 2016 firma slaví prodej největší horizontky v historii firmy Škoda

Kromě mateřské společnosti v Plzni má ŠMT i dceřinou společnost v Čínské lidové republice a Ruské federaci a každá z nich má své zaměření. Společnost exportuje do více než 40 zemí světa a prodala už více než 4000 strojů. Roční produkce činí 20 až 25 strojů. ŠMT také spolupracuje s několika středními a vysokými školami v ČR. Mezi současné obráběcí stroje vyráběné společností patří horizontální vyvrtávačky řad FCW a HCW, univerzální horizontální soustruhy typu SR, multifunkční stroj S-MT, frézovací stroj FC, dále pak portály WP a WPA, otočné a posuvové stoly a rozmanitá paleta příslušenství. Společnost měla také vždy silný výzkumný, vývojový a konstrukčně-technologický potenciál tvůrcích pracovníků, udržovala si náskok v technické úrovni svých výrobků s řadou originálních řešení a na trh pravidelně zaváděla nové produkty. Ve firmě se také aplikují nové trendy průmyslové revoluce, průmysl 4.0, což zajišťuje inovativnější a flexibilnější řízení produkce skrze moderní techniku. Čerpá z mnohaleté zkušenosti a tradice strojní výroby. Vizí firmy je vybudovat moderní škodováckou firmu se stálými zákazníky, která je pyšná na své lidi a dodávané produkty [3]



Obrázek 3: Soustruh typu SROV

1.3. Hrotové soustruhy ŠKODA SR

„Současná řada těžkých horizontálních hrotových soustruhů ŠKODA SR s moderní konstrukcí je určena pro efektivní a přesné obrábění rotačních obrobků a reprezentuje kombinaci maximální stability, vysoké přesnosti a vysoké řezné síly.“ [11]

„Sofistikovaná modulární konstrukce umožňuje optimalizovat konfiguraci stroje tak, aby splňoval zákazníkovy požadavky. Hlavní díly jsou z šedé litiny. Stroj může být vybaven příslušenstvím pro frézovací, hlubokovrtací i brousicí operace.“ [11]

Soustruhy jsou uloženy na masivním betonovém základu, což umožňuje bezpečné uchycení statických i dynamických sil. Lože soustruhu je vyrobeno z šedé litiny a nachází s na něm čtyři nebo pět vodících drah. K betonovému základu je lože uchyceno pomocí fixátorů. Ty zajišťují nastavení konečné polohy lože. Vodící plochy jsou kalené a chráněné teleskopickým krytem. Rám skříně vreteníku je odlitek ze šedé litiny. Vreteno je uloženo ve valivých ložiskách a poháněno střídavým motorem. Dále jsou ve skříně uložena převodová skříň s hydraulickým systémem rychlého řazení převodů. Vreteno pohání lícní desku, která disponuje 4 mi nebo 8 mi upínacími čelistmi. Suport se posouvá podélne vedle koníku a lunet. Posuv je realizován pomocí pohonů a hřebenového převodu v režimu master – slave. Příčný posuv je pak řešen kuličkovým šroubem s předepnutou maticí. [19]

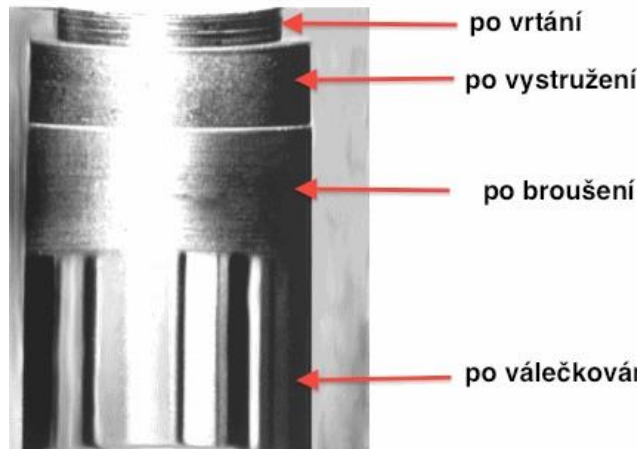


Obrázek 4: Soustružení na stroji SR [11]

2. Technologie Válečkování

Válečkování je metoda dokončování povrchu. Na rozdíl od ostatních dokončovacích metod nedochází při válečkování k úběru materiálu, má proto charakter tvářecí operace. Dalšími metodami dokončování povrchu jsou:

- Broušení
- Leštění
- Superfinišování
- Honování
- Lapování
- Omílání
- Otryskávání

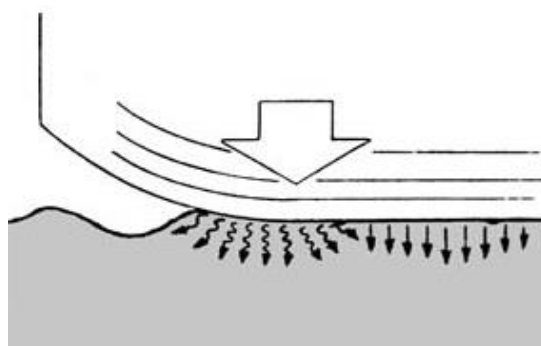


Obrázek 5: Kvalita povrchu [14]

V porovnání s těmito metodami lze válečkováním dosáhnout stejné drsnosti povrchu při současném zpevnění povrchové vrstvy materiálu. Válečkovat lze každý plasticky deformovatelný kov.

2.1. Podstata válečkování

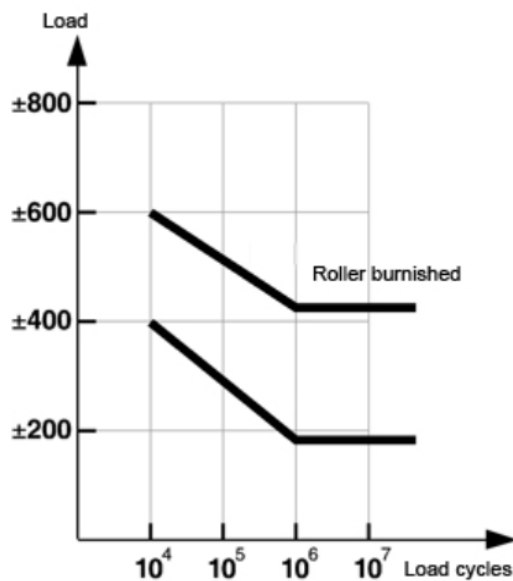
Principem válečkování je přitlačování tvářecího prvku k povrchu tvářeného prvku takovou silou, při které dojde k překonání meze kluzu materiálu a jeho plastické deformaci. V místě kontaktu ploch se vytvoří stýcný tlak (Herzův tlak), při kterém je dosaženo meze toku a dochází k přetečení materiálu ze špiček do prohlubní dříve soustruženého povrchu.



Obrázek 6: Tok materiálu [14]

Při válečkování za účelem hlazení se používá menší přítlačné síly, stále ale dostatečné pro překonání meze kluzu. Dále se používají prvky s větším poloměrem zakřivení profilu. Dosažená drsnost povrchu souvisí mimo jiné s drsností povrchu před válečkováním. Při procesu je preferována kvalita povrchu před jeho zpevněním. Takový povrch je odolnější vůči korozi a riziko tvorby prasklin je nižší díky absenci mikrovrbů. Válečkováním lze dosáhnout drsnosti až Ra 0,1, hodnota ale závisí na mnoha faktorech, které budou popsány dále.

Při zpevnování neboli hlubokém válečkování se užívá vyšší přítlačné síly a menšího poloměru zakřivení tvářecího profilu pro co největší zpevnění povrchu. V povrchové vrstvě materiálu zůstávají po procesu zbytková napětí, které vedou k znatelnému zvýšení meze únavy a otěruvzdornosti materiálu. [12] [13]



Obrázek 7: Zvýšení meze únavy [13]

2.2. Druhy válečkování

Válečkování se dělí podle druhu nástroje do dvou skupin.

2.2.1. Statické válečkování

Při statickém válečkování je tvářecí prvek v nepřetržitém kontaktu s tvářenou plochou. Přítlačná síla je při procesu konstantní, nebo se pozvolna mění a je nejčastěji vyvozena pružinami nebo hydraulicky. Výsledný efekt válečkování závisí na rádiusu zakřivení profilu tvářecího prvku. Prvek je nejčastěji odvalující se váleček, kulička nebo zakřivený kotouč. Mezi nástroje pro statické válečkování se řadí také nástroje s diamantovým prvkem. [18]



Obrázek 8: Statické válečkování [16]

2.2.2. Dynamické válečkování

U tohoto druhu válečkování působí nástroj na plochu silovými impulzy. Ty jsou nejčastěji vyvozovány střídavým přitlačováním tvárcích prvků na rotujících kuželech nebo nástroji s proměnlivou křivostí povrchu. Tímto způsobem válečkování se dosahuje velkých hloubek zpevnění povrchu. [18]



Obrázek 9: Nástroj pro dynamické válečkování [17]

2.3. Příprava operace

Před samotným válečkováním je nutné posoudit vlastnosti obrobku z několika hledisek. Důležitý je povrchový vzor, geometrie řezného nástroje a jak velký přídavek je před válečkováním potřeba. Pro válečkování je žádoucí, pokud je povrch obrobku před válečkováním zoubkovaný, drsnost povrchu zároveň musí být co nejmenší, zejména u houževnatých kalených ocelí. U tvárných materiálů např. u mosazi, hliníku nebo žíhané oceli stačí hrubší povrch. Rozměrová přesnost válečkovaného obrobku je ovlivněna především kvalitou obroběného povrchu. Správné zvolení pracovních podmínek je velice důležité, protože nesprávné podmínky mohou být příčinou nízké produktivity válečkování, nedostatečného stupně zpevnění nebo vyhlazení válečkovaného povrchu a celkového snížení výsledných užitných vlastností dokončované součásti.

2.4. Optimální velikost přitlačné síly při válečkování

Přitlačná síla má rozhodující vliv na hloubku plastické deformace, zpevnění a drsnost povrchu. Síla musí být dostatečná, aby došlo k překonání meze kluzu materiálu a jeho plastické deformaci, zároveň ale nesmí dojít k jeho porušení. Přitlačná síla je přímo závislá na poloměru křivosti tvárcího prvku. Větší poloměr znamená větší dotykovou plochu a zároveň vyšší potřebnou přitlačnou sílu pro vyvolání stejného tlaku na povrchu válečkovaného tělesa.

Orientační velikost přitlačné síly u vyráběných zařízení:

- Malé válečkovací nástroje: 100 až 2500 N
- Nástroje s velkým poloměrem (50-100 mm): až 20 000 N

2.5. Rychlosť válečkování

Rychlosť válečkování rozumíme obvodovou rychlosť tvárcího prvku, válečku. Při statickém válečkování je tato rychlosť přibližně stejná jako rychlosť otáčení tvářené součásti. Vyšší rychlosťi válečkování znamenají i zvýšení teploty obou těles, proto se používá mazání a chlazení. U metod statického válečkování s konstantními přítlačnými silami má válečkovací rychlosť jen malý vliv na výsledné zpevnění nebo kvalitu povrchu.

2.6. Posuv nástroje

Podélný posuv je jednou z podmínek, která velmi ovlivňuje výslednou kvalitu povrchu. Při zvolení moc vysoké rychlosťi posuvu může být výsledkem vlnitý povrch, proměnná hodnota Ra povrchu nebo dokonce porušení povrchu. Nejčastěji se používají hodnoty posuvu od 0,05 do 0,5 mm na otáčku, pro válečkování tvrdých materiálů pak 0,02 až 0,1 mm.

2.7. Převálečkování

Převálečkování je vícenásobné válečkování stejné plochy součásti. Při druhém cyklu je již patrné zmenšení drsnosti povrchu, při dalších cyklech už ale může dojít k jeho porušení a hodnota Ra se dále nezlepšuje. Vyšší význam převálečkování má další vytvrzení povrchu, kdy se prohlubuje tloušťka zpevněné vrstvy. Dosažitelná tvrdost je stejně jako u drsnosti limitována určitým počtem cyklů. Převálečkování se uplatňuje jen ve výjimečných případech, protože výrazně snižuje produktivitu stroje.

2.8. Metody chlazení a mazání

Mazání se u válečkování využívá zejména kvůli možnosti použití vyšších obvodových rychlosťí válečku. Mimo to se také zlepšuje výsledná drsnost výrobku, nejlepších výsledků se dosahuje při použití petroleje pro hladící operace. Zvýšená teplota při vyšší válečkovací rychlosti a při vysokých přítlačných silách mazací vlastnosti značně zhoršuje, využívá se proto chladících emulzí, pro nejnáročnější podmínky pak minerální oleje. Velmi důležitá je čistota mazacích i chladicích emulzí. Částice nečistot jsou při válečkování vtlačovány do povrchu a zhoršují jeho výslednou kvalitu.

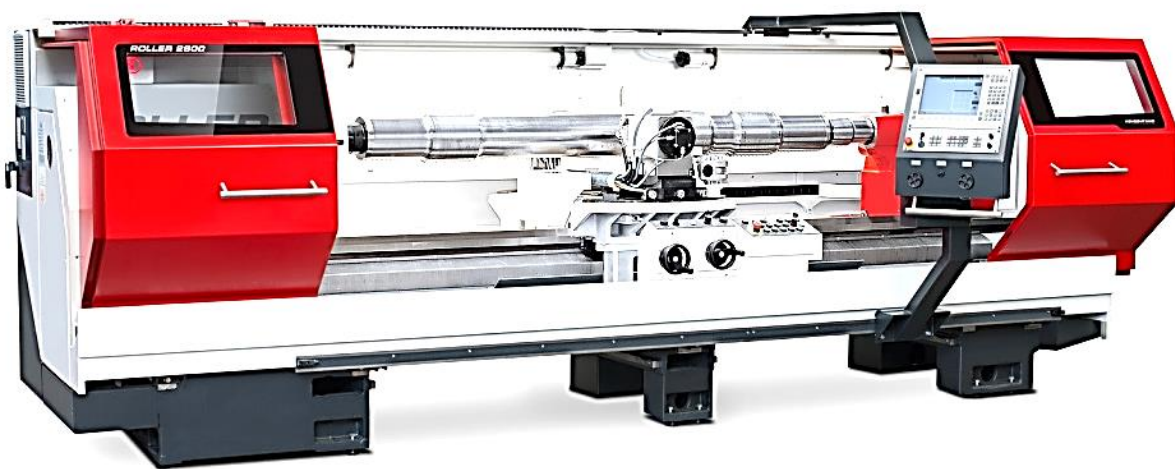
3. Konkurenční řešení

Průzkum trhu ukázal, že je u výrobců k dispozici široká škála válečkovacích nástrojů, ať už pro statické nebo dynamické válečkování. Nástroje se dají používat v soustružnických a frézovacích centrech a dají se upínat mnoha způsoby. Výrobci nabízejí i rozměry a přípravky pro upnutí vyrobené na zakázku.

Kompletních zařízení a strojů pro válečkování je na trhu jen velmi málo. Rozsah přítlačných sil a průměrů válečkovatelných hřídel končí na hodnotách mnohem nižších, než které jsou požadovány zadavatelem této práce, proto je jako příklad konkurenčního řešení uveden jen jeden stroj.

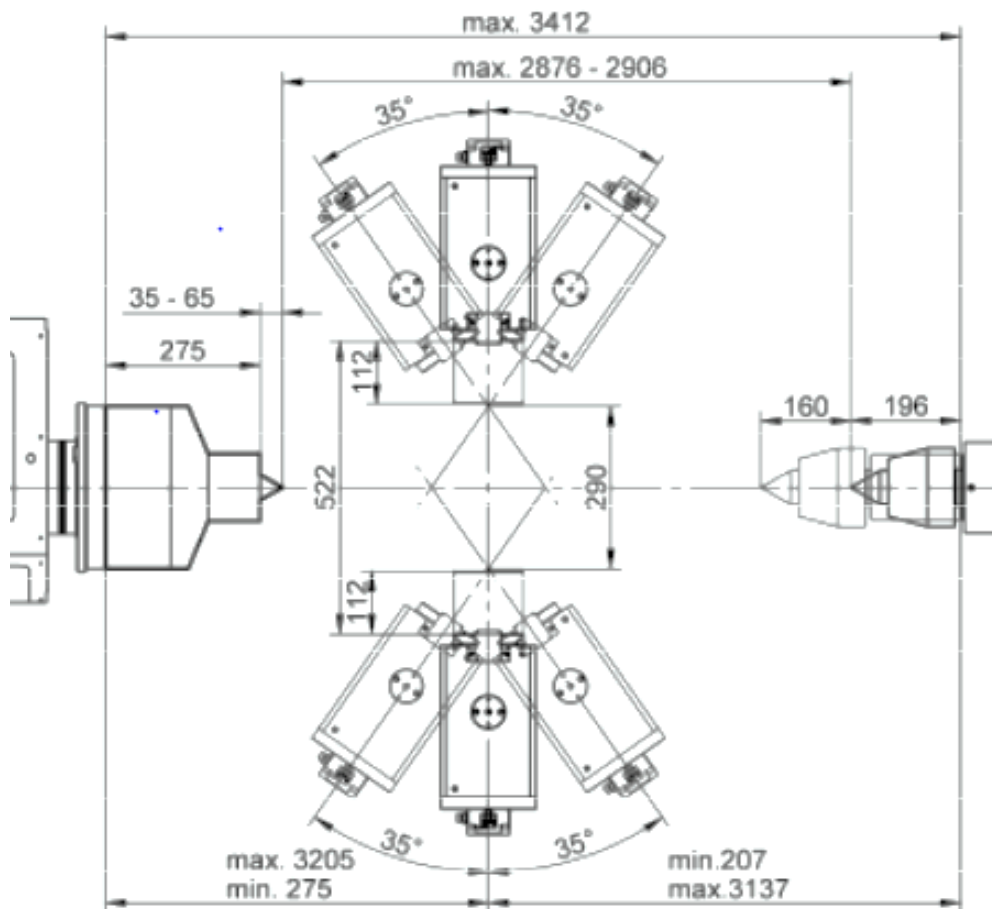
3.1. ROLLER 2800 CNC

ROLLER 2800 CNC od firmy Kovosvit Mas je speciální stroj pro válečkování vnějších ploch s oběžným průměrem do 300 mm, resp. do 280 mm s využitím naklopení osy B do 30 a do 250 mm s vyklopením do 35 stupňů. Konstrukce tohoto stroje je odvozena od jiného, standartního stroje, soustružnického centra MASTURN 70/3000 CNC. Tímto válečkovacím strojem se dá válečkovat většina ploch hřídelů, jako jsou válcové a kuželové plochy nebo přechodové rádiusové plochy. Válečkovací nástroj je vždy v poloze kolmé k povrchu materiálu. U válcových a rádiusových ploch je toto zajištěno mechanismem naklápení. Zařízení se v podélném směru pohybuje na suportu. Přítlač a jeho řízení je realizován hydraulicky. Proto jsou na zařízení umístěny dvě proti sobě postavené pinoly, v kterých jsou upevněny válečkovací hlavy s nástroji. Natáčení válečkovacích hlav je realizováno samosvorným šnekovým převodem, který zajišťuje i aretaci v poloze. Ve stroji se nachází agregát, který zajišťuje potřebný tlak kapaliny a jehož pomocí se řídí plynulé změny přítlačné síly.



Obrázek 10: Roller 2800 CNC [10]

Na schématu pracovního prostoru stroje jsou naznačeny vzdálenosti a rozměry týkající se upnutí hřídele, tedy upínač vřetene, vzdálenost čela upínače od čelní plochy vřetena a rozjezd koníka stroje od čela pinoly koníku. Celková vzdálenost mezi hroty je 2876 až 2906 mm. Vzdálenost je závislá na velikosti a tvaru středícího důlku nápravy. V pracovním prostoru je také naznačen rozjezd suportu s válečkovacími rolnami se vzdálenostmi k čelu vřetena a čelu zasunuté pinoly koníka a úhel natočení válečkovacích hlav. [10]

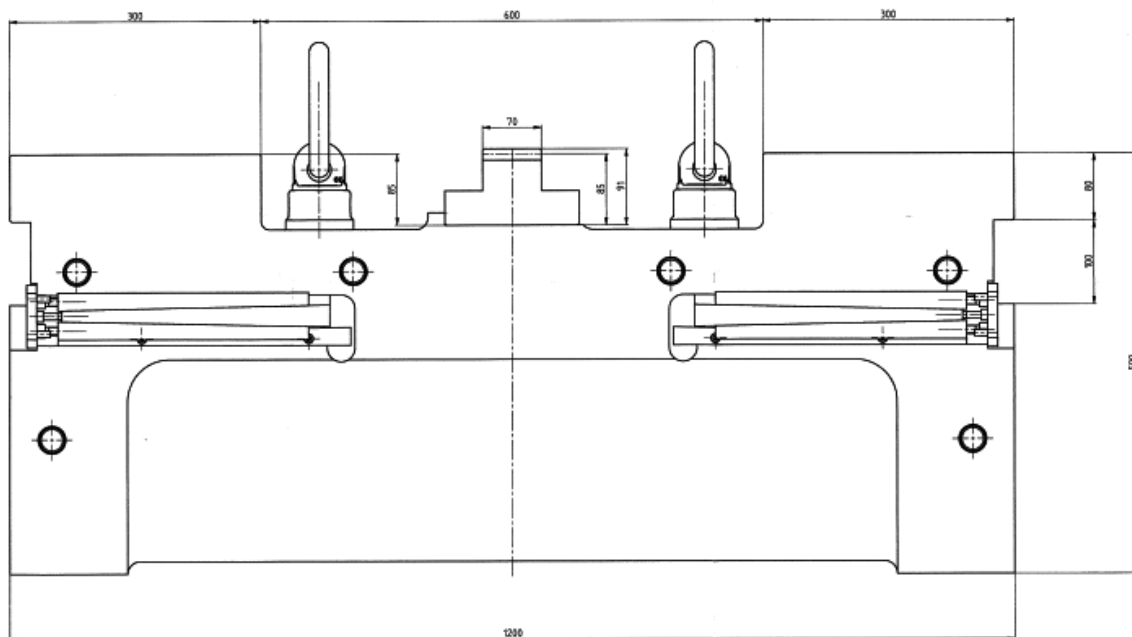


Obrázek 11: Roller 2800 CNC, schéma [10]

4. Specifikace zadaných požadavků a parametrů

- Konstrukce válečkovacího zařízení musí umožnit válečkování válcových, kuželových, rádiusových ploch, přechodů z válce na kužel a také válečkování při zastaveném posuvu bez přerušení procesu.
- Přechodové rádiusy se válečkují od úhlu 30°
- Při ustavení na stroj musí být osy válečků rovnoběžné s osou stroje.
- Přítlačná síla válečků je řízena hydraulicky.
- Vodící plochy lože jsou kalené, proto musí být vedení saní válečkovacího zařízení realizováno pomocí valivých jednotek.
- Chlazení strojním olejem typu L, S, SU dle normy GOST 20799-77. Přívod oleje při přítlačné síle do 100 kN je 2 l/h, nad 100 kN 5 l/h
- Celková šířka zařízení je maximálně 4000 mm.
- Výška osy soustruhu nad ložem je 1400 mm.
- Maximální řízená přítlačná síla je 120 kN.
- Rozsah válečkovaných průměrů hřidelů 250 až 1200 mm.
- Tvrdost povrchu válečků musí být min. HRC 62
- Válečkování se provádí při jednom průchodu při obvodové rychlosti 0,3 – 0,5 m/s a podélném posuvu válečků 0,3 – 0,4 mm/ot.
- Tvárcí váleček je ustaven o 4 až 5 mm před vyhlazovacím.
- Průměr válečků je 150 až 200 mm
- Rádius profilu tvárcího válečku je 20 mm
- Rádius profilu vyhlazovacího válečku je 100 mm

Dále byl firmou zadán profil lože soustruhu typu SR4000.



Obrázek 12: Profil lože soustruhu typu SR4000

5. Konstrukční návrh

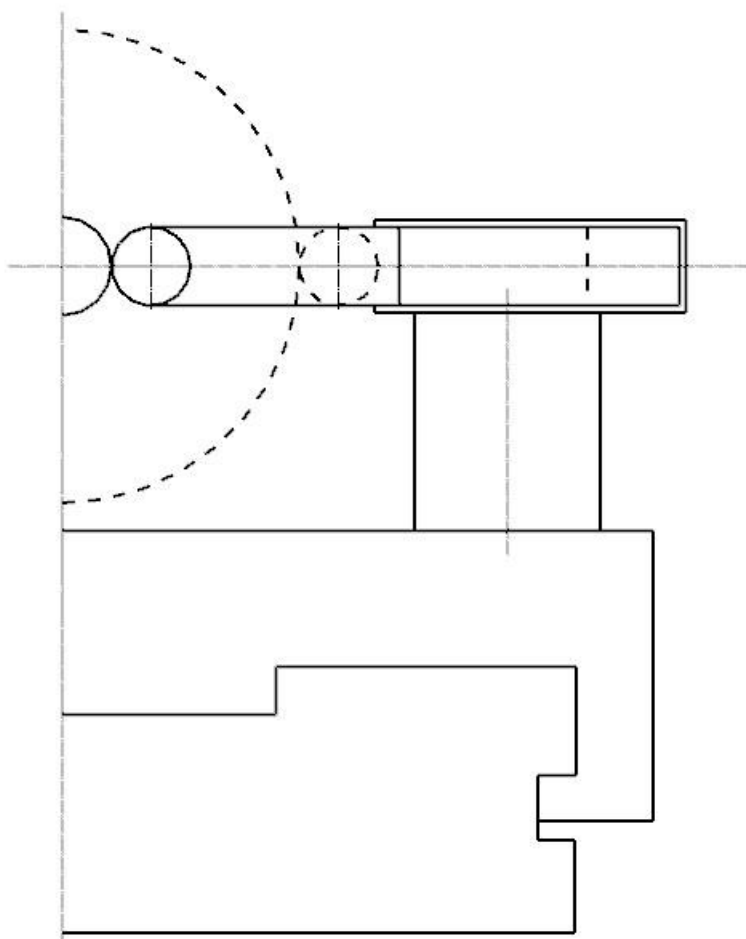
Cílem této práce je navrhnout konstrukci válečkovacího zařízení tak, aby splňovalo zadané požadavky. Největší vliv na návrh konstrukce bude mít požadovaná maximální přítlačná síla, rozsah válečkovaných průměrů hřídelů a potřeba válečkování přechodových rádiusů.

5.1. Použitý software

Kontrola spojovaných součástí, uložení ložisek a hřídelů byla provedena v programu KISSsoft. Model, pevnostní výpočty MKP a výkresová dokumentace byly zhotoveny v programu NX 12.0. Výpočty byly provedeny v programu PTC Mathcad. Pro výběr převodovky a motoru pro posuv suportu po loži byl použit program Cymex 5 společnosti Wittenstein. Hydraulické schéma bylo vytvořeno v programu Scheme Editor 6.

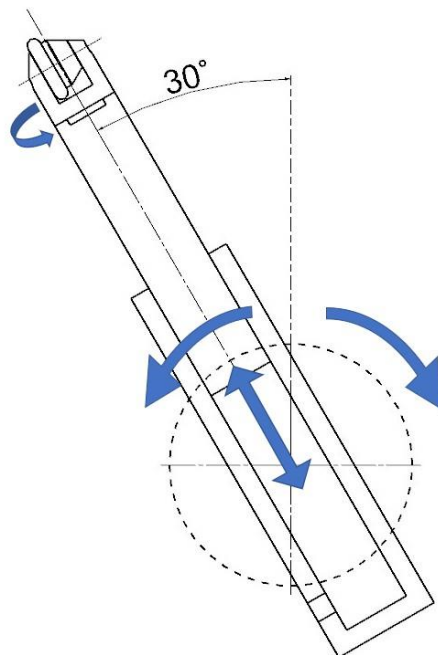
5.2. Volba koncepce řešení

Zařízení musí být možné posouvat po loži soustruhu, nástroje je proto vhodné uložit na posuvné saně. Válečkování je standartně prováděno pomocí dvou nebo tří válečků. Z hlediska rozměrů válečkovaných hřídelů a velikosti přítlačných sil je jednodušší použít variantu se dvěma válečky. Pro aplikaci přítlačné síly, která má být řízena hydraulicky se nabízí využití dvou horizontálně výsuvných pinol.



Obrázek 13: Schéma konceptu konstrukce

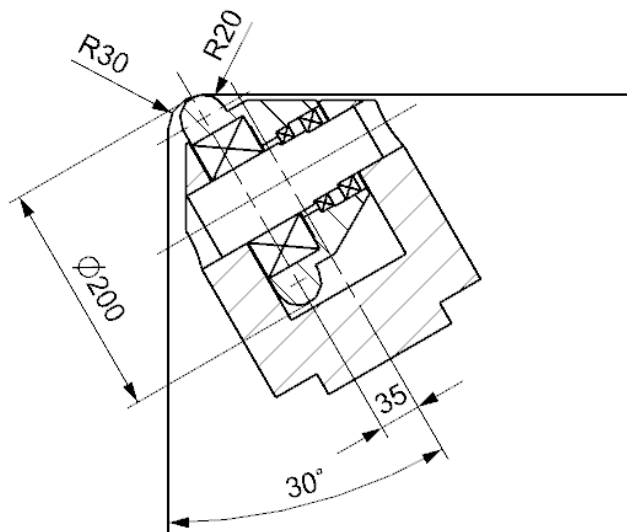
Aby bylo možné válečkovat rádiové plochy pod úhlem, je potřeba válečkovací hlavy natočit. To je realizováno pomocí otočných „věží“ přichycených k saním zařízení.



Obrázek 14: Kinematické schéma

5.3. Návrh válečkovací hlavy

Tvářecí válečky jsou uloženy do válečkovací hlavy. Tvar hlavy a válečku je třeba navrhnout tak, aby při válečkování rádiusových ploch u osazení hřídelů nedocházelo ke kolizím nástroje a obrobku. Osa válečku je proto posunuta oproti ose válečkovací hlavy, aby byl kontakt s obrobkem ve správné pozici, 35 mm od osy válečkovací hlavy ve směru posuvu. Tvar válečku a vidlice hlavy je uzpůsoben pro požadovaný úhel vytočení. Válečky jsou uloženy na ose pomocí sady ložisek a osa je nalisovaná v otvorech válečkovací hlavy.



Obrázek 15: Řešení tvaru válečkovací hlavy

5.3.1. Spektrum zatížení a materiál

Zatěžovací spektrum je navrženo pro reálnější výpočet životnosti a únosnosti ložisek válečku. Válečky při většině případů používání nejsou zatíženy maximální přítlačnou silou a silou posuvu, proto je vhodné počítat i s nižšími hodnotami. Dále se při navrhování uvažuje se směrem posuvu oběma směry. Spektrum zatížení je tak určeno:

$$q := [0.4 \ 0.4 \ 0.2] \quad \dots \text{poměrná doba běhu}$$

$$T_c := 4000 \cdot hr \quad \dots \text{celková doba běhu}$$

První dvě hodnoty poměrné doby běhu jsou zde pro maximální hodnoty přítlačné i posuvové síly, každá pro posuv v jednom směru, třetí hodnota pro poloviční zatížení. Posuvová, respektive axiální síla působící na váleček se zde uvažuje jako 0,4 - násobek síly přítlačné, respektive radiální.

$$F_R := 120 \cdot kN \quad \dots \text{max. radiální síla kladky}$$

$$k_{pos} := f_{ob} = 0.4 \quad \dots \text{souc. posuvové síly}$$

$$F_A := F_R \cdot k_{pos} = 48 \ kN \quad \dots \text{max. axiální síla kladky}$$

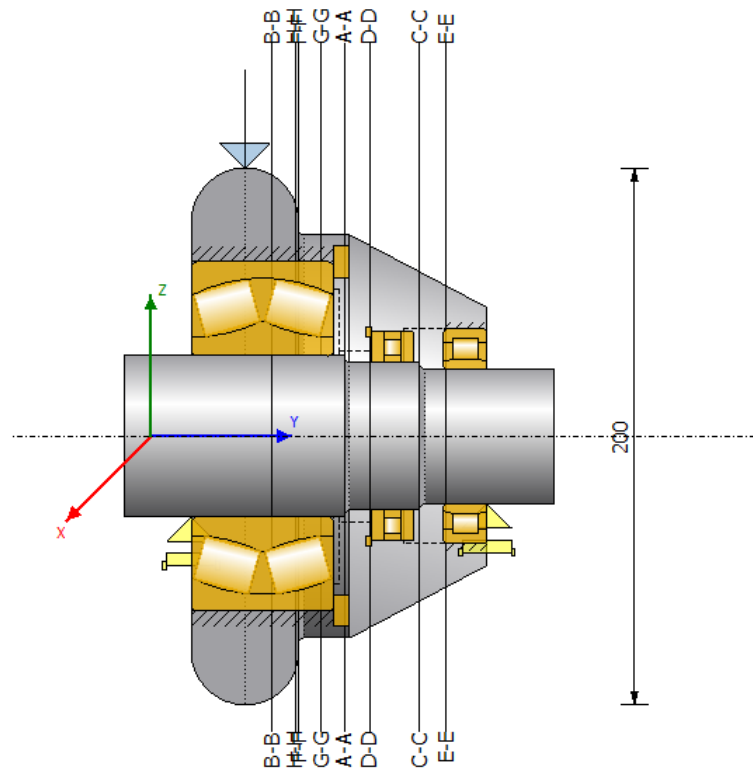
Materiál válečků byl určen zadavatelem. Jedná se o ocel ŠCh15, jejíž nejbližším ekvivalentem je ocel 14 100 nebo 14 109. Požadovaná tvrdost povrchů i děr válečků je 62 až 64 HRC, je proto potřebná povrchová úprava povrchu, například kalení nebo cementování. Požadovaná drsnost povrchu válečků je 0,1 až 0,8 Ra.

Materiál osy je 18CrNiMo7-6 (ČSN 16 326, středně legovaná ocel určená k cementování určená pro velmi namáhané strojní součásti.

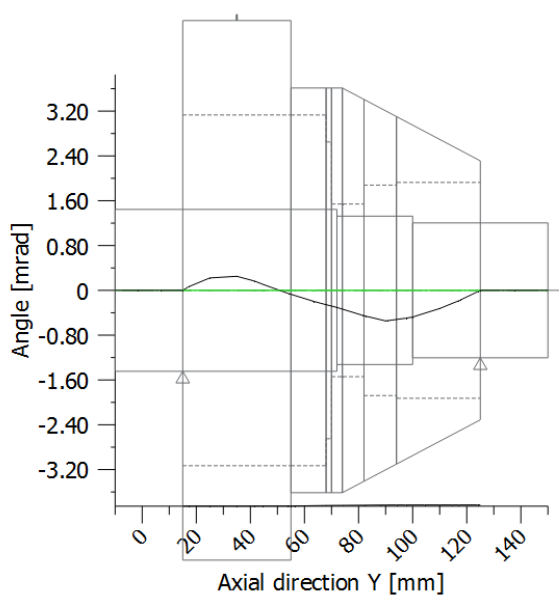
Při návrhu uložení byly porovnány 3 varianty ložiskového uložení tvářecího válečku.

5.3.2. Varianta 1

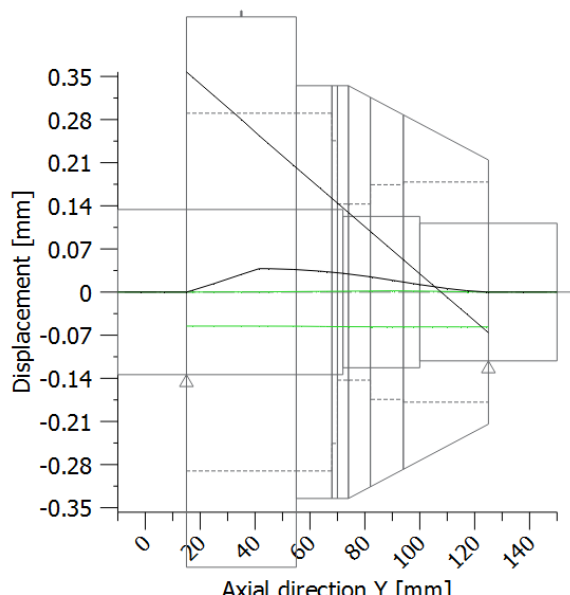
V první variantě je pod místem působení sil použito soudečkové ložisko SKF BS2-2312-2RS/VT143. Z druhé strany válečku je z důvodu omezeného prostoru nutné použít menší ložiska, proto je použito axiální válečkové ložisko SKF 81111 TN a jednořadé válečkové ložisko SKF NU 1010ML. U této varianty je nutné použít matici pro zajištění axiálního ložiska, které je ustanoveno uprostřed. Nejnižší životnost u této varianty je u axiálního válečkového ložiska a to 2242.17 hod.



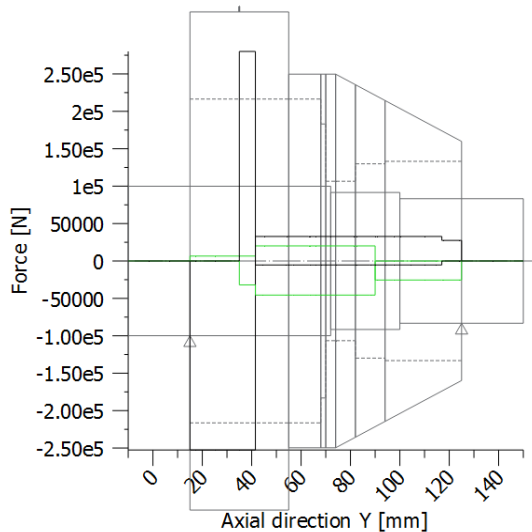
Obrázek 16: Uložení válečku, varianta 1



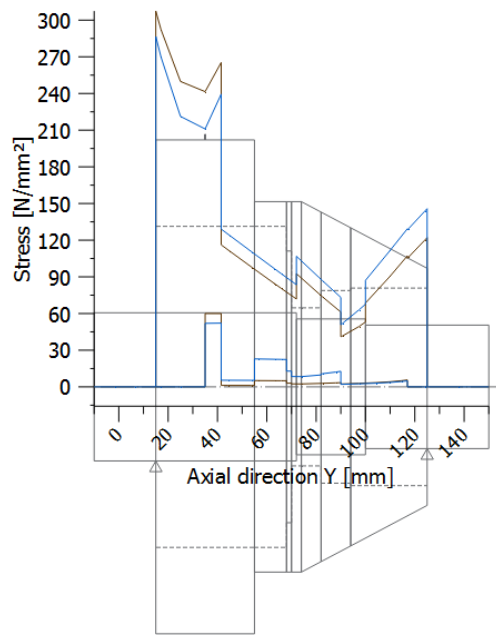
Obrázek 18: Natočení, varianta 1



Obrázek 17: Posunutí, varianta 1



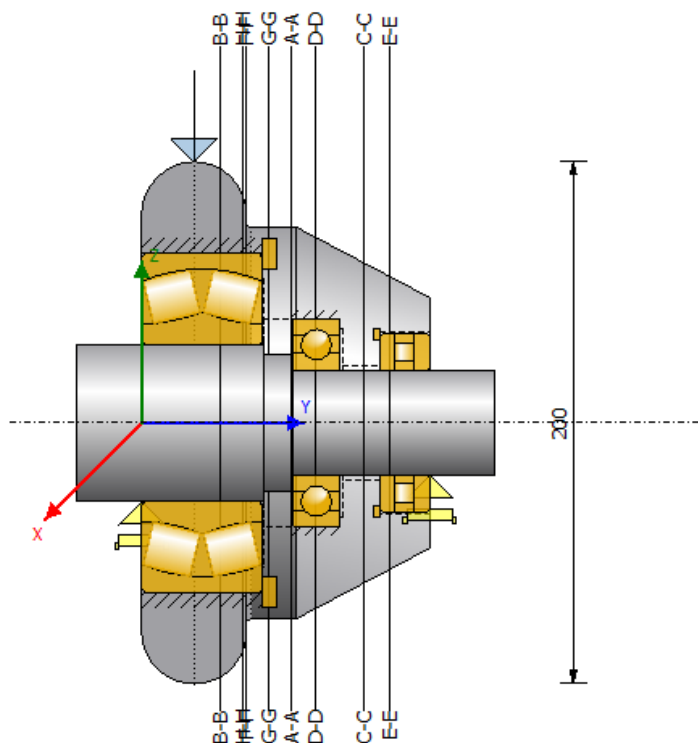
Obrázek 19: Reakce, varianta 1



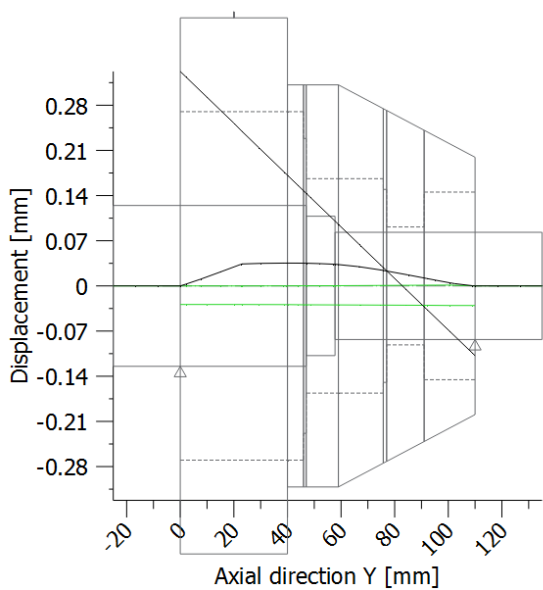
Obrázek 20: Redukované napětí,
varianta 1

5.3.3. Varianta 2

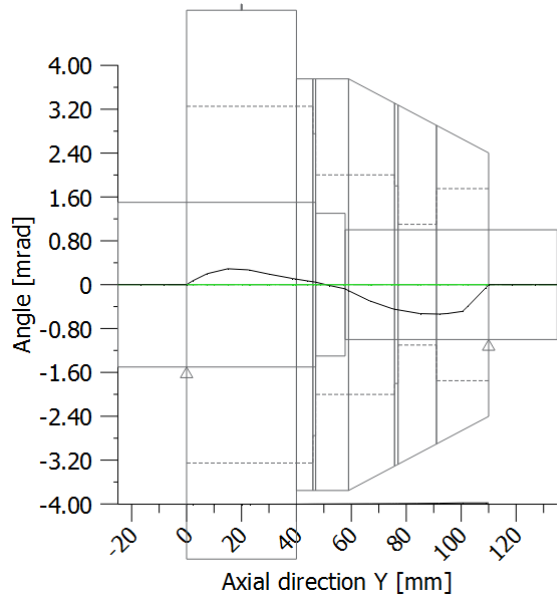
U druhé varianty je použito soudečkové ložisko SKF 22312 EK/VA405. Vnitřní část ložiska je oproti první variantě upravena. Axiální válečkové ložisko SKF 81208 TN je tak zajištěno a kuličkové ložisko SKF 6208 je pojišťovacím kroužkem a nepřenáší žádné axiální zatížení. Nejmenší životnost ložisek vyšla u soudečkového ložiska, a to 2396.62 hod.



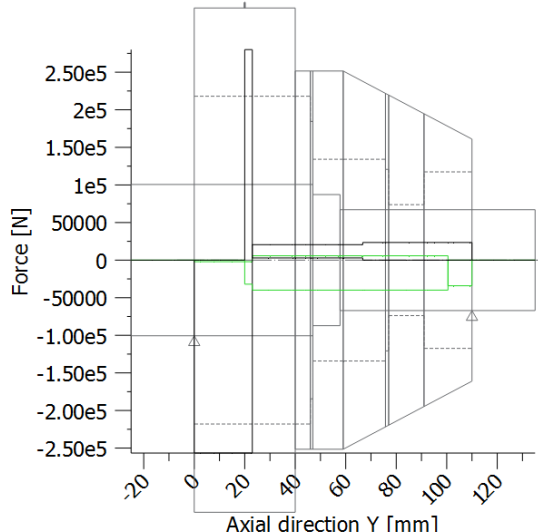
Obrázek 21: Uložení válečku, varianta 2



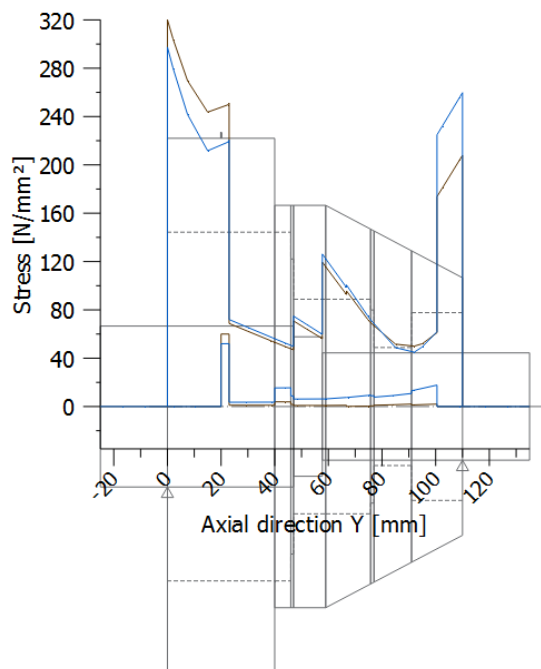
Obrázek 23: Posunutí, varianta 2



Obrázek 22: Natočení, varianta 2



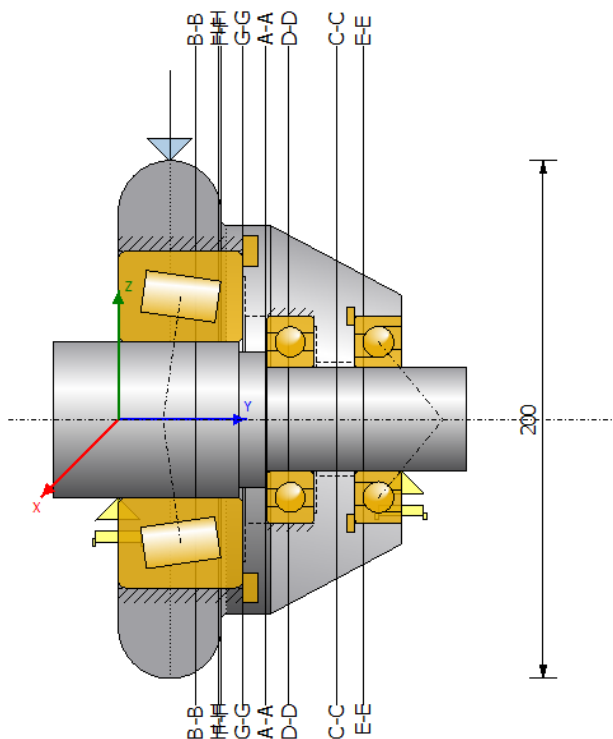
Obrázek 25: Reakce, varianta 2



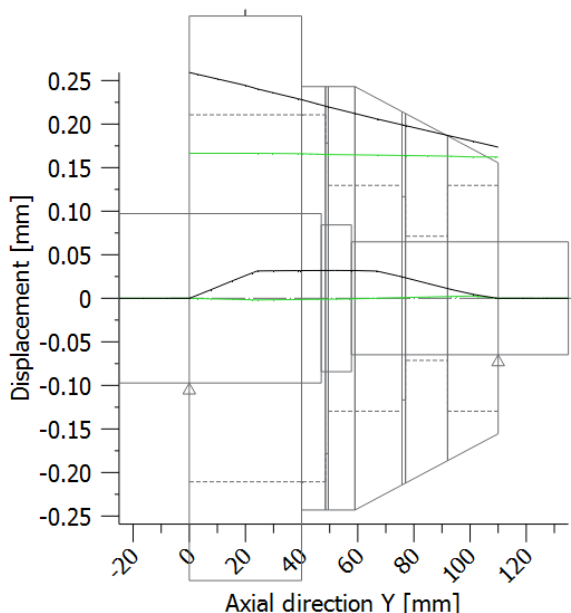
Obrázek 24: Redukované napětí,
varianta 2

5.3.4. Varianta 3

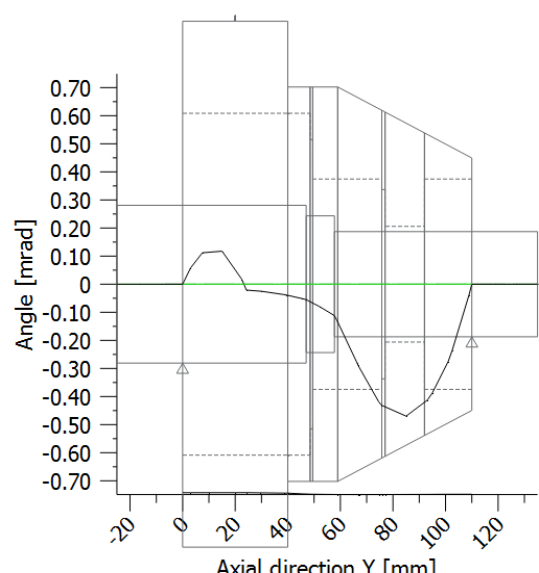
U poslední, třetí, varianty je namísto soudečkového ložiska použito jednořadé kuželíkové ložisko SKF 32312. Z důvodu nižší únosnosti kuželíkového ložiska v radiálním směru je axiální válečkové ložisko nahrazeno kuličkovým ložiskem s kosoúhlým stykem SKF 1208 BECBY. V prostřední části je jako u předchozí varianty kuličkové ložisko SKF 6208. Nejnižší životnost má v tomto případě ložisko s kosoúhlým stykem, 529.5 hod.



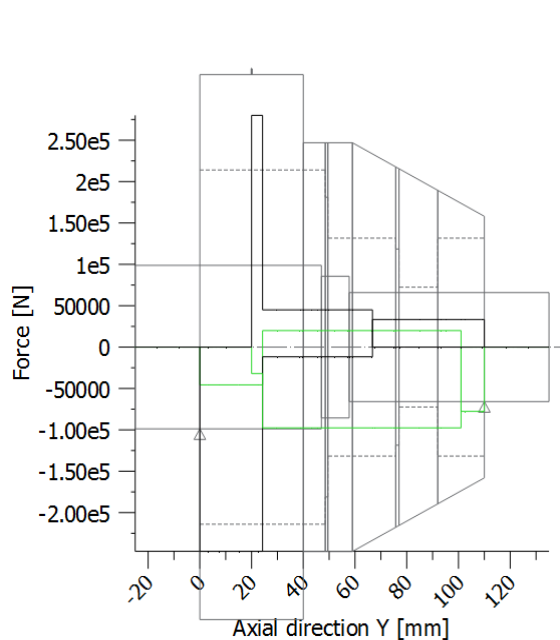
Obrázek 26: Uložení válečku, varianta 3



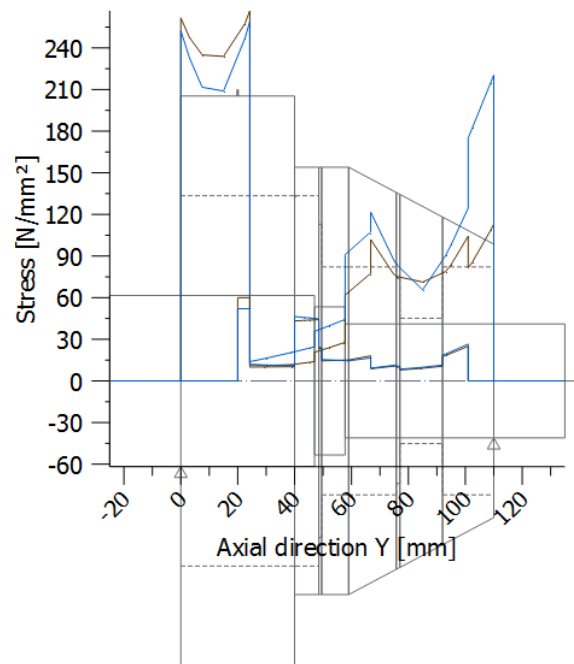
Obrázek 27: Posunutí, varianta 3



Obrázek 28: Natočení, varianta 3



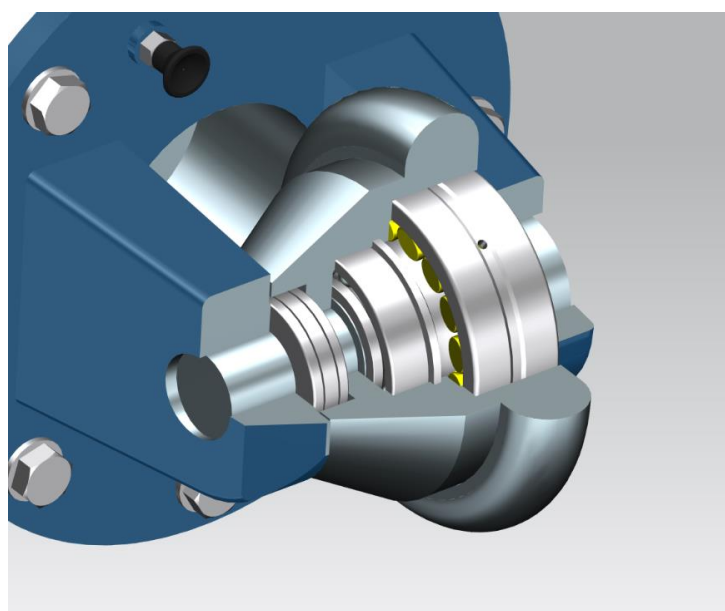
Obrázek 29: Reakce, varianta 3



Obrázek 30: Redukované napětí, varianta 3

5.3.5. Vyhodnocení variant a volba uložení

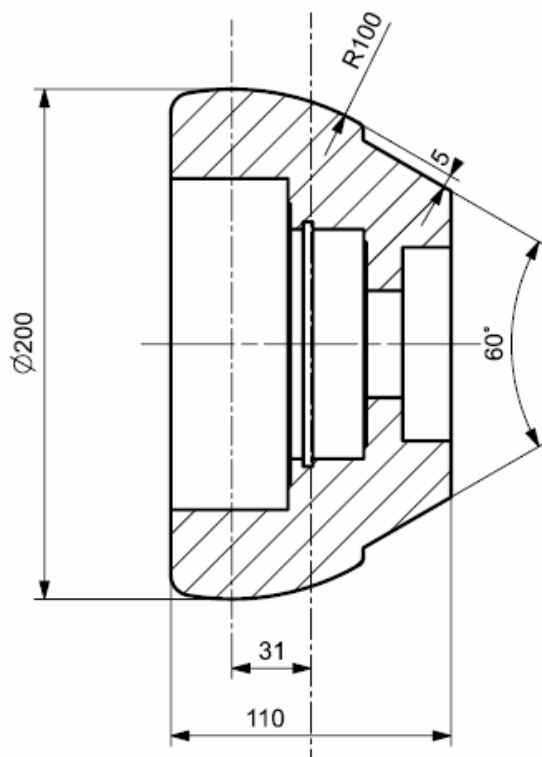
Na výběr varianty uložení pracovního válečku má největší vliv životnost ložisek. Z tohoto hlediska je nejlepší varianta 2, u které je dosaženo nejvyšší hodnoty minimální životnosti ložisek, 2396.62 hod. I přesto je dosažená životnost velmi nízká. Lepších výsledků by bylo možné dosáhnout volbou únosnějších ložisek, to ale není z důvodu omezeného prostoru možné. Řešením je dodávání náhradních ložisek. Dalšími kritérii pro volbu ložisek jsou jejich statická a dynamická únosnost, bezpečnost těchto parametrů je u všech parametrů větší než 1,2.



Obrázek 31: Uložení tvářecího válečku

5.3.6. Vyhlazovací váleček

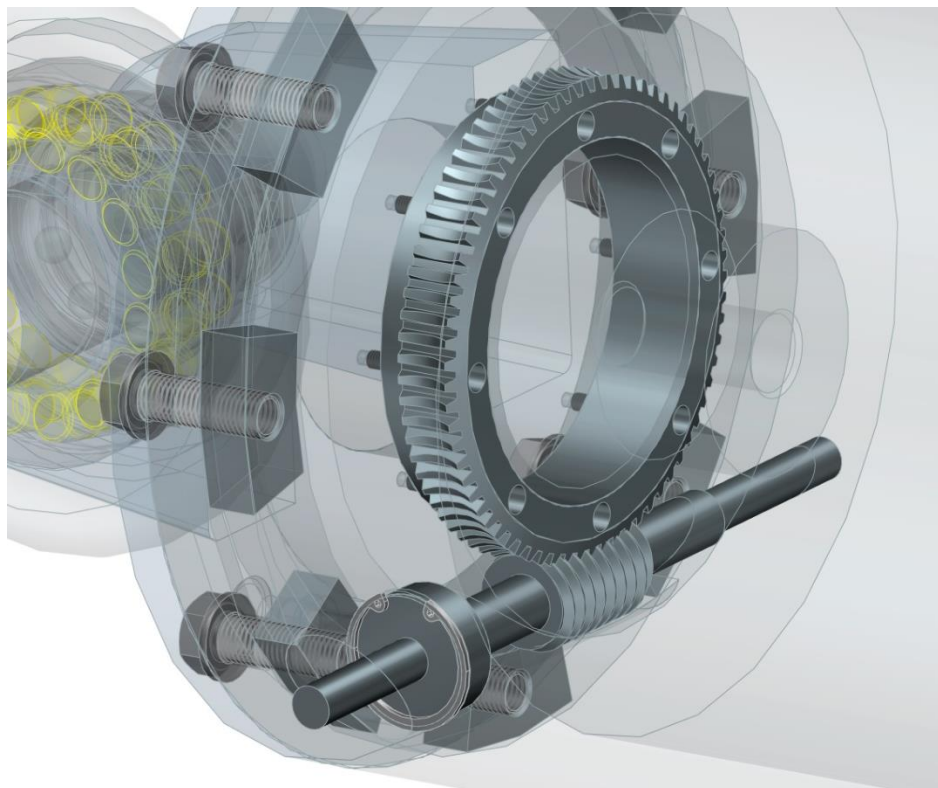
Rádius profilu vyhlazovacího válečku je 100 mm, jeho použití u rádiusových ploch s rádiusem menším než 100 mm proto není možné. Vyhlazovací váleček má také být ustanoven 4 až 5 mm za tvářecím. Pro tuto potřebu je upravena konstrukce válečku tak, aby bylo místo dotyku posunuto oproti válečku tvářecímu o stejnou hodnotu, tedy 31 mm vůči ose válečkovací hlavy ve směru válečkování. Zatížení vyhlazovacího válečku je oproti tvářecímu jen málo rozdílné, bylo proto použito stejné uložení.



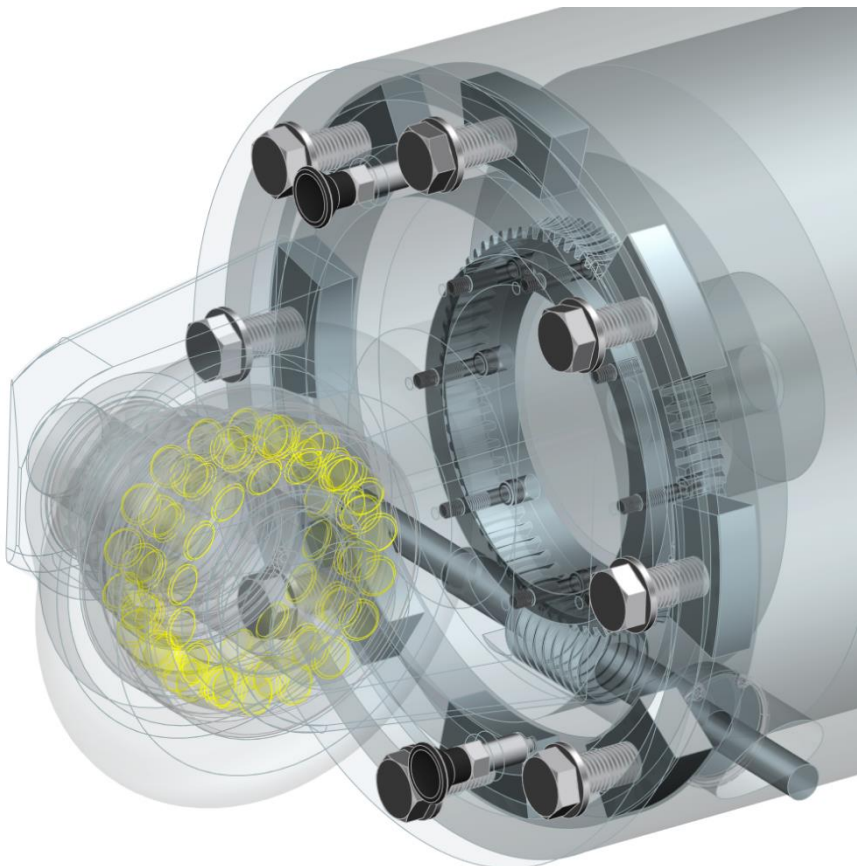
Obrázek 32: Vyhlazovací váleček

5.3.7. Návrh otáčení válečkovací hlavy

Aby bylo možné válečkovat v obou směrech posuvu, je válečkovací hlava opatřena otočným mechanismem. Otáčení o 180° je realizováno ručně pomocí šnekového soukolí. Na konci hřidele šneku se nachází čtyřhran pro upevnění kliky. Poloha je zajištěna pomocí sady šroubů a matic. Matice se při otáčení posouvají v „T“ drážce. Přesné ustavení v polohách zajišťují dva aretační čepy.

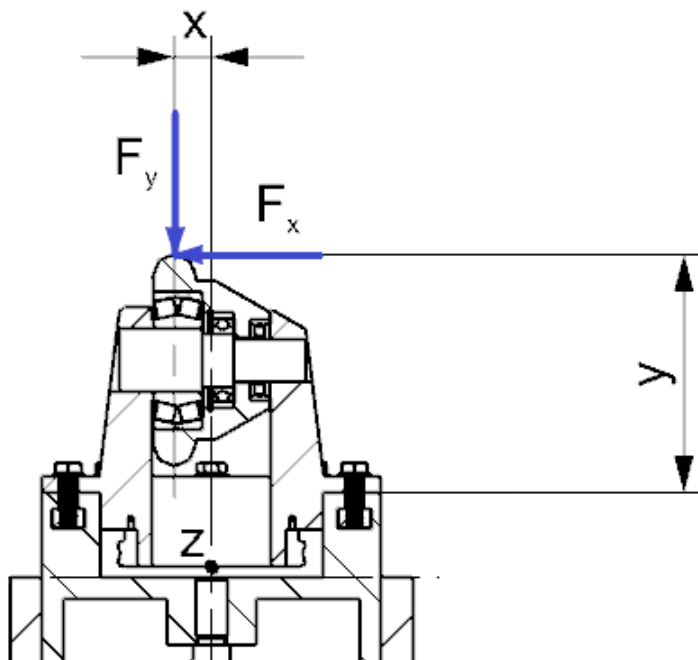


Obrázek 33: Otočný mechanismus válečkovací hlavy



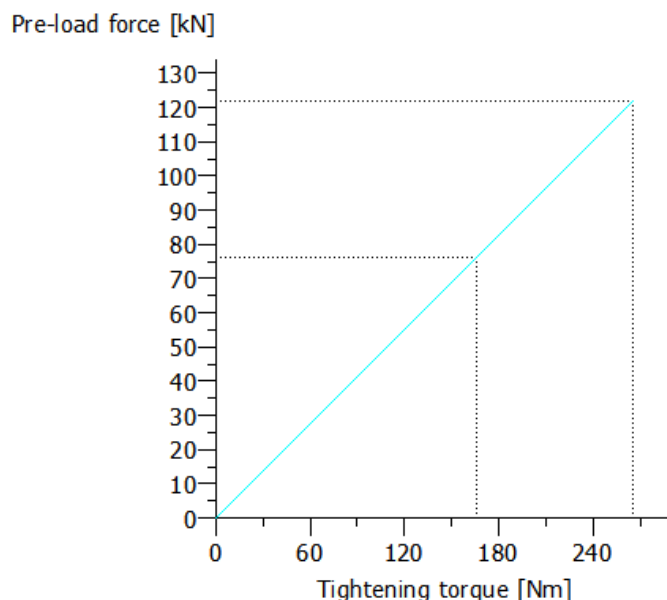
Obrázek 34: Upnutí válečkovací hlavy

Na válečkovací hlavu působí v axiálním směru přítlačná síla $F_y = 120 \text{ kN}$ a kolmo síla posuvu $F_x = 48 \text{ kN}$ (obrázek 22), šrouby je proto třeba dostatečně předepnout. Pro výpočet je uvažován posuv v opačném směru, protože v takovém případě je ohybový moment působící na přírubu větší. Návrh a výpočet šroubů byl proveden v programu KISSsoft.



Obrázek 35: Zatížení válečkovací hlavy

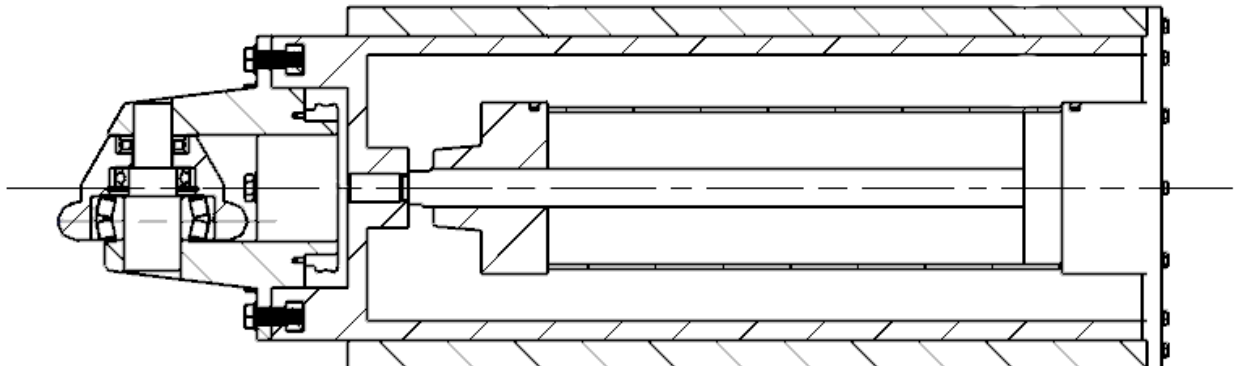
Pro upnutí válečkovací hlavy 8 šroubů M16 x 50-10.9 s roztečným průměrem. Hodnota minimálního a maximálního utahovacího momentu je patrná z obrázku 22.



Obrázek 36: Utahovací moment šroubů válečkovací hlavy

5.4. Návrh přítlačného mechanismu a hydraulického obvodu

Přitlak válečků k povrchu hřídele musí být realizován hydraulicky. Mechanismus se skládá z pinoly, vedení a lineárního hydromotoru.



Obrázek 37: Přítlačný mechanismus

Pro návrh pinoly a vedení bylo nutné spočítat potřebnou délku vedení při maximálním zdvihu. Maximální zdvih byl při uvažování nejmenšího průměru, vytočení pinoly o 30° a vůle při odstavení zařízení určen na 550 mm. Průměr vedení byl zvolen z hlediska rozměrů válečkovací hlavy a rozměrů hydromotoru, jehož návrh je popsán dále.

5.4.1. Návrh hydromotoru

Pro návrh a volbu hydromotoru se uvažuje maximální přítlačná síla zařízení, 120 kN. Při určení pracovního tlaku ve válci byl brán zřetel na nabídku hydromotorů od známých výrobců. Pracovní tlak byl stanoven na 10 MPa. Průměr pístu válce je stanoven vztahem:

$$S_1 := \frac{F_1}{p_v} = 12000 \text{ mm}^2$$

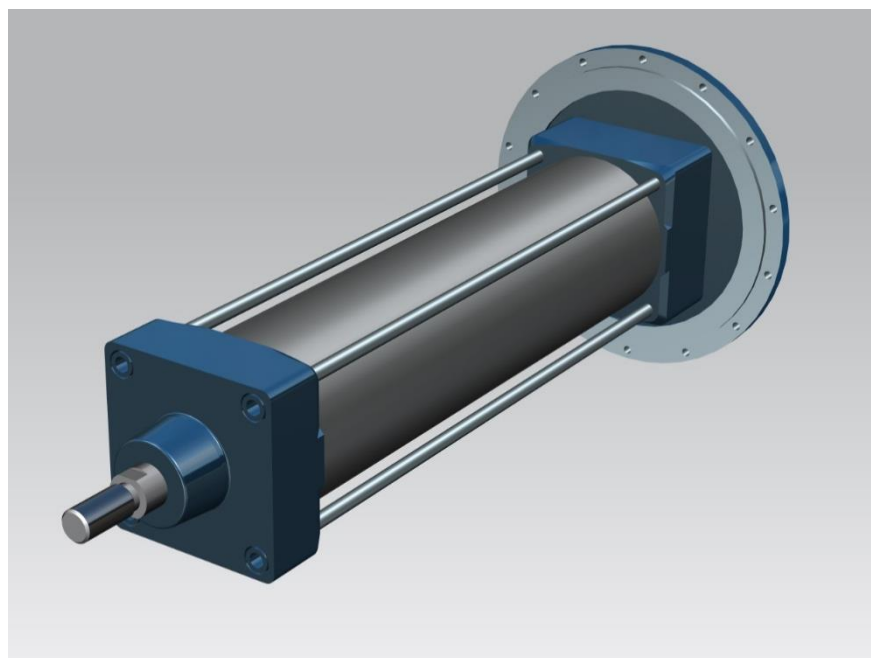
$$d_1 := \sqrt[2]{4 \cdot \frac{S_1}{\pi}} = 123.608 \text{ mm}$$

Zvolený průměr hydraulického válce je 125 mm. Skutečná maximální výsuvná síla je poté:

$$F_1 := S_1 \cdot p_v = 122.718 \text{ kN}$$

$$S_1 := \frac{\pi \cdot d_1^2}{4} = 12271.846 \text{ mm}^2$$

Byl zvolen dvojčinný hydromotor CH(D)SD s průměrem pístu 125 mm, maximálním zdvihem 550 mm od firmy SMC. Dodavatel nabízí možnost připevnění pomocí zadní příruby dle požadavků. Model je vytvořen podle výkresové dokumentace.

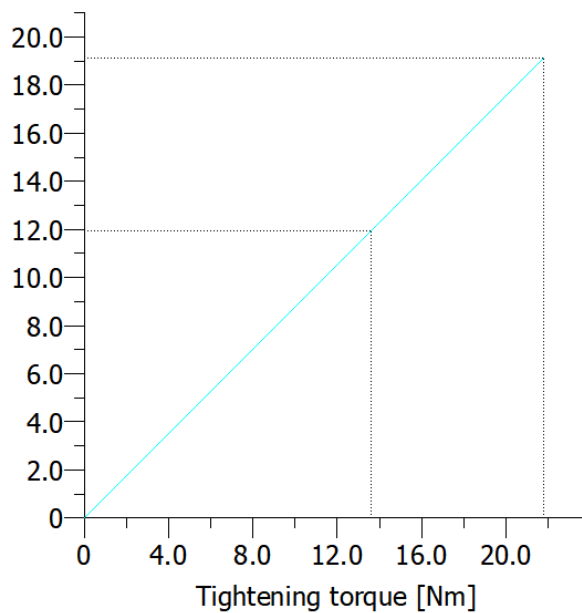


Obrázek 38: Hydromotor

Příruba hydromotoru je k tělesu vedení připevněna pomocí sady šroubů, které musí být zvoleny vzhledem k zatížení silou vyvozenou hydromotorem. Volba a výpočet šroubů byly provedena v programu KISSsoft.

Víko je připevněno sadou čtrnácti šroubů M8x25-8.8. Hodnoty utahovacího momentu šroubů jsou patrné z obrázku 26.

Pre-load force [kN]



Obrázek 39: Utahovací moment šroubů přírudy hydromotoru

5.4.2. Volba čerpadla a elektromotoru

Při výběru čerpadla je nutné určit potřebný objemový průtok a výpočtový objem. Rychlosť výsuvu nebyla zadána, byla proto zvolena rychlosť 10 mm/s, která je pro zadanou obvodovou rychlosť a posuv více než dostačující. Objemový průtok čerpadla vychází ze vztahů:

$$Q_c := S_1 \cdot v \cdot n_v = 14.726 \frac{l}{min}$$

$$V_g := \frac{Q_c}{n \cdot \eta_c} = 11.039 \frac{cm^3}{rev}$$

Pro spočítané hodnoty bylo zvoleno axiální pístové čerpadlo pro otevřený obvod Rexroth A18VZO18EZ400/10EVSC s parametry patrnými z obrázku 27.

variable-speed drives | A10FZO; A10VZO; A10FZG; A10VZG Series 10 31
Technical data A10VZO size 3 to 45 controller program

Technical data A10VZO size 3 to 45

Size	NG	3	6	8	10	18	28	45
Displacement, geometric, per revolution	$V_{g\ max}$ cm ³	3.5	6	8	10.5	18	28	45
Rotational speed at $V_{g\ max}$ maximum ¹⁾								
Suction speed operation as a pump ¹⁾	n_{nom} rpm	3600	3600	3600	3600	3300	3000	3000
Max. speed decompression operation ²⁾	n_{nom} rpm	3600	3600	3600	3600	3300	3000	3000
Flow at n_{nom} and $V_{g\ max}$	q_v l/min	12.6	21.6	28.8	38	59	84	135
Power and $\Delta p = 250$ bar	P kW	5	10	15	16	—	—	—
Operation as a pump and $\Delta p = 315$ bar at n_{nom} , $V_{g\ max}$	P kW	—	—	—	—	34	39	44
Torque at $V_{g\ max}$ and $\Delta p = 250$ bar	T Nm	14	24	32	42	—	—	—
	at $V_{g\ max}$ and $\Delta p = 315$ bar	T Nm	—	—	—	90	140	225
	at $V_{g\ max}$ and $\Delta p = 100$ bar	T Nm	6	9	13	17	29	45
Rotary stiffness of drive shaft S	c Nm/rad	8100	8100	8100	8100	—	—	—
R	c Nm/rad	—	—	—	—	14800	26300	41000
Moment of inertia for rotary group	J_{TW} kgm ²	0.0006	0.0006	0.0006	0.0006	0.00093	0.0017	0.0033
Maximum angular acceleration ²⁾⁽³⁾	α rad/s ²	14000	14000	14000	14000	12600	11200	9500
Case volume	V l	0.2	0.2	0.2	0.2	0.25	0.3	1.0
Weight without through drive (14N00, 12N00 approx.)	m kg	8	8	8	8	12	15	27
Weight without through drive (22U00 approx.)	m kg	—	—	—	—	—	—	—
Weight with through drive (07K.., 12K..approx.)	m kg	10.5	10.5	10.5	10.5	14	18	28
Weight with through drive (22U..approx.)	m kg	—	—	—	—	—	—	—

Obrázek 40: Ukázka katalogu čerpadel Rexroth [20]

Potřebný příkon elektromotoru je dán vztahem:

$$P := Q_{\dot{c}} \cdot p_p \cdot \frac{1}{\eta_{\dot{c}}} = 2.935 \text{ kW}$$

Zvoleným elektromotorem je 1AL132S-4 s výkonem 5.5 kW a nominálními otáčkami 1450 ot./min.

5.4.3. Návrh hydraulického agregátu a potrubí

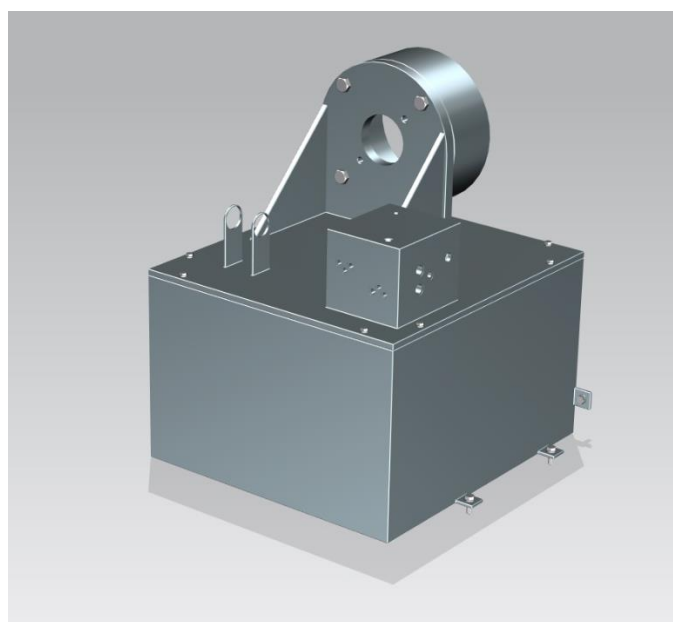
Hydraulický agregát se skládá z nádrže a víka, na kterém se nachází řídící blok a přírubový mezikus pro čerpadlo s elektromotorem.

Nádrž slouží jako zásobník kapaliny, musí pojmit dostatečný objem kapaliny pro zaplnění hydromotorů. Objem potřebné kapaliny lze vypočítat přibližně jako 3 až 5 tisícekrát objemového průtoku čerpadla.

$$V_n := 4 \cdot Q_{\dot{c}} = 58.905 \frac{l}{min}$$

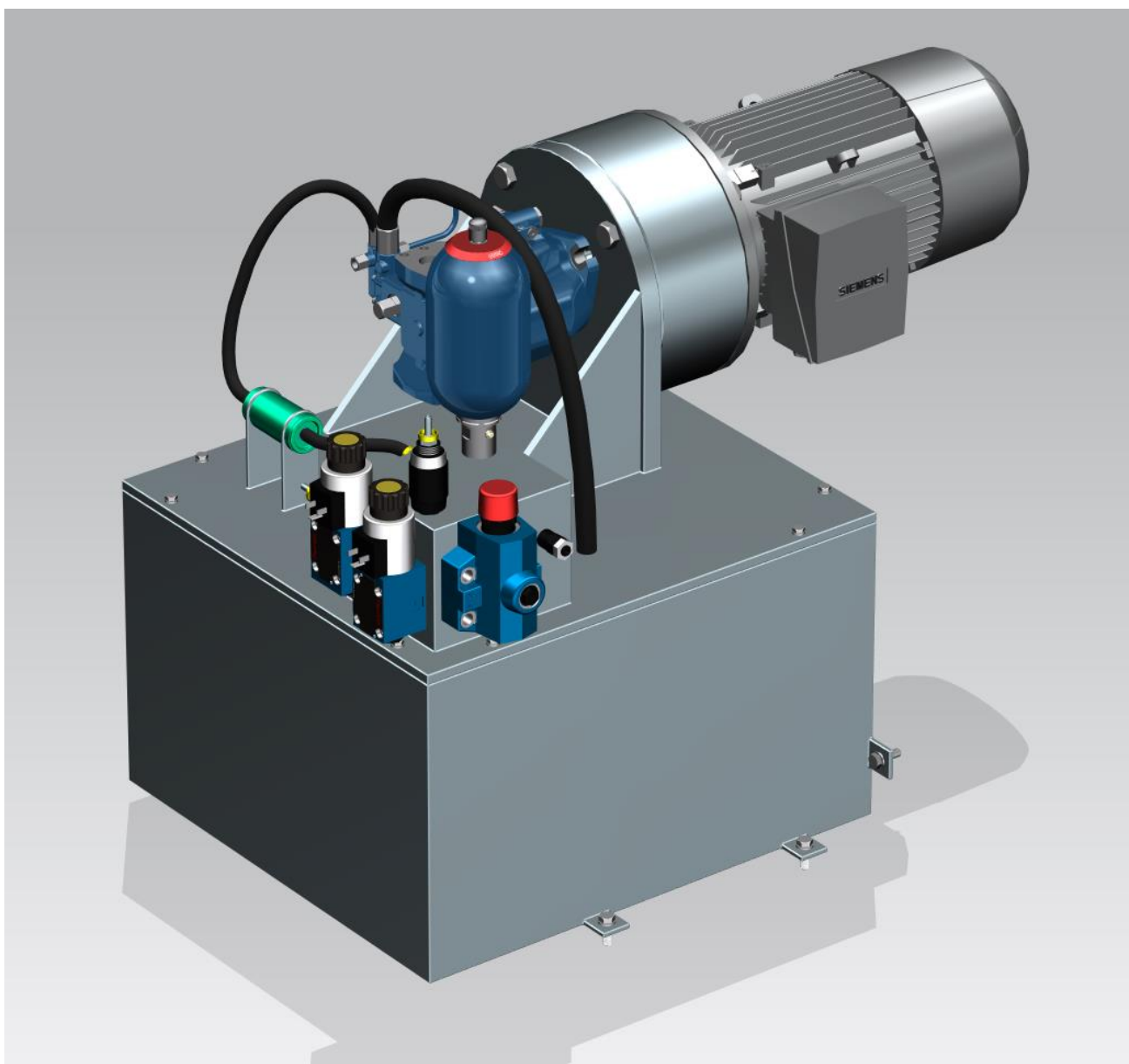
Skutečný objem navržené nádrže je 60 l.

Řídící blok je ocelová kostka, do které jsou vyvrtány díry kolmo k na sebe tak, aby společně tvorily řídící část hydraulického oběhu. Průměry otvorů se musí shodovat s průměry otvorů v řídících prvcích. Dále je kostka opatřena závitovými otvory pro přípojky pro potrubí a hadice. Na bloku jsou poté upevněny prvky hydraulického systému. Dosedací plochy na desce musí být broušené, aby bylo možné obvod rádně utěsnit. V dolní části kostky se nacházejí otvory pro odtok z vratných větví oběhu. Na víku je také držák pro filtr. Víko je k nádrži přichyceno pomocí sady šroubů a dosedací plochy jsou utěsněny pomocí těsnícího tmelu Loctite. Elektromotor s čerpadlem jsou uchyceny k víku jednotky přes přírubový mezikus, ve kterém se nachází spojka pro přenos kroutícího momentu. Mezikus je k víku přivařen. Celý agregát je pomocí patek a sady šroubů uchycen uvnitř saní zařízení.

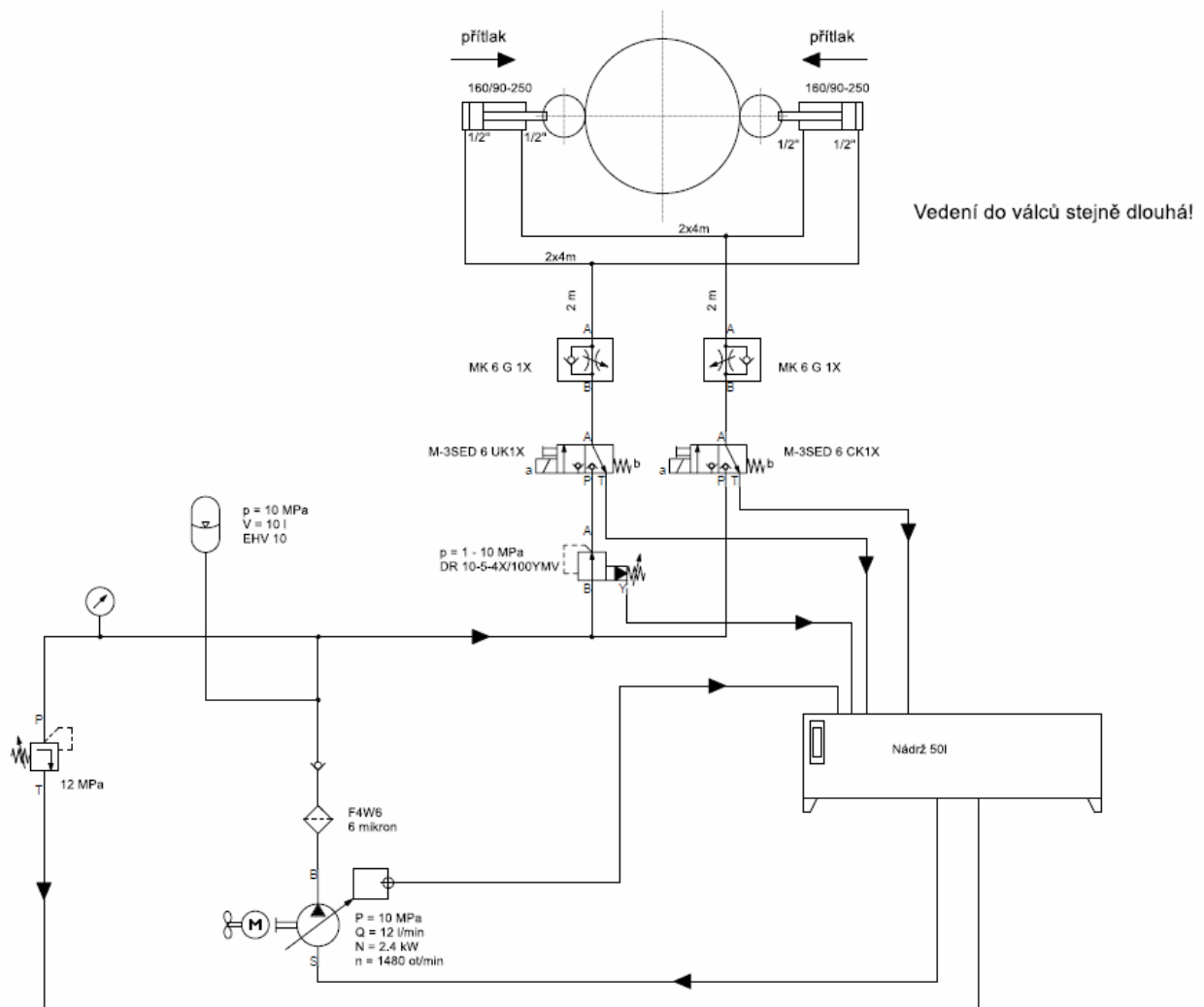


Obrázek 41: Nádrž s víkem

Na kvádru se nachází řídící a směrové prvky systému. kapalina do kvádru přichází hydraulickou hadicí z čerpadla a před olejový filtr uchycený v držáku. Prvním prvkem v obvodu je akumulátor o objemu 10 l, který slouží jako zdroj energie při případném výpadku čerpadla. Jako druhý prvek se v oběhu nachází pojistný ventil, který propustí kapalinu zpět do nádrže při překročení kritického tlaku kapaliny, 11 MPa. Síla přítlaku válečků je řízena pomocí redukčního ventilu. Směr toku kapaliny je řízen pomocí dvou směrových 3/2 sedlových ventilů, aby bylo možné plněním komor hydromotoru vysouvání a zasouvání pinoly. Dále se v oběhu nachází škrťící ventily pro regulaci rychlosti výsuvu. Schéma hydraulického obvodu je vidět na obrázku 30. Konkrétní prvky vybrané z katalogu firmy Bosch Rexroth jsou v příloze č. 8.



Obrázek 42: Hydraulický agregát

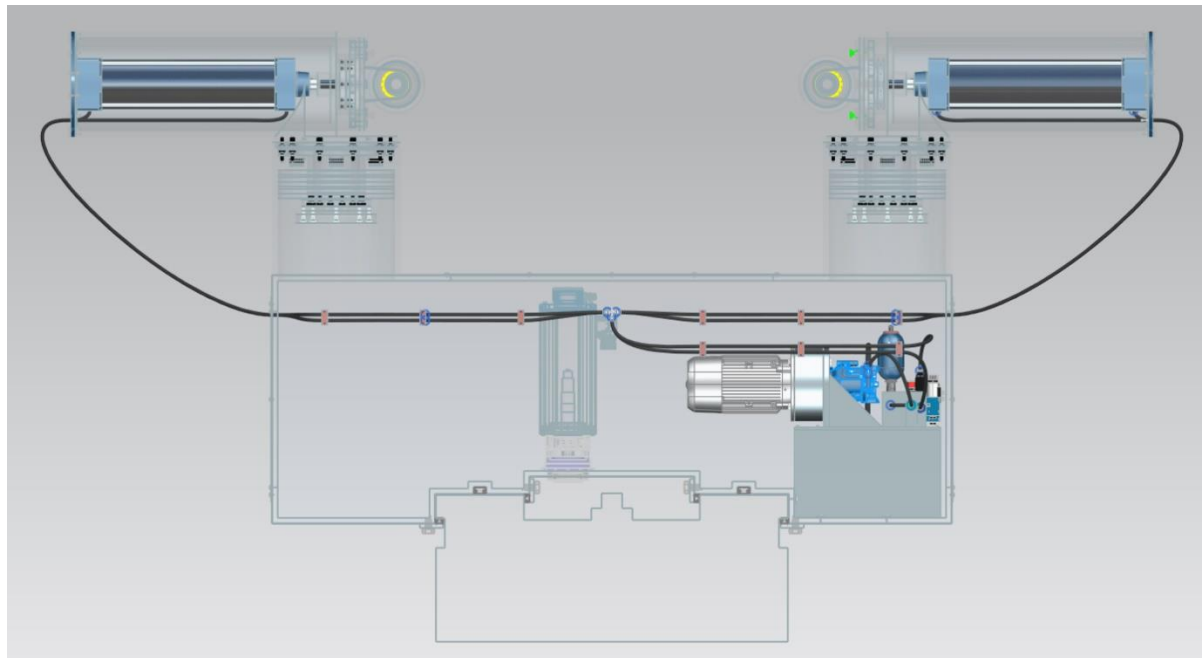


Obrázek 43: Hydraulické schéma

Při volbě potrubí se vychází z přípustné rychlosti kapaliny v dané části obvodu. Pro výtlacné potrubí je to 5–10 m/s, pro sací potrubí 0,5 – 1,5 m/s a pro odpadní potrubí 2–5 m/s. Výpočet průměrů potrubí byl proveden v programu PTC Mathcad a je v příloze č. 8.

Pro výtlacné potrubí vyšel vnitřní průměr potrubí 6,3 mm, resp. 1/2“, pro sací potrubí vnitřní průměr 16 mm, resp. 5/6“ a pro odpadní potrubí 8 mm, resp. 5/16“. Z katalogu firmy Parker byla vybrána hydraulická hadice typu 301SN, která je dostupná ve všech potřebných velikostech.

Hydraulické hadice jsou vedeny do středu saní stroje, kde se pomocí hydraulické T spojky obvod rozděluje do 2 částí vedoucích k hydromotorům stroje. Ve vratné větvě se na stejném místě proud kapaliny zase v T spojce sloučuje. Spojky jsou ve střední části uloženy proto, aby byly obě potrubí vedoucí do hydromotorů stejně dlouhá, ztráty v potrubí tak stejně a stejně tak přítlačná síla válečků. Hadice jsou ke stěnám saní přichycené pomocí klipů. Hadice dále vycházejí ze saní otvory v krycích plechách bočních stěn saní, a otvory v přírubách k hydromotorům.



Obrázek 44: Uložení hydraulického obvodu

5.5. MKP analýza vedení pinoly

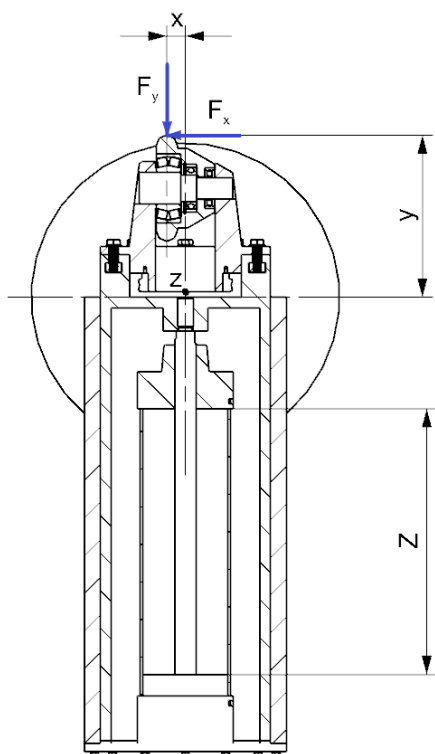
5.5.1. Vstupní parametry

Předmětem simulace je sestava výsuvu hlavy válečkovacího zařízení. Kontrola je provedena při maximálním vysunutí pinoly, působení maximální přitlačné síly a maximální síly od posuvu.

Zdvih: $Z = 550 \text{ mm}$

Radiální síla na kladku: $F_y = F_r = 120 \text{ kN}$

Axiální síla na kladku: $F_x = F_a = 48 \text{ kN}$

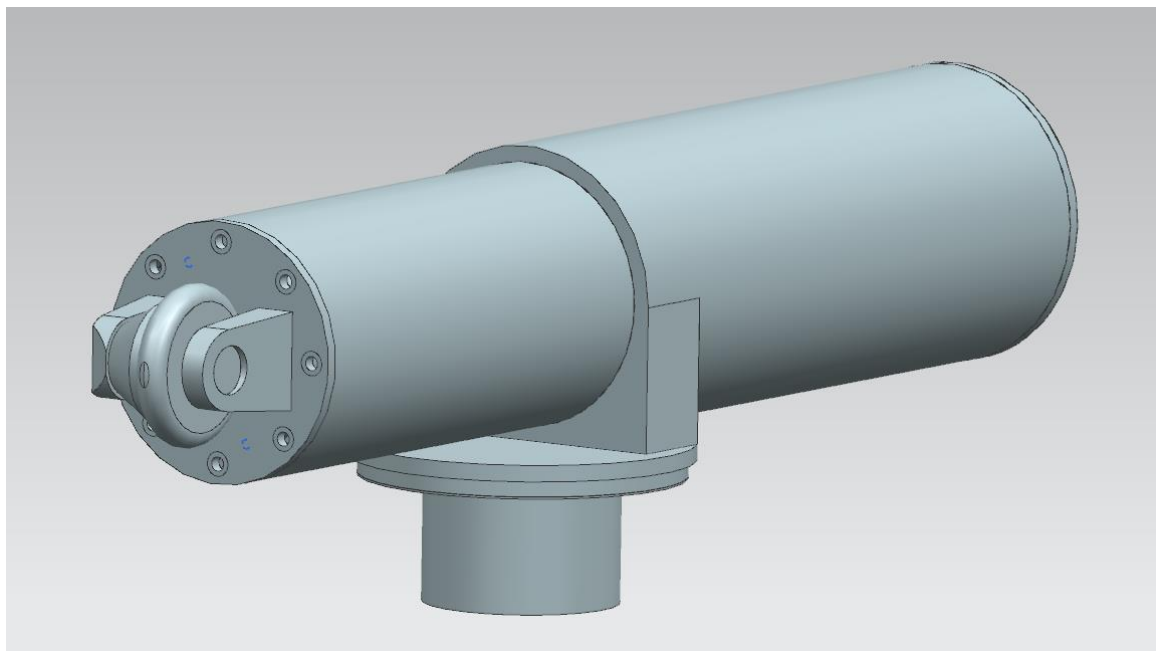


Obrázek 45: Působení sil

Cílem práce je pevnostní kontrola sestavy, vyšetření průběhů napětí a deformací.

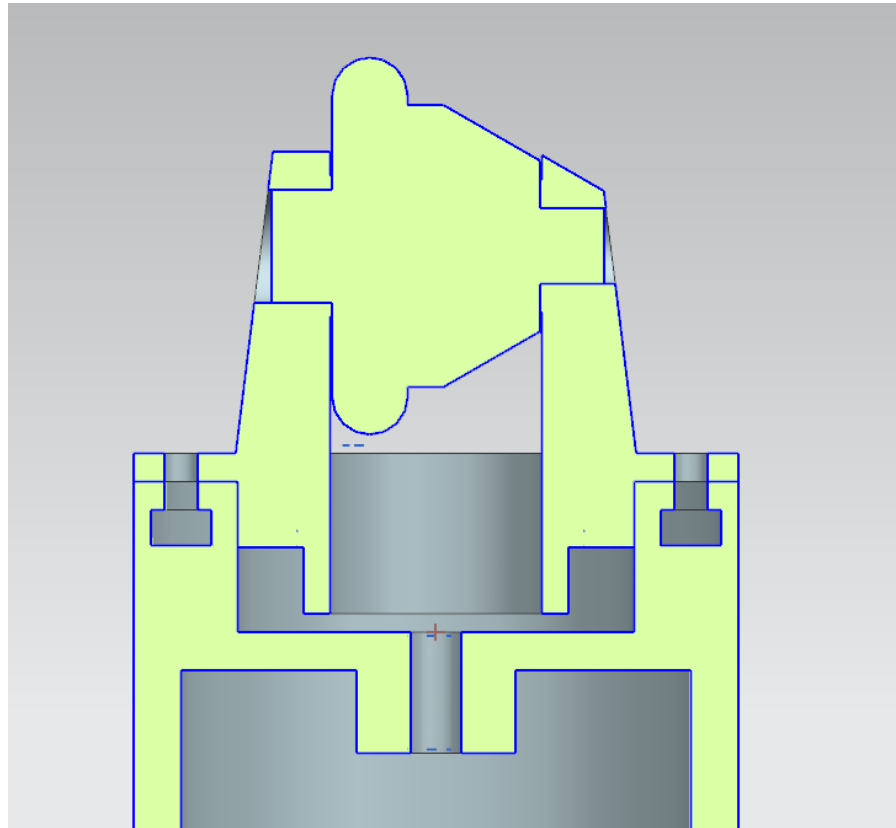
5.5.2. Definice úlohy

Při idealizaci byla pro zjednodušení modelu odstraněna zaoblení, součásti, šrouby a díry, které nejsou pro analýzu potřebné a nijak ji neovlivňují.



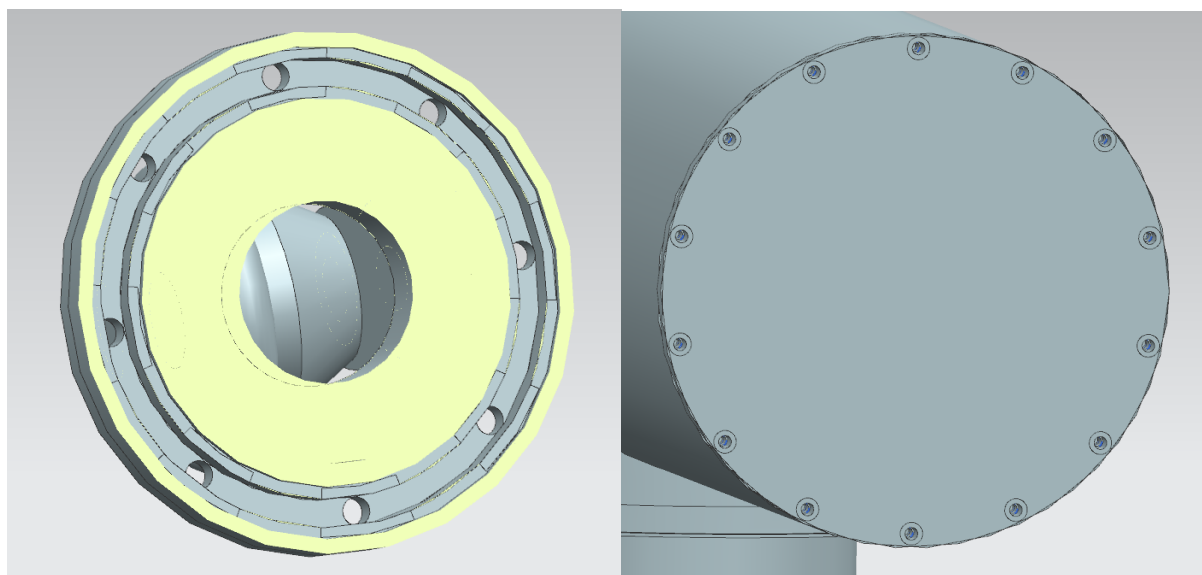
Obrázek 46: Idealizovaný model

Výpočet uložení ložisek nebylo cílem analýzy, proto byla kladka pevně spojena s osou tak, aby byly dotykové plochy podobné.



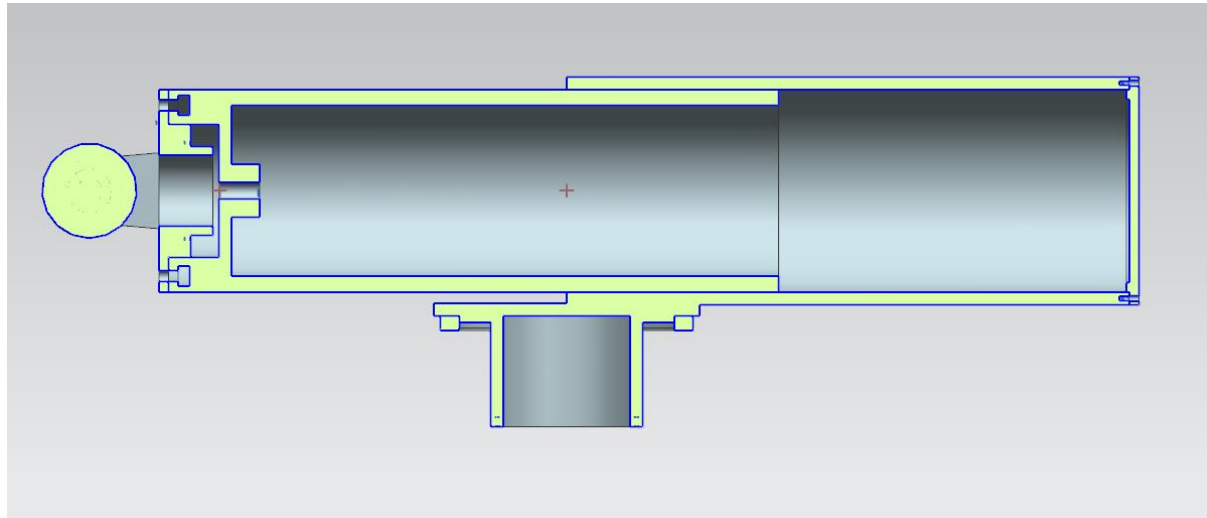
Obrázek 47: Idealizovaný model

Šrouby a matice přenášející zatížení byly také odstraněny, místo nich byly plochy pod nimi rozděleny a tím připraveny pro nahrazení 1D prvky.



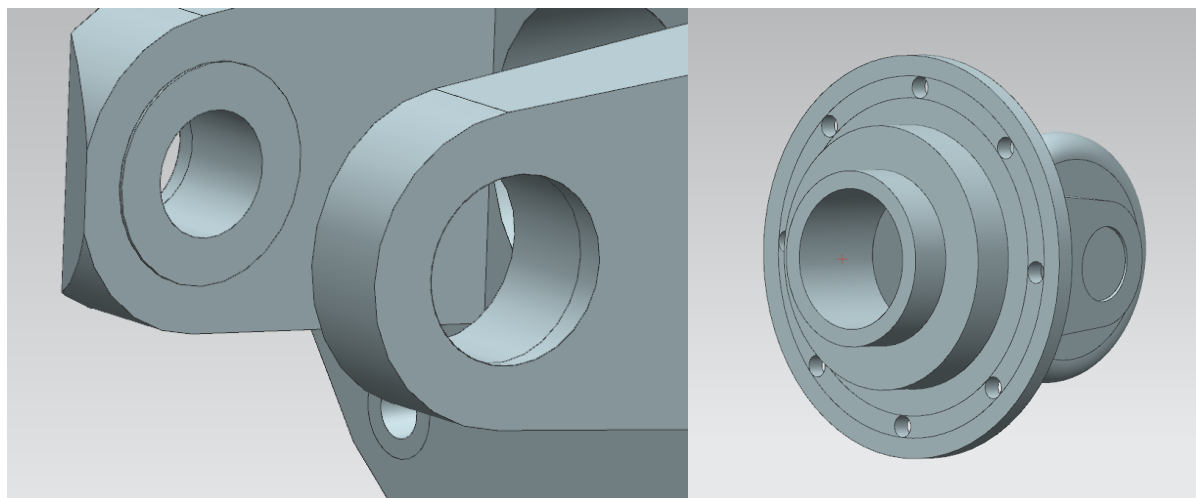
Obrázek 48: Idealizovaný model

Hydromotor a hirthovo ozubení byli také odstraněny a dále nahrazeny.



Obrázek 49: Idealizovaný model

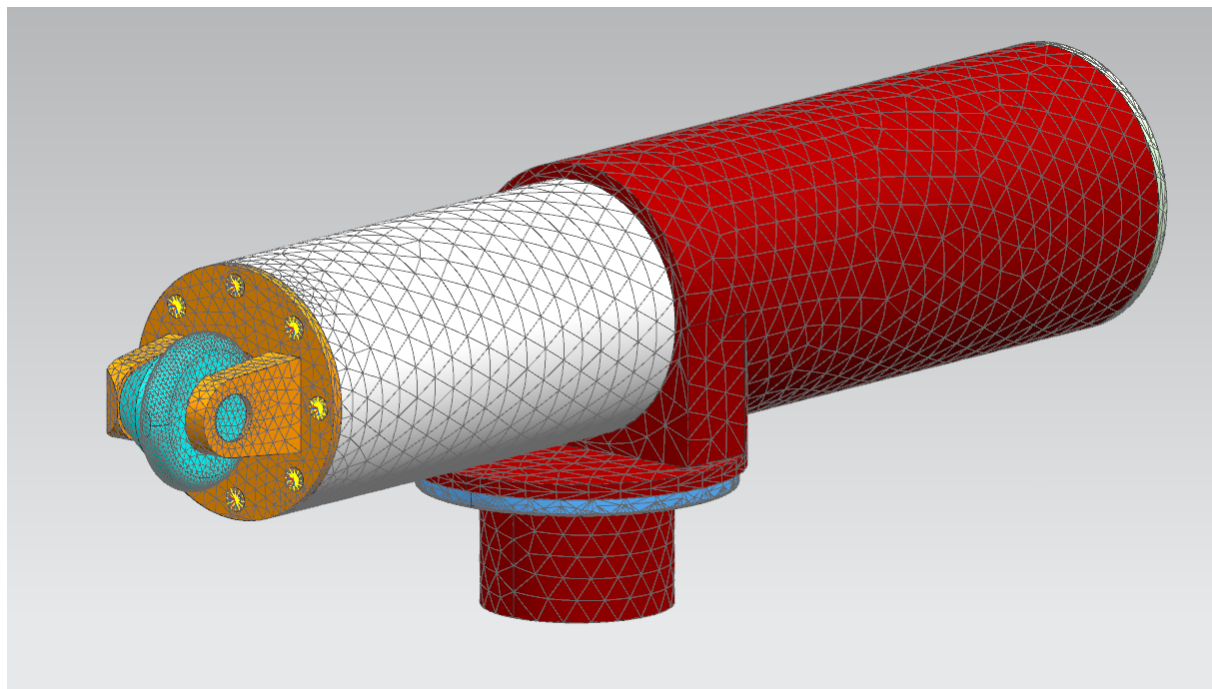
Na místech, kde se prvky dotýkají byly stěny rozděleny pro jednodušší vytvoření sítě.



Obrázek 50: Detail na rozdělené plochy

5.5.3. Tvorba sítě

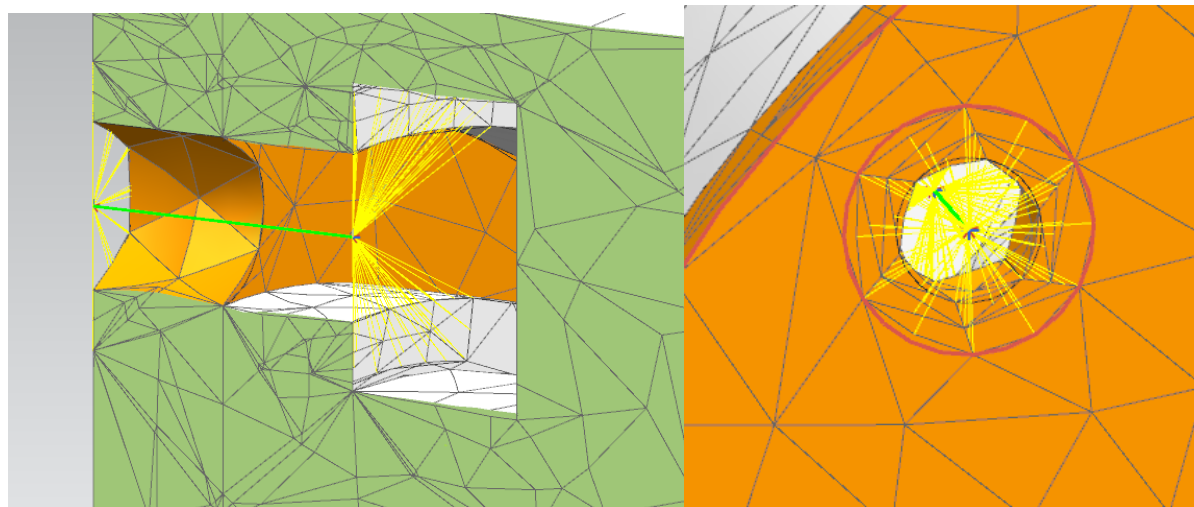
Na součásti byla použita tetraedrová síť, u některých ploch byla pomocí ovladače sítě zjemněna. Pro všechny součásti byl použit předdefinovaný materiál Steel z knihovny programu NX, která má modul pružnosti a poissonovo číslo podobné většině konstrukčních ocelí.



Obrázek 51: 3D síť

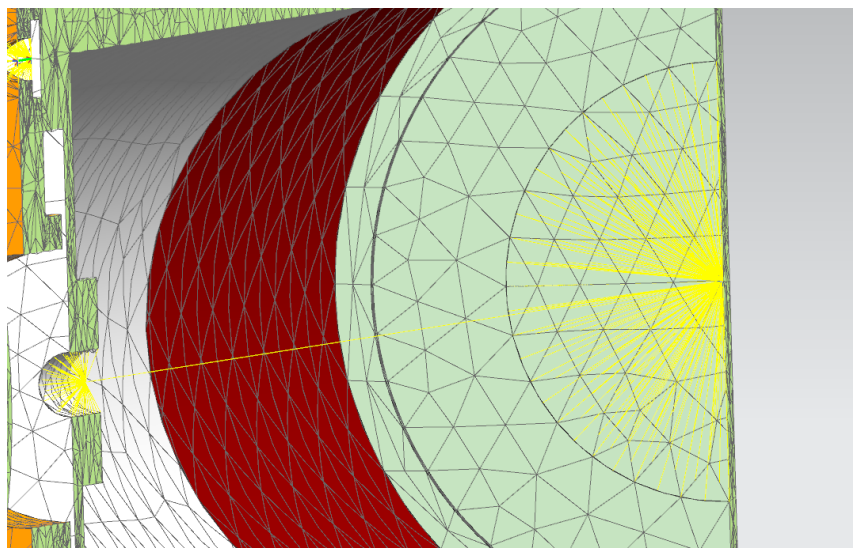
Na všechny dotykové plochy, které byly předem rozděleny, bylo použita funkce propojení sítě s volným spojem.

Šrouby byly nahrazeny 1D sítěmi RBEAM s definovaným průměrem, matice, podložky a závity propojením 1D sítě (bod na stěnu) prvky RBE2.



Obrázek 52: Detail na nahrazené šrouby

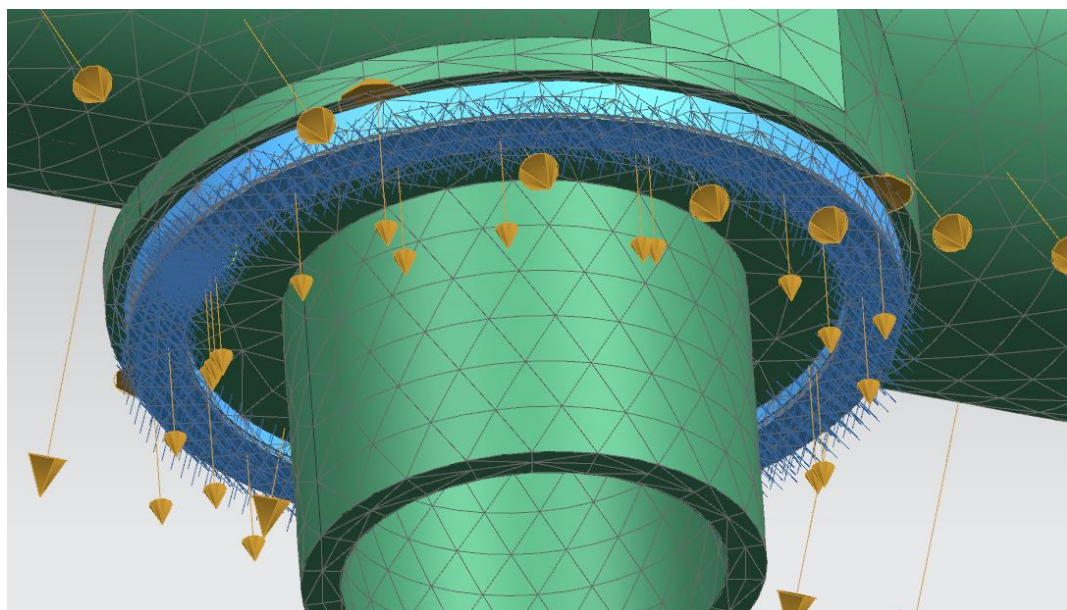
Hydromotor byl také nahrazen pomocí 1D sítě stejně jako při nahrazování šroubů, průměr prvku byl nastaven na nejužší místo pístnice, 64 mm.



Obrázek 53: Nahrazení hydromotoru

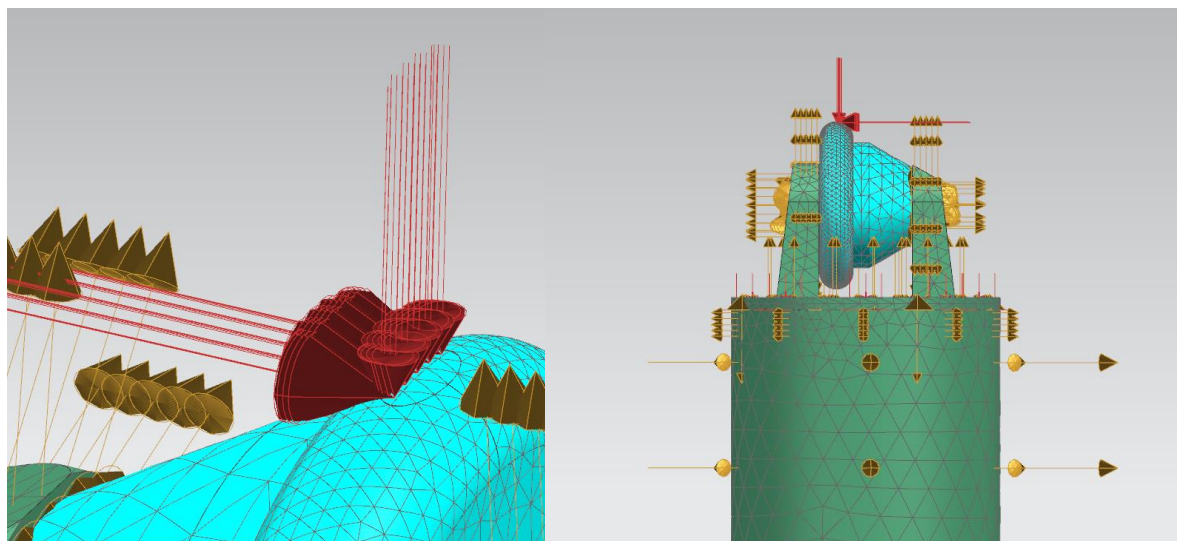
5.5.4. Okrajové podmínky a kontakty

Hirthova spojka má zaručovat velmi tuhé spojení, byla proto na styčnou plochu ozubení použita pevná vazba. Na spojení prstence s tělesem válce bylo použito spojení plochy s plochou.



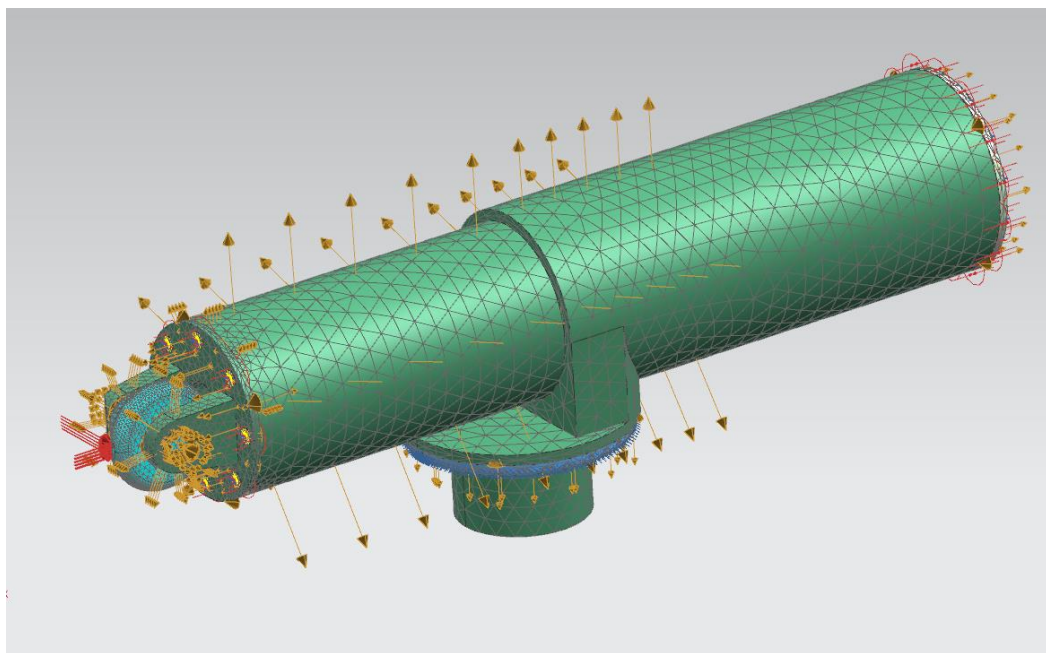
Obrázek 54: Upnutí

Na plochu simulačního přídavek na obrobení byly použity síly podle zadání.



Obrázek 55: Síly

Pro všechny kontaktní plochy byl použit kontakt plochy na plochu, u nalisované kladky byl nastaven přesah. Na nahrazené šrouby pak bylo použito předepnutí šroubů na potřebné hodnoty vypočtené v programu KISSsoft, 55 kN u šroubů upínající hlavu na pinolu, a 17.5 kN u šroubů upevňující víko s hydromotorem. Prvek nahrazující hydromotor byl předepnut tak, aby simuloval přítlačnou sílu hydromotoru, tedy na 120 kN.

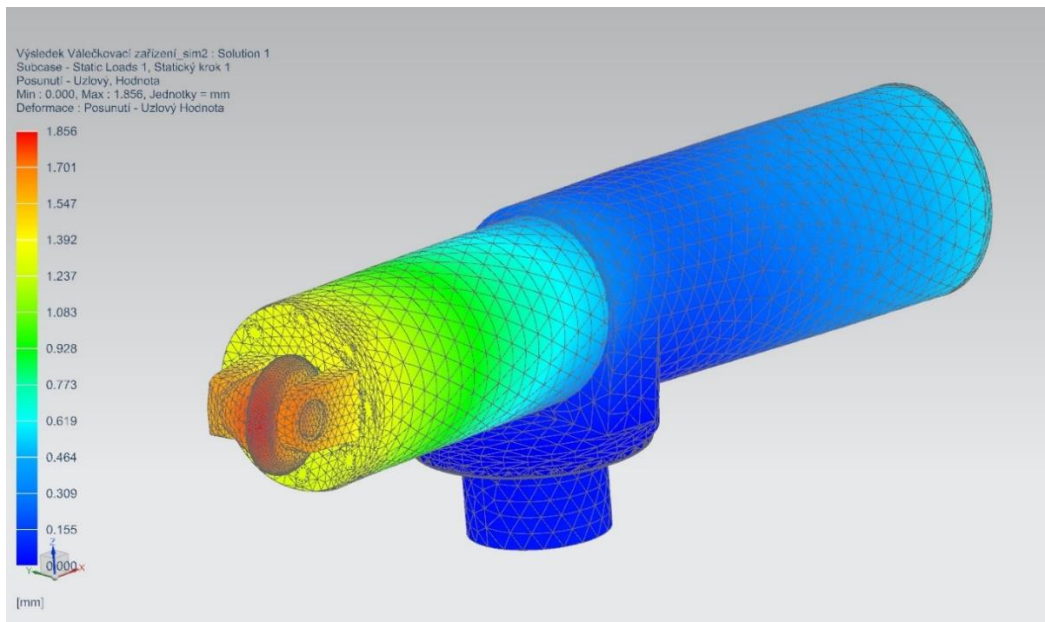


Obrázek 56: Okrajové podmínky a kontakty

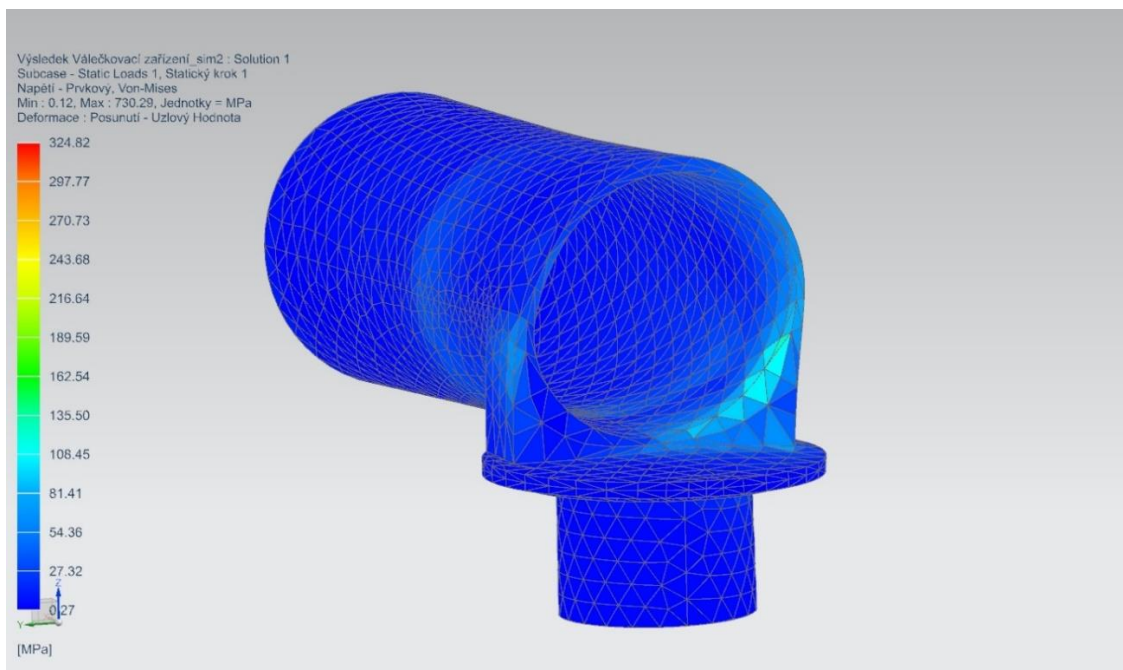
Při válečkování povrchů hřídelů se nepředpokládají velké dynamické účinky a využití v krajních pozicích se předpokládá jen výjimečně, proto je problém řešen jako úloha lineární statiky.

5.5.5. Výsledky MKP analýzy

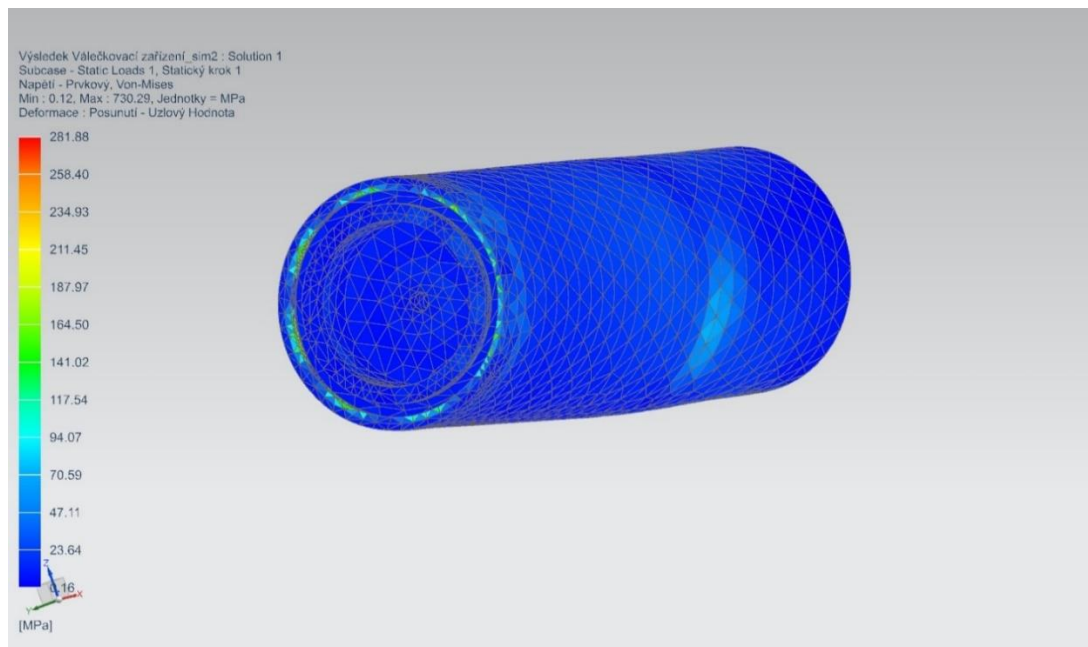
Nejvyšší redukované napětí je 730 MPa v místech dotyku nalisované osy, to ale není směrodatné, kvůli zjednodušení uložení kladky. Hlavní hledané výsledky byly celkové posunutí kladky a napětí ve vedení pinoly.



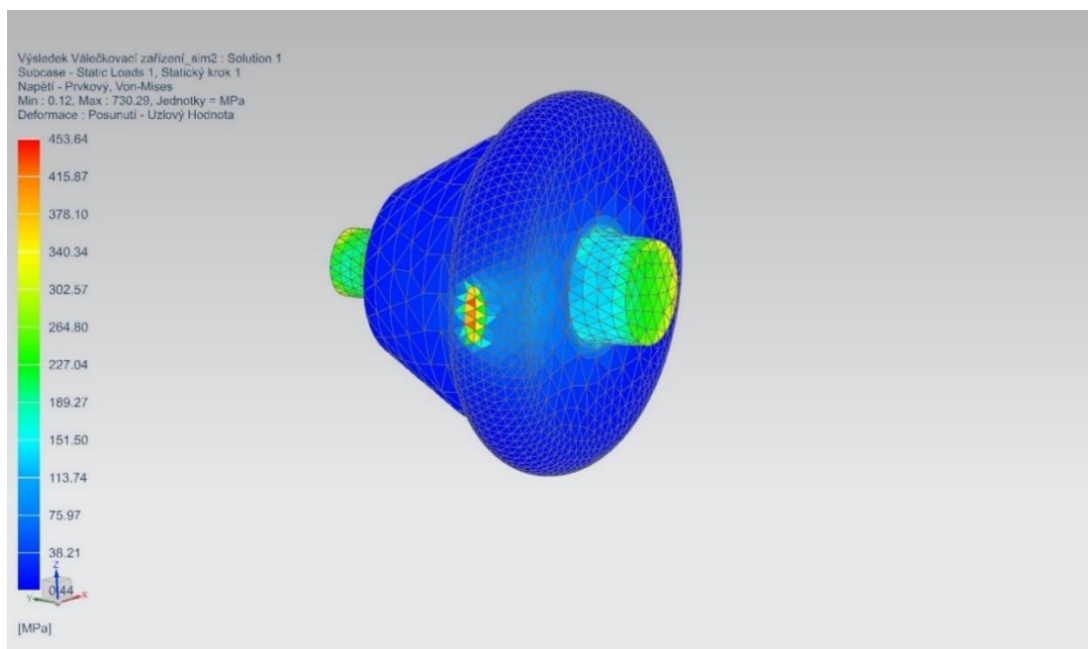
Obrázek 57: Celkové posunutí



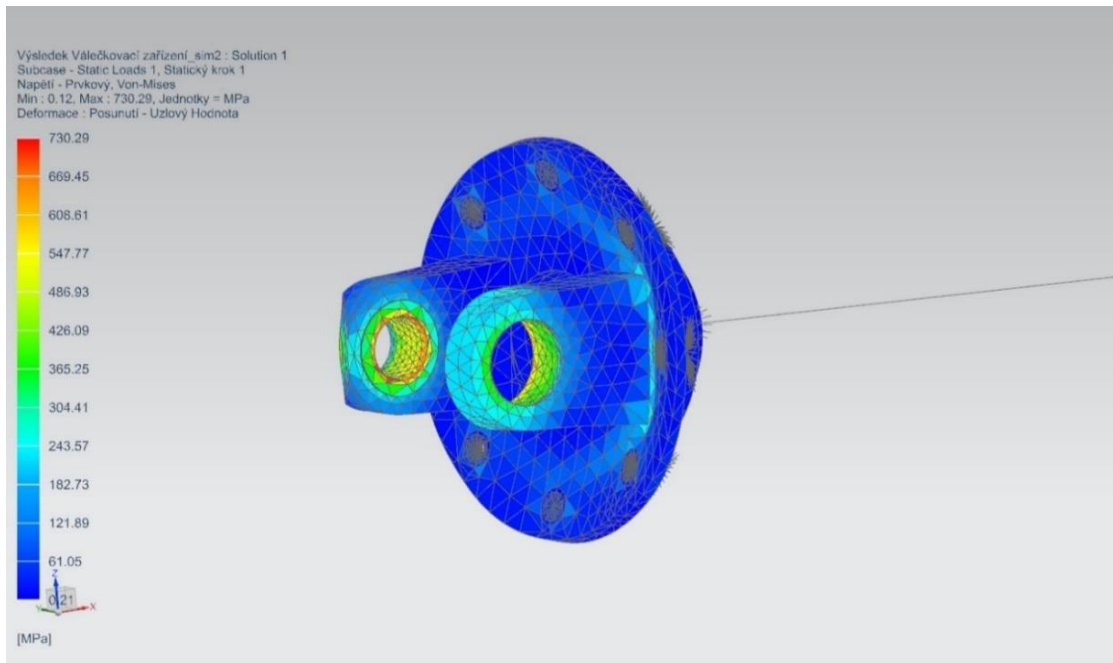
Obrázek 58: Průběh napětí (Von mises) ve vedení pinoly



Obrázek 59: Průběh napětí (Von mises) v pinole



Obrázek 60: Průběh napětí (Von mises) v nalisování



Obrázek 61: Průběh napětí (Von mises) tělesa hlavy

5.5.6. Vyhodnocení MKP analýzy

Nejvyšší napětí vyšlo 730 MPa v místech nalisování osy kladky a jejího uložení, které bylo ale velmi zjednodušeno a výsledky mohou být zkreslené. Hledané výsledky průběhu napětí ve vedení pinoly ukázali maximální napětí ve vedení $\sigma_{max} = 324.82$ MPa, které se vyskytlo v uzlech u zasítování děr pro uchycení příruby hydromotoru, což stejně jako u nalisování není směrodatný výsledek. Hledané špičky ve vedení pinoly dosahují hodnoty 125 MPa a celkové posunutí v místě působení sil je 1,856 mm, respektive posunutí v ose y, 1,711 mm. Vedení je z oceli 12 050 ($Re = 330$ MPa) a při pominutí napěťových špiček ve zjednodušených místech a uvažování maximálního napětí $\sigma_{max} = 125$ MPa lze konstatovat, že pro danou bezpečnost vyhovuje.

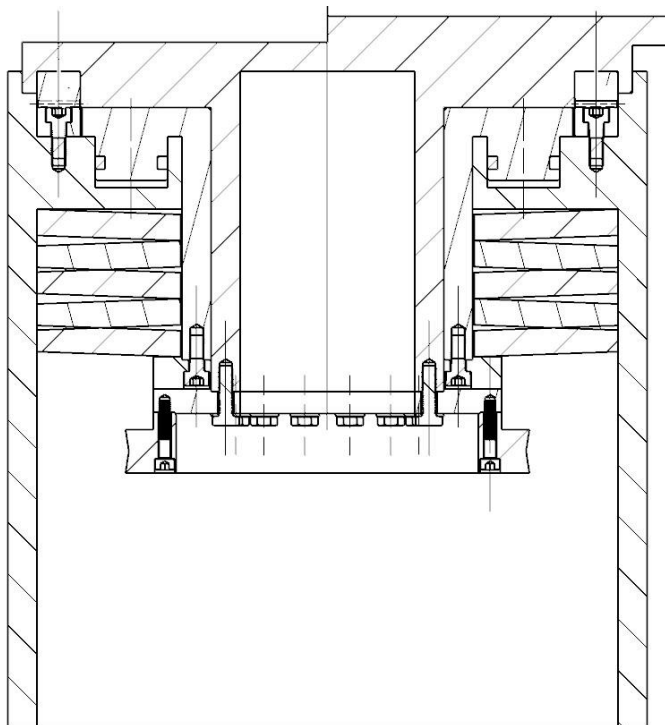
$$\sigma_d = 220 \text{ MPa} \quad (Rd = Re/k; k = 1.5)$$

$$\sigma_{max} < \sigma_d$$

5.6. Návrh natáčení válečkovacích hlav

Natáčecí mechanismus se skládá z věže, tělesa vedení pinoly, které má v dolní části přírubu a čep, hirthovy spojky a šnekového soukolí.

Spojka s čelním ozubením neboli Hirthova spojka, zajišťuje velmi tuhé spojení a přesné ustanovení v poloze. Počet poloh převodovky je dán počtem zubů na věncích hirthova ozubení. Z katalogu firmy Röhm byl zvolen věnec o vnějším průměru 400 mm se 120 ti zuby. V programu PTC Mathcad bylo ozubení zkontrolováno z hlediska měrného tlaku v ozubení.



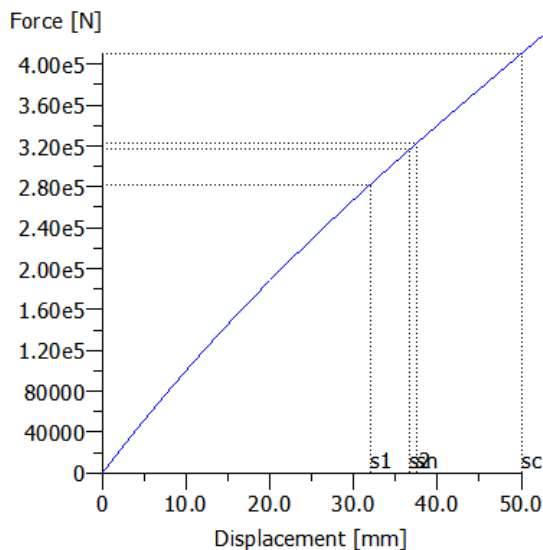
Obrázek 62: Řez natáčecím mechanismem

5.6.1. Upnutí spojky

Předpokladem spolehlivého upnutí je vyvození dostatečné upínací síly vzhledem ke klopným momentům působícím na spojku. Vypočtená upínací síla 280 kN je ve spojce vyvozena taliřovými pružinami. Na základě prostorových možností v oblasti spojky byly určeny vnější a vnitřní průměr pružiny. Pro zmenšení tuhosti pružiny při zachování upínací síly je použita sada 5 ti sériově uspořádaných pružin. Tloušťka pružin byla navržena v programu KISSsoft, zároveň byla určeno i počáteční stlačení pružiny a maximální síla pružin při překonání zdvihu která činí 323.3 kN. Vnější průměr pružin je 400 mm, vnitřní průměr 202 mm a materiálem pružin je pružinová ocel X10CrNi 18-8.

Vnější průměr	400 mm
Vnitřní průměr	202 mm
Tloušťka	18 mm
Délka v nezatíženém stavu	28 mm
Materiál	X10CrNi 18-8

Tabulka 1: Parametry pružin



Obrázek 63: Síla a stlačení talířových pružin

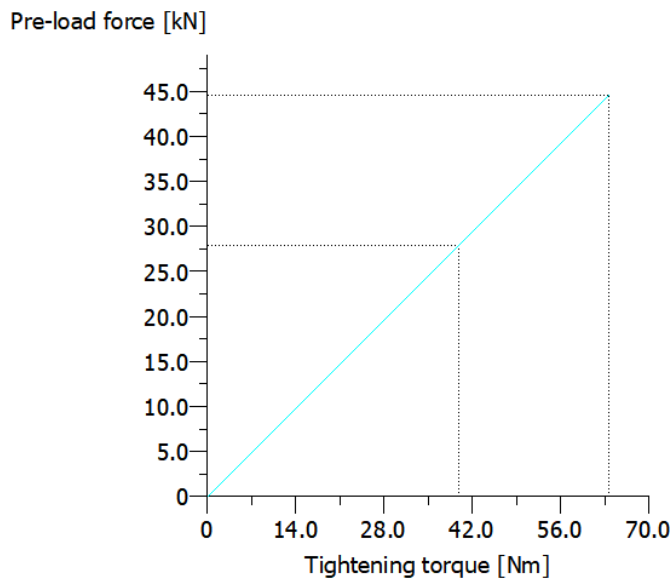
5.6.2. Zdvihací mechanismus

Pro možnost vytočení je nutné přemoci sílu vyvozenou pružinami a tíhu sestav vedení pinoly a válečkovací hlavy, aby bylo dosaženo potřebného zdvihu pro rozpojení spojky. Hodnota zdvihu udávaná výrobcem je 4,7 mm. Zdvihací síla je vyvozena čtyřmi hydraulickými tělesky po obvodu spojky, které byly navrženy a vypočteny v programu PTC Mathcad. Průměr hydraulických válců je 50 mm. Tlak kapaliny v hydraulických těliscích je nakonec dán vztahem:

$$p := \frac{F_v}{n_p \cdot S} = 41.164 \text{ MPa}$$

Tento tlak musí zajistit hydraulický agregát, jehož navržení není obsahem této práce. Agregát může být stejně jako agregát pro hydraulický obvod přítisku válečků uložen v saních zařízení.

Pružiny jsou ve spojce uchyceny pomocí zdvihacího tělesa, na kterém se v horní části nacházejí písty, a příruby ve spodní části, která je ke zdvihacímu tělesu uchycena sadou šroubů. Tyto šrouby musí přenášet sílu pružin a byly proto navrženy v programu KISSsoft. Jedná se o sadu 14 ti šroubů se záplustnou hlavou M10x20-10.9.

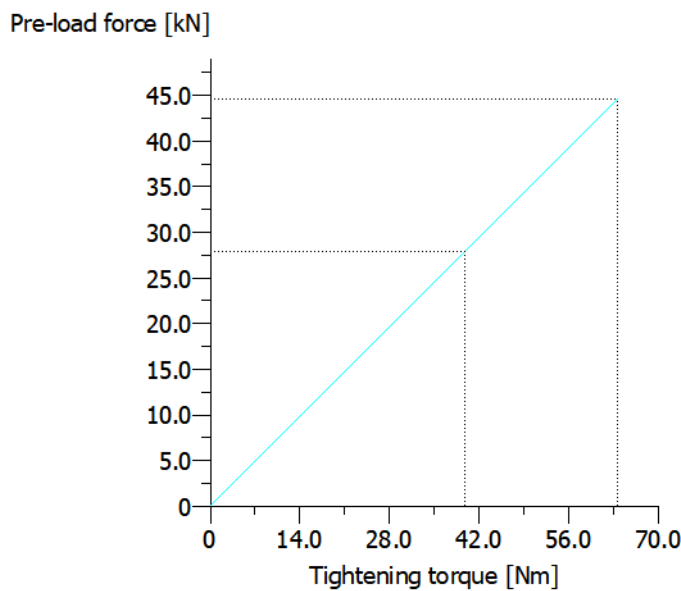


Obrázek 64: Předepnutí šroubů sestavy zdvihu

5.6.3. Otočný mechanismus

Další část spojky je již těleso vedení pinoly, na jehož přírubovou část je uchycen druhý prstenec hirthova ozubení. Při zdvižení pomocí zdvihacího mechanismu se těleso otáčí na čepu vsunutého do zdvihacího tělesa. Při ustanovení tělesa do polohy a uvolnění zdvihu je potřeba přenést upínací sílu vyvozenou pružinami. To zajišťuje další příruba se sadou šroubů, které byly opět spočítány v programu KISSsoft. Příruba je zde uchycena stejnou sadou šroubů M10x20-10.9, hodnoty předepnutí se však liší a jsou patrné z obrázku 66.

Otočný pohyb je realizován stejně jako u válečkovací hlavy ručně, pomocí šnekového mechanismu. Šnekové kolo i šnek je zde válcový. Válcové šnekové kolo umožňuje, aby byl šnek upevněn ve věži, posunutý vertikálně o hodnotu zdvihu, a při zdvihnutí byl ve správné poloze.



Obrázek 65: Předepnutí šroubů příruby

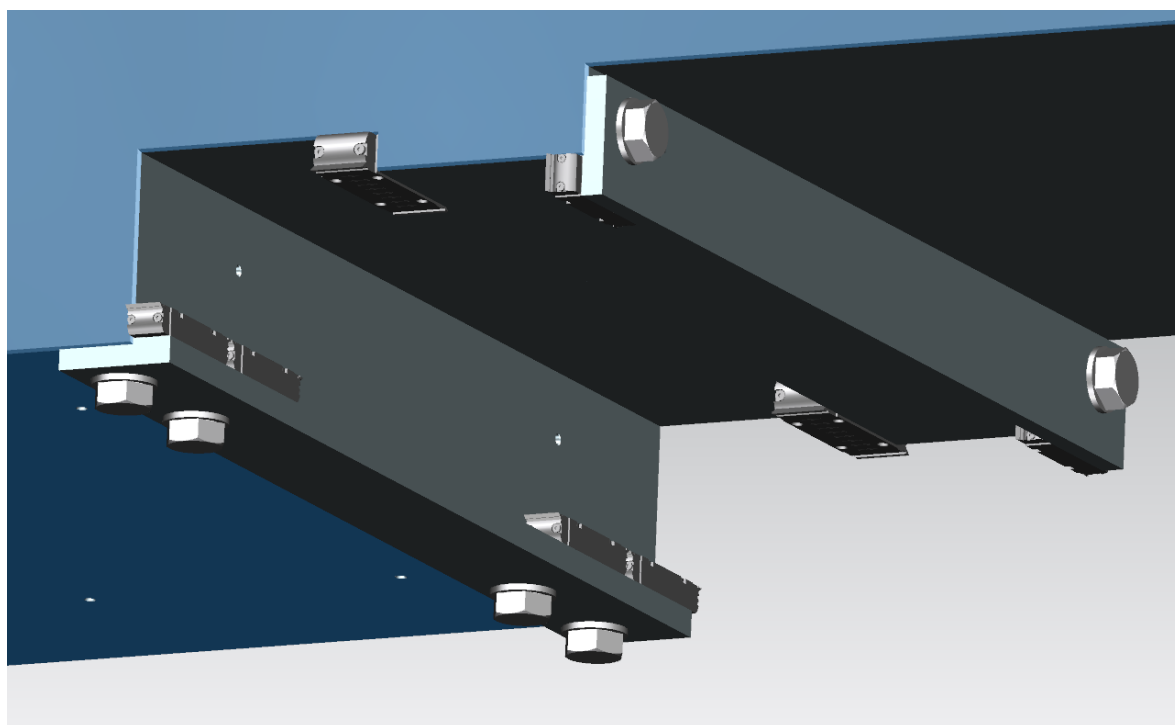
5.7. Návrh vedení saní

Vedení saní je na požadavek zadavatele realizováno pomocí valivých jednotek po kalených vodicích plochách lože. Valivé jednotky neboli „tanky“ musí být navrženy tak, aby vydržely zatížení od působících sil. Tanky jsou proto rozmístěny tak, aby byly zachyceny síly v obou směrech kolmých k vodícím plochám lože. Bylo použity 4 tanky pro horní plochu, 4 tanky pro boční plochy a 8 tanků pro dolní plochy, které jsou zatíženy nejvíce.

Při výpočtu zatížení byly nejprve určeny polohy tanků v souřadnicovém systému a polohy působení sil pro horní a dolní tanky ve směru y (směr posuvu) byly transformovány vzhledem ke středu pružnosti. Poté byly definované složky sil a momentů působící na jednotlivé sady tanků a zatížení v počátku souřadnic. Následně byly definovány vektory zatížení při maximálním vysunutí pinol a byly spočítány reakce tanků. Postup byl nejprve proveden pro případ jednostranného válečkování, při kterém na rozdíl od oboustranného válečkování působí značné zatížení i na boční tanky. Poté byl postup zopakován pro případ oboustranného válečkování. Dále byly vyhodnoceny maximální reakce v jednotkách a určena statická bezpečnost. Nakonec byly z katalogu firmy Schaeffler vybrány tanky typu RUS a spočítána jejich dynamická bezpečnost. Celý návrh vedení je v příloze č. 14.

Pro horní plochy vedení byly zvoleny RUS 26126, pro dolní a boční plochy pak tanky RUS 19105, přičemž boční tanky jsou 4 a dolních tanků je 8 a jsou ustanoveny vzhledem k značně omezenému prostoru dolních vodicích ploch za sebou.

Boční a dolní tanky jsou z hlediska možnosti montáže zařízení na lože uchyceny k saním pomocí lišť, které jsou k saním uchyceny sadou šroubů. Jedná se o šrouby M24x35-12.9, 8 šrouby pro lištu dolních jednotek a 4 šrouby pro lištu bočních jednotek.



Obrázek 66: Valivé jednotky

5.8. Návrh posuvového mechanismu

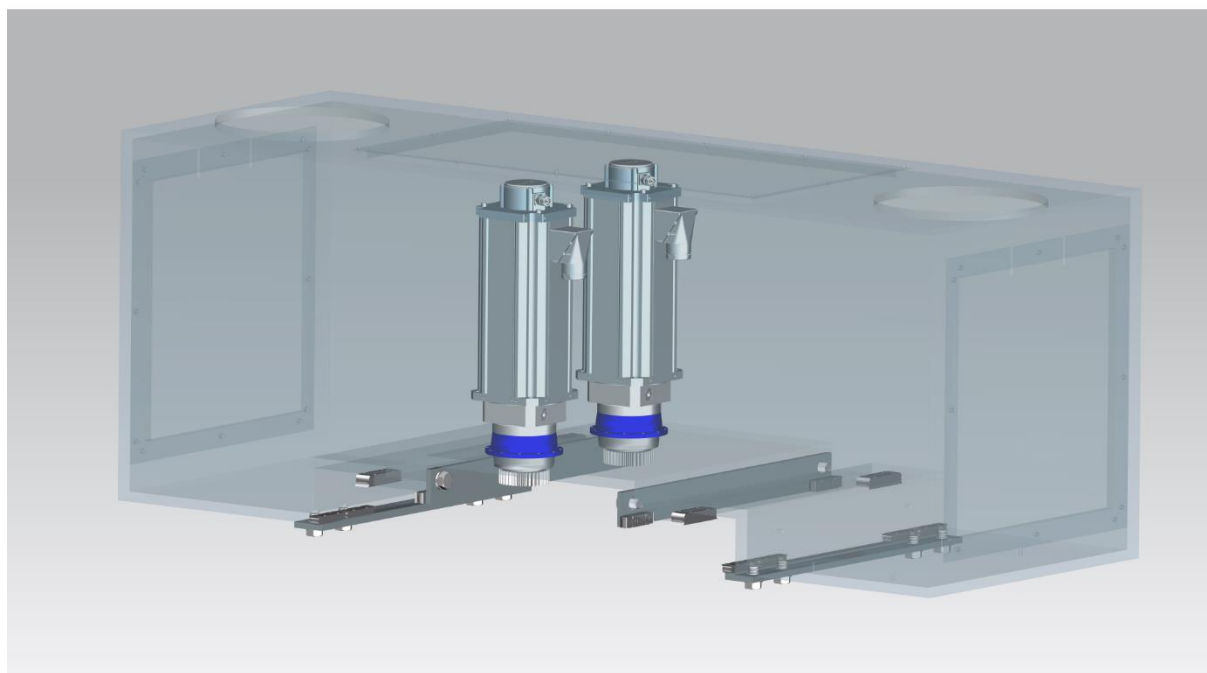
Posuv zařízení po loži je realizován pomocí pastorku a hřebene. Předepnutí je řešeno pomocí 2 servomotorů v režimu master – slave.

Kvůli omezenému prostoru ve středové části lože by bylo velmi obtížné horizontální uložení pohonů mechanismu posuvu, aby bylo možné pro posuv použít původní hřeben na loži. Pro vertikální uložení byly proto zvoleny převodové skříně firmy Wittenstein, které byly spolu se servomotory umístěny a připevněny do děr ve střední části saní. Vedle původního hřebenu je pak třeba uchytit hřeben značky Wittenstein INIRA, umožňující velmi moderní a sofistikované uchycení.

Převodovka s pastorkem a pohon byly zvoleny pomocí softwaru Cyrex 5 firmy Wittenstein, který po definování zátěžného profilu určí ideální převodovku a motor ze sortimentu firmy a generuje CAD data. Parametry posuvu nebyly zadány, proto byly zvoleny tak, aby byly dostatečné. Zvolené parametry jsou patrné z tabulky 2. Výstup z návrhu je v příloze č. 16.

Parameter	Value
Total mass to be moved m	4000 kg
Max. process force F_p	48000 N
Max. speed v_{max}	0.26 m/s
Max. acceleration a_{max}	1 m/s ²

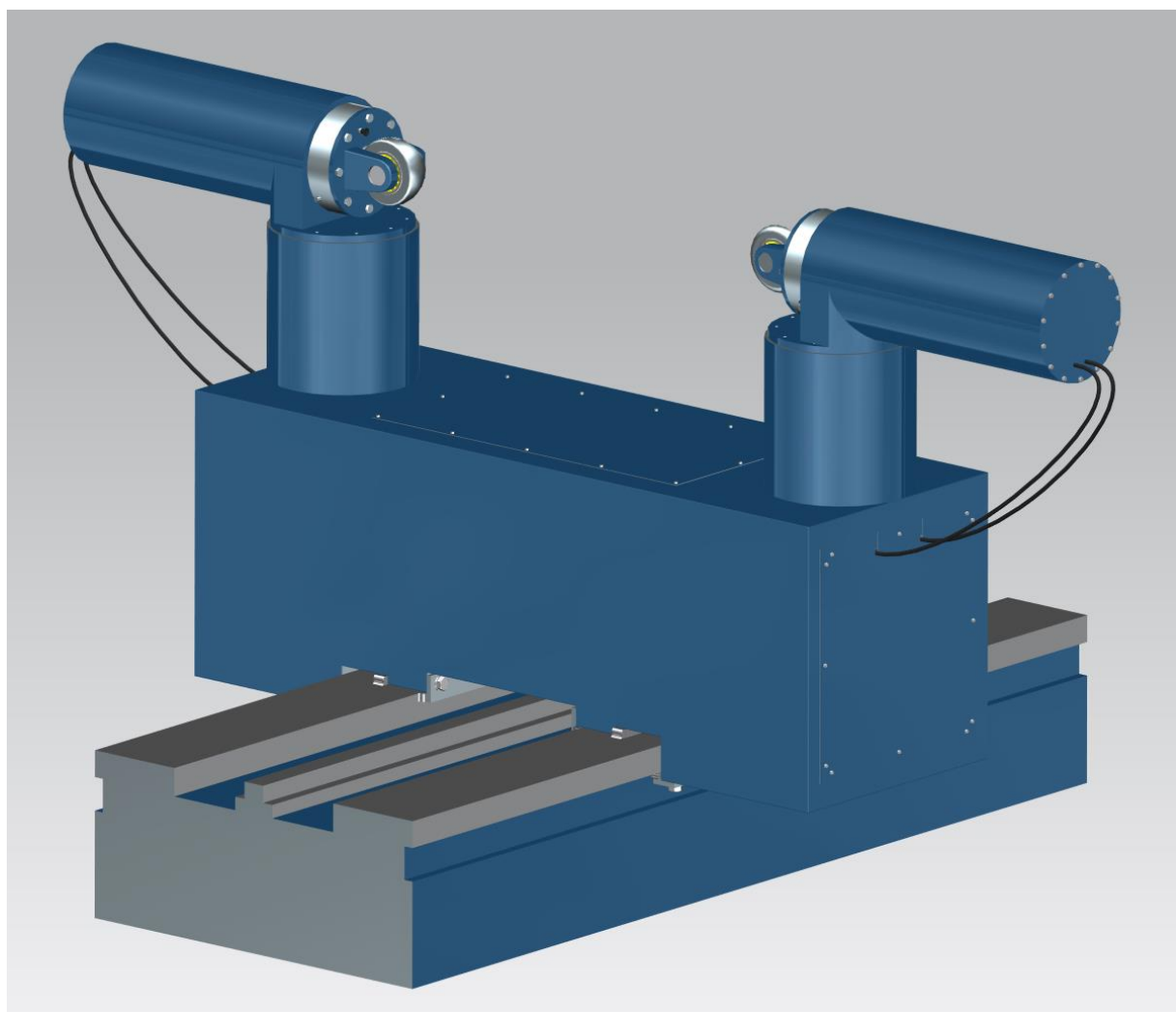
Tabulka 2: Vstupní parametry posuvu



Obrázek 67: Posuvový mechanismus Wittenstein

5.9. Návrh chlazení

Chlazení má být realizováno strojním olejem typu L, S, SU. Průtok oleje při přitlačné síle do 100 kN má být 2 l/h a nad 100 kN 5 l/h. Tento požadavek se splní částečným užitím prostředků pro chlazení nástrojů používaného u horizontek. Do základu se umístí agregát s nádrží o objemu 300 l a kapalina je vedena pomocí rozvodu trubkou do odběrných míst na loži. Kapalina je pak pomocí aggregátu vedena do ohebné hadice s hubicí upevněné na stojánu, který se upevní na pinolu v blízkosti kladky s proudem namířeným na místo dotyku válečku s válečkovou plochou. Stojánek je s rozvodem na loži spojen hadicí.



Obrázek 68: Válečkovací zařízení

6. Technickoekonomické hodnocení a závěr

Cílem této práce byl konstrukční návrh válečkovacího zařízení pro soustruh SR4000 společnosti Škoda Machine Tool a.s. Úvodní část byla věnována popisu zadaného tématu, historii společnosti Škoda Machine tool a.s. a hrotovým soustruhům SR. Následovala rešerše technologie válečkování a analýza požadavků na konstrukci stroje určeného pro tuto technologii. Dále bylo uvedeno konkurenční řešení vybrané s ohledem na podobnost se zadanými parametry. Poté byly požadavky a parametry na konstrukci zařízení specifikovány.

Hlavní částí práce byl konstrukční návrh válečkovacího zařízení. Nejprve byl zvolen koncept konstrukčního řešení. Byl navržen tvar válečků a jeho uložení na ose otočné válečkovací hlavy. Uložení bylo navrženo ve třech různých variantách a po jejich porovnání byla vybrána ta nejlepší. Dále bylo navržen mechanismus pro otáčení válečkovací hlavy a spočteny šrouby pro její upnutí. Pro výsuv válečkovací hlavy byla navrženo vedení pinoly a hydromotor s hydraulickým agregátem a oběhem. Byly vypočteny šrouby pro uchycení příruby hydromotoru k tělesu vedení pinoly. V další části byla provedena MKP analýza vedení pinoly pro zjištění měrných tlaků ve vedení. Dále bylo navrženo natáčení válečkovacích hlav a upnutí pomocí hirthovy spojky. Pro upnutí hirthovy spojky byly navrženy a spočteny talířové pružiny a dvě sady šroubů. V poslední části řešení bylo navrženo a spočteno lineární vedení saní zařízení pomocí valivých jednotek a navržen posuvový mechanismus.

Na trhu není zařízení, které by alespoň přibližně splňovalo zadané parametry, konstrukční řešení tohoto zařízení je proto unikátní a porovnání ekonomických nákladů s konkurencí není možné. Cenu zařízení by bylo možné určit po poptání cen všech nakupovaných dílů a cen dílů vyrobených, to ale nebylo v rámci této práce provedeno.

Požadované parametry zařízení	Navržená konstrukce
Válečkování při zastaveném posuvu	Bezvůlový posuvný mechanismus
Válečkování válcových, kuželových, rádiusových ploch a přechodů z válce na kužel	Mechanismus pro natáčení válečkovacích hlav s hirthovou spojkou
Hydraulické řízení přítlačné síly Maximální řízená přítlačná síla 120 kN	Hydromotor s maximální přítlačnou silou 122 kN, hydraulický agregát s řídícím blokem
Celková šířka zařízení maximálně 4000 mm	Maximální šířka zařízení je 3900 mm
Výška osy soustruhu nad ložem 1400 mm	Výška osy soustruhu nad ložem je 1400 mm
Rozsah válečkovaných průměrů hřidelů 250 až 1200 mm	Rozsah válečkovaných průměrů hřidelů je 250 až 1200 mm
Tvrďost povrchu válečků 62 HRC	Tvrďost povrchu válečků je 62 HRC
Tvářecí váleček ustanoven 4-5 mm před vyhlazovacím	Místo dotyku tvářecího válečku je posunuto o 4 mm před místem dotyku vyhlazovacího válečku
Rádius profilu tvářecího válečku je 20 mm, rádius vyhlazovacího válečku je 100 mm	Rádius profilu tvářecího válečku je 20 mm, rádius vyhlazovacího válečku je 100 mm
Průměr válečků 150 až 200 mm	Průměr válečků je 200 mm

Tabulka 3: Technické hodnocení

Použité zdroje

- [1] Wikipedia. Škoda (*podnik*) [online]. [cit.: 16.11.2019] Dostupné z:
[https://cs.wikipedia.org/wiki/%C5%A0koda_\(podnik\)](https://cs.wikipedia.org/wiki/%C5%A0koda_(podnik))
- [2] Škoda Machine Tool a.s. Historie [online]. [cit.: 16.11.2019] Dostupné z:
<https://skodamt.com/cs/spolecnost/historie>
- [3] Škoda Machine Tool a.s. Současnost [online]. [cit.: 16.11.2019] Dostupné z:
<https://skodamt.com/cs/spolecnost/soucasnost>
- [4] Wikipedia. Škoda Auto [online]. [cit.: 18.11.2019] Dostupné z:
https://cs.wikipedia.org/wiki/%C5%A0koda_Auto
- [5] Parostroj. Značce škoda bylo 75 let [online]. [cit.: 18.11.2019] Dostupné z:
https://www.parostroj.net/historie/znacka_SKODA/znacka_SKODA.htm
- [6] iDNES.cz. Československá letecká společnost měla zahraniční linky dříve než ČSA [online]. [cit.: 20.11.2019] Dostupné z: https://www.idnes.cz/technet/technika/ceskoslovenska-letecka-spolecnost.A170118_221700_tec_technika_erp
- [7] ZAHRADNÍČKOVÁ, Z. Zbrojná výroba v Dubnici nad Váhom [online] [cit.: 20.11.2019] Dostupné z: <https://is.muni.cz/th/aljjj/Zuzana-Zahranickova-Zbrojni-vyroba-v-Dubnici-nad-Vahom.pdf>
- [8] ŠKODA. Historie [online] [cit.: 20.11.2019] Dostupné z: <https://www.skoda.cz/historie/>
- [9] SUGINO. Válečkovací nástroje [online] [cit.: 3.3.2020] Dostupné z:
<https://www.sugino.cz/index.php/cs/produkty/valeckovaci-nastroje>
- [10] KOVOSVIT MAS. ROLLER 2800 CNC [online] [cit.: 7.5.2020] Dostupné z:
<https://www.kovosvit.cz/roller-2800-cnc-p41.html>
- [11] Škoda Machine Tool a.s. Soustruhy typu SR 1-5 [online]. [cit.: 15.7.2020] Dostupné z:
<https://skodamt.com/cs/produkty/univerzalni-horizontalni-soustruhy/soustruhy-sr-1-5>
- [12] JAGOŠOVÁ H. Válečkování [online]. [cit.: 3.3.2020] Dostupné z:
<http://www.uh.cz/szesgsm/files/sblizovani/pdf/modul-valeckovani-pro-tisk.pdf>
- [13] BAUBLIES GROUP. Technologie válečkování [online]. [cit.: 4.3.2020] Dostupné z:
<https://www.baublies.com/technologie-valeckovani.html>
- [14] OCTUPUS TOOLS. Válečkování – válečkovací nástroje [online]. [cit.: 4.3.2020] Dostupné z:
<https://www.octopustools.com/me-valeckovani.php>
- [15] SEKERKA V. Technologie válečkování jako dokončovací operace [online]. [cit.: 5.3.2020] Dostupné z:
https://www.vutbr.cz/www_base/zav_prace_soubor_verejne.php?file_id=17654
- [16] MOLLART. Carbide roll burnishing tools [online]. [cit.: 16.3.2020] Dostupné z:
<https://mollart.com/tooling/carbide-rolling-burnishing-tools>
- [17] KYOCERA. Roller burnishing [online]. [cit.: 16.3.2020] Dostupné z: <https://www.kyocera-unimerco.com/products-and-services/metal/roller-burnishing/>
- [18] HOŠKOVÁ E. Princip a konstrukce nástrojů pro válečkování [online]. [cit.: 16.3.2020] Dostupné z: <https://core.ac.uk/download/pdf/30292721.pdf>
- [19] DREXLER T. Návrh frézovacího zařízení pro soustruhy SR upínaného do revolvérové hlavy se svislou osou otáčení. Plzeň: ZČU v Plzni, 2013
- [20] Rexroth. Axial piston variable pump A10VSO [online] [cit.: 11.6.2019] Dostupné z:
https://www.boschrexroth.com/en/xc/myrexroth/mediadirectory?language=en-GB&publication=NET&filterMediatype=1584&search_query=92711&search_action=submit

PŘÍLOHA č. 1

Zatížení válečku

Zatížení kladky

1 Obrábění válcových a kuželových povrchů

$$f_{ob} := 0.4 \quad \dots \text{součinitel tření mezi kladkou a obrobkem}$$

$$f_v := 0.15 \quad \dots \text{součinitel tření ve vedení}$$

$$\alpha := 30 \cdot \deg \quad \dots \text{úhel mezi povrchem obrobku a osou pinoly}$$

$$D_k := 200 \cdot \text{mm} \quad \dots \text{průměr kladky}$$

$$D := 1200 \cdot \text{mm} \quad \dots \text{max. průměr obrábění}$$

$$d := 250 \cdot \text{mm} \quad \dots \text{min. průměr obrábění}$$

$$z := \frac{D-d}{2} + 25 \cdot \text{mm} = 0.5 \text{ m} \quad \dots \text{zdvih pinoly}$$

$$a := z + D_k + 100 \cdot \text{mm} = 0.8 \text{ m} \quad \dots \text{vyložení kladky z vedení pinoly}$$

$$L := 1.0 \cdot a \quad \dots \text{délka vedení pinoly}$$

$$L = 0.8 \text{ m} \quad \kappa := \frac{a}{L} = 1$$

$$F_R := 120 \cdot \text{kN} \quad \dots \text{max. radiální síla kladky}$$

$$k_{pos} := f_{ob} = 0.4 \quad \dots \text{souč. posuvové sily}$$

$$F_A := F_R \cdot k_{pos} = 48 \text{ kN} \quad \dots \text{max. axiální síla kladky}$$

$$F_s := F_A = (4.8 \cdot 10^4) \text{ N} \quad \dots \text{max. posuvová síla saní}$$

3 Spektrum zatížení kladky

$$v_c := 0.5 \cdot \frac{\text{m}}{\text{s}}$$

$$n_k := \frac{v_c}{\pi \cdot D_k} = 47.746 \frac{1}{\text{min}} \quad \dots \text{otáčky kladky}$$

$$q := [0.4 \ 0.4 \ 0.2] \quad \dots \text{poměrná doba běhu}$$

$$T_c := 4000 \cdot \text{hr} \quad \dots \text{celková doba běhu}$$

$$F1 := [0 \ F_A \ -F_R] = [0 \ 48 \ -120] \text{ kN}$$

$$F2 := [0 \ -F_A \ -F_R] = [0 \ -48 \ -120] \text{ kN}$$

PŘÍLOHA č. 3

Uložení válečku, varianta 2

KISSsoft Release 03/2018 F

KISSsoft academic license for Uni Pilsen

File

Name : kladka_b
 Changed by: beber on: 20.07.2020 at: 08:53:33

Analysis of shafts, axle and beams

Input data

Coordinate system shaft: see picture W-002

Label	Shaft 1
Drawing	
Initial position (mm)	-10.000
Length (mm)	160.000
Speed (1/min)	0.00
Sense of rotation: clockwise	
Material	18CrNiMo7-6
Young's modulus (N/mm ²)	206000.000
Poisson's ratio nu	0.300
Density (kg/m ³)	7830.000
Coefficient of thermal expansion (10 ⁻⁶ /K)	11.500
Temperature (°C)	20.000
Weight of shaft (kg)	3.105
Weight of shaft, including additional masses (kg)	3.105
Mass moment of inertia (kg*mm ²)	1254.100
Momentum of mass GD2 (Nm ²)	0.049

Label	Shaft 2
Drawing	
Initial position (mm)	15.000
Length (mm)	110.000
Speed (1/min)	50.00
Sense of rotation: clockwise	

Material	C45 (1)
Young's modulus (N/mm ²)	206000.000
Poisson's ratio nu	0.300
Density (kg/m ³)	7830.000
Coefficient of thermal expansion (10 ⁻⁶ /K)	11.500
Temperature (°C)	20.000
Temperature for load spectrum	
No. Temperature (°C)	
1 20.000	
2 20.000	
3 20.000	
Weight of shaft (kg)	9.661
Weight of shaft, including additional masses (kg)	9.661
Mass moment of inertia (kg*m ²)	0.053
Momentum of mass GD2 (Nm ²)	2.084
Position in space (°)	0.000

Consider deformations due to shearing

Shear correction factor 1.100

Rolling bearing stiffness is calculated from inner bearing geometry

Tolerance field: Mean value

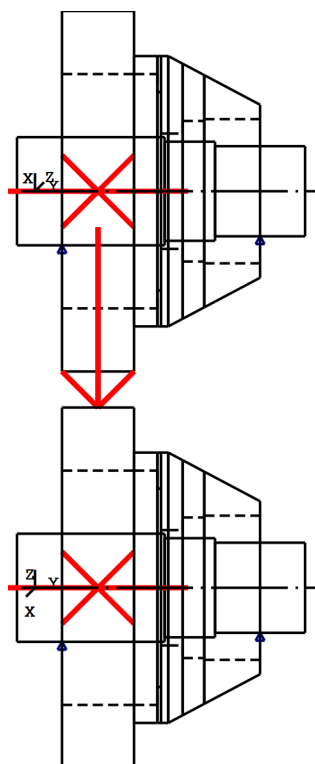


Figure: Load applications

Shaft definition

(Shaft 1)

Outer contour

Cylinder (Cylinder)		0.000mm ...	82.000mm
Diameter (mm)	[d]	60.0000	
Length (mm)	[l]	82.0000	
Surface roughness (μm)	[Rz]	8.0000	

Cylinder (Cylinder)		82.000mm ...	110.000mm
Diameter (mm)	[d]	55.0000	
Length (mm)	[l]	28.0000	
Surface roughness (μm)	[Rz]	8.0000	

Radius left (Radius left)

$r=2.00$ (mm), $Rz=8.0$, Machined ($Ra=3.2\mu\text{m}/125\mu\text{in}$)

Cylinder (Cylinder)		110.000mm ...	160.000mm
Diameter (mm)	[d]	50.0000	
Length (mm)	[l]	50.0000	

Surface roughness (μm) [Rz] 8.0000

Radius left (Radius left)
 $r=2.00$ (mm), Rz=8.0, Machined (Ra=3.2 $\mu\text{m}/125\mu\text{in}$)

Bearing

Label in the model	Support1
--------------------	----------

Bearing position (mm)	[ylokal]	25.000
Degrees of freedom		
X: fixed	Y: fixed	Z: fixed
Rx: fixed	Ry: fixed	Rz: fixed

Label in the model	Support2
--------------------	----------

Bearing position (mm)	[ylokal]	135.000
Degrees of freedom		
X: fixed	Y: fixed	Z: fixed
Rx: fixed	Ry: fixed	Rz: fixed

Shaft definition (Shaft 2)

Outer contour

Cylinder (Cylinder)	0.000mm ... 40.000mm	
Diameter (mm)	[d]	200.0000
Length (mm)	[l]	40.0000
Surface roughness (μm)	[Rz]	8.0000

Radius left (Radius left)
 $r=20.00$ (mm), Rz=8.0, Machined (Ra=3.2 $\mu\text{m}/125\mu\text{in}$)

Radius right (Radius right)
 $r=20.00$ (mm), Rz=8.0, Machined (Ra=3.2 $\mu\text{m}/125\mu\text{in}$)

Cylinder (Cylinder)	40.000mm ... 59.000mm	
Diameter (mm)	[d]	150.0000
Length (mm)	[l]	19.0000
Surface roughness (μm)	[Rz]	8.0000

Radius left (Radius left)
 $r=2.00$ (mm), Rz=8.0, Machined (Ra=3.2 $\mu\text{m}/125\mu\text{in}$)

Cone (Taper)	59.000mm ... 110.000mm	
Diameter left (mm)	[d_l]	150.0000
Diameter right (mm)	[d_r]	96.0000
Length (mm)	[l]	51.0000
Surface roughness (μm)	[Rz]	8.0000

Inner contour

<u>Cylindrical bore (Cylinder inside)</u>			0.000mm ...	40.000mm
Diameter (mm)	[d]	130.0000		
Length (mm)	[l]	40.0000		
Surface roughness (μm)	[Rz]	8.0000		
<u>Cylindrical bore (Cylinder inside)</u>			40.000mm ...	53.000mm
Diameter (mm)	[d]	130.0000		
Length (mm)	[l]	13.0000		
Surface roughness (μm)	[Rz]	8.0000		
<u>Cylindrical bore (Cylinder inside)</u>			53.000mm ...	55.000mm
Diameter (mm)	[d]	110.0000		
Length (mm)	[l]	2.0000		
Surface roughness (μm)	[Rz]	8.0000		
<u>Cylindrical bore (Cylinder inside)</u>			55.000mm ...	67.000mm
Diameter (mm)	[d]	64.0000		
Length (mm)	[l]	12.0000		
Surface roughness (μm)	[Rz]	8.0000		
<u>Cylindrical bore (Cylinder inside)</u>			67.000mm ...	79.000mm
Diameter (mm)	[d]	78.0000		
Length (mm)	[l]	12.0000		
Surface roughness (μm)	[Rz]	8.0000		
<u>Cylindrical bore (Cylinder inside)</u>			79.000mm ...	110.000mm
Diameter (mm)	[d]	80.0000		
Length (mm)	[l]	31.0000		
Surface roughness (μm)	[Rz]	8.0000		

Forces

Type of force element	Centric force		
Label in the model	Centric force1		
Position on shaft (mm)	[ylocal]	20.0000	
Length of load application (mm)		0.0000	
Power (kW)		0.0000	
Torque (Nm)		-0.0000	
Axial force (load spectrum) (N)		50000.0000 /	0.0001 /
Shearing force X (load spectrum) (N)		0.0000 /	0.0000 /
Shearing force Z (Load spectrum) (N)		-120000.0000 /	-0.0001 /
Bending moment X (Load spectrum) (Nm)		0.0000 /	0.0000 /
Bending moment Z (Load spectrum) (Nm)		0.0000 /	0.0000 /
Load spectrum:			

No.	Frequency (%)	Speed (1/min)	Power (%)	Torque (%)	Force (%)
1	4.0000e+001	50.000	100.000	100.000	100.000
2	4.0000e+001	50.000	0.000	0.000	0.000
3	2.0000e+001	50.000	0.000	0.000	0.000

Type of force element	Centric force		
Label in the model	Centric force2		
Position on shaft (mm)	[ylocal]	20.0000	
Length of load application (mm)		0.0000	

Power (kW)	0.0000
Torque (Nm)	-0.0000
Axial force (load spectrum) (N)	-0.0001 / -50000.0000 / -0.0001
Shearing force X (load spectrum) (N)	0.0000 / 0.0000 / 0.0000
Shearing force Z (Load spectrum) (N)	-0.0001 / -120000.0000 / -0.0001
Bending moment X (Load spectrum) (Nm)	0.0000 / 0.0000 / 0.0000
Bending moment Z (Load spectrum) (Nm)	0.0000 / 0.0000 / 0.0000
Load spectrum:	

No.	Frequency (%)	Speed (1/min)	Power (%)	Torque (%)	Force (%)
1	4.0000e+001	50.000	0.000	0.000	0.000
2	4.0000e+001	50.000	100.000	100.000	100.000
3	2.0000e+001	50.000	0.000	0.000	0.000

Type of force element	Centric force
Label in the model	Centric force3
Position on shaft (mm)	[y _{local}]
Length of load application (mm)	20.0000
Power (kW)	0.0000
Torque (Nm)	-0.0000
Axial force (load spectrum) (N)	0.0000 / 0.0000 / 32000.0000
Shearing force X (load spectrum) (N)	0.0000 / 0.0000 / 0.0000
Shearing force Z (Load spectrum) (N)	-0.0000 / -0.0000 / -40000.0000
Bending moment X (Load spectrum) (Nm)	0.0000 / 0.0000 / 0.0000
Bending moment Z (Load spectrum) (Nm)	0.0000 / 0.0000 / 0.0000
Load spectrum:	

No.	Frequency (%)	Speed (1/min)	Power (%)	Torque (%)	Force (%)
1	4.0000e+001	50.000	0.000	0.000	0.000
2	4.0000e+001	50.000	0.000	0.000	0.000
3	2.0000e+001	50.000	100.000	100.000	100.000

CONNECTIONS

SKF BS2-2312-2RS/VT143 (cbearing 1) 41.500mm

Shaft 'Shaft 1' <-> Shaft 'Shaft 2'

Set fixed bearing right

d = 60.000 (mm), D = 130.000 (mm), b = 53.000 (mm), r = 2.100 (mm)

C = 325.000 (kN), C₀ = 335.000 (kN), C_u = 36.000 (kN)

C_{theo} = 324.915 (kN), C_{0theo} = 334.926 (kN)

f_C = 1.000 (kN), f_{C0} = 1.000 (kN)

Calculation with approximate bearings internal geometry (*)

Z = 8, D_{Pw} = 97.812 (mm), D_w = 25.992 (mm)

L_{we} = 25.370 (mm)

Diameter, external race (mm) [d_O] 123.157

Diameter, internal race (mm) [d_i] 72.519

Throat radius, external race (mm) [r_O] 63.282

Throat radius, internal race (mm) [r_i] 63.282

Bearing clearance ISO 5753-1:2009 C₀ (52.50 µm)

SKF NU 1010 ML (cbearing 2) 117.000mm

Shaft 'Shaft 1' <-> Shaft 'Shaft 2'

Free bearing

d = 50.000 (mm), D = 80.000 (mm), b = 16.000 (mm), r = 1.000 (mm)

C = 31.900 (kN), C₀ = 36.000 (kN), C_u = 4.300 (kN)

C_{theo} = 31.896 (kN), C_{0theo} = 35.998 (kN)

fC = 1.000 (kN), fC0 = 1.000 (kN)

Calculation with approximate bearings internal geometry (*)

Z = 14, Dpw = 62.829 (mm), Dw = 7.191 (mm)

Lwe = 9.177 (mm)

Diameter, external race (mm) [d_o] 70.043

Diameter, internal race (mm) [d_i] 55.615

Bearing clearance ISO 5753-1:2009 C0 (45.00 µm)

SKF 81111 TN (cbearing_ax) 90.000mm

Shaft 'Shaft 1' <-> Shaft 'Shaft 2'

Set axial bearing left

d = 55.000 (mm), D = 78.000 (mm), b = 16.000 (mm), r = 0.600 (mm)

C = 69.500 (kN), C0 = 285.000 (kN), Cu = 29.000 (kN)

Ctheo = 69.457 (kN), C0theo = 285.000 (kN)

fC = 1.000 (kN), fC0 = 1.000 (kN)

Calculation with approximate bearings internal geometry (*)

Z = 35, Dpw = 67.311 (mm), Dw = 5.930 (mm)

Lwe = 6.241 (mm)

Diameter, external race (mm) [d_o] 73.553

Diameter, internal race (mm) [d_i] 61.070

Bearing clearance 0.00 µm

Results

Note: the maximum deflection and torsion of the shaft under torque, the life modification factor aISO, and the bearing's thinnest lubricant film thickness EHL, are predefined for the first load bin.

Shaft

Maximum deflection 357.327 (µm) (Shaft 2 pos = 15.000 mm)

Mass center of gravity

Shaft 1 (mm) 73.499

Shaft 2 (mm) 40.998

Total axial load

Shaft 1 (N) 0.000

Shaft 2 (N) 32000.000

Torsion under torque

Shaft 1 (°) -0.000

Shaft 2 (°) 0.000

Bearing

Probability of failure [n] 10.00 %

Axial clearance [u_A] 10.00 µm

Lubricant Oil: ISO-VG 220

Lubricant - service temperature [T_B] 20.00 °C

Rolling bearing stiffness calculated from internal geometry

Shaft 'Shaft 1' Bearing 'Support1'

Position (Y-coordinate) [y] 25.00 mm

Bearing reaction force				Bearing reaction moment				
	Fx (kN)	Fy (kN)	Fz (kN)	Fr (kN)	Mx (Nm)	My (Nm)	Mz (Nm)	Mr (Nm)
1	0.000	-18.960	106.765	106.765	1742.184	0.000	-0.014	1742.184
2	-0.000	39.510	109.598	109.598	1825.162	0.000	0.000	1825.162
3	-0.000	-12.134	35.023	35.023	563.673	0.000	0.001	563.673

Shaft 'Shaft 1' Bearing 'Support2'

Position (Y-coordinate) [y] 135.00 mm

Bearing reaction force				Bearing reaction moment				
	Fx (kN)	Fy (kN)	Fz (kN)	Fr (kN)	Mx (Nm)	My (Nm)	Mz (Nm)	Mr (Nm)
1	-0.000	-31.040	13.360	13.360	-806.404	-0.000	-0.040	806.404
2	0.000	10.489	10.528	10.528	-577.665	-0.000	0.000	577.665
3	0.000	-19.866	5.103	5.103	-319.597	-0.000	0.002	319.597

Rolling bearing 'cbearing 1'

Position (Y-coordinate)	[y]	41.50	mm
Basic bearing rating life	[L _{nh}]	2340.01	h
Minimum EHL lubricant film thickness	[h _{min}]	0.226	μm
Static safety factor	[S ₀]	1.52	
Operating bearing clearance	[P _d]	52.500	μm
Reference rating service life	[L _{nrh}]	3996.18	h

Bearing reaction force				Bearing reaction moment				
	Fx (kN)	Fy (kN)	Fz (kN)	Fr (kN)	Mx (Nm)	My (Nm)	Mz (Nm)	Mr (Nm)
1	-0.003	0.000	-112.922	112.922	0.000	0.000	0.000	0.000
2	0.000	-49.999	-130.261	130.261	0.000	0.000	0.000	0.000
3	0.000	0.000	-33.950	33.950	0.000	0.000	0.000	0.000

Rolling bearing 'cbearing 2'

Position (Y-coordinate)	[y]	117.00	mm
Basic bearing rating life	[L _{nh}]	26805.82	h
Minimum EHL lubricant film thickness	[h _{min}]	0.153	μm
Static safety factor	[S ₀]	3.54	
Operating bearing clearance	[P _d]	45.000	μm
Reference rating service life	[L _{nrh}]	29297.32	h

Bearing reaction force				Bearing reaction moment				
	Fx (kN)	Fy (kN)	Fz (kN)	Fr (kN)	Mx (Nm)	My (Nm)	Mz (Nm)	Mr (Nm)
1	0.003	0.000	-7.173	7.173	4.031	0.000	0.001	4.031
2	-0.000	0.000	10.166	10.166	10.963	0.000	-0.000	10.963
3	-0.000	0.000	-6.145	6.145	1.668	0.000	-0.000	1.668

Rolling bearing 'cbearing_ax'

Position (Y-coordinate)	[y]	90.00	mm
Basic bearing rating life	[L _{nh}]	2242.17	h
Minimum EHL lubricant film thickness	[h _{min}]	0.128	μm
Static safety factor	[S ₀]	5.70	
Operating bearing clearance	[P _d]	0.000	μm
Reference rating service life	[L _{nrh}]	364.12	h

Bearing reaction force			Bearing reaction moment					
	Fx (kN)	Fy (kN)	Fz (kN)	Fr (kN)	Mx (Nm)	My (Nm)	Mz (Nm)	Mr (Nm)
1	0.000	50.000	0.000	0.000	1316.158	0.000	0.226	1316.158
2	0.000	0.000	0.000	0.000	0.000	0.000	0.000	0.000
3	0.000	32.000	0.000	0.000	720.871	0.000	-0.011	720.871

(*) Note about roller bearings with an approximated bearing geometry:

The internal geometry of these bearings has not been input in the database.

The geometry is back-calculated as specified in ISO 281, from C and C0 (details in the manufacturer's catalog).

For this reason, the geometry may be different from the actual geometry.

In some situations, this may result in significant variations in roller bearing stiffness.

Damage (%) [Lreq] (20000.000)

Bin no	B1	B2	B3
1	70.77	16.60	800.75
2	783.28	53.06	0.80
3	0.64	4.95	90.45

Σ 854.70 74.61 891.99

Utilization (%) [Lreq] (20000.000)

B1	B2	B3
190.35	91.59	192.80

Note: Utilization = $(L_{req}/L_h)^{(1/k)}$

Ball bearing: k = 3, roller bearing: k = 10/3

B1: cbearing 1 (Connecting rolling bearing)

B2: cbearing 2 (Connecting rolling bearing)

B3: cbearing_ax (Connecting rolling bearing)

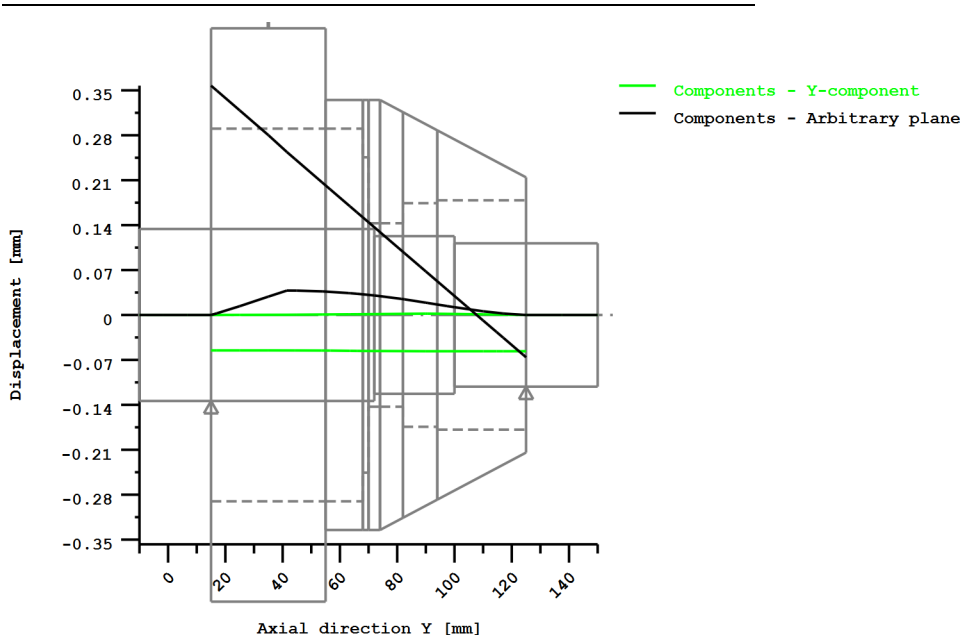
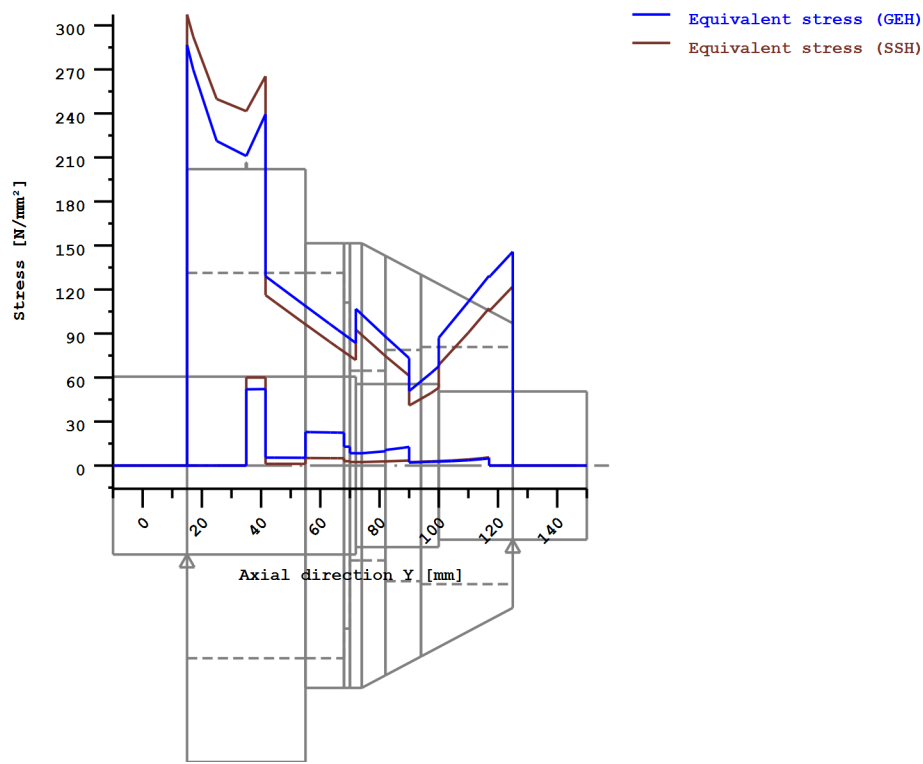


Figure: Deformation (bending etc.) (Arbitrary plane 270.0012087 121)



Nominal stresses, without taking into account stress concentrations

$$\text{GEH(von Mises): } \sigma_{\text{V}} = ((\sigma_B + \sigma_Z)_D)^2 + 3(\tau_T + \tau_S)^2)^{1/2}$$

$$\text{SSH(Tresca): } \sigma_{\text{V}} = ((\sigma_B - \sigma_Z)_D)^2 + 4(\tau_T + \tau_S)^2)^{1/2}$$

Figure: Equivalent stress

**Strength calculation according to DIN 743:2012
with finite life fatigue strength according to FKM standard and FVA draft**

Summary

Shaft 1

Material	18CrNiMo7-6
Material type	Case-carburized steel
Material treatment	case-hardened
Surface treatment	No

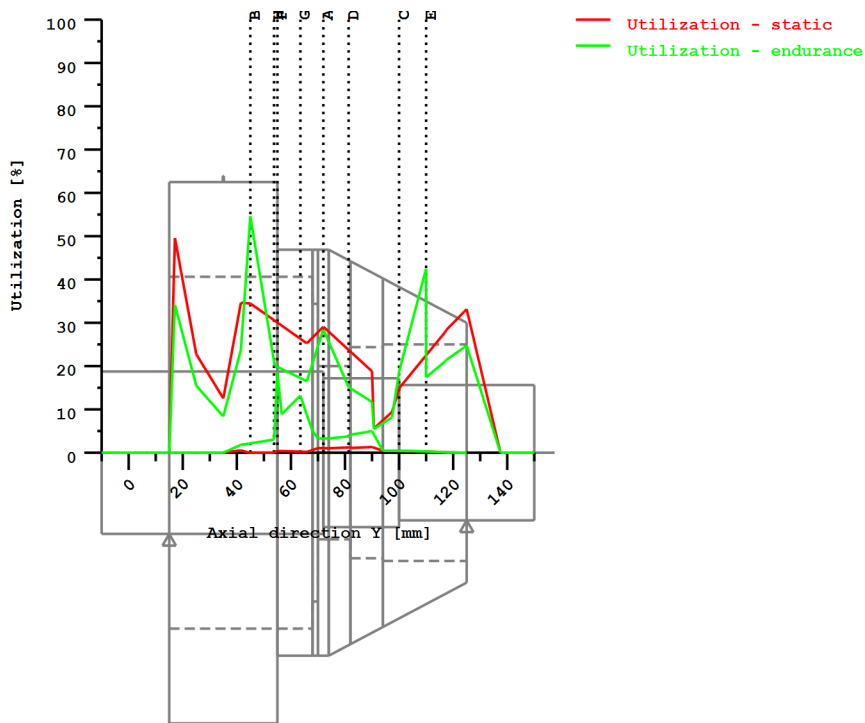
Calculation of service strength and static strength
S-N curve (Woehler line) according Miner elementary

Calculation for load case 2 ($\sigma_{av}/\sigma_{mv} = \text{const}$)

Results:

Cross section	Kfb	Kfs	K2d	SZ	SS	SA
A-A	1.60	0.86	0.87	7.11	6.68	10.82
B-B	2.74	1.00	0.86	4.94	7.39	8.66
C-C	1.58	0.86	0.87	8.87	13.03	22.50
D-D	1.00	0.86	0.87	11.40	7.08	22.75
E-E	2.73	1.00	0.87	4.95	11.27	13.28

Required safeties: 1.20 1.20 1.20



Utilization = $S_{min}/S (\%)$

Figure: Strength

Calculation details

General statements

Material	18CrNiMo7-6
Material type	Case-carburized steel
Material treatment	case-hardened
Surface treatment	No

Reference diameter material (mm)	[dB]	16.00
σ_B according to DIN 743 (at dB) (N/mm ²)	[σ_B]	1200.00
σ_S according to DIN 743 (at dB) (N/mm ²)	[σ_S]	850.00
$[\sigma_{zdW}]$ (bei dB) (N/mm ²)		480.00
$[\sigma_{BW}]$ (bei dB) (N/mm ²)		600.00
$[\tau_{tW}]$ (bei dB) (N/mm ²)		360.00
Thickness of raw material (mm)	[dWerkst]	65.00
$[\sigma_{BRand}]$ (N/mm ²)		2300.00

Service strength for a load spectrum

S-N curve (Woehler lines) according to Miner elementary according to FKM guideline

Required life time [H] 20000.00

Number of load cycles (Mio) [NL] 0.000

Data of S-N curve (Woehler line) analog to FKM standard:

[$k\sigma$, $k\tau$]	15	25
[$kD\sigma$, $kD\tau$]	0	0
[$ND\sigma$, $ND\tau$]	1e+006	1e+006

[ND σ II, ND τ II] 0 0

Calculation for load case 2 ($\sigma_{av}/\sigma_{mv} = \text{const}$)

Cross section 'A-A' Shoulder

Comment	Y= 82.00mm		
Position (Y-Coordinate) (mm)	[y] 82.000		
External diameter (mm)	[da] 55.000		
Inner diameter (mm)	[di] 0.000		
Notch effect	Shoulder		
[D, r, t] (mm)	60.000	2.000	2.500
Mean roughness (μm)	[Rz] 8.000		

Load spectrum, load base values (Mean-value + Amplitude):

No.	Frequency (%)	Tens./Compres. (N)	Bending (Nm)	Torsion (Nm)	Shearing (N)
1	4.0000e+001	18959.764	898.601	-0.000	6174.150
2	4.0000e+001	10488.770	448.271	0.000	20681.194
3	2.0000e+001	12134.249	396.406	-0.000	1054.610

Stresses: (N/mm 2)

[σ_{Zdm} , σ_{bm} , τ_m , τ_{qm}] (N/mm 2)	7.980	0.000	-0.000	0.000
[σ_{Zda} , σ_{ba} , τ_a , τ_{qa}] (N/mm 2)	0.000	55.015	0.000	11.606
[σ_{Zdmax} , σ_{bmax} , τ_{max} , τ_{qmax}] (N/mm 2)	13.566	93.525	0.000	19.731

Tension/Compression Bending Torsion

Surface stabilization factor	[KV]	1.000	1.000	1.000
Total influence coefficient	[K]	1.891	2.005	1.542

Present safety for endurance limit:

Fatigue limit of part (N/mm 2)	[σ_{WK}]	213.666	251.929	196.515
Permissible amplitude (N/mm 2)	[σ_{ADK}]	0.090	246.827	0.090
Permissible amplitude (N/mm 2)	[σ_{ANK}]	0.142	391.195	0.118
Effective Miner sum	[DM]	0.300	0.300	0.300
Load spectrum factor	[f $Koll$]	1.000	1.000	1.000
Safety against fatigue	[S]		7.111	
Required safety against fatigue	[S min]		1.200	
Result (%)	[S/S min]		592.6	

Present safety

for proof against exceed of yield point:

Yield stress of part (N/mm 2)	[σ_{FK}]	715.457	715.457	413.069
Safety yield stress	[S]		6.681	
Required safety	[S min]		1.200	
Result (%)	[S/S min]		556.7	

Present safety

for proof of avoiding incipient crack on hard surface layers:

Safety against incipient crack	[S]	10.821
Required safety	[S min]	1.200
Result (%)	[S/S min]	901.7

Cross section 'B-B' Interference fit

Comment

Position (Y-Coordinate) (mm)	[y]	55.000
External diameter (mm)	[da]	60.000
Inner diameter (mm)	[di]	0.000
Notch effect	Interference fit	
Characteristics:	Firm interference fit	
Mean roughness (μm)	[Rz]	8.000

Load spectrum, load base values (Mean-value + Amplitude):

No.	Frequency (%)	Tens./Compres. (N)	Bending (Nm)	Torsion (Nm)	Shearing (N)
1	4.0000e+001	18959.764	1065.224	0.000	6168.287
2	4.0000e+001	10488.770	1006.584	0.000	20675.331
3	2.0000e+001	12134.249	367.852	0.000	1060.473

Stresses: (N/mm^2)

$[\sigma_{ZDM}, \sigma_{BM}, \tau_M, \tau_{QM}]$ (N/mm^2)	6.706	0.000	0.000	0.000
$[\sigma_{ZDA}, \sigma_{BA}, \tau_A, \tau_{QA}]$ (N/mm^2)	0.000	50.233	0.000	9.750
$[\sigma_{ZDmax}, \sigma_{Bmax}, \tau_{max}, \tau_{Qmax}]$ (N/mm^2)	11.400	85.396	0.000	16.575

Tension/Compression Bending Torsion

Notch effect coefficient [dB] (mm) = 40.0	[$\beta(\text{dB})$]	2.710	2.710	1.800
Surface stabilization factor	[KV]	1.000	1.000	1.000
Total influence coefficient	[K]	2.744	3.186	2.105

Present safety for endurance limit:

Fatigue limit of part (N/mm^2)	[σ_{WK}]	147.247	158.506	143.941
Permissible amplitude (N/mm^2)	[σ_{ADK}]	0.107	156.725	0.107
Permissible amplitude (N/mm^2)	[σ_{ANK}]	0.169	248.392	0.141
Effective Miner sum	[DM]	0.300	0.300	0.300
Load spectrum factor	[fKoll]	1.000	1.000	1.000
Safety against fatigue	[S]		4.945	
Required safety against fatigue	[Smin]		1.200	
Result (%)	[S/Smin]		412.1	

Present safety

for proof against exceed of yield point:

Yield stress of part (N/mm^2)	[σ_{FK}]	715.457	715.457	413.069
Safety yield stress	[S]		7.391	
Required safety	[Smin]		1.200	
Result (%)	[S/Smin]		616.0	

Present safety

for proof of avoiding incipient crack on hard surface layers:

Safety against incipient crack	[S]	8.660
Required safety	[Smin]	1.200
Result (%)	[S/Smin]	721.7

Cross section 'C-C' Shoulder

Comment	Y= 110.00mm			
Position (Y-Coordinate) (mm)	[y] 110.000			
External diameter (mm)	[da] 50.000			
Inner diameter (mm)	[di] 0.000			
Notch effect	Shoulder			
[D, r, t] (mm)	55.000	2.000	2.500	
Mean roughness (μm)		[Rz]	8.000	

Load spectrum, load base values (Mean-value + Amplitude):

No.	Frequency (%)	Tens./Compres. (N)	Bending (Nm)	Torsion (Nm)	Shearing (N)
1	4.0000e+001	-31040.236	590.504	0.000	6179.259
2	4.0000e+001	10488.770	130.874	0.000	20686.303
3	2.0000e+001	-19865.751	295.007	0.000	1049.501

Stresses: (N/mm²)

[σ_{ZDM} , σ_{BM} , τ_M , τ_{QM}] (N/mm ²)	-15.809	0.000	0.000	0.000
[σ_{ZDA} , σ_{BA} , τ_A , τ_{QA}] (N/mm ²)	0.000	48.119	0.000	14.047
[$\sigma_{ZDmax}, \sigma_{Bmax}, \tau_{max}, \tau_{Qmax}$] (N/mm ²)	-26.875	81.802	0.000	23.880

Tension/Compression Bending Torsion

Surface stabilization factor	[KV]	1.000	1.000	1.000
Total influence coefficient	[K]	1.872	1.969	1.523

Present safety for endurance limit:

Fatigue limit of part (N/mm ²)	[σ_{WK}]	215.827	256.477	198.908
Permissible amplitude (N/mm ²)	[σ_{ADK}]	-0.114	269.346	198.908
Permissible amplitude (N/mm ²)	[σ_{ANK}]	-0.181	426.884	262.211
Effective Miner sum	[DM]	0.300	0.300	0.300
Load spectrum factor	[fKoll]	1.000	1.000	1.000
Safety against fatigue	[S]		8.871	
Required safety against fatigue	[Smin]		1.200	
Result (%)	[S/Smin]		739.3	

Present safety

for proof against exceed of yield point:

Yield stress of part (N/mm ²)	[σ_{FK}]	715.457	715.457	413.069
Safety yield stress	[S]		13.026	
Required safety	[Smin]		1.200	
Result (%)	[S/Smin]		1085.5	

Present safety

for proof of avoiding incipient crack on hard surface layers:

Safety against incipient crack	[S]	22.497
Required safety	[Smin]	1.200
Result (%)	[S/Smin]	1874.7

Cross section 'D-D' Smooth shaft

Comment

Position (Y-Coordinate) (mm)	[y]	91.333
External diameter (mm)	[da]	55.000
Inner diameter (mm)	[di]	0.000
Notch effect		Smooth shaft
Mean roughness (μm)	[Rz]	8.000

Load spectrum, load base values (Mean-value + Amplitude):

No.	Frequency (%)	Tens./Compres. (N)	Bending (Nm)	Torsion (Nm)	Shearing (N)
1	4.0000e+001	18959.764	840.968	0.000	6175.853
2	4.0000e+001	10488.770	255.239	0.000	20682.897
3	2.0000e+001	12134.249	406.241	0.000	1052.907

Stresses: (N/mm²)

$[\sigma_{ZDM}, \sigma_{BM}, \tau_M, \tau_{QM}]$ (N/mm ²)	7.980	0.000	0.000	0.000
$[\sigma_{ZDA}, \sigma_{BA}, \tau_A, \tau_{QA}]$ (N/mm ²)	0.000	51.486	0.000	11.607
$[\sigma_{ZDMax}, \sigma_{BMax}, \tau_{Max}, \tau_{QMax}]$ (N/mm ²)	13.566	87.527	0.000	19.733

Tension/Compression Bending Torsion

Surface stabilization factor	[KV]	1.000	1.000	1.000
Total influence coefficient	[K]	1.162	1.316	1.241

Present safety for endurance limit:

Fatigue limit of part (N/mm ²)	[σ_{WK}]	347.567	383.801	244.212
Permissible amplitude (N/mm ²)	[σ_{ADK}]	0.090	370.338	0.090
Permissible amplitude (N/mm ²)	[σ_{ANK}]	0.142	586.946	0.118
Effective Miner sum	[DM]	0.300	0.300	0.300
Load spectrum factor	[fKoll]	1.000	1.000	1.000
Safety against fatigue	[S]		11.400	
Required safety against fatigue	[Smin]		1.200	
Result (%)	[S/Smin]		950.0	

Present safety

for proof against exceed of yield point:

Yield stress of part (N/mm ²)	[σ_{FK}]	715.457	715.457	413.069
Safety yield stress	[S]		7.077	
Required safety	[Smin]		1.200	
Result (%)	[S/Smin]		589.8	

Present safety

for proof of avoiding incipient crack on hard surface layers:

Safety against incipient crack	[S]	22.751
Required safety	[Smin]	1.200
Result (%)	[S/Smin]	1895.9

Cross section 'E-E' Interference fit

Comment

Position (Y-Coordinate) (mm)	[y]	120.000
External diameter (mm)	[da]	50.000
Inner diameter (mm)	[di]	0.000
Notch effect		Interference fit

Characteristics:	Firm interference fit		
Mean roughness (μm)	[Rz]	8.000	

Load spectrum, load base values (Mean-value + Amplitude):

No.	Frequency (%)	Tens./Compres. (N)	Bending (Nm)	Torsion (Nm)	Shearing (N)
1	4.0000e+001	-31040.236	652.304	0.000	6180.767
2	4.0000e+001	10488.770	337.745	0.000	20687.811
3	2.0000e+001	-19865.751	284.520	0.000	1047.993

Stresses: (N/mm^2)

$[\sigma_{ZDM}, \sigma_{BM}, \tau_M, \tau_{QM}]$ (N/mm^2)	-15.809	0.000	0.000	0.000
$[\sigma_{ZDA}, \sigma_{BA}, \tau_A, \tau_{QA}]$ (N/mm^2)	0.000	53.155	0.000	14.048
$[\sigma_{ZDmax}, \sigma_{Bmax}, \tau_{max}, \tau_{Qmax}]$ (N/mm^2)	-26.875	90.363	0.000	23.882

Tension/Compression Bending Torsion

Notch effect coefficient [dB] (mm) = 40.0	[$\beta(\text{dB})$]	2.710	2.710	1.800
Surface stabilization factor	[KV]	1.000	1.000	1.000
Total influence coefficient	[K]	2.729	3.124	2.069

Present safety for endurance limit:

Fatigue limit of part (N/mm^2)	[σ_{WK}]	148.072	161.648	146.446
Permissible amplitude (N/mm^2)	[σ_{ADK}]	-0.119	165.940	146.446
Permissible amplitude (N/mm^2)	[σ_{ANK}]	-0.188	262.998	193.053
Effective Miner sum	[DM]	0.300	0.300	0.300
Load spectrum factor	[fKoll]	1.000	1.000	1.000
Safety against fatigue	[S]		4.948	
Required safety against fatigue	[Smin]		1.200	
Result (%)	[S/Smin]		412.3	

Present safety

for proof against exceed of yield point:

Yield stress of part (N/mm^2)	[σ_{FK}]	715.457	715.457	413.069
Safety yield stress	[S]		11.269	
Required safety	[Smin]		1.200	
Result (%)	[S/Smin]		939.1	

Present safety

for proof of avoiding incipient crack on hard surface layers:

Safety against incipient crack	[S]	13.277
Required safety	[Smin]	1.200
Result (%)	[S/Smin]	1106.4

Shaft 2

Material	C45 (1)
Material type	Through hardened steel
Material treatment	unalloyed, through hardened

Surface treatment No

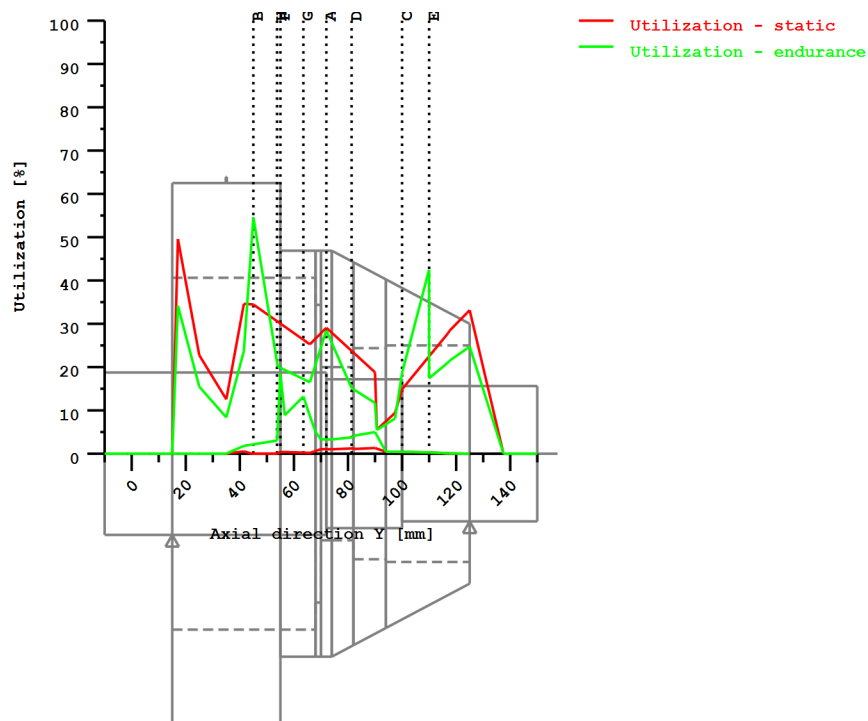
Calculation of service strength and static strength
S-N curve (Woehler line) according Miner elementary

Calculation for load case 2 ($\sigma_{av}/\sigma_{mv} = \text{const}$)

Results:

Cross section	Kfb	Kfσ	K2d	SZ	SS
F-F	2.65	0.92	0.80	14.11	35.13
G-G	2.05	1.00	0.80	17.01	32.68
H-H	2.05	1.00	0.80	74.06	116.53

Required safeties: 1.20 1.20



Utilization = $S_{min}/S (\%)$

Figure: Strength

Calculation details

General statements

Material C45 (1)
 Material type Through hardened steel
 Material treatment unalloyed, through hardened
 Surface treatment No

Reference diameter material (mm)	[dB]	16.00
σ_B according to DIN 743 (at dB) (N/mm ²)	[σ_B]	700.00
σ_S according to DIN 743 (at dB) (N/mm ²)	[σ_S]	490.00
[σ_{zdW}] (bei dB) (N/mm ²)		280.00
[σ_{bW}] (bei dB) (N/mm ²)		350.00
[τ_{tW}] (bei dB) (N/mm ²)		210.00
Thickness of raw material (mm)	[dWerkst]	210.00
[σ_{BRand}] (N/mm ²)		628.00

Service strength for a load spectrum

S-N curve (Woehler lines) according to Miner elementary according to FKM guideline

Required life time	[H]	20000.00
Number of load cycles (Mio)	[NL]	60.000

Data of S-N curve (Woehler line) analog to FKM standard:

[$k\sigma, k\tau$]	5	8
[$kD\sigma, kD\tau$]	0	0
[$ND\sigma, ND\tau$]	1e+006	1e+006
[$ND\sigma II, ND\tau II$]	0	0

Calculation for load case 2 ($\sigma.av/\sigma.mv = \text{const}$)

Cross section 'F-F' Shoulder

Comment	Y= 40.00mm		
Position (Y-Coordinate) (mm)	[y]		
External diameter (mm)	[da]		
Inner diameter (mm)	[di]		
Notch effect		Shoulder	
[D, r, t] (mm)	200.000	2.000	25.000
Mean roughness (μm)		[Rz]	8.000

Load spectrum, load base values (Mean-value + Amplitude):

No.	Frequency (%)	Tens./Compres. (N)	Bending (Nm)	Torsion (Nm)	Shearing (N)
1	4.0000e+001	-50000.000	876.671	0.000	7133.979
2	4.0000e+001	0.000	642.503	0.000	10205.658
3	2.0000e+001	-32000.000	342.787	0.000	6105.500

Stresses: (N/mm²)

[$\sigma_{zdm}, \sigma_{bm}, \tau_m, \tau_{qm}$] (N/mm ²)	-11.368	0.000	0.000	0.000
[$\sigma_{zda}, \sigma_{ba}, \tau_a, \tau_{qa}$] (N/mm ²)	0.000	6.071	0.000	4.625
[$\sigma_{zdmax}, \sigma_{bmax}, \tau_{max}, \tau_{qmax}$] (N/mm ²)	-19.326	10.320	0.000	7.863

Tension/Compression Bending Torsion

Surface stabilization factor	[KV]	1.000	1.000	1.000
Total influence coefficient	[K]	3.101	3.403	2.376

Present safety for endurance limit:

Fatigue limit of part (N/mm ²)	[σ_{WK}]	64.045	72.946	62.688
--	-------------------	--------	--------	--------

Permissible amplitude (N/mm ²)	[σADK]	-0.082	85.665	62.688
Permissible amplitude (N/mm ²)	[σANK]	-0.082	85.665	62.688
Effective Miner sum	[DM]	1.000	1.000	0.300
Load spectrum factor	[fkoll]	1.000	1.000	1.000
Safety against fatigue	[S]		14.111	
Required safety against fatigue	[Smin]		1.200	
Result (%)	[S/Smin]		1175.9	

Present safety

for proof against exceed of yield point:

Yield stress of part (N/mm ²)	[σFK]	349.283	384.212	175.356
Safety yield stress	[S]		35.126	
Required safety	[Smin]		1.200	
Result (%)	[S/Smin]		2927.1	

Cross section 'G-G' Interference fit

Comment

Position (Y-Coordinate) (mm)	[y]	48.500
External diameter (mm)	[da]	150.000
Inner diameter (mm)	[di]	130.000
Notch effect	Interference fit	
Characteristics:	Firm interference fit	
Mean roughness (μm)	[Rz]	8.000

Load spectrum, load base values (Mean-value + Amplitude):

No.	Frequency (%)	Tens./Compres. (N)	Bending (Nm)	Torsion (Nm)	Shearing (N)
1	4.0000e+001	-50000.000	937.322	0.000	7136.850
2	4.0000e+001	0.000	555.767	0.000	10202.787
3	2.0000e+001	-32000.000	394.695	0.000	6108.372

Stresses: (N/mm²)

[σzdm, σbm, τm, τqm] (N/mm ²)	-11.368	0.000	0.000	0.000
[σzda, σba, τa, τqa] (N/mm ²)	0.000	6.491	0.000	4.624
[σzdmmax, σbmax, τmax, τqmax] (N/mm ²)	-19.326	11.034	0.000	7.860

Tension/Compression Bending Torsion

Notch effect coefficient	[β(dB)]	1.993	1.993	1.297
[dB] (mm) = 40.0				
Surface stabilization factor	[KV]	1.000	1.000	1.000
Total influence coefficient	[K]	2.049	2.561	1.637

Present safety for endurance limit:

Fatigue limit of part (N/mm ²)	[σWK]	96.924	96.924	90.983
Permissible amplitude (N/mm ²)	[σADK]	-0.079	110.387	90.983
Permissible amplitude (N/mm ²)	[σANK]	-0.079	110.387	90.983
Effective Miner sum	[DM]	1.000	1.000	0.300
Load spectrum factor	[fkoll]	1.000	1.000	1.000
Safety against fatigue	[S]		17.007	
Required safety against fatigue	[Smin]		1.200	

Result (%)	[S/Smin]	1417.2
------------	----------	--------

Present safety

for proof against exceed of yield point:

Yield stress of part (N/mm ²)	[σFK]	303.725	334.097	175.356
Safety yield stress	[S]		32.677	
Required safety	[Smin]		1.200	
Result (%)	[S/Smin]		2723.1	

Cross section 'H-H' Interference fit

Comment

Position (Y-Coordinate) (mm)	[y]	38.758
External diameter (mm)	[da]	200.000
Inner diameter (mm)	[di]	130.000
Notch effect	Interference fit	
Characteristics:	Firm interference fit	
Mean roughness (μm)	[Rz]	8.000

Load spectrum, load base values (Mean-value + Amplitude):

No.	Frequency (%)	Tens./Compres. (N)	Bending (Nm)	Torsion (Nm)	Shearing (N)
1	4.0000e+001	-50000.000	867.809	0.000	7132.247
2	4.0000e+001	0.000	655.184	0.000	10207.389
3	2.0000e+001	-32000.000	335.202	0.000	6103.769

Stresses: (N/mm²)

[σzdm, σbm, τm, τqm] (N/mm ²)	-2.756	0.000	0.000	0.000
[σzda, σba, τa, τqa] (N/mm ²)	0.000	1.345	0.000	1.093
[σzdmax, σbmax, τmax, τqmax] (N/mm ²)	-4.685	2.287	0.000	1.858

Tension/Compression Bending Torsion

Notch effect coefficient	[β(dB)]	1.993	1.993	1.297
[dB] (mm) = 40.0				
Surface stabilization factor	[KV]	1.000	1.000	1.000
Total influence coefficient	[K]	2.049	2.561	1.637

Present safety for endurance limit:

Fatigue limit of part (N/mm ²)	[σWK]	96.924	96.924	90.983
Permissible amplitude (N/mm ²)	[σADK]	-0.326	99.615	90.983
Permissible amplitude (N/mm ²)	[σANK]	-0.326	99.615	90.983
Effective Miner sum	[DM]	1.000	1.000	0.300
Load spectrum factor	[fKoll]	1.000	1.000	1.000
Safety against fatigue	[S]		74.062	
Required safety against fatigue	[Smin]		1.200	
Result (%)	[S/Smin]		6171.8	

Present safety

for proof against exceed of yield point:

Yield stress of part (N/mm ²)	[σFK]	303.725	334.097	175.356
Safety yield stress	[S]		116.530	

Required safety	[Smin]	1.200
Result (%)	[S/Smin]	9710.8

End of Report

lines: 970

PŘÍLOHA č. 2

Uložení válečku, varianta 1

— KISSsoft Release 03/2018 F —

KISSsoft academic license for Uni Pilsen

File

Name : kladka_2
 Changed by: beber on: 20.07.2020 at: 08:27:49

Analysis of shafts, axle and beams

Input data

Coordinate system shaft: see picture W-002

Label	Shaft 1
Drawing	
Initial position (mm)	-25.000
Length (mm)	160.000
Speed (1/min)	0.00
Sense of rotation: clockwise	
Material	18CrNiMo7-6
Young's modulus (N/mm ²)	206000.000
Poisson's ratio nu	0.300
Density (kg/m ³)	7830.000
Coefficient of thermal expansion (10 ⁻⁶ /K)	11.500
Temperature (°C)	20.000
Weight of shaft (kg)	2.533
Weight of shaft, including additional masses (kg)	2.533
Mass moment of inertia (kg*mm ²)	929.737
Momentum of mass GD2 (Nm ²)	0.036

Label	Shaft 2
Drawing	
Initial position (mm)	0.000
Length (mm)	110.000
Speed (1/min)	50.00
Sense of rotation: clockwise	

Material	C45 (1)
Young's modulus (N/mm ²)	206000.000
Poisson's ratio nu	0.300
Density (kg/m ³)	7830.000
Coefficient of thermal expansion (10 ⁻⁶ /K)	11.500
Temperature (°C)	20.000
Temperature for load spectrum	
No. Temperature (°C)	
1 20.000	
2 20.000	
3 20.000	
Weight of shaft (kg)	10.524
Weight of shaft, including additional masses (kg)	10.524
Mass moment of inertia (kg*m ²)	0.055
Momentum of mass GD2 (Nm ²)	2.154
Position in space (°)	0.000

Consider deformations due to shearing

Shear correction factor 1.100

Rolling bearing stiffness is calculated from inner bearing geometry

Tolerance field: Mean value

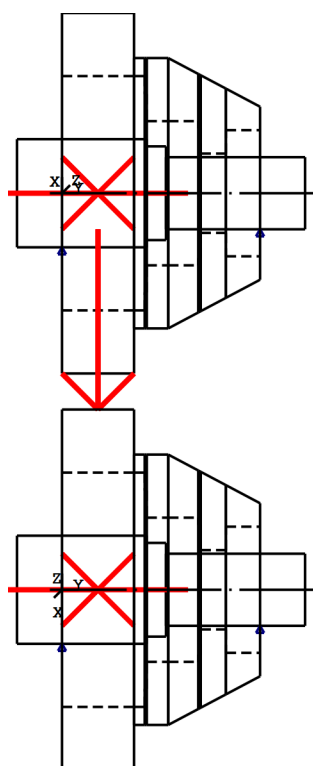


Figure: Load applications

Shaft definition (Shaft 1)

Outer contour

Cylinder (Cylinder) 0.000mm ... 72.000mm

Diameter (mm)	[d]	60.0000
Length (mm)	[l]	72.0000
Surface roughness (μm)	[Rz]	8.0000

Cylinder (Cylinder) 72.000mm ... 82.750mm

Diameter (mm)	[d]	52.0000
Length (mm)	[l]	10.7500
Surface roughness (μm)	[Rz]	8.0000

Cylinder (Cylinder) 82.750mm ... 160.000mm

Diameter (mm)	[d]	40.0000
Length (mm)	[l]	77.2500
Surface roughness (μm)	[Rz]	8.0000

Bearing

Label in the model		Support1
Bearing position (mm)	[y lokai]	25.000
Degrees of freedom		
X: fixed		
Rx: fixed		
Y: fixed		
Ry: fixed		
Z: fixed		
Rz: fixed		

Label in the model	Support2
Bearing position (mm)	[y]okal]
Degrees of freedom	
X: fixed	
Y: fixed	
Rz: fixed	
Rx: fixed	
Ry: fixed	
Rz: fixed	

Shaft definition (Shaft 2)

Outer contour

<u>Cylinder (Cylinder)</u>		0.000mm ...	40.000mm
Diameter (mm)	[d]	200.0000	
Length (mm)	[l]	40.0000	
Surface roughness (μm)	[Rz]	8.0000	

Radius left (Radius left)
r=20.00 (mm), Rz=8.0, Machined (Ra=3.2µm/125µin)

Radius right (Radius right)
r=20.00 (mm), Rz=8.0, Machined (Ra=3.2µm/125µin)

<u>Cylinder (Cylinder)</u>		40.000mm ...	59.000mm
Diameter (mm)	[d]	150.0000	
Length (mm)	[l]	19.0000	
Surface roughness (μm)	[Rz]	8.0000	

Radius left (Radius left)
r=2.00 (mm), Rz=8.0, Machined (Ra=3.2μm/125μin)

<u>Cone (Taper)</u>		59.000mm ...	110.000mm
Diameter left (mm)	[dL]	150.0000	
Diameter right (mm)	[dR]	96.0000	
Length (mm)	[l]	51.0000	
Surface roughness (μm)	[Rz]	8.0000	

Inner contour

<u>Cylindrical bore (Cylinder inside)</u>		0.000mm ...	40.000mm
Diameter (mm)	[d]	130.0000	
Length (mm)	[l]	40.0000	
Surface roughness (μm)	[Rz]	8.0000	

Cylindrical bore (Cylinder inside) 40.000mm ... 46.000mm

Diameter (mm)	[d]	130.0000
Length (mm)	[l]	6.0000
Surface roughness (μm)	[Rz]	8.0000

Cylindrical bore (Cylinder inside) 46.000mm ... 47.000mm

Diameter (mm)	[d]	110.0000
Length (mm)	[l]	1.0000
Surface roughness (μm)	[Rz]	8.0000

Cylindrical bore (Cylinder inside) 47.000mm ... 75.750mm

Diameter (mm)	[d]	80.0000
Length (mm)	[l]	28.7500
Surface roughness (μm)	[Rz]	8.0000

Cylindrical bore (Cylinder inside) 75.750mm ... 77.000mm

Diameter (mm)	[d]	72.0000
Length (mm)	[l]	1.2500
Surface roughness (μm)	[Rz]	8.0000

Cylindrical bore (Cylindrical bore) 77.000mm ... 91.000mm

Diameter (mm)	[d]	44.0000
Length (mm)	[l]	14.0000
Surface roughness (μm)	[Rz]	8.0000

Cylindrical bore (Cylindrical bore) 91.000mm ... 110.000mm

Diameter (mm)	[d]	70.0000
Length (mm)	[l]	19.0000
Surface roughness (μm)	[Rz]	8.0000

Forces

Type of force element	Centric force		
Label in the model	Centric force1		
Position on shaft (mm)	[ylocal]		
Length of load application (mm)	20.0000		
Power (kW)	0.0000		
Torque (Nm)	0.0000		
Axial force (load spectrum) (N)	50000.0000 /	0.0001 /	0.0001
Shearing force X (load spectrum) (N)	0.0000 /	0.0000 /	0.0000
Shearing force Z (Load spectrum) (N)	-120000.0000 /	-0.0001 /	-0.0001
Bending moment X (Load spectrum) (Nm)	0.0000 /	0.0000 /	0.0000
Bending moment Z (Load spectrum) (Nm)	0.0000 /	0.0000 /	0.0000

Load spectrum:

No.	Frequency (%)	Speed (1/min)	Power (%)	Torque (%)	Force (%)
1	4.0000e+001	50.000	100.000	100.000	100.000
2	4.0000e+001	50.000	0.000	0.000	0.000
3	2.0000e+001	50.000	0.000	0.000	0.000

Type of force element	Centric force		
Label in the model	Centric force2		
Position on shaft (mm)	[ylocal]		
Length of load application (mm)	20.0000		
Power (kW)	0.0000		
Torque (Nm)	-0.0000		
Axial force (load spectrum) (N)	-0.0001 /	-50000.0000 /	-0.0001
Shearing force X (load spectrum) (N)	0.0000 /	0.0000 /	0.0000

Shearing force Z (Load spectrum) (N)	-0.0001 /	-120000.0000 /	-0.0001
Bending moment X (Load spectrum) (Nm)	0.0000 /	0.0000 /	0.0000
Bending moment Z (Load spectrum) (Nm)	0.0000 /	0.0000 /	0.0000

Load spectrum:

No.	Frequency (%)	Speed (1/min)	Power (%)	Torque (%)	Force (%)
1	4.0000e+001	50.000	0.000	0.000	0.000
2	4.0000e+001	50.000	100.000	100.000	100.000
3	2.0000e+001	50.000	0.000	0.000	0.000

Type of force element	Centric force		
Label in the model	Centric force3		
Position on shaft (mm)	[y _{local}]		
Length of load application (mm)	20.0000		
Power (kW)	0.0000		
Torque (Nm)	-0.0000		
Axial force (load spectrum) (N)	0.0000 / 0.0000 / 32000.0000		
Shearing force X (load spectrum) (N)	0.0000 / 0.0000 / 0.0000		
Shearing force Z (Load spectrum) (N)	-0.0000 / -0.0000 / -40000.0000		
Bending moment X (Load spectrum) (Nm)	0.0000 / 0.0000 / 0.0000		
Bending moment Z (Load spectrum) (Nm)	0.0000 / 0.0000 / 0.0000		

Load spectrum:

No.	Frequency (%)	Speed (1/min)	Power (%)	Torque (%)	Force (%)
1	4.0000e+001	50.000	0.000	0.000	0.000
2	4.0000e+001	50.000	0.000	0.000	0.000
3	2.0000e+001	50.000	100.000	100.000	100.000

CONNECTIONS

SKF 22312 EK/VA405 (cbearing_1) 23.000mm

Shaft 'Shaft 1' <-> Shaft 'Shaft 2'

Set fixed bearing right

d = 60.000 (mm), D = 130.000 (mm), b = 46.000 (mm), r = 2.100 (mm)

C = 325.000 (kN), C0 = 335.000 (kN), Cu = 36.000 (kN)

Ctheo = 324.909 (kN), C0theo = 334.916 (kN)

fC = 1.000 (kN), fC0 = 1.000 (kN)

Calculation with approximate bearings internal geometry (*)

Z = 9, Dpw = 97.812 (mm), Dw = 26.212 (mm)

Lwe = 22.428 (mm)

Diameter, external race (mm) [d₀] 123.371

Diameter, internal race (mm) [d_i] 72.306

Throat radius, external race (mm) [r₀] 63.392

Throat radius, internal race (mm) [r_i] 63.392

Bearing clearance ISO 5753-1:2009 C0 (52.50 µm)

SKF 81208 TN (cbearing_ax) 100.500mm

Shaft 'Shaft 1' <-> Shaft 'Shaft 2'

Set axial bearing left

d = 40.000 (mm), D = 68.000 (mm), b = 19.000 (mm), r = 1.000 (mm)

C = 83.000 (kN), C0 = 255.000 (kN), Cu = 26.500 (kN)

Ctheo = 83.053 (kN), C0theo = 255.000 (kN)

fC = 1.000 (kN), fC0 = 1.000 (kN)

Calculation with approximate bearings internal geometry (*)

Z = 15, Dpw = 54.659 (mm), Dw = 8.713 (mm)

Lwe = 8.869 (mm)

Diameter, external race (mm)	[d _o]	63.528
Diameter, internal race (mm)	[d _i]	45.790
Bearing clearance		0.00 µm

SKF 6208 (cbearing_2) 66.750mm

Shaft 'Shaft 1' <-> Shaft 'Shaft 2'

Free bearing

d = 40.000 (mm), D = 80.000 (mm), b = 18.000 (mm), r = 1.100 (mm)

C = 32.500 (kN), C₀ = 19.000 (kN), C_u = 0.800 (kN)

C_{theo} = 32.532 (kN), C_{0theo} = 18.976 (kN)

f_C = 1.000 (kN), f_{C0} = 1.000 (kN)

Calculation with approximate bearings internal geometry (*)

Z = 8, D _{pw} =	60.012 (mm), D _w =	13.273 (mm)
Diameter, external race (mm)	[d _o]	73.291
Diameter, internal race (mm)	[d _i]	46.733
Throat radius, external race (mm)	[r _o]	7.034
Throat radius, internal race (mm)	[r _i]	6.902
Bearing clearance		ISO 5753-1:2009 C ₀ (13.00 µm)
Axial clearance		P _e = 185.31 µm

Results

Note: the maximum deflection and torsion of the shaft under torque, the life modification factor aISO, and the bearing's thinnest lubricant film thickness EHL, are predefined for the first load bin.

Shaft

Maximum deflection 332.359 (µm) (Shaft 2 pos = 0.000 mm)

Mass center of gravity

Shaft 1 (mm)	64.541
Shaft 2 (mm)	43.630

Total axial load

Shaft 1 (N)	0.000
Shaft 2 (N)	32000.000

Torsion under torque

Shaft 1 (°)	-0.000
Shaft 2 (°)	0.000

Bearing

Probability of failure	[n]	10.00	%
Axial clearance	[u _A]	10.00	µm
Lubricant		Oil: ISO-VG 220	
Lubricant - service temperature	[T _B]	20.00	°C
Rolling bearing stiffness calculated from internal geometry			

Shaft 'Shaft 1' Bearing 'Support1'

Position (Y-coordinate) [y] 25.00 mm

Bearing reaction force			Bearing reaction moment					
	Fx (kN)	Fy (kN)	Fz (kN)	Fr (kN)	Mx (Nm)	My (Nm)	Mz (Nm)	Mr (Nm)
1	0.038	-5.975	108.226	108.226	2039.524	0.000	2.656	2039.526
2	0.000	43.571	112.057	112.057	1771.904	0.000	0.013	1771.904
3	0.017	-3.824	35.637	35.637	716.007	0.000	1.164	716.008

Shaft 'Shaft 1' Bearing 'Support2'

Position (Y-coordinate) [y] 135.00 mm

Bearing reaction force			Bearing reaction moment					
	Fx (kN)	Fy (kN)	Fz (kN)	Fr (kN)	Mx (Nm)	My (Nm)	Mz (Nm)	Mr (Nm)
1	-0.038	-44.025	11.902	11.902	-943.261	-0.000	-6.831	943.286
2	-0.000	6.429	8.072	8.072	-254.282	-0.000	-0.012	254.282
3	-0.017	-28.176	4.491	4.491	-404.454	-0.000	-3.006	404.465

Rolling bearing 'cbearing 1'

Position (Y-coordinate) [y] 23.00 mm

Basic bearing rating life [L_{nh}] 2396.62 h

Minimum EHL lubricant film thickness [h_{min}] 0.228 μm

Static safety factor [S₀] 1.53

Operating bearing clearance [P_d] 52.500 μm

Reference rating service life [L_{nrh}] 4482.56 h

Bearing reaction force			Bearing reaction moment					
	Fx (kN)	Fy (kN)	Fz (kN)	Fr (kN)	Mx (Nm)	My (Nm)	Mz (Nm)	Mr (Nm)
1	-0.178	0.000	-110.320	110.320	0.000	0.000	0.000	0.000
2	-0.002	-50.000	-128.260	128.260	0.000	0.000	0.000	0.000
3	-0.079	0.000	-34.475	34.475	0.000	0.000	0.000	0.000

Rolling bearing 'cbearing_ax'

Position (Y-coordinate) [y] 100.50 mm

Basic bearing rating life [L_{nh}] 4048.85 h

Minimum EHL lubricant film thickness [h_{min}] 0.128 μm

Static safety factor [S₀] 5.10

Operating bearing clearance [P_d] 0.000 μm

Reference rating service life [L_{nrh}] 2435.35 h

Bearing reaction force			Bearing reaction moment					
	Fx (kN)	Fy (kN)	Fz (kN)	Fr (kN)	Mx (Nm)	My (Nm)	Mz (Nm)	Mr (Nm)
1	0.000	50.000	0.000	0.000	785.540	0.000	7.785	785.579
2	0.000	0.000	0.000	0.000	0.000	0.000	0.000	0.000
3	0.000	32.000	0.000	0.000	363.916	0.000	3.424	363.932

Rolling bearing 'cbearing_2'

Position (Y-coordinate) [y] 66.75 mm

Basic bearing rating life [L_{nh}] 18238.02 h

Minimum EHL lubricant film thickness [h_{min}] 0.153 μm

Spin to roll ratio [ω_s/ω_{roll}] 0.051

Static safety factor [S₀] 1.94

Operating bearing clearance [P_d] 13.000 μm

Reference rating service life [L_{nrh}] 17874.15 h

Bearing reaction force **Bearing reaction moment**

	Fx (kN)	Fy (kN)	Fz (kN)	Fr (kN)	Mx (Nm)	My (Nm)	Mz (Nm)	Mr (Nm)
1	0.178	0.000	-9.783	9.785	0.330	0.000	0.011	0.330
2	0.002	0.000	8.156	8.156	1.017	0.000	0.054	1.018
3	0.079	0.000	-5.627	5.628	0.094	0.000	0.004	0.094

(*) Note about roller bearings with an approximated bearing geometry:

The internal geometry of these bearings has not been input in the database.

The geometry is back-calculated as specified in ISO 281, from C and C0 (details in the manufacturer's catalog).

For this reason, the geometry may be different from the actual geometry.

In some situations, this may result in significant variations in roller bearing stiffness.

Damage (%) [Lreq] (20000.000)

Bin no	B1	B2	B3
1	65.48	443.12	65.50
2	768.35	0.80	37.93
3	0.68	50.05	6.23
<hr/>			
Σ	834.51	493.97	109.66

Utilization (%) [Lreq] (20000.000)

B1	B2	B3
188.99	161.48	103.12

Note: Utilization = (Lreq/Lh)^(1/k)

Ball bearing: k = 3, roller bearing: k = 10/3

B1: cbearing 1 (Connecting rolling bearing)

B2: cbearing_ax (Connecting rolling bearing)

B3: cbearing_2 (Connecting rolling bearing)

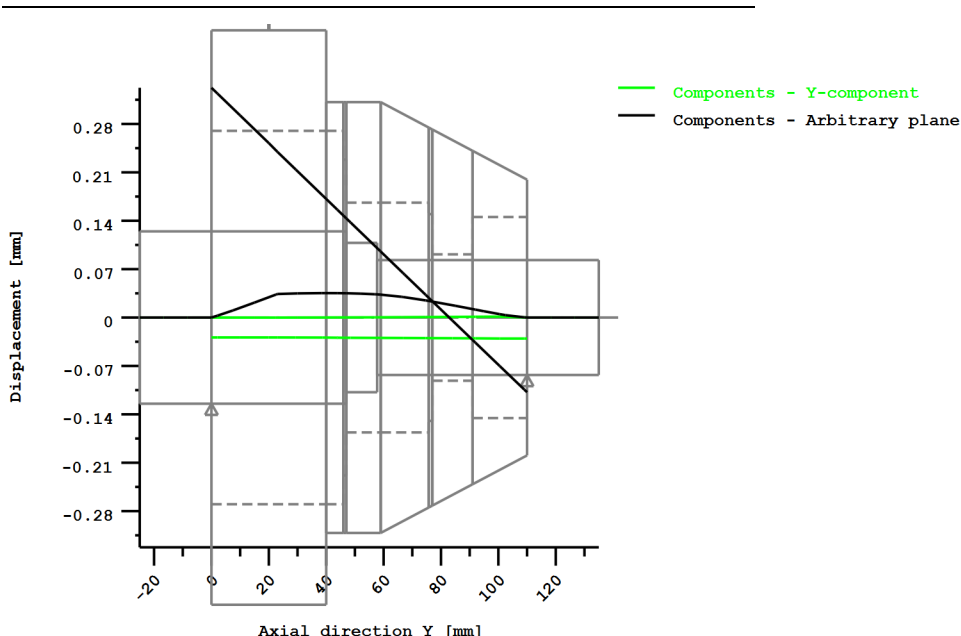
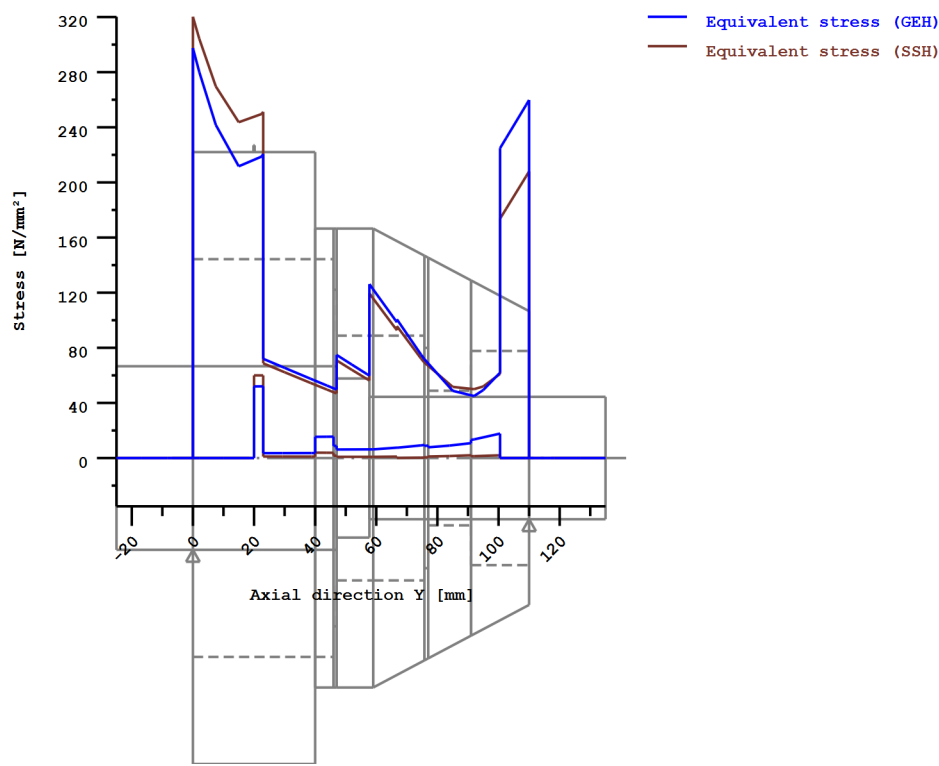


Figure: Deformation (bending etc.) (Arbitrary plane 270.6164762 121)



Nominal stresses, without taking into account stress concentrations

$$\text{GEH(von Mises): } \sigma_V = ((\sigma_B + \sigma_Z, D)^2 + 3(\tau_T + \tau_S)^2)^{1/2}$$

$$\text{SSH(Tresca): } \sigma_V = ((\sigma_B - \sigma_Z, D)^2 + 4(\tau_T + \tau_S)^2)^{1/2}$$

Figure: Equivalent stress

**Strength calculation according to DIN 743:2012
with finite life fatigue strength according to FKM standard and FVA draft**

Summary

Shaft 1

Material	18CrNiMo7-6
Material type	Case-carburized steel
Material treatment	case-hardened
Surface treatment	No

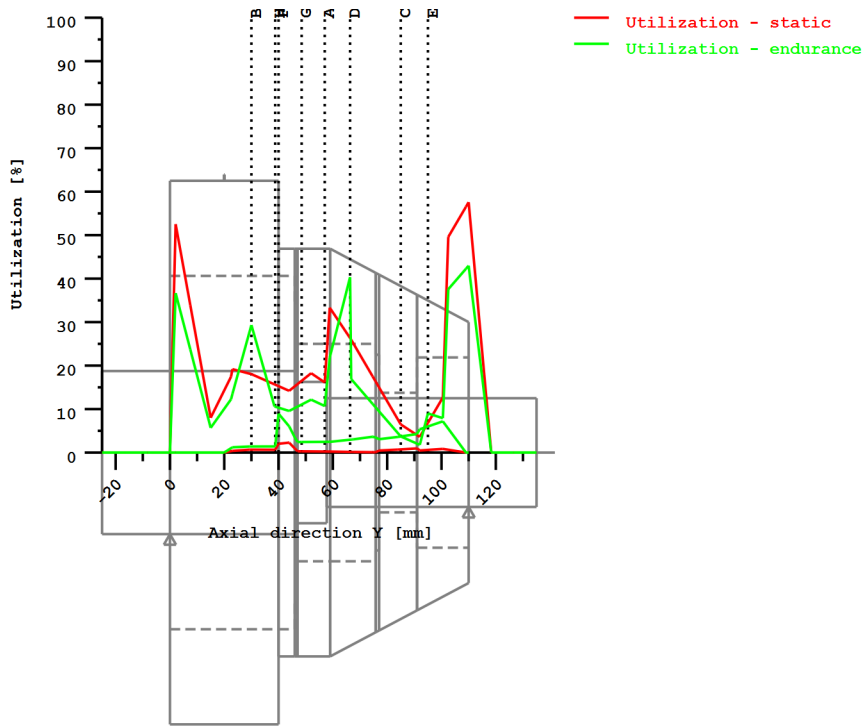
Calculation of service strength and static strength
S-N curve (Woehler line) according Miner elementary

Calculation for load case 2 ($\sigma_{av}/\sigma_{mv} = \text{const}$)

Results:

Cross section	Kfb	Kfs	K2d	SZ	SS	SA
A-A	1.00	0.86	0.87	21.75	13.85	44.52
B-B	2.74	1.00	0.86	7.66	12.06	14.13
C-C	1.00	0.86	0.89	26.47	15.39	49.46
D-D	2.71	1.00	0.89	4.57	6.78	8.04
E-E	2.71	1.00	0.89	12.11	15.98	18.96

Required safeties: 1.20 1.20 1.20



Utilization = $S_{min}/S (\%)$

Figure: Strength

Calculation details

General statements

Material	18CrNiMo7-6
Material type	Case-carburized steel
Material treatment	case-hardened
Surface treatment	No

Reference diameter material (mm)	[dB]	16.00
σ_B according to DIN 743 (at dB) (N/mm^2)	[σ_B]	1200.00
σ_S according to DIN 743 (at dB) (N/mm^2)	[σ_S]	850.00
$[\sigma_{zdW}]$ (bei dB) (N/mm^2)		480.00
$[\sigma_{bW}]$ (bei dB) (N/mm^2)		600.00
$[\tau_{tW}]$ (bei dB) (N/mm^2)		360.00
Thickness of raw material (mm)	[dWerkst]	65.00
$[\sigma_{BRand}]$ (N/mm^2)		2300.00

Service strength for a load spectrum

S-N curve (Woehler lines) according to Miner elementary according to FKM guideline

Required life time [H] 20000.00

Number of load cycles (Mio) [NL] 0.000

Data of S-N curve (Woehler line) analog to FKM standard:

[$k\sigma$, $k\tau$]	15	25
[$kD\sigma$, $kD\tau$]	0	0
[$ND\sigma$, $ND\tau$]	1e+006	1e+006

[NDσII, NDτII] 0 0

Calculation for load case 2 ($\sigma_{av}/\sigma_{mv} = \text{const}$)

Cross section 'A-A' Smooth shaft

Comment	Y= 82.00mm		
Position (Y-Coordinate) (mm)	[y]	82.000	
External diameter (mm)	[da]	52.000	
Inner diameter (mm)	[di]	0.000	
Notch effect	Smooth shaft		
Mean roughness (μm)	[Rz]	8.000	

Load spectrum, load base values (Mean-value + Amplitude):

No.	Frequency (%)	Tens./Compres. (N)	Bending (Nm)	Torsion (Nm)	Shearing (N)
1	4.0000e+001	5974.855	377.747	0.000	2116.101
2	4.0000e+001	6429.078	253.764	0.000	16220.336
3	2.0000e+001	3823.878	142.398	0.000	1145.985

Stresses: (N/mm²)

[σ_{zdm} , σ_{bm} , τ_m , τ_{qm}] (N/mm ²)	3.027	0.000	0.000	0.000
[σ_{zda} , σ_{ba} , τ_a , τ_{qa}] (N/mm ²)	0.000	27.365	0.000	10.184
[$\sigma_{zdm\max}$, $\sigma_{bm\max}$, $\tau_{m\max}$, $\tau_{q\max}$] (N/mm ²)	5.146	46.520	0.000	17.312

Tension/Compression Bending Torsion

Surface stabilization factor	[KV]	1.000	1.000	1.000
Total influence coefficient	[K]	1.162	1.311	1.236

Present safety for endurance limit:

Fatigue limit of part (N/mm ²)	[σ_{WK}]	347.567	385.254	245.192
Permissible amplitude (N/mm ²)	[σ_{ADK}]	0.236	375.466	0.236
Permissible amplitude (N/mm ²)	[σ_{ANK}]	0.374	595.073	0.311
Effective Miner sum	[DM]	0.300	0.300	0.300
Load spectrum factor	[fKoll]	1.000	1.000	1.000
Safety against fatigue	[S]		21.746	
Required safety against fatigue	[Smin]		1.200	
Result (%)	[S/Smin]		1812.2	

Present safety

for proof against exceed of yield point:

Yield stress of part (N/mm ²)	[σ_{FK}]	715.457	715.457	413.069
Safety yield stress	[S]		13.848	
Required safety	[Smin]		1.200	
Result (%)	[S/Smin]		1154.0	

Present safety

for proof of avoiding incipient crack on hard surface layers:

Safety against incipient crack	[S]	44.516
Required safety	[Smin]	1.200
Result (%)	[S/Smin]	3709.7

Cross section 'B-B' Interference fit

Comment

Position (Y-Coordinate) (mm)	[y]	55.000
External diameter (mm)	[da]	60.000
Inner diameter (mm)	[di]	0.000
Notch effect	Interference fit	
Characteristics:	Firm interference fit	
Mean roughness (μm)	[Rz]	8.000

Load spectrum, load base values (Mean-value + Amplitude):

No.	Frequency (%)	Tens./Compres. (N)	Bending (Nm)	Torsion (Nm)	Shearing (N)
1	4.0000e+001	5974.855	434.694	0.000	2110.790
2	4.0000e+001	6429.078	691.646	0.000	16215.013
3	2.0000e+001	3823.878	111.439	0.000	1151.300

Stresses: (N/mm^2)

$[\sigma_{ZDM}, \sigma_{BM}, \tau_M, \tau_{QM}]$ (N/mm^2)	2.274	0.000	0.000	0.000
$[\sigma_{ZDA}, \sigma_{BA}, \tau_A, \tau_{QA}]$ (N/mm^2)	0.000	32.616	0.000	7.647
$[\sigma_{ZDmax}, \sigma_{Bmax}, \tau_{max}, \tau_{Qmax}]$ (N/mm^2)	3.865	55.447	0.000	12.999

Tension/Compression Bending Torsion

Notch effect coefficient	[$\beta(\text{dB})$]	2.710	2.710	1.800
[dB] (mm) = 40.0				
Surface stabilization factor	[KV]	1.000	1.000	1.000
Total influence coefficient	[K]	2.744	3.186	2.105

Present safety for endurance limit:

Fatigue limit of part (N/mm^2)	[σ_{WK}]	147.247	158.506	143.941
Permissible amplitude (N/mm^2)	[σ_{ADK}]	0.315	157.571	0.314
Permissible amplitude (N/mm^2)	[σ_{ANK}]	0.498	249.733	0.414
Effective Miner sum	[DM]	0.300	0.300	0.300
Load spectrum factor	[f _{Koll}]	1.000	1.000	1.000
Safety against fatigue	[S]		7.657	
Required safety against fatigue	[S _{min}]		1.200	
Result (%)	[S/S _{min}]		638.1	

Present safety

for proof against exceed of yield point:

Yield stress of part (N/mm^2)	[σ_{FK}]	715.457	715.457	413.069
Safety yield stress	[S]		12.062	
Required safety	[S _{min}]		1.200	
Result (%)	[S/S _{min}]		1005.2	

Present safety

for proof of avoiding incipient crack on hard surface layers:

Safety against incipient crack	[S]	14.133
Required safety	[S _{min}]	1.200
Result (%)	[S/S _{min}]	1177.7

Cross section 'C-C' Smooth shaft

Comment	Y= 110.00mm		
Position (Y-Coordinate) (mm)	[y]	110.000	
External diameter (mm)	[da]	40.000	
Inner diameter (mm)	[di]	0.000	
Notch effect		Smooth shaft	
Mean roughness (μm)	[Rz]	8.000	

Load spectrum, load base values (Mean-value + Amplitude):

No.	Frequency (%)	Tens./Compres. (N)	Bending (Nm)	Torsion (Nm)	Shearing (N)
1	4.0000e+001	5974.855	139.726	0.000	11897.420
2	4.0000e+001	6429.078	52.610	0.000	8066.867
3	2.0000e+001	3823.878	71.611	0.000	4485.795

Stresses: (N/mm²)

$[\sigma_{zdm}, \sigma_{bm}, \tau_m, \tau_{qm}]$ (N/mm ²)	5.116	0.000	0.000	0.000
$[\sigma_{zda}, \sigma_{ba}, \tau_a, \tau_{qa}]$ (N/mm ²)	0.000	22.238	0.000	12.624
$[\sigma_{zdm\max}, \sigma_{bm\max}, \tau_{m\max}, \tau_{q\max}]$ (N/mm ²)	8.697	37.805	0.000	21.460

Tension/Compression Bending Torsion

Surface stabilization factor	[KV]	1.000	1.000	1.000
Total influence coefficient	[K]	1.162	1.288	1.213

Present safety for endurance limit:

Fatigue limit of part (N/mm ²)	[\sigma_{WK}]	347.567	392.026	249.770
Permissible amplitude (N/mm ²)	[\sigma_{ADK}]	0.140	371.450	0.140
Permissible amplitude (N/mm ²)	[\sigma_{ANK}]	0.222	588.708	0.184
Effective Miner sum	[DM]	0.300	0.300	0.300
Load spectrum factor	[fKoll]	1.000	1.000	1.000
Safety against fatigue	[S]		26.473	
Required safety against fatigue	[Smin]		1.200	
Result (%)	[S/Smin]		2206.1	

Present safety

for proof against exceed of yield point:

Yield stress of part (N/mm ²)	[\sigma_{FK}]	715.457	715.457	413.069
Safety yield stress	[S]		15.385	
Required safety	[Smin]		1.200	
Result (%)	[S/Smin]		1282.1	

Present safety

for proof of avoiding incipient crack on hard surface layers:

Safety against incipient crack	[S]	49.460	
Required safety	[Smin]	1.200	
Result (%)	[S/Smin]	4121.7	

Cross section 'D-D' Interference fit

Comment

Position (Y-Coordinate) (mm)	[y]	91.333
External diameter (mm)	[da]	40.000

Inner diameter (mm)	[di]	0.000
Notch effect		Interference fit
Characteristics:	Firm interference fit	
Mean roughness (μm)	[Rz]	8.000

Load spectrum, load base values (Mean-value + Amplitude):

No.	Frequency (%)	Tens./Compres. (N)	Bending (Nm)	Torsion (Nm)	Shearing (N)
1	4.0000e+001	5974.855	358.043	0.000	2117.050
2	4.0000e+001	6429.078	102.370	0.000	16221.286
3	2.0000e+001	3823.878	153.077	0.000	1145.036

Stresses: (N/mm²)

$[\sigma_{ZDM}, \sigma_{BM}, \tau_M, \tau_{QM}]$ (N/mm ²)	5.116	0.000	0.000	0.000
$[\sigma_{ZDA}, \sigma_{BA}, \tau_A, \tau_{QA}]$ (N/mm ²)	0.000	56.984	0.000	17.211
$[\sigma_{ZDmax}, \sigma_{Bmax}, \tau_{max}, \tau_{Qmax}]$ (N/mm ²)	8.697	96.873	0.000	29.259

Tension/Compression Bending Torsion

Notch effect coefficient	[$\beta(\text{dB})$]	2.710	2.710	1.800
[dB] (mm) = 40.0				
Surface stabilization factor	[KV]	1.000	1.000	1.000
Total influence coefficient	[K]	2.710	3.051	2.026

Present safety for endurance limit:

Fatigue limit of part (N/mm ²)	[σ_{WK}]	149.083	165.527	149.529
Permissible amplitude (N/mm ²)	[σ_{ADK}]	0.140	164.211	0.140
Permissible amplitude (N/mm ²)	[σ_{ANK}]	0.222	260.257	0.184
Effective Miner sum	[DM]	0.300	0.300	0.300
Load spectrum factor	[fKoll]	1.000	1.000	1.000
Safety against fatigue	[S]		4.567	
Required safety against fatigue	[Smin]		1.200	
Result (%)	[S/Smin]		380.6	

Present safety

for proof against exceed of yield point:

Yield stress of part (N/mm ²)	[σ_{FK}]	715.457	715.457	413.069
Safety yield stress	[S]		6.777	
Required safety	[Smin]		1.200	
Result (%)	[S/Smin]		564.8	

Present safety

for proof of avoiding incipient crack on hard surface layers:

Safety against incipient crack	[S]	8.039
Required safety	[Smin]	1.200
Result (%)	[S/Smin]	669.9

Cross section 'E-E' Interference fit

Comment

Position (Y-Coordinate) (mm)	[y]	120.000
External diameter (mm)	[da]	40.000
Inner diameter (mm)	[di]	0.000

Notch effect	Interference fit		
Characteristics:	Firm interference fit		
Mean roughness (μm)	[Rz]		8.000

Load spectrum, load base values (Mean-value + Amplitude):

No.	Frequency (%)	Tens./Compres. (N)	Bending (Nm)	Torsion (Nm)	Shearing (N)
1	4.0000e+001	5974.855	20.790	0.000	11898.385
2	4.0000e+001	6429.078	133.284	0.000	8067.832
3	2.0000e+001	3823.878	26.752	0.000	4486.760

Stresses: (N/mm^2)

[σ_{ZDM} , σ_{BM} , τ_M , τ_{QM}] (N/mm^2)	5.116	0.000	0.000	0.000
[σ_{ZDA} , σ_{BA} , τ_A , τ_{QA}] (N/mm^2)	0.000	21.213	0.000	12.625
[σ_{ZDmax} , σ_{Bmax} , τ_{max} , τ_{Qmax}] (N/mm^2)	8.697	36.062	0.000	21.462

Tension/Compression Bending Torsion

Notch effect coefficient [dB] (mm) = 40.0	[$\beta(\text{dB})$]	2.710	2.710	1.800
Surface stabilization factor	[KV]	1.000	1.000	1.000
Total influence coefficient	[K]	2.710	3.051	2.026

Present safety for endurance limit:

Fatigue limit of part (N/mm^2)	[σ_{WK}]	149.083	165.527	149.529
Permissible amplitude (N/mm^2)	[σ_{ADK}]	0.140	162.039	0.140
Permissible amplitude (N/mm^2)	[σ_{ANK}]	0.222	256.814	0.184
Effective Miner sum	[DM]	0.300	0.300	0.300
Load spectrum factor	[fKoll]	1.000	1.000	1.000
Safety against fatigue	[S]		12.107	
Required safety against fatigue	[Smin]		1.200	
Result (%)	[S/Smin]		1008.9	

Present safety

for proof against exceed of yield point:

Yield stress of part (N/mm^2)	[σ_{FK}]	715.457	715.457	413.069
Safety yield stress	[S]		15.985	
Required safety	[Smin]		1.200	
Result (%)	[S/Smin]		1332.1	

Present safety

for proof of avoiding incipient crack on hard surface layers:

Safety against incipient crack	[S]	18.961
Required safety	[Smin]	1.200
Result (%)	[S/Smin]	1580.1

Shaft 2

Material	C45 (1)
Material type	Through hardened steel

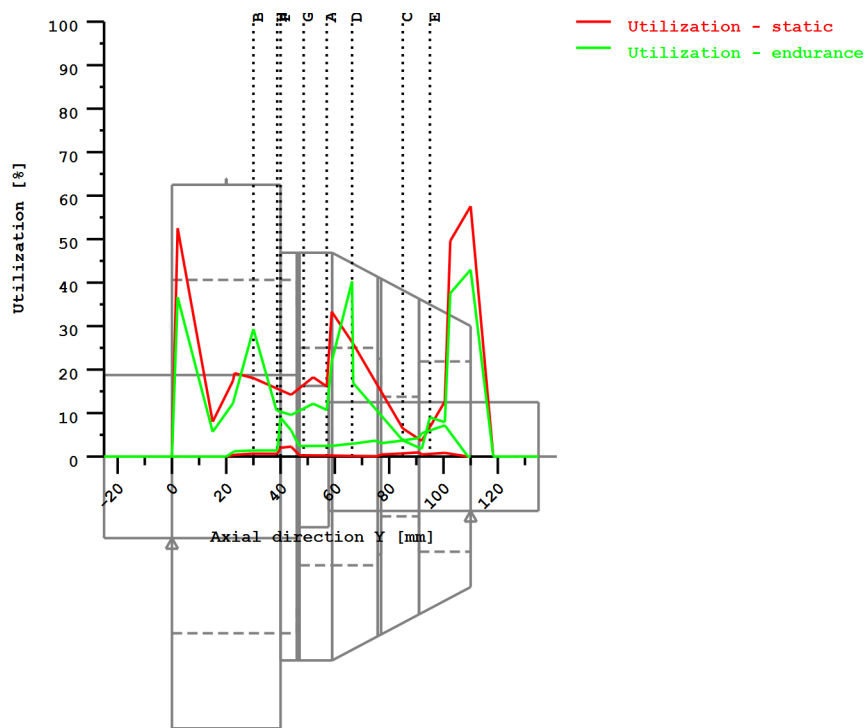
Material treatment unalloyed, through hardened
 Surface treatment No

Calculation of service strength and static strength
 S-N curve (Woehler line) according Miner elementary

Calculation for load case 2 ($\sigma_{av}/\sigma_{mv} = \text{const}$)

Results:

Cross section	Kfb	Kfσ	K2d	SZ	SS
F-F	2.65	0.92	0.80	23.27	25.49
G-G	1.00	0.92	0.80	51.03	83.57
H-H	2.05	1.00	0.80	85.51	87.91
Required safeties:				1.20	1.20



Utilization = $S_{min}/S (\%)$

Figure: Strength

Calculation details

General statements

Material C45 (1)
 Material type Through hardened steel
 Material treatment unalloyed, through hardened
 Surface treatment No

Reference diameter material (mm)	[dB]	16.00
σ_B according to DIN 743 (at dB) (N/mm ²)	[\mathbf{\sigma}_B]	700.00
σ_S according to DIN 743 (at dB) (N/mm ²)	[\mathbf{\sigma}_S]	490.00
[σ_{zdW}] (bei dB) (N/mm ²)		280.00
[σ_{bW}] (bei dB) (N/mm ²)		350.00
[τ_{tW}] (bei dB) (N/mm ²)		210.00
Thickness of raw material (mm)	[dWerkst]	210.00
[σ_{BRand}] (N/mm ²)		628.00

Service strength for a load spectrum

S-N curve (Woehler lines) according to Miner elementary according to FKM guideline

Required life time	[H]	20000.00
Number of load cycles (Mio)	[NL]	60.000

Data of S-N curve (Woehler line) analog to FKM standard:

[$k\sigma, k\tau$]	5	8
[$kD\sigma, kD\tau$]	0	0
[$ND\sigma, ND\tau$]	1e+006	1e+006
[$ND\sigma_{II}, ND\tau_{II}$]	0	0

Calculation for load case 2 ($\sigma_{av}/\sigma_{mv} = \text{const}$)

Cross section 'F-F' Shoulder

Comment	Y= 40.00mm		
Position (Y-Coordinate) (mm)	[y]		
External diameter (mm)	[da]		
Inner diameter (mm)	[di]		
Notch effect		Shoulder	
[D, r, t] (mm)	200.000	2.000	25.000
Mean roughness (μm)		[Rz]	8.000

Load spectrum, load base values (Mean-value + Amplitude):

No.	Frequency (%)	Tens./Compres. (N)	Bending (Nm)	Torsion (Nm)	Shearing (N)
1	4.0000e+001	-50000.000	525.680	0.000	9737.140
2	4.0000e+001	0.000	220.696	0.000	8203.871
3	2.0000e+001	-31999.753	214.983	0.000	5580.232

Stresses: (N/mm²)

[$\sigma_{zdm}, \sigma_{bm}, \tau_m, \tau_{qm}$] (N/mm ²)	-11.368	0.000	0.000	0.000
[$\sigma_{zda}, \sigma_{ba}, \tau_a, \tau_{qa}$] (N/mm ²)		0.000	3.640	0.000
[$\sigma_{zdm\max}, \sigma_{bm\max}, \tau_{m\max}, \tau_{q\max}$] (N/mm ²)	-19.326	6.188	0.000	7.502

Tension/Compression Bending Torsion

Surface stabilization factor	[KV]	1.000	1.000	1.000
Total influence coefficient	[K]	3.101	3.403	2.376

Present safety for endurance limit:

Fatigue limit of part (N/mm ²)	[σWK]	64.045	72.946	62.688
Permissible amplitude (N/mm ²)	[σADK]	-0.082	84.717	62.688
Permissible amplitude (N/mm ²)	[σANK]	-0.082	84.717	62.688
Effective Miner sum	[DM]	1.000	1.000	0.300
Load spectrum factor	[fKoll]	1.000	1.000	1.000
Safety against fatigue	[S]		23.272	
Required safety against fatigue	[Smin]		1.200	
Result (%)	[S/Smin]		1939.4	

Present safety

for proof against exceed of yield point:

Yield stress of part (N/mm ²)	[σFK]	349.283	384.212	175.356
Safety yield stress	[S]		25.495	
Required safety	[Smin]		1.200	
Result (%)	[S/Smin]		2124.6	

Cross section 'G-G' Smooth shaft

Comment

Position (Y-Coordinate) (mm)	[y]	48.500
External diameter (mm)	[da]	150.000
Inner diameter (mm)	[di]	80.000
Notch effect		Smooth shaft
Mean roughness (μm)	[Rz]	8.000

Load spectrum, load base values (Mean-value + Amplitude):

No.	Frequency (%)	Tens./Compres. (N)	Bending (Nm)	Torsion (Nm)	Shearing (N)
1	4.0000e+001	-50000.000	608.453	0.000	9741.250
2	4.0000e+001	0.000	150.977	0.000	8199.760
3	2.0000e+001	-31999.753	262.427	0.000	5584.342

Stresses: (N/mm²)

[σzdm, σbm, τm, τqm] (N/mm ²)	-3.954	0.000	0.000	0.000
[σzda, σba, τa, τqa] (N/mm ²)	0.000	1.998	0.000	1.454
[σzdmax, σbmax, τmax, τqmax] (N/mm ²)	-6.722	3.397	0.000	2.471

Tension/Compression Bending Torsion

Surface stabilization factor	[KV]	1.000	1.000	1.000
Total influence coefficient	[K]	1.085	1.335	1.297

Present safety for endurance limit:

Fatigue limit of part (N/mm ²)	[σWK]	183.021	185.938	114.822
Permissible amplitude (N/mm ²)	[σADK]	-0.205	101.953	114.822
Permissible amplitude (N/mm ²)	[σANK]	-0.205	101.953	114.822
Effective Miner sum	[DM]	1.000	1.000	0.300
Load spectrum factor	[fKoll]	1.000	1.000	1.000
Safety against fatigue	[S]		51.028	
Required safety against fatigue	[Smin]		1.200	
Result (%)	[S/Smin]		4252.3	

Present safety

for proof against exceed of yield point:

Yield stress of part (N/mm ²)	[σFK]	303.725	334.097	175.356
Safety yield stress	[S]		83.573	
Required safety	[Smin]		1.200	
Result (%)	[S/Smin]		6964.4	

Cross section 'H-H' Interference fit

Comment

Position (Y-Coordinate) (mm)	[y]	38.758
External diameter (mm)	[da]	200.000
Inner diameter (mm)	[di]	130.000
Notch effect		Interference fit
Characteristics:	Firm interference fit	
Mean roughness (μm)	[Rz]	8.000

Load spectrum, load base values (Mean-value + Amplitude):

No.	Frequency (%)	Tens./Compres. (N)	Bending (Nm)	Torsion (Nm)	Shearing (N)
1	4.0000e+001	-50000.000	513.584	0.000	9735.409
2	4.0000e+001	0.000	230.890	0.000	8205.602
3	2.0000e+001	-31999.753	208.052	0.000	5578.501

Stresses: (N/mm²)

[σzdm, σbm, τm, τqm] (N/mm ²)	-2.756	0.000	0.000	0.000
[σzda, σba, τa, τqa] (N/mm ²)	0.000	0.796	0.000	1.042
[σzdm, σbmax, τmax, τqmax] (N/mm ²)	-4.685	1.353	0.000	1.772

Tension/Compression Bending Torsion

Notch effect coefficient	[β(dB)]	1.993	1.993	1.297
[dB] (mm) = 40.0				
Surface stabilization factor	[KV]	1.000	1.000	1.000
Total influence coefficient	[K]	2.049	2.561	1.637

Present safety for endurance limit:

Fatigue limit of part (N/mm ²)	[σWK]	96.924	96.924	90.983
Permissible amplitude (N/mm ²)	[σADK]	-0.326	68.066	90.983
Permissible amplitude (N/mm ²)	[σANK]	-0.326	68.066	90.983
Effective Miner sum	[DM]	1.000	1.000	0.300
Load spectrum factor	[fKoll]	1.000	1.000	1.000
Safety against fatigue	[S]		85.510	
Required safety against fatigue	[Smin]		1.200	
Result (%)	[S/Smin]		7125.8	

Present safety

for proof against exceed of yield point:

Yield stress of part (N/mm ²)	[σFK]	303.725	334.097	175.356
Safety yield stress	[S]		87.912	
Required safety	[Smin]		1.200	
Result (%)	[S/Smin]		7326.0	

End of Report

lines: 967

PŘÍLOHA č. 4

Uložení válečku, varianta 3

— KISSsoft Release 03/2018 F —

KISSsoft academic license for Uni Pilsen

- File

Name : kladka_3
Changed by: beber on: 20.07.2020 at: 08:38:41

Analysis of shafts, axle and beams

Input data

Coordinate system shaft: see picture W-002

Label	Shaft 1
Drawing	
Initial position (mm)	-25.000
Length (mm)	160.000
Speed (1/min)	0.00
Sense of rotation: clockwise	
Material	18CrNiMo7-6
Young's modulus (N/mm ²)	206000.000
Poisson's ratio nu	0.300
Density (kg/m ³)	7830.000
Coefficient of thermal expansion	(10 ⁻⁶ /K)
Temperature (°C)	20.000
Weight of shaft (kg)	2.533
Weight of shaft, including additional masses (kg)	2.533
Mass moment of inertia (kg*mm ²)	929.737
Momentum of mass GD2 (Nm ²)	0.036

Label	Shaft 2
Drawing	
Initial position (mm)	0.000
Length (mm)	110.000
Speed (1/min)	50.00
Sense of rotation: clockwise	

Material	C45 (1)
Young's modulus (N/mm ²)	206000.000
Poisson's ratio nu	0.300
Density (kg/m ³)	7830.000
Coefficient of thermal expansion	(10 ⁻⁶ /K)
Temperature (°C)	11.500
Temperature for load spectrum	20.000
No.	Temperature (°C)
1	20.000
2	20.000
3	20.000
Weight of shaft (kg)	10.215
Weight of shaft, including additional masses (kg)	10.215
Mass moment of inertia (kg*m ²)	0.054
Momentum of mass GD2 (Nm ²)	2.127
Position in space (°)	0.000

Consider deformations due to shearing

Shear correction factor 1.100

Rolling bearing stiffness is calculated from inner bearing geometry

Tolerance field: Mean value

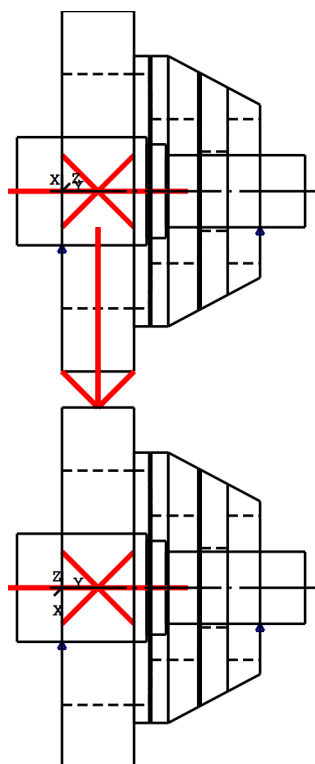


Figure: Load applications

Shaft definition

(Shaft 1)

Outer contour

Cylinder (Cylinder) 0.000mm ... 72.000mm

Diameter (mm)	[d]	60.0000
Length (mm)	[l]	72.0000
Surface roughness (μm)	[Rz]	8.0000

Cylinder (Cylinder) 72.000mm ... 82.750mm

Diameter (mm)	[d]	52.0000
Length (mm)	[l]	10.7500
Surface roughness (μm)	[Rz]	8.0000

Cylinder (Cylinder) 82.750mm ... 160.000mm

Diameter (mm)	[d]	40.0000
Length (mm)	[l]	77.2500
Surface roughness (μm)	[Rz]	8.0000

Bearing

Label in the model	Support1
--------------------	----------

Bearing position (mm)	[Ylokal]	25.000
Degrees of freedom		
X: fixed Y: fixed Z: fixed		
Rx: fixed Ry: fixed Rz: fixed		

Label in the model	Support2
--------------------	----------

Bearing position (mm)	[Ylokal]	135.000
Degrees of freedom		
X: fixed Y: fixed Z: fixed		
Rx: fixed Ry: fixed Rz: fixed		

Shaft definition (Shaft 2)

Outer contour

Cylinder (Cylinder)		0.000mm ...	40.000mm
Diameter (mm)	[d]	200.0000	
Length (mm)	[l]	40.0000	
Surface roughness (μm)	[Rz]	8.0000	

Radius left (Radius left)
 $r=20.00$ (mm), $Rz=8.0$, Machined ($Ra=3.2\mu\text{m}/125\mu\text{in}$)

Radius right (Radius right)
 $r=20.00$ (mm), $Rz=8.0$, Machined ($Ra=3.2\mu\text{m}/125\mu\text{in}$)

Cylinder (Cylinder)		40.000mm ...	59.000mm
Diameter (mm)	[d]	150.0000	
Length (mm)	[l]	19.0000	
Surface roughness (μm)	[Rz]	8.0000	

Radius left (Radius left)
 $r=2.00$ (mm), $Rz=8.0$, Machined ($Ra=3.2\mu\text{m}/125\mu\text{in}$)

Cone (Taper)		59.000mm ...	110.000mm
Diameter left (mm)	[d_l]	150.0000	
Diameter right (mm)	[d_r]	96.0000	
Length (mm)	[l]	51.0000	
Surface roughness (μm)	[Rz]	8.0000	

Inner contour

Cylindrical bore (Cylinder inside)		0.000mm ...	40.000mm
Diameter (mm)	[d]	130.0000	
Length (mm)	[l]	40.0000	
Surface roughness (μm)	[Rz]	8.0000	

Cylindrical bore (Cylinder inside)		40.000mm ...	48.500mm
------------------------------------	--	--------------	----------

Diameter (mm)	[d]	130.0000
Length (mm)	[l]	8.5000
Surface roughness (μm)	[Rz]	8.0000

<u>Cylindrical bore (Cylinder inside)</u>	48.500mm ...	49.500mm
---	--------------	----------

Diameter (mm)	[d]	110.0000
Length (mm)	[l]	1.0000
Surface roughness (μm)	[Rz]	8.0000

<u>Cylindrical bore (Cylinder inside)</u>	49.500mm ...	75.750mm
---	--------------	----------

Diameter (mm)	[d]	80.0000
Length (mm)	[l]	26.2500
Surface roughness (μm)	[Rz]	8.0000

<u>Cylindrical bore (Cylinder inside)</u>	75.750mm ...	77.000mm
---	--------------	----------

Diameter (mm)	[d]	72.0000
Length (mm)	[l]	1.2500
Surface roughness (μm)	[Rz]	8.0000

<u>Cylindrical bore (Cylindrical bore)</u>	77.000mm ...	92.000mm
--	--------------	----------

Diameter (mm)	[d]	44.0000
Length (mm)	[l]	15.0000
Surface roughness (μm)	[Rz]	8.0000

<u>Cylindrical bore (Cylindrical bore)</u>	92.000mm ...	110.000mm
--	--------------	-----------

Diameter (mm)	[d]	80.0000
Length (mm)	[l]	18.0000
Surface roughness (μm)	[Rz]	8.0000

Forces

Type of force element	Centric force		
Label in the model	Centric force1		
Position on shaft (mm)	[ylocal]		
Length of load application (mm)	20.0000		
Power (kW)	0.0000		
Torque (Nm)	-0.0000		
Axial force (load spectrum) (N)	50000.0000 / 0.0001 / 0.0001		
Shearing force X (load spectrum) (N)	0.0000 / 0.0000 / 0.0000		
Shearing force Z (Load spectrum) (N)	-120000.0000 / -0.0001 / -0.0001		
Bending moment X (Load spectrum) (Nm)	0.0000 / 0.0000 / 0.0000		
Bending moment Z (Load spectrum) (Nm)	0.0000 / 0.0000 / 0.0000		

Load spectrum:

No.	Frequency (%)	Speed (1/min)	Power (%)	Torque (%)	Force (%)
1	4.0000e+001	50.000	100.000	100.000	100.000
2	4.0000e+001	50.000	0.000	0.000	0.000
3	2.0000e+001	50.000	0.000	0.000	0.000

Type of force element	Centric force		
Label in the model	Centric force2		
Position on shaft (mm)	[ylocal]		
Length of load application (mm)	20.0000		
Power (kW)	0.0000		
Torque (Nm)	-0.0000		
Axial force (load spectrum) (N)	-0.0001 / -50000.0000 / -0.0001		
Shearing force X (load spectrum) (N)	0.0000 / 0.0000 / 0.0000		

Shearing force Z (Load spectrum) (N)	-0.0001 /	-120000.0000 /	-0.0001
Bending moment X (Load spectrum) (Nm)	0.0000 /	0.0000 /	0.0000
Bending moment Z (Load spectrum) (Nm)	0.0000 /	0.0000 /	0.0000
Load spectrum:			

No.	Frequency (%)	Speed (1/min)	Power (%)	Torque (%)	Force (%)
1	4.0000e+001	50.000	0.000	0.000	0.000
2	4.0000e+001	50.000	100.000	100.000	100.000
3	2.0000e+001	50.000	0.000	0.000	0.000

Type of force element	Centric force		
Label in the model	Centric force3		
Position on shaft (mm)	[y _{local}]		
Length of load application (mm)	20.0000		
Power (kW)	0.0000		
Torque (Nm)	-0.0000		
Axial force (load spectrum) (N)	0.0000 / 0.0000 / 32000.0000		
Shearing force X (load spectrum) (N)	0.0000 / 0.0000 / 0.0000		
Shearing force Z (Load spectrum) (N)	-0.0000 / -0.0000 / -40000.0000		
Bending moment X (Load spectrum) (Nm)	0.0000 / 0.0000 / 0.0000		
Bending moment Z (Load spectrum) (Nm)	0.0000 / 0.0000 / 0.0000		
Load spectrum:			

No.	Frequency (%)	Speed (1/min)	Power (%)	Torque (%)	Force (%)
1	4.0000e+001	50.000	0.000	0.000	0.000
2	4.0000e+001	50.000	0.000	0.000	0.000
3	2.0000e+001	50.000	100.000	100.000	100.000

CONNECTIONS

SKF 32312 (cbearing 1) 24.250mm

Shaft 'Shaft 1' <-> Shaft 'Shaft 2'

Set fixed bearing right

d = 60.000 (mm), D = 130.000 (mm), b = 48.500 (mm), r = 3.000 (mm)

C = 282.000 (kN), C₀ = 290.000 (kN), C_u = 34.000 (kN)

C_{theo} = 282.000 (kN), C_{0theo} = 289.961 (kN)

f_C = 1.000 (kN), f_{C₀} = 1.000 (kN)

Calculation with approximate bearings internal geometry (*)

Z=8, D_{pw} = 95.314 (mm), D_w = 26.825 (mm)

L_{we} = 43.450 (mm), a = 31

a = 31

Diameter, external race (mm) [d₀] 121.703

Diameter, internal race (mm) [d_i] 68.924

Bearing clearance 0.00 µm

The bearing pressure angle will be considered in the calculation

Position (center of pressure) (mm)

17.4050

SKF 7208 BECBY (cbearing_ax) 101.000mm

Shaft 'Shaft 1' <-> Shaft 'Shaft 2'

Set axial bearing left

d = 40.000 (mm), D = 80.000 (mm), b = 18.000 (mm), r = 1.100 (mm)

C = 39.000 (kN), C₀ = 28.000 (kN), C_u = 1.200 (kN)

C_{theo} = 42.795 (kN), C_{0theo} = 25.379 (kN)

f_C = 1.000 (kN), f_{C₀} = 1.000 (kN)

Calculation with approximate bearings internal geometry (*)

Z=9, D_{pw} = 60.000 (mm), D_w = 16.375 (mm)

Diameter, external race (mm)	[d _o]	76.567
Diameter, internal race (mm)	[d _i]	43.433
Throat radius, external race (mm)	[r _o]	8.679
Throat radius, internal race (mm)	[r _i]	8.515
Bearing clearance	0.00 µm	

The bearing pressure angle will be considered in the calculation

Position (center of pressure) 126.000	(mm)
--	------

SKF 6208 (cbearing_2) 66.750mm

Shaft 'Shaft 1' <-> Shaft 'Shaft 2'

Free bearing

d = 40.000 (mm), D = 80.000 (mm), b = 18.000 (mm), r = 1.100 (mm)

C = 32.500 (kN), C₀ = 19.000 (kN), C_u = 0.800 (kN)

C_{theo} = 32.532 (kN), C_{0theo} = 18.976 (kN)

f_C = 1.000 (kN), f_{C0} = 1.000 (kN)

Calculation with approximate bearings internal geometry (*)

Z = 8, D_{pw} = 60.012 (mm), D_w = 13.273 (mm)

Diameter, external race (mm) [d_o] 73.291

Diameter, internal race (mm) [d_i] 46.733

Throat radius, external race (mm) [r_o] 7.034

Throat radius, internal race (mm) [r_i] 6.902

Bearing clearance ISO 5753-1:2009 C₀ (13.00 µm)

Axial clearance Pe = 185.31 µm

Results

Note: the maximum deflection and torsion of the shaft under torque, the life modification factor also, and the bearing's thinnest lubricant film thickness EHL, are predefined for the first load bin.

Shaft

Maximum deflection 259.254 (µm) (Shaft 2 pos = 0.000 mm)

Mass center of gravity

Shaft 1 (mm) 64.541

Shaft 2 (mm) 42.717

Total axial load

Shaft 1 (N) 0.000

Shaft 2 (N) 32000.000

Torsion under torque

Shaft 1 (°) -0.000

Shaft 2 (°) 0.000

Bearing

Rolling bearing stiffness calculated from internal geometry

Shaft 'Shaft 1' Bearing 'Support1'

Shaft 'Shaft 1' Bearing 'Support2'

Rolling bearing 'cbearing_1'

Basic bearing rating life	[L _{nh}]	7990.12	h
Minimum EHL lubricant film thickness	[h _{min}]	0.225	μm
Static safety factor	[S ₀]	2.70	
Operating bearing clearance	[P _d]	0.000	μm
Reference rating service life	[L _{nrh}]	21525.05	h

Rolling bearing 'cbearing_ax'

Basic bearing rating life	[L _{nh}]	529.50	h
Minimum EHL lubricant film thickness	[h _{min}]	0.148	μm
Spin to roll ratio	[ω _s /ω _{roll}]	0.348	
Static safety factor	[S ₀]	1.39	
Operating bearing clearance	[P _d]	0.000	μm
Reference rating service life	[L _{nrh}]	1262.25	h

Rolling bearing 'cbearing_2'

Basic bearing rating life	[L _{nh}]	2931.09	h
Minimum EHL lubricant film thickness	[h _{min}]	0.125	μm
Spin to roll ratio	[ω _s /ω _{roll}]	0.001	
Static safety factor	[S ₀]	0.97	
Operating bearing clearance	[P _d]	13.000	μm
Reference rating service life	[L _{nrh}]	2914.60	h

(*) Note about roller bearings with an approximated bearing geometry:

The internal geometry of these bearings has not been input in the database.

The geometry is back-calculated as specified in ISO 281, from C and C0 (details in the manufacturer's catalog).

For this reason, the geometry may be different from the actual geometry.

In some situations, this may result in significant variations in roller bearing stiffness.

Damage (%) [Lreq] (20000.000)

Bin no	B1	B2	B3
1	76.81	3516.00	533.05
2	172.51	0.80	139.37
3	0.99	260.38	9.92

Σ 250.31 3777.18 682.34

Utilization (%) [Lreq] (20000.000)

B1	B2	B3
131.69	335.52	189.67

Note: Utilization = (Lreq/Lh)^(1/k)

Ball bearing: k = 3, roller bearing: k = 10/3

- B1: cbearing_1 (Connecting rolling bearing)
B2: cbearing_ax (Connecting rolling bearing)
B3: cbearing_2 (Connecting rolling bearing)

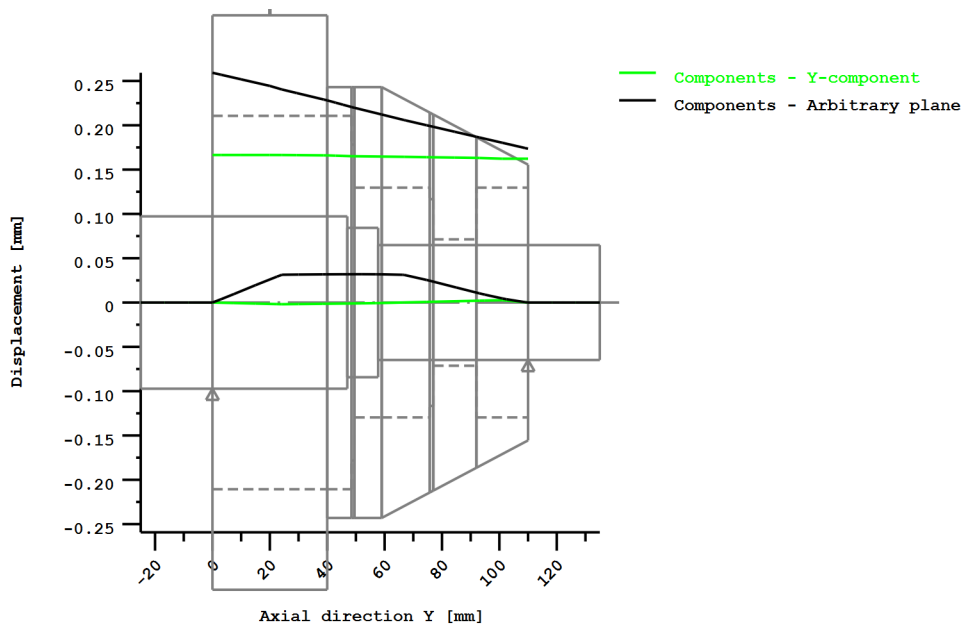
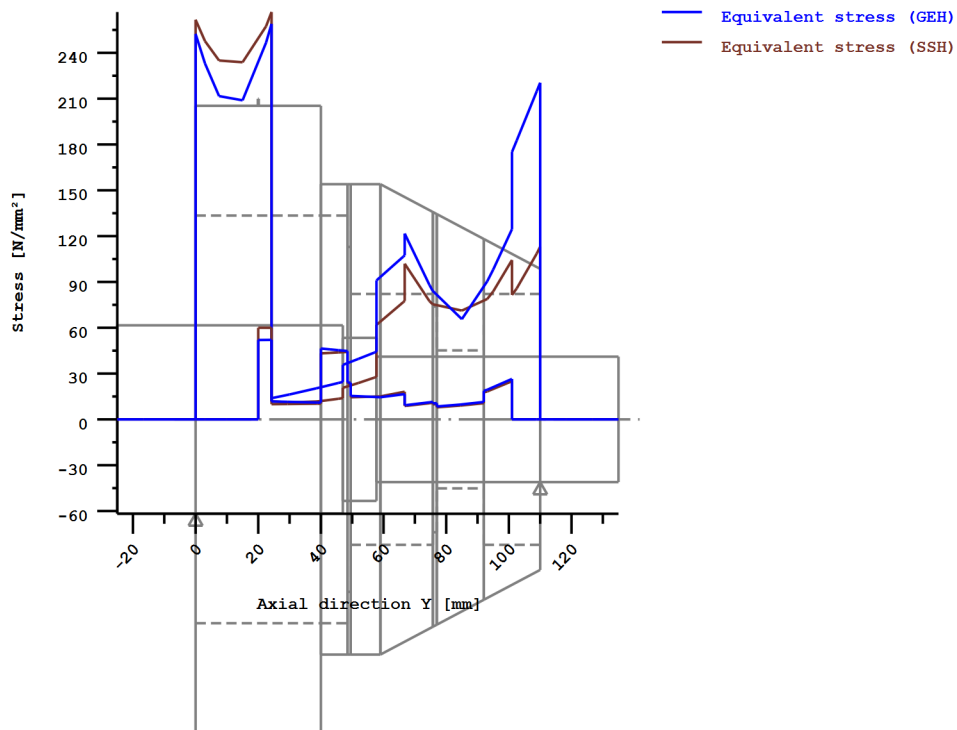


Figure: Deformation (bending etc.) (Arbitrary plane 270.0000109 121)



Nominal stresses, without taking into account stress concentrations
 GEH(von Mises): $\sigma_{\text{V}} = ((\sigma_B + \sigma_Z, D)^2 + 3 * (\tau_T + \tau_S)^2)^{1/2}$
 SSH(Tresca): $\sigma_{\text{V}} = ((\sigma_B - \sigma_Z, D)^2 + 4 * (\tau_T + \tau_S)^2)^{1/2}$

Figure: Equivalent stress

**Strength calculation according to DIN 743:2012
with finite life fatigue strength according to FKM standard and FVA draft**

Summary

Shaft 1

Material	18CrNiMo7-6
Material type	Case-carburized steel
Material treatment	case-hardened
Surface treatment	No

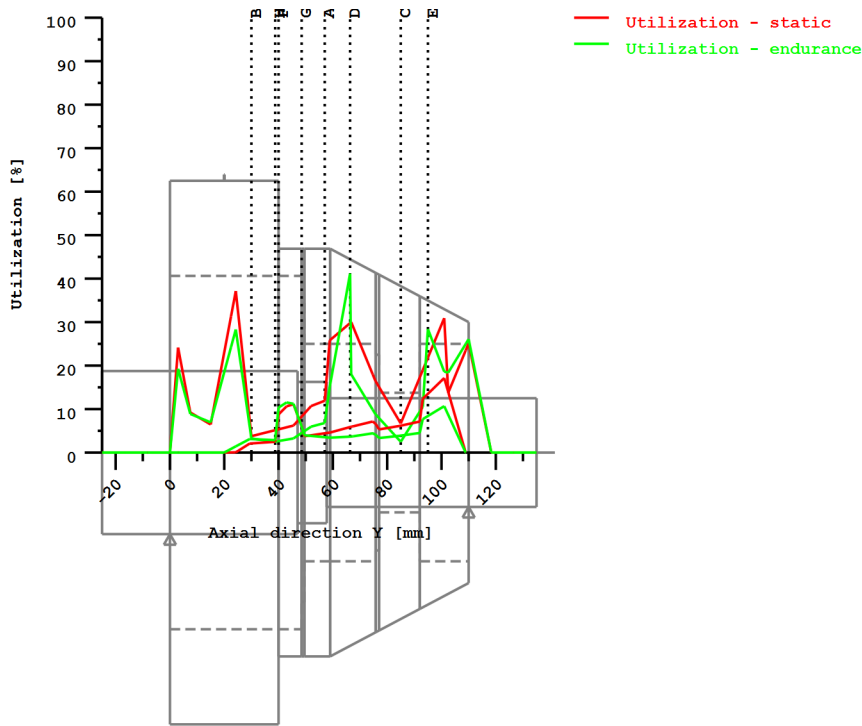
Calculation of service strength and static strength
S-N curve (Woehler line) according Miner elementary

Calculation for load case 2 ($\sigma_{av}/\sigma_{mv} = \text{const}$)

Results:

Cross section	Kfb	Kfs	K2d	SZ	SS	SA
A-A	1.00	0.86	0.87	37.84	20.38	65.51
B-B	2.74	1.00	0.86	24.38	29.30	34.33
C-C	1.00	0.86	0.89	74.23	27.55	88.57
D-D	2.71	1.00	0.89	6.66	8.68	10.29
E-E	2.71	1.00	0.89	9.81	11.74	13.93

Required safeties: 1.20 1.20 1.20



Utilization = S_{min}/S (%)

Figure: Strength

Calculation details

General statements

Material	18CrNiMo7-6
Material type	Case-carburized steel
Material treatment	case-hardened
Surface treatment	No

Reference diameter material (mm)	[dB]	16.00
σ_B according to DIN 743 (at dB) (N/mm^2)	[σ_B]	1200.00
σ_S according to DIN 743 (at dB) (N/mm^2)	[σ_S]	850.00
$[\sigma_{zdW}]$ (bei dB) (N/mm^2)		480.00
$[\sigma_{BW}]$ (bei dB) (N/mm^2)		600.00
$[\tau_{tW}]$ (bei dB) (N/mm^2)		360.00
Thickness of raw material (mm)	[dWerkst]	65.00
$[\sigma_{BRand}]$ (N/mm^2)		2300.00

Service strength for a load spectrum

S-N curve (Woehler lines) according to Miner elementary according to FKM guideline

Required life time [H] 20000.00

Number of load cycles (Mio) [NL] 0.000

Data of S-N curve (Woehler line) analog to FKM standard:

[$k\sigma$, $k\tau$]	15	25
[$kD\sigma$, $kD\tau$]	0	0
[$ND\sigma$, $ND\tau$]	1e+006	1e+006

[NDσII, NDτII] 0 0

Calculation for load case 2 ($\sigma_{av}/\sigma_{mv} = \text{const}$)

Cross section 'A-A' Smooth shaft

Comment	Y= 82.00mm		
Position (Y-Coordinate) (mm)	[y]	82.000	
External diameter (mm)	[da]	52.000	
Inner diameter (mm)	[di]	0.000	
Notch effect	Smooth shaft		
Mean roughness (μm)	[Rz]	8.000	

Load spectrum, load base values (Mean-value + Amplitude):

No.	Frequency (%)	Tens./Compres. (N)	Bending (Nm)	Torsion (Nm)	Shearing (N)
1	4.0000e+001	12553.752	192.454	0.000	5300.593
2	4.0000e+001	6778.448	203.486	0.000	260.667
3	2.0000e+001	5890.238	64.607	0.000	1762.317

Stresses: (N/mm²)

[σ_{zdm} , σ_{bm} , τ_m , τ_{qm}] (N/mm ²)	5.911	0.000	0.000	0.000
[σ_{zda} , σ_{ba} , τ_a , τ_{qa}] (N/mm ²)	0.000	14.741	0.000	3.328
[$\sigma_{zdm\max}$, $\sigma_{bm\max}$, $\tau_{m\max}$, $\tau_{q\max}$] (N/mm ²)	10.049	25.060	0.000	5.657

Tension/Compression Bending Torsion

Surface stabilization factor	[KV]	1.000	1.000	1.000
Total influence coefficient	[K]	1.162	1.311	1.236

Present safety for endurance limit:

Fatigue limit of part (N/mm ²)	[σ_{WK}]	347.567	385.254	245.192
Permissible amplitude (N/mm ²)	[σ_{ADK}]	0.121	351.992	0.121
Permissible amplitude (N/mm ²)	[σ_{ANK}]	0.192	557.869	0.160
Effective Miner sum	[DM]	0.300	0.300	0.300
Load spectrum factor	[fKoll]	1.000	1.000	1.000
Safety against fatigue	[S]		37.845	
Required safety against fatigue	[Smin]		1.200	
Result (%)	[S/Smin]		3153.7	

Present safety

for proof against exceed of yield point:

Yield stress of part (N/mm ²)	[σ_{FK}]	715.457	715.457	413.069
Safety yield stress	[S]		20.378	
Required safety	[Smin]		1.200	
Result (%)	[S/Smin]		1698.2	

Present safety

for proof of avoiding incipient crack on hard surface layers:

Safety against incipient crack	[S]	65.511
Required safety	[Smin]	1.200
Result (%)	[S/Smin]	5459.2

Cross section 'B-B' Interference fit

Comment

Position (Y-Coordinate) (mm)	[y]	55.000
External diameter (mm)	[da]	60.000
Inner diameter (mm)	[di]	0.000
Notch effect		Interference fit
Characteristics:	Firm interference fit	
Mean roughness (μm)	[Rz]	8.000

Load spectrum, load base values (Mean-value + Amplitude):

No.	Frequency (%)	Tens./Compres. (N)	Bending (Nm)	Torsion (Nm)	Shearing (N)
1	4.000e+001	12553.752	49.270	0.000	5305.915
2	4.000e+001	6778.448	210.457	0.000	255.345
3	2.000e+001	5890.238	16.957	0.000	1767.639

Stresses (N/mm²)

$[\sigma_{zdm}, \sigma_{bm}, \tau_m, \tau_{qm}]$ (N/mm 2)	4.440	0.000	0.000	0.000
$[\sigma_{zda}, \sigma_{ba}, \tau_a, \tau_{qa}]$ (N/mm 2)	0.000	9.925	0.000	2.502
$[\sigma_{zmax}, \sigma_{bmax}, \tau_{max}, \tau_{qmax}]$ (N/mm 2)	7.548	16.872	0.000	4.254

Tension/Compression Bending Torsion

Notch effect coefficient [dB] (mm) = 40.0	$\beta(dB)$	2.710	2.710	1.800
Surface stabilization factor	K_V	1.000	1.000	1.000
Total influence coefficient	K	2.744	3.186	2.105

Present safety for endurance limit:

Fatigue limit of part (N/mm ²)	[σWK]	147.247	158.506	143.941
Permissible amplitude (N/mm ²)	[σADK]	0.161	152.690	0.161
Permissible amplitude (N/mm ²)	[σANK]	0.255	241.997	0.212
Effective Miner sum	[DM]	0.300	0.300	0.300
Load spectrum factor	[fKoll]	1.000	1.000	1.000
Safety against fatigue	[S]		24.384	
Required safety against fatigue	[Smin]		1.200	
Result (%)	[S/Smin]		2032.0	

Present safety

for proof against exceed of yield point:

Yield stress of part (N/mm ²)	[σFK]	715.457	715.457	413.069
Safety yield stress	[S]		29.298	
Required safety	[Smin]		1.200	
Result (%)	[S/Smin]		2441.5	

Present safety

for proof of avoiding incipient crack on hard surface layers:

Safety against incipient crack	[S]	34.326
Required safety	[Smin]	1.200
Result (%)	[S/Smin]	2860.5

Cross section 'C-C' Smooth shaft

Comment	Y= 110.00mm		
Position (Y-Coordinate) (mm)	[y]	110.000	
External diameter (mm)	[da]	40.000	
Inner diameter (mm)	[di]	0.000	
Notch effect		Smooth shaft	
Mean roughness (μm)	[Rz]	8.000	

Load spectrum, load base values (Mean-value + Amplitude):

No.	Frequency (%)	Tens./Compres. (N)	Bending (Nm)	Torsion (Nm)	Shearing (N)
1	4.0000e+001	12553.752	18.558	0.000	14384.116
2	4.0000e+001	6778.448	33.206	0.000	12849.004
3	2.0000e+001	5890.238	6.053	0.000	4811.402

Stresses: (N/mm²)

$[\sigma_{zdm}, \sigma_{bm}, \tau_m, \tau_{qm}]$ (N/mm ²)	9.990	0.000	0.000	0.000
$[\sigma_{zda}, \sigma_{ba}, \tau_a, \tau_{qa}]$ (N/mm ²)	0.000	5.285	0.000	15.262
$[\sigma_{zdm\max}, \sigma_{b\max}, \tau_{m\max}, \tau_{q\max}]$ (N/mm ²)	16.983	8.984	0.000	25.945

Tension/Compression Bending Torsion

Surface stabilization factor	[KV]	1.000	1.000	1.000
Total influence coefficient	[K]	1.162	1.288	1.213

Present safety for endurance limit:

Fatigue limit of part (N/mm ²)	[\sigma_{WK}]	347.567	392.026	249.770
Permissible amplitude (N/mm ²)	[\sigma_{ADK}]	0.072	247.540	0.072
Permissible amplitude (N/mm ²)	[\sigma_{ANK}]	0.113	392.325	0.094
Effective Miner sum	[DM]	0.300	0.300	0.300
Load spectrum factor	[fKoll]	1.000	1.000	1.000
Safety against fatigue	[S]		74.234	
Required safety against fatigue	[Smin]		1.200	
Result (%)	[S/Smin]		6186.2	

Present safety

for proof against exceed of yield point:

Yield stress of part (N/mm ²)	[\sigma_{FK}]	715.457	715.457	413.069
Safety yield stress	[S]		27.552	
Required safety	[Smin]		1.200	
Result (%)	[S/Smin]		2296.0	

Present safety

for proof of avoiding incipient crack on hard surface layers:

Safety against incipient crack	[S]	88.573	
Required safety	[Smin]	1.200	
Result (%)	[S/Smin]	7381.1	

Cross section 'D-D' Interference fit

Comment

Position (Y-Coordinate) (mm)	[y]	91.333
External diameter (mm)	[da]	40.000

Inner diameter (mm)	[di]	0.000
Notch effect		Interference fit
Characteristics:	Firm interference fit	
Mean roughness (μm)	[Rz]	8.000

Load spectrum, load base values (Mean-value + Amplitude):

No.	Frequency (%)	Tens./Compres. (N)	Bending (Nm)	Torsion (Nm)	Shearing (N)
1	4.0000e+001	12553.752	241.921	0.000	5299.642
2	4.0000e+001	6778.448	201.049	0.000	261.618
3	2.0000e+001	5890.238	81.051	0.000	1761.366

Stresses: (N/mm²)

$[\sigma_{ZDM}, \sigma_{BM}, \tau_M, \tau_{QM}]$ (N/mm ²)	9.990	0.000	0.000	0.000
$[\sigma_{ZDA}, \sigma_{BA}, \tau_A, \tau_{QA}]$ (N/mm ²)	0.000	38.503	0.000	5.623
$[\sigma_{ZDmax}, \sigma_{Bmax}, \tau_{max}, \tau_{Qmax}]$ (N/mm ²)	16.983	65.455	0.000	9.559

Tension/Compression Bending Torsion

Notch effect coefficient	[$\beta(\text{dB})$]	2.710	2.710	1.800
[dB] (mm) = 40.0				
Surface stabilization factor	[KV]	1.000	1.000	1.000
Total influence coefficient	[K]	2.710	3.051	2.026

Present safety for endurance limit:

Fatigue limit of part (N/mm ²)	[σ_{WK}]	149.083	165.527	149.529
Permissible amplitude (N/mm ²)	[σ_{ADK}]	0.072	161.781	0.072
Permissible amplitude (N/mm ²)	[σ_{ANK}]	0.113	256.405	0.094
Effective Miner sum	[DM]	0.300	0.300	0.300
Load spectrum factor	[fKoll]	1.000	1.000	1.000
Safety against fatigue	[S]		6.659	
Required safety against fatigue	[Smin]		1.200	
Result (%)	[S/Smin]		554.9	

Present safety

for proof against exceed of yield point:

Yield stress of part (N/mm ²)	[σ_{FK}]	715.457	715.457	413.069
Safety yield stress	[S]		8.679	
Required safety	[Smin]		1.200	
Result (%)	[S/Smin]		723.2	

Present safety

for proof of avoiding incipient crack on hard surface layers:

Safety against incipient crack	[S]	10.295
Required safety	[Smin]	1.200
Result (%)	[S/Smin]	857.9

Cross section 'E-E' Interference fit

Comment

Position (Y-Coordinate) (mm)	[y]	120.000
External diameter (mm)	[da]	40.000
Inner diameter (mm)	[di]	0.000

Notch effect	Interference fit		
Characteristics:	Firm interference fit		
Mean roughness (μm)	[Rz]		8.000

Load spectrum, load base values (Mean-value + Amplitude):

No.	Frequency (%)	Tens./Compres. (N)	Bending (Nm)	Torsion (Nm)	Shearing (N)
1	4.0000e+001	12553.752	162.404	0.000	14385.081
2	4.0000e+001	6778.448	161.701	0.000	12849.969
3	2.0000e+001	5890.238	54.172	0.000	4812.367

Stresses: (N/mm^2)

[σ_{ZDM} , σ_{BM} , τ_M , τ_{QM}] (N/mm^2)	9.990	0.000	0.000	0.000
[σ_{ZDA} , σ_{BA} , τ_A , τ_{QA}] (N/mm^2)	0.000	25.847	0.000	15.263
[σ_{ZDmax} , σ_{Bmax} , τ_{max} , τ_{Qmax}] (N/mm^2)	16.983	43.941	0.000	25.947

Tension/Compression Bending Torsion

Notch effect coefficient [dB] (mm) = 40.0	[$\beta(\text{dB})$]	2.710	2.710	1.800
Surface stabilization factor	[KV]	1.000	1.000	1.000
Total influence coefficient	[K]	2.710	3.051	2.026

Present safety for endurance limit:

Fatigue limit of part (N/mm^2)	[σ_{WK}]	149.083	165.527	149.529
Permissible amplitude (N/mm^2)	[σ_{ADK}]	0.072	160.007	0.072
Permissible amplitude (N/mm^2)	[σ_{ANK}]	0.113	253.595	0.094
Effective Miner sum	[DM]	0.300	0.300	0.300
Load spectrum factor	[fKoll]	1.000	1.000	1.000
Safety against fatigue	[S]		9.811	
Required safety against fatigue	[Smin]		1.200	
Result (%)	[S/Smin]		817.6	

Present safety

for proof against exceed of yield point:

Yield stress of part (N/mm^2)	[σ_{FK}]	715.457	715.457	413.069
Safety yield stress	[S]		11.744	
Required safety	[Smin]		1.200	
Result (%)	[S/Smin]		978.6	

Present safety

for proof of avoiding incipient crack on hard surface layers:

Safety against incipient crack	[S]	13.930
Required safety	[Smin]	1.200
Result (%)	[S/Smin]	1160.9

Shaft 2

Material	C45 (1)
Material type	Through hardened steel

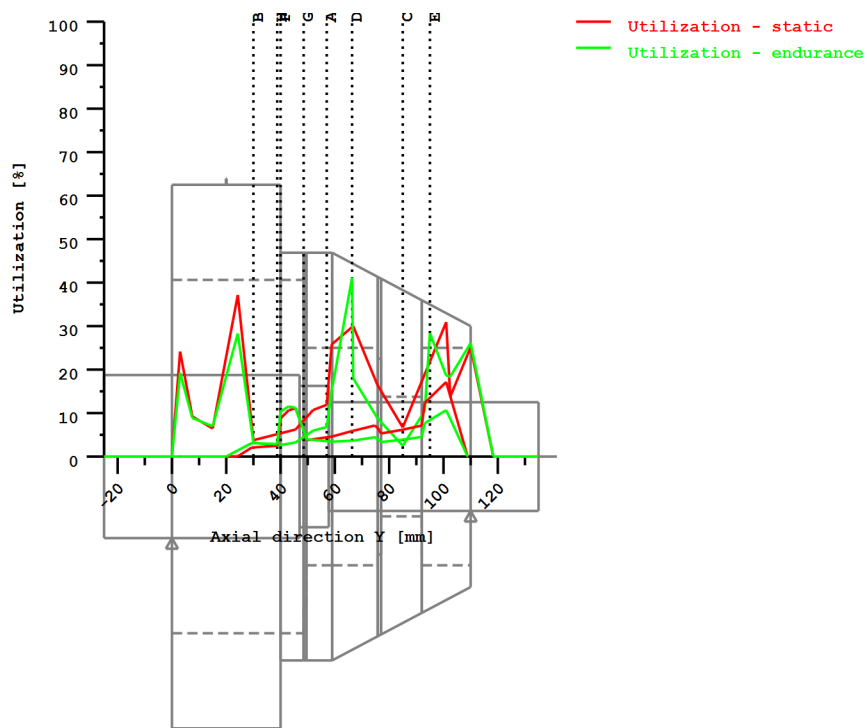
Material treatment unalloyed, through hardened
 Surface treatment No

Calculation of service strength and static strength
 S-N curve (Woehler line) according Miner elementary

Calculation for load case 2 ($\sigma_{av}/\sigma_{mv} = \text{const}$)

Results:

Cross section	Kfb	Kfσ	K2d	SZ	SS
F-F	2.65	0.92	0.80	16.57	14.10
G-G	2.05	1.00	0.80	27.88	21.63
H-H	2.05	1.00	0.80	59.75	50.24
Required safeties:				1.20	1.20



Utilization = $S_{min}/S (\%)$

Figure: Strength

Calculation details

General statements

Material C45 (1)
 Material type Through hardened steel
 Material treatment unalloyed, through hardened
 Surface treatment No

Reference diameter material (mm)	[dB]	16.00
σ_B according to DIN 743 (at dB) (N/mm ²)	[\mathbf{\sigma}_B]	700.00
σ_S according to DIN 743 (at dB) (N/mm ²)	[\mathbf{\sigma}_S]	490.00
[σ_{zdW}] (bei dB) (N/mm ²)		280.00
[σ_{bW}] (bei dB) (N/mm ²)		350.00
[τ_{tW}] (bei dB) (N/mm ²)		210.00
Thickness of raw material (mm)	[dWerkst]	210.00
[σ_{BRand}] (N/mm ²)		628.00

Service strength for a load spectrum

S-N curve (Woehler lines) according to Miner elementary according to FKM guideline

Required life time	[H]	20000.00
Number of load cycles (Mio)	[NL]	60.000

Data of S-N curve (Woehler line) analog to FKM standard:

[k σ , k τ]	5	8
[kD σ , kD τ]	0	0
[ND σ , ND τ]	1e+006	1e+006
[ND σ II, ND τ II]	0	0

Calculation for load case 2 ($\sigma_{av}/\sigma_{mv} = \text{const}$)

Cross section 'F-F' Shoulder

Comment	Y= 40.00mm		
Position (Y-Coordinate) (mm)	[y]		
External diameter (mm)	[da]		
Inner diameter (mm)	[di]		
Notch effect		Shoulder	
[D, r, t] (mm)	200.000	2.000	25.000
Mean roughness (μm)		[Rz]	8.000

Load spectrum, load base values (Mean-value + Amplitude):

No.	Frequency (%)	Tens./Compres. (N)	Bending (Nm)	Torsion (Nm)	Shearing (N)
1	4.0000e+001	-77708.592	491.788	0.000	19637.344
2	4.0000e+001	0.000	335.599	0.000	12540.972
3	2.0000e+001	-41114.688	162.817	0.000	6526.355

Stresses: (N/mm²)

[σ_{zdm} , σ_{bm} , τ_m , τ_{qm}] (N/mm ²)	-17.668	0.000	0.000	0.000
[σ_{zda} , σ_{ba} , τ_a , τ_{qa}] (N/mm ²)	0.000	3.406	0.000	8.899
[σ_{zdm} , σ_{bm} , τ_m , τ_{qm}] (N/mm ²)	-30.036	5.789	0.000	15.129

Tension/Compression Bending Torsion

Surface stabilization factor	[KV]	1.000	1.000	1.000
Total influence coefficient	[K]	3.101	3.403	2.376

Present safety for endurance limit:

Fatigue limit of part (N/mm ²)	[σWK]	64.045	72.946	62.688
Permissible amplitude (N/mm ²)	[σADK]	-0.053	56.445	62.688
Permissible amplitude (N/mm ²)	[σANK]	-0.053	56.445	62.688
Effective Miner sum	[DM]	1.000	1.000	0.300
Load spectrum factor	[fKoll]	1.000	1.000	1.000
Safety against fatigue	[S]		16.574	
Required safety against fatigue	[Smin]		1.200	
Result (%)	[S/Smin]		1381.2	

Present safety

for proof against exceed of yield point:

Yield stress of part (N/mm ²)	[σFK]	349.283	384.212	175.356
Safety yield stress	[S]		14.099	
Required safety	[Smin]		1.200	
Result (%)	[S/Smin]		1175.0	

Cross section 'G-G' Interference fit

Comment

Position (Y-Coordinate) (mm)	[y]	48.500
External diameter (mm)	[da]	150.000
Inner diameter (mm)	[di]	110.000
Notch effect		Interference fit
Characteristics:	Firm interference fit	
Mean roughness (μm)	[Rz]	8.000

Load spectrum, load base values (Mean-value + Amplitude):

No.	Frequency (%)	Tens./Compres. (N)	Bending (Nm)	Torsion (Nm)	Shearing (N)
1	4.0000e+001	-77708.592	324.858	0.000	19640.216
2	4.0000e+001	0.000	228.988	0.000	12543.843
3	2.0000e+001	-41114.688	107.331	0.000	6529.226

Stresses: (N/mm²)

$[\sigma_{zdm}, \sigma_{bm}, \tau_m, \tau_{qm}]$ (N/mm 2)	-9.514	0.000	0.000	0.000
$[\sigma_{zda}, \sigma_{ba}, \tau_a, \tau_{qa}]$ (N/mm 2)	0.000	1.379	0.000	4.735
$[\sigma_{zdmax}, \sigma_{bmax}, \tau_{max}, \tau_{qmax}]$ (N/mm 2)	-16.173	2.345	0.000	8.049

Tension/Compression Bending Torsion

Notch effect coefficient [dB] (mm) = 40.0	$[\beta(dB)]$	1.993	1.993	1.297
Surface stabilization factor	$[KV]$	1.000	1.000	1.000
Total influence coefficient	$[K]$	2.049	2.561	1.637

Present safety for endurance limit:

Fatigue limit of part (N/mm ²)	[σWK]	96.924	96.924	90.983
Permissible amplitude (N/mm ²)	[σADK]	-0.094	38.460	90.983
Permissible amplitude (N/mm ²)	[σANK]	-0.094	38.460	90.983
Effective Miner sum	[DM]	1.000	1.000	0.300
Load spectrum factor	[fKoll]	1.000	1.000	1.000
Safety against fatigue	[S]		27.883	

Required safety against fatigue	[Smin]	1.200
Result (%)	[S/Smin]	2323.6

Present safety

for proof against exceed of yield point:

Yield stress of part (N/mm ²)	[σFK]	303.725	334.097	175.356
Safety yield stress	[S]		21.631	
Required safety	[Smin]		1.200	
Result (%)	[S/Smin]		1802.6	

Cross section 'H-H' Interference fit

Comment

Position (Y-Coordinate) (mm)	[y]	38.758
External diameter (mm)	[da]	200.000
Inner diameter (mm)	[di]	130.000
Notch effect		Interference fit
Characteristics:	Firm interference fit	
Mean roughness (μm)	[Rz]	8.000

Load spectrum, load base values (Mean-value + Amplitude):

No.	Frequency (%)	Tens./Compres. (N)	Bending (Nm)	Torsion (Nm)	Shearing (N)
1	4.0000e+001	-77708.592	516.185	0.000	19635.613
2	4.0000e+001	0.000	351.179	0.000	12539.241
3	2.0000e+001	-41114.688	170.924	0.000	6524.624

Stresses: (N/mm²)

[σzdm, σbm, τm, τqm] (N/mm ²)	-4.283	0.000	0.000	0.000
[σzda, σba, τa, τqa] (N/mm ²)	0.000	0.800	0.000	2.102
[σzdmmax, σbmax, τmax, τqmax] (N/mm ²)	-7.281	1.360	0.000	3.574

Tension/Compression Bending Torsion

Notch effect coefficient	[β(dB)]	1.993	1.993	1.297
[dB] (mm) = 40.0				
Surface stabilization factor	[KV]	1.000	1.000	1.000
Total influence coefficient	[K]	2.049	2.561	1.637

Present safety for endurance limit:

Fatigue limit of part (N/mm ²)	[σWK]	96.924	96.924	90.983
Permissible amplitude (N/mm ²)	[σADK]	-0.210	47.803	90.983
Permissible amplitude (N/mm ²)	[σANK]	-0.210	47.803	90.983
Effective Miner sum	[DM]	1.000	1.000	0.300
Load spectrum factor	[fKoll]	1.000	1.000	1.000
Safety against fatigue	[S]		59.750	
Required safety against fatigue	[Smin]		1.200	
Result (%)	[S/Smin]		4979.2	

Present safety

for proof against exceed of yield point:

Yield stress of part (N/mm ²)	[σFK]	303.725	334.097	175.356
---	-------	---------	---------	---------

Safety yield stress	[S]	50.244
Required safety	[Smin]	1.200
Result (%)	[S/Smin]	4187.0

End of Report

lines: 934

PŘÍLOHA Č. 5

Kontrola šroubů upnutí válečkovací hlavy

Team-SolidSQUAD

File

Name : srouby_hlava
 Changed by: Martin Beber on: 21.07.2020 at: 13:09:13

Bolt calculation according to VDI 2230:2015

INPUTS:

Configuration: Flange connection with torque and forces (multiple bolts)

Calculation using assembly temperature

Assembly temperature (°C)	[TM]	20.00
Thread standard		Standard thread
Label		M16
Pitch (mm)	[P]	2.00
Flank angle (°)	[β]	60.00
Reference diameter (mm)	[d]	16.00
Minor diameter inner thread (mm)	[D1]	13.83
Flank diameter inner thread (mm)	[D2]	14.70
Thread manufacturing		Final heat treated
Surface roughness (μm)	[Rz]	16.00
Axial force at flange (N)	[FaU/FaO]	-120000.00 / 0.00
Shearing force at flange (N)	[Fq]	0.00
Torque at flange (Nm)	[Mt]	0.00
Bending moment at flange (Nm)	[Mb]	15000.00
Required clamping force for sealing (N)	[Fd]	0.00
Coefficient of friction between parts	[μ]	0.150
Bolt pitch diameter at flange (mm)	[dt]	254.00
Number of screws	[n]	8
Shearing force at single screw (N)	[Q]	0.00
Axial force at single screw (N)	[FAU/FAO]	-44527.56 / 29527.56
Required clamping force:		
For shearing force transmission (N)	[FKQ]	0.00
For sealing (N)	[FKP]	0.00

Tightening technique: Torque wrench (by estimating the coefficient of friction)

Tightening factor	[αA]	1.60
-------------------	------	------

Load application factor	[n]	0.70
-------------------------	-----	------

Bolting type: SV 1

Length of connected solid (mm)	[lA]	0.00
Distance of connected solid (mm)	[ak]	0.00

Coef. of friction in thread [μG] 0.100/ 0.100

Coef. of friction at head support [μK] 0.100/ 0.100

Bolt type: Hexagon head screw without shank (A B) DIN EN ISO 4017:2001

Reference diameter (mm)	[d]	16.00
Bolt length (mm)	[l]	50.00
Shank diameter (mm)	[d1]	16.00
Shank length (mm)	[l1]	6.00
Thread length (mm)	[b]	44.00

Outer diameter of head support (mm)	[dw]	22.49
Inner diameter of head support (mm)	[da]	17.70
Surface roughness (head bearing area) (μm)	[Rz]	16.00
Stressed cross section of screw (mm^2)	[As]	156.67
Free thread length (mm)	[l3]	27.00
Reduction coefficient	[kr]	0.50
Strength class		10.9
Tensile strength (N/mm^2)	[Rm]	1040.00
Yield point (N/mm^2)	[Rp0.2]	940.00
Clamped parts:	Segment of annulus	
External radius annulus (mm)	[ra]	150.00
Screw radius annulus (mm)	[rs]	127.00
Internal radius annulus (mm)	[ri]	56.00
Bolt spacing (mm)	[t]	99.75
Number of parts	[IP]	2
Part	A	
Material	C45 (1)	
Depth of Layer (mm)	[hi]	15.00
Permissible surface pressure (N/mm^2)	[pG]	770.00
Surface roughness (μm)	[Rz]	16.00
Part	B	
Material	C45 (1)	
Depth of Layer (mm)	[hi]	15.00
Permissible surface pressure (N/mm^2)	[pG]	770.00
Surface roughness (μm)	[Rz]	16.00
Thread with pocket hole		
Clamping length (mm)	[lk]	30.00
Effective Clamping length (mm) (including washers and counter bore depth or extension sleeves)	[lkeff]	33.00
Through hole standard		ISO 273:1979 (DIN 273) fine
Diameter through hole (mm)	[dh]	17.00
Chamfer at head (mm)	[cK]	0.00
Washer bellow screw head:		
Standard		DIN EN ISO 7089:2000
External diameter (mm)	[d2]	29.48
Inner diameter (mm)	[d1]	17.27
Thickness (mm)	[h]	3.00
Surface roughness (μm)	[Rz]	16.00
Permissible surface pressure (N/mm^2)	[pG]	1250.00
Blind hole		
Material	C45 (1)	
Counter bore depth (mm)	[ts]	0.00
Surface roughness (μm)	[Rz]	16.00

RESULTS:

Virtual outer diameter of base body:

Diameter (mm)	[DA']	138.25
Diameter (mm)	[DA]	138.25
Ductility of flange (mm/N)	[δP]	1.901541e-007
Addition for plate resilience (mm/N)	[δPzu]	1.274785e-007
Ductility of screw (mm/N)	[δS]	1.651776e-006
Load factor for centric load introduction	[Φn]	0.1207
Preload loss (N)	[Fz]	8143.63
required assembly preload:		
-minimum (N)	[FMmin]	34106.86
-maximum (N)	[FMmax]	54570.98
Pretension force according table (N)	[FMTab]	122000.00
Screw force at yield point (N)	[FM0.2]	147000.00
attained assembly preload:		
-maximum (N)	[FM]	121789.50
(utilization of yield strength (%)	[%Re]	90.00)
Pretension force (N)	[FV]	113645.87
Additional bolt load (N)	[FSA]	3564.33
Additional plate load (N)	[FPA]	25963.23
Fatigue load (N/mm ²)	[σa]	28.53
Fatigue life (N/mm ²)	[σAzul]	46.22
Number of load cycles	[NZ]	>= 2000000

Length of engagement, stripping force

Calculate the required nut height as specified in VDI 2230 (2015)<VF> (also applies to the required length of engagement for a blind hole)

Length of engagement (mm)	[m]	38.00
Effective length of engagement (mm)	[meff]	34.00
Coefficient C1	[C1]	1.000
Coefficient C2	[C2]	0.897
Coefficient C3	[C3]	0.903
Bolt minimum flank diameter (mm)	[d2min]	15.026
Internal thread maximum core diameter (mm)	[D1max]	14.376
Bolt shear surface (mm ²)	[ASGS]	1108.36
Tensile strength of bolt (N/mm ²)	[Rm]	1040.00
Bolt tensile strength coefficient (N/mm ²)	[Rmmax/Rm]	1.20
Maximum tensile strength, bolt (N/mm ²)	[Rmmax]	1248.00
Bolt shearing strength	[tBS/Rm]	0.62
Shearing strength Screw (N/mm ²)	[tBS]	644.80
Minor diameter inner thread (mm)	[D1]	13.835
Flank diameter inner thread (mm)	[D2]	14.701
Minimum external diameter, bolt (mm)	[dmin]	16.000
Maximum flank diameter, inner thread (mm)	[D2max]	15.026
Internal thread shear surface (mm ²)	[ASGM]	1495.45
Internal thread shearing strength (N/mm ²)	[tBM]	460.00
Strength ratio	[RS]	0.96
Stripping force, bolt thread (N)	[FmGS]	641275.00
Stripping force, internal thread (N)	[FmGM]	621442.16
Bolt breaking force (N)	[FmS]	162935.10
Safety against stripping force to breaking force	[SAE]	3.81
Minimum length of engagement Rm (mm)	[meffmin]	13.00
Minimum length of engagement Rmmax (mm)	[meffmax]	16.00

The internal thread is critical to prevent stripping.

(Mounting pretension force (N)	[FM]	121789.50)
Required safety against pretension force	[SFM]	5.10

Calculation with maximum attained pretension force:

(utilization of yield strength (%)	[%Re]	90.00)
Mounting-Pretension force (N)	[FM]	121789.50
Pretension force (N)	[FV]	113645.87
Equivalent stress (N/mm ²)	[σred.M]	846.00
Equivalent stress (N/mm ²)	[σred.B]	830.49
Tightening torque (Nm)	[MA]	265.22
Surface pressure		
(below screw head) (N/mm ²)	[pK]	829.08
(below washer) (N/mm ²)	[p]	357.47

Calculation with the maximum required assembly preload with tightening factor: 1.60

Mounting-Pretension force (N)	[FMmax]	54570.98
Additional clamping force (reserve) (N)	[FKres]	42011.57
Equivalent stress (N/mm ²)	[σred.M_FMmax]	379.07
Equivalent stress (N/mm ²)	[σred.B_FMmax]	384.23
Tightening torque (Nm)	[MA_FMmax]	118.84
Surface pressure		
(below screw head) (N/mm ²)	[pK_FMmax]	384.50
(below washer) (N/mm ²)	[p]	165.78
Permissible equivalent stress (N/mm ²)	[σ.Mzul]	846.00
Permissible equivalent stress (N/mm ²)	[σ.Bzul]	940.00
Permissible surface pressure		
(below screw head) (N/mm ²)	[pKzul]	1250
(below washer) (N/mm ²)	[pzul]	770.00
Shearing strength Screw (N/mm ²)	[τBS]	644.80

SUMMARY:

The yield point must not be exceeded.

Calculation with the maximum required assembly preload with tightening factor: 1.60

Safety against yield point	[SF]	2.45
Safety against fatigue	[SD]	1.62
Safety against pressure	[SP]	3.25

Calculation with maximum attained pretension force:

Safety against yield point	[SF]	1.13
Safety against fatigue	[SD]	1.62
Safety against pressure	[SP]	1.51

Remarks:

- The safeties (SF, SD, SP) are calculated according to VDI2230.
- Calculating safeties with the maximal assembly preload (FMmax).
- Safety against sliding [SG = FKR/FKerf] is calculated with:
FKR: with FM/αA, FKerf = FKQ + FKP
- Safety against shearing SA = τBS*As/Q >= 1.1;
- The calculation of the normal values for 90% usage (Preload and tightening torque) follows the corresponding equation according VDI 2230.
- These values correspond with the values in the tables in the VDI Standard. Small differences may however occur..
- The calculation of the length of engagement is theoretical (in accordance with VDI 2230) and must be checked in real life conditions.
- Note: The minimum length of engagement meffmax is calculated with Rmmax, dmin and D2max or d2min and D1max

and is intended to represent the worst case scenario..

- Surface pressure under washers: Maximum external diameter for calculating the support area is $dw + 1.6*hs$ (VDI 2230: 2015, Formula 194).
- Total required clamp load according to (R2/4): $FKerf \geq Max(FKA + FKP, FKQ)$

End of Report

lines: 228

PŘÍLOHA č. 6

Výpočet vedení pinoly

Kluzne vedeni kruhoveho tvaru

1 Rozmery vedeni a konstrukce

$$L := 370 \cdot \text{mm} \quad \dots \text{delka vedeni}$$

$$D := 320 \cdot \text{mm} \quad \dots \text{prumer vedeni}$$

$$a_1 := 305 \cdot \text{mm} \quad \dots \text{min. vylozeni sily F}_1 \text{ od okraje vedeni}$$

$$a_2 := 35 \text{ mm}$$

$$\Delta y := 550 \cdot \text{mm} \quad \dots \text{vysuv pinoly}$$

$$f_v := 0.15 \quad \dots \text{treni ve vedeni}$$

2 Sily působici na vedeni

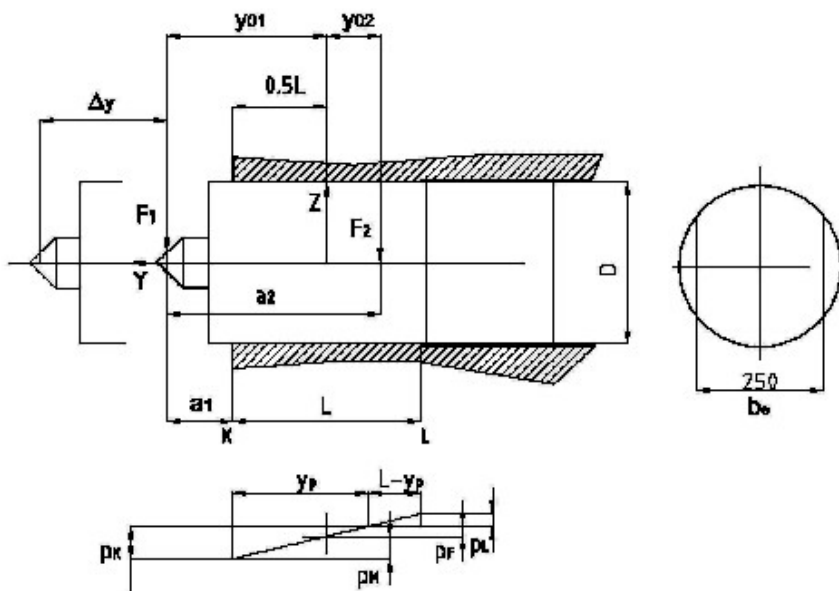
$$F_r := 120 \text{ kN} \quad \text{Radiální síla na váleček}$$

$$F_a := 0.4 \cdot F_r = 48 \text{ kN} \quad \text{Axiální síla na váleček}$$

3 Dov.merny tlak: 10 MPa

Stanovit:

- Polohu sil vzhledem k počátku souřadnic
- Silu a moment v počátku souřadnic
- Efektivní sírku vedení a merne tlaky
- Zatízení vodicích ploch radiaální a třetí síly



$$y_{01} := a_1 + \frac{L}{2} = 490 \text{ mm} \quad \dots \text{vyložení od počátku souřadnic}$$

$$y_1 := y_{01} + \Delta y = (1.04 \cdot 10^3) \text{ mm} \quad \dots \text{vyložení síly F1}$$

$$b_e := \frac{\pi}{4} \cdot D = 251.327 \text{ mm} \quad \dots \text{efektivní šířka vedení}$$

$$F := F_a = 48 \text{ kN} \quad \dots \text{celková síla v počátku souřadnic}$$

$$M := F_a \cdot y_1 + F_r \cdot a_2 = 54.12 \text{ kN} \cdot m \quad \dots \text{moment kolem osy Z}$$

$$p_F := \frac{F_a}{L \cdot b_e} = 0.516 \text{ MPa} \quad \dots \text{měrný tlak od síly}$$

$$p_M := \frac{6 \cdot M}{L^2 \cdot b_e} = 9.438 \text{ MPa} \quad \dots \text{měrný tlak od momentu}$$

(pro odvození):

$$F_N := \frac{1}{2} \cdot p_M \cdot b_e \cdot \frac{L}{2} = 219.405 \text{ kN}$$

$$M := \frac{2}{3} \cdot L \cdot F_N = (5.412 \cdot 10^4) \text{ N} \cdot m$$

$$p_K := p_F + p_M = 9.954 \text{ MPa} \quad \dots \text{měrný tlak v místě K}$$

$$p_L := p_F - p_M = -8.922 \text{ MPa} \quad \dots \text{měrný tlak v místě L}$$

$$y_p := L \cdot \frac{|p_K|}{|p_K| + |p_L|} = 195.118 \text{ mm}$$

Reakce vedení pro podmínuku $b_1 := b_e$ $b_2 := b_e$

$$F_K := \frac{1}{2} \cdot p_K \cdot b_2 \cdot y_p = 244.062 \text{ kN}$$

$$F_L := \frac{1}{2} \cdot p_L \cdot b_1 \cdot (L - y_p) = -196.062 \text{ kN}$$

$$F_T := (|F_K| + |F_L|) \cdot f_v = 66.019 \text{ kN} \quad \dots \text{třecí odpor ve vedení}$$

nebo:

$$F_T := \begin{cases} \text{if } \operatorname{sign}(p_K) = \operatorname{sign}(p_L) \\ \qquad \qquad \qquad \left\| \begin{array}{l} F \cdot f_v \\ \hline \end{array} \right\| = 66.019 \text{ kN} & \operatorname{sign}(p_K) = 1 \\ \text{else} \\ \qquad \qquad \qquad \left\| \begin{array}{l} (|F_K| + |F_L|) \cdot f_v \\ \hline \end{array} \right\| & \operatorname{sign}(p_L) = -1 \end{cases}$$

PŘÍLOHA Č. 7

Kontrola šroubů příruby hydromotoru

Team-SolidSQUAD

File

Name : srouby_viko_hydromotoru
 Changed by: Martin Beber on: 23.07.2020 at: 14:00:01

Bolt calculation according to VDI 2230:2015

INPUTS:

Configuration: Flange connection with torque and forces (multiple bolts)

Calculation using assembly temperature

Assembly temperature (°C)	[TM]	20.00
Thread standard		Standard thread
Label		M8
Pitch (mm)	[P]	1.25
Flank angle (°)	[β]	60.00
Reference diameter (mm)	[d]	8.00
Minor diameter inner thread (mm)	[D1]	6.65
Flank diameter inner thread (mm)	[D2]	7.19
Thread manufacturing		Final heat treated
Surface roughness (μm)	[Rz]	16.00
Axial force at flange (N)	[FaU/FaO]	0.00 / 120000.00
Shearing force at flange (N)	[Fq]	0.00
Torque at flange (Nm)	[Mt]	0.00
Bending moment at flange (Nm)	[Mb]	0.00
Required clamping force for sealing (N)	[Fd]	0.00
Coefficient of friction between parts	[μ]	0.100
Bolt pitch diameter at flange (mm)	[dt]	350.00
Number of screws	[n]	14
Shearing force at single screw (N)	[Q]	0.00
Axial force at single screw (N)	[FAU/FAO]	0.00 / 8571.43
Required clamping force:		
For shearing force transmission (N)	[FKQ]	0.00
For sealing (N)	[FKP]	0.00

Tightening technique: Torque wrench (by estimating the coefficient of friction)

Tightening factor	[αA]	1.60
-------------------	------	------

Load application factor	[n]	0.70
-------------------------	-----	------

Bolting type: SV 1

Length of connected solid (mm)	[lA]	0.00
--------------------------------	------	------

Distance of connected solid (mm)	[ak]	0.00
----------------------------------	------	------

Coef. of friction in thread [μG] 0.100/ 0.100

Coef. of friction at head support [μK] 0.100/ 0.100

Bolt type: Hexagon head screw without shank (A B) DIN EN ISO 4017:2001

Reference diameter (mm)	[d]	8.00
-------------------------	-----	------

Bolt length (mm)	[l]	25.00
------------------	-----	-------

Shank diameter (mm)	[d1]	8.00
---------------------	------	------

Shank length (mm)	[l1]	3.75
-------------------	------	------

Thread length (mm)	[b]	21.25
--------------------	-----	-------

Outer diameter of head support (mm)	[dw]	11.63
Inner diameter of head support (mm)	[da]	9.20
Surface roughness (head bearing area) (μm)	[Rz]	16.00

Stressed cross section of screw (mm^2)	[As]	36.61
Free thread length (mm)	[l3]	12.85
Reduction coefficient	[kr]	0.50

Strength class		8.8
Tensile strength (N/mm^2)	[Rm]	800.00
Yield point (N/mm^2)	[Rp0.2]	640.00

Clamped parts:	Segment of annulus	
External radius annulus (mm)	[ra]	190.00
Screw radius annulus (mm)	[rs]	175.00
Internal radius annulus (mm)	[ri]	160.00
Bolt spacing (mm)	[t]	109.96
Number of parts	[IP]	1

Part	A	
Material	C45 (1)	
Depth of Layer (mm)	[hi]	15.00
Permissible surface pressure (N/mm^2)	[pG]	770.00
Surface roughness (μm)	[Rz]	16.00

Thread with pocket hole		
Clamping length (mm)	[lk]	15.00
Effective Clamping length (mm)	[lkeff]	16.60
(including washers and counter bore depth or extension sleeves)		

Through hole standard	ISO 273:1979 (DIN 273) fine	
Diameter through hole (mm)	[dh]	8.40
Chamfer at head (mm)	[cK]	0.00

Washer bellow screw head:		
Standard	DIN EN ISO 7089:2000	
External diameter (mm)	[d2]	15.57
Inner diameter (mm)	[d1]	8.62
Thickness (mm)	[h]	1.60
Surface roughness (μm)	[Rz]	16.00
Permissible surface pressure (N/mm^2)	[pG]	1250.00

Blind hole		
Material	C45 (1)	
Counter bore depth (mm)	[ts]	0.00
Surface roughness (μm)	[Rz]	16.00

RESULTS:

Virtual outer diameter of base body:		
Diameter (mm)	[DA']	120.76
Diameter (mm)	[DA]	120.76
Ductility of flange (mm/N)	[δP]	3.159749e-007
Addition for plate resilience (mm/N)	[δPzu]	2.549569e-007

Ductility of screw (mm/N)	[δS]	3.509880e-006
Load factor for centric load introduction	[Φn]	0.1045
Preload loss (N)	[Fz]	3267.24
required assembly preload:		
-minimum (N)	[FMmin]	10943.29
-maximum (N)	[FMmax]	17509.27
Pretension force according table (N)	[Ftab]	19100.00
Screw force at yield point (N)	[FM0.2]	23400.00
attained assembly preload:		
-maximum (N)	[FM]	19103.82
(utilization of yield strength (%))	[%Re]	90.00)
Pretension force (N)	[FV]	15836.58
Additional bolt load (N)	[FSA]	895.38
Additional plate load (N)	[FPA]	7676.05
Fatigue load (N/mm ²)	[σa]	12.23
Fatigue life (N/mm ²)	[σAzul]	54.19
Number of load cycles	[NZ]	>= 2000000

Calculation with maximum attained pretension force:

(utilization of yield strength (%))	[%Re]	90.00)
Mounting-Pretension force (N)	[FM]	19103.82
Pretension force (N)	[FV]	15836.58
Equivalent stress (N/mm ²)	[σred.M]	576.00
Equivalent stress (N/mm ²)	[σred.B]	569.97
Tightening torque (Nm)	[MA]	21.75
Surface pressure		
(below screw head) (N/mm ²)	[pK]	503.07
(below washer) (N/mm ²)	[p]	200.42

Calculation with the maximum required assembly preload with tightening factor: 1.60

Mounting-Pretension force (N)	[FMmax]	17509.27
Additional clamping force (reserve) (N)	[FKres]	996.60
Equivalent stress (N/mm ²)	[σred.M_FMmax]	527.92
Equivalent stress (N/mm ²)	[σred.B_FMmax]	524.35
Tightening torque (Nm)	[MA_FMmax]	19.94
Surface pressure		
(below screw head) (N/mm ²)	[pK_FMmax]	462.96
(below washer) (N/mm ²)	[p]	184.44
Permissible equivalent stress (N/mm ²)	[σ.Mzul]	576.00
Permissible equivalent stress (N/mm ²)	[σ.Bzul]	640.00
Permissible surface pressure		
(below screw head) (N/mm ²)	[pKzul]	1250
(below washer) (N/mm ²)	[pzul]	770.00
Shearing strength Screw (N/mm ²)	[tBS]	520.00

SUMMARY:

The yield point must not be exceeded.

Calculation with the maximum required assembly preload with tightening factor: 1.60

Safety against yield point	[SF]	1.22
Safety against fatigue	[SD]	4.43
Safety against pressure	[SP]	2.70

Calculation with maximum attained pretension force:

Safety against yield point	[SF]	1.12
Safety against fatigue	[SD]	4.43
Safety against pressure	[SP]	2.48

Remarks:

- The safeties (SF, SD, SP) are calculated according to VDI2230.
- Calculating safeties with the maximal assembly preload (FMmax).
- Safety against sliding [SG = FKR/FKerf] is calculated with:
FKR: with FM/αA, FKerf = FKQ + FKP
- Safety against shearing SA = τBS*As/Q >= 1.1;
- The calculation of the normal values for 90% usage (Preload and tightening torque) follows the corresponding equation according VDI 2230.
These values correspond with the values in the tables in the VDI Standard. Small differences may however occur..
- Surface pressure under washers: Maximum external diameter for calculating the support area is dw + 1.6*hs (VDI 2230: 2015, Formula 194).
- Total required clamp load according to (R2/4): FKerf >= Max(FKA + FKP, FKQ)

End of Report

lines: 187

PŘÍLOHA Č. 8

Návrh hydraulického obvodu pro řízení přítlaku

2. Zadané parametry

Výsuvná síla válce:

$$F_1 := 120 \text{ kN}$$

Tlak ve válci:

$$p_v := 10 \text{ MPa}$$

Počet válců:

$$n_v := 2$$

Tlak na pojišťovacím ventilu:

$$p_p := 11 \text{ MPa}$$

Účinnost čerpadla:

$$\eta_c := 92\%$$

Účinnost elektromotoru:

$$\eta_m := 98\%$$

Pracovní kapalina:

Hydraulický olej HLPV 646

Viskozita pracovní kapaliny:

$$\nu := 46 \frac{\text{mm}^2}{\text{s}}$$

Délka výtláčného potrubí od čerpadla k hydromotoru:

$$L_v := 3 \text{ m}$$

Měr. hmotnost oleje:

$$\rho_o := 890 \frac{\text{kg}}{\text{m}^3}$$

Maximální zdvih hydromotoru:

$$L := 550 \text{ mm}$$

Rychlosť posuvu pístu:

$$v := 10 \frac{\text{mm}}{\text{s}}$$

Otačky motoru:

$$n := 1450 \text{ rpm}$$

Požaduje se určit:

- Rozměry hydromotoru
- Velikost a typ čerpadla
- Výkon elektromotoru
- Velikost nádrže
- Světllost výtláčného potrubí a tlakové ztráty ve výtláčné větvi potrubí
- Světlosti sacího a odpadního potrubí
- Typ rozvaděče a dalších komponentů

3. Návrh hydromotoru

Průměr pístu:

$$S_1 := \frac{F_1}{p_v} = 12000 \text{ mm}^2$$

$$d_1 := \sqrt[2]{4 \cdot \frac{S_1}{\pi}} = 123.608 \text{ mm}$$

volím:

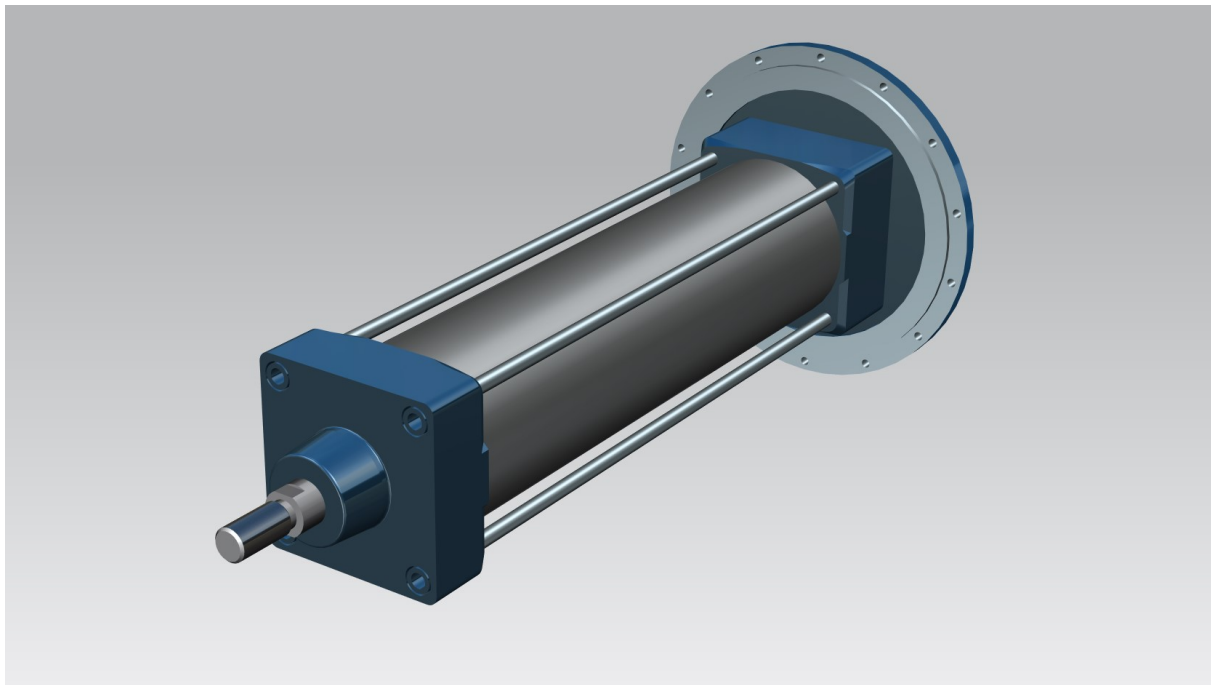
$$d_1 := 125 \text{ mm}$$

$$S_1 := \frac{\pi \cdot d_1^2}{4} = 12271.846 \text{ mm}^2$$

Skutečná výsuvná síla:

$$F_1 := S_1 \cdot p_v = 122.718 \text{ kN}$$

Volím hydromotor podle ISO 10762 100 H-2, s maximálním pracovním tlakem 10 MPa a zdvihem 550 mm.



obrázek č. 2: Hydromotor

2. Návrh čerpadla

Objemový průtok čerpadla (pro vysunutí válců):

$$Q_c := S_1 \cdot v \cdot n_v = 14.726 \frac{l}{min}$$

Výpočtový objem čerpadla:

$$V_g := \frac{Q_c}{n \cdot \eta_c} = 11.039 \frac{cm^3}{rev}$$

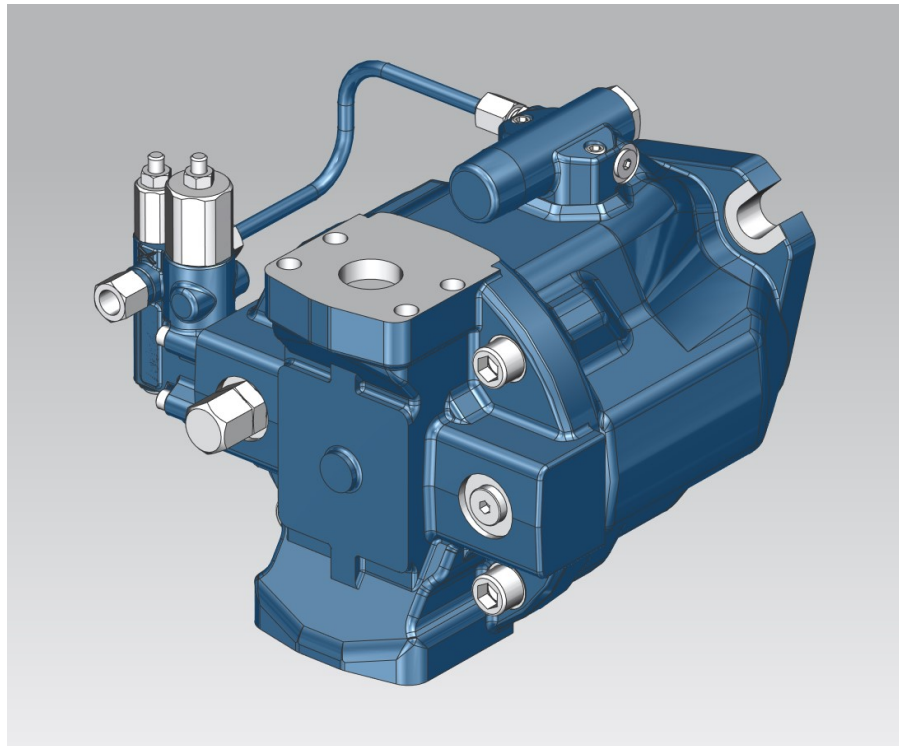
Volím axiální pístové čerpadlo Bosch Rexroth A10VZO18EZ400/10RVSC

$$V_{gmax} := 18 \frac{cm^3}{rev} \quad n_{max} := 3300 \quad Q_{max} := 59 \frac{l}{min}$$

Technical data A10VZO size 3 to 45

Size	NG		3	6	8	10	18	28	45
Displacement, geometric, per revolution	V_{gmax}	cm ³	3.5	6	8	10.5	18	28	45
<hr/>									
Rotational speed at V_{gmax} maximum ¹⁾	n_{nom}	rpm	3600	3600	3600	3600	3300	3000	3000
Suction speed operation as a pump ¹⁾	n_{nom}	rpm	3600	3600	3600	3600	3300	3000	3000
Max. speed decompression operation ²⁾	n_{nom}	rpm	3600	3600	3600	3600	3300	3000	3000
Flow at n_{nom} and V_{gmax}	q_V	l/min	12.6	21.6	28.8	38	59	84	135
Power and $\Delta p = 250$ bar	P	kW	5	10	15	16	—	—	—
Power and $\Delta p = 315$ bar	P	kW	—	—	—	—	34	39	44
Operation as a pump at n_{nom} , V_{gmax}									
Torque at V_{gmax} and $\Delta p = 250$ bar	T	Nm	14	24	32	42	—	—	—
at V_{gmax} and $\Delta p = 315$ bar	T	Nm	—	—	—	—	90	140	225
at V_{gmax} and $\Delta p = 100$ bar	T	Nm	6	9	13	17	29	45	72
Torque at V_{gmax} and $\Delta p = 250$ bar	T	Nm	14	24	32	42	—	—	—
Rotary stiffness of drive shaft S	c	Nm/rad	8100	8100	8100	8100	—	—	—
R	c	Nm/rad	—	—	—	—	14800	26300	41000
Moment of inertia for rotary group	J_{TW}	kgm ²	0.0006	0.0006	0.0006	0.0006	0.00093	0.0017	0.0033
Maximum angular acceleration ²⁾⁽³⁾	a	rad/s ²	14000	14000	14000	14000	12600	11200	9500
Case volume	V	l	0.2	0.2	0.2	0.2	0.25	0.3	1.0
Weight without through drive (14N00, 12N00 approx.)	m	kg	8	8	8	8	12	15	27
Weight without through drive (22U00 approx.)	m	kg	—	—	—	—	—	—	—
Weight with through drive (07K., 12K..approx.)	m	kg	10.5	10.5	10.5	10.5	14	18	28
Weight with through drive (22U..approx.)	m	kg	—	—	—	—	—	—	—

obrázek č. 5: Výběr čerpadla



obrázek č. 4: Čerpadlo

4. Návrh elektromotoru

Příkon elektromotoru:

$$P := Q_{\dot{c}} \cdot p_p \cdot \frac{1}{\eta_{\dot{c}}} = 2.935 \text{ kW}$$

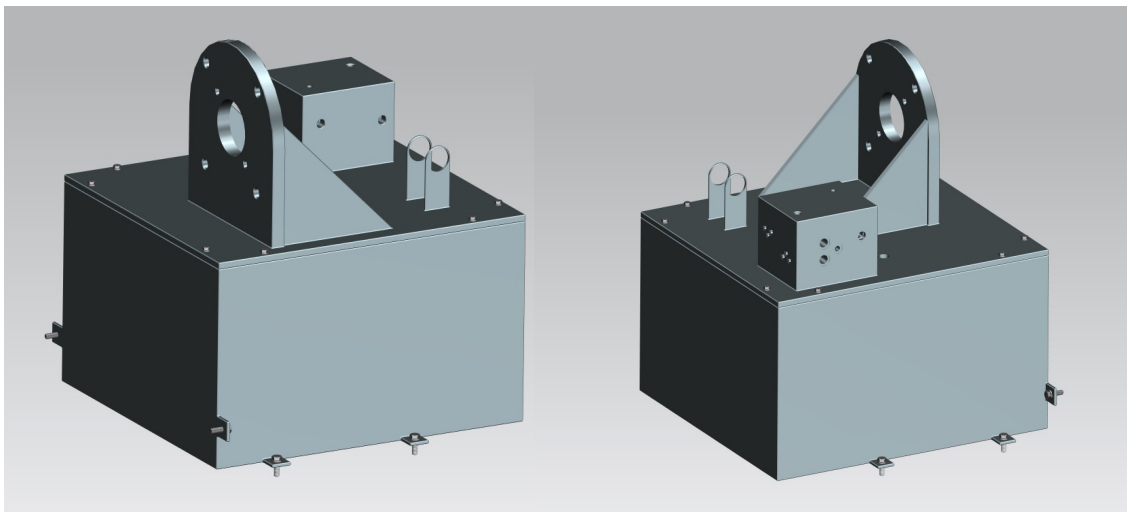
Volím Elektromotor 5.5 kW
1AL132S-4, 1480 ot./min.

5. Návrh nádrže

Objem nádrže se volí (3-5) x objemový průtok čerpadla.

$$V_n := 4 \cdot Q_{\dot{c}} = 58.905 \frac{\text{l}}{\text{min}} \quad \text{volím:} \quad V_n := 50 \text{ l}$$

Na nádrži jsou přivařené patky pro uchycení v saních zařízení sadou 6ti šroubů M8. Na víko nádrže je přivařený hydraulický blok, příruba pro motor a čerpadlo a držák pro filtr. Ve víku jsou také díry pro hydraulická potrubí. Víko je k nádrži upevněno sadou 8mi šroubů M6 a utěsněno těsnícím tmelem LOCTITE.



Obrázek č. 4.: Nádrž a víko s hydraulickým blokem

6. Výpočet ztrát v potrubí

Uvažuje se délka výtlačného potrubí:

$$L_v := 7.5 \text{ m}$$

Rychlosť ve výtlačném potrubí se připouští 5 -10 m/s. Volím: $v_v := 8 \frac{\text{m}}{\text{s}}$

$$Q_c = 0.00025 \frac{\text{m}^3}{\text{s}}$$

$$S_v := \frac{Q_c}{v_v} = 30.68 \text{ mm}^2$$

Průměr potrubí:

$$d_v := \sqrt[2]{\frac{4 \cdot Q_c}{\pi \cdot v_v}} = 6.3 \text{ mm}$$

Výpočet Re pro výtlačné potrubí:

$$Re \leq 2320$$

$$R_e := \frac{v_v \cdot d_v}{\nu} = 1086.957$$

jedná se o laminární proudění

Výpočet ztrátového součinitele pro laminární proudění:

$$\lambda := \frac{75}{R_e} = 0.069$$

Tlaková ztráta prouděním v potrubí:

$$\Delta p_v := \lambda \cdot \frac{L_v}{d_v} \cdot \frac{v_v^2}{2} \cdot \rho_o = 2.358 \text{ MPa}$$

7. Určení světlosti sacího a odpadního potrubí

a. Sací potrubí

Rychlosti proudění v sacím potrubí se připouští $0,5 - 1,5$ m/s.
Volím:

$$v_s := 1.3 \frac{\text{m}}{\text{s}}$$

Průměr sacího potrubí:

$$d_s := \sqrt[2]{\frac{4 \cdot Q_c}{\pi \cdot v_s}} = 16 \text{ mm}$$

b. Odpadní potrubí

Rychlosť proudění v odpadním potrubí se připouští $2-5$ m/s.
Volím:

$$v_o := 5 \frac{\text{m}}{\text{s}}$$

Průměr odpadního
potrubí:

$$d_o := \sqrt[2]{\frac{4 \cdot Q_c}{\pi \cdot v_o}} = 8 \text{ mm}$$

8. Volba rozvaděče a dalších komponent

Za čerpadlo do výtlacné větve byl přidán filtr a zpětný ventil (Rexroth S6A00-10420J3) a za něj akumulátor o objemu 10 litrů pro případné výpadky.

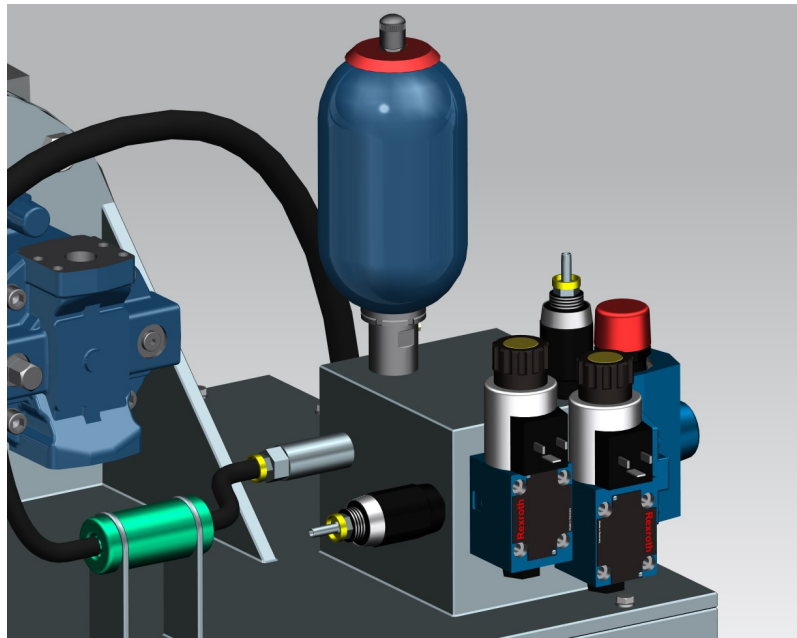
Do obvodu byl zvolen přepouštěcí ventil s kritickým tlakem 12 MPa typu DBDS 4 K1X 200V.

Z katalogu firmy Rexroth byl zvolen redukční ventil typu DR-5.4X/100YMV s pracovním tlakem 1 - 10 MPa a maximálním průtokem 400 l/min.

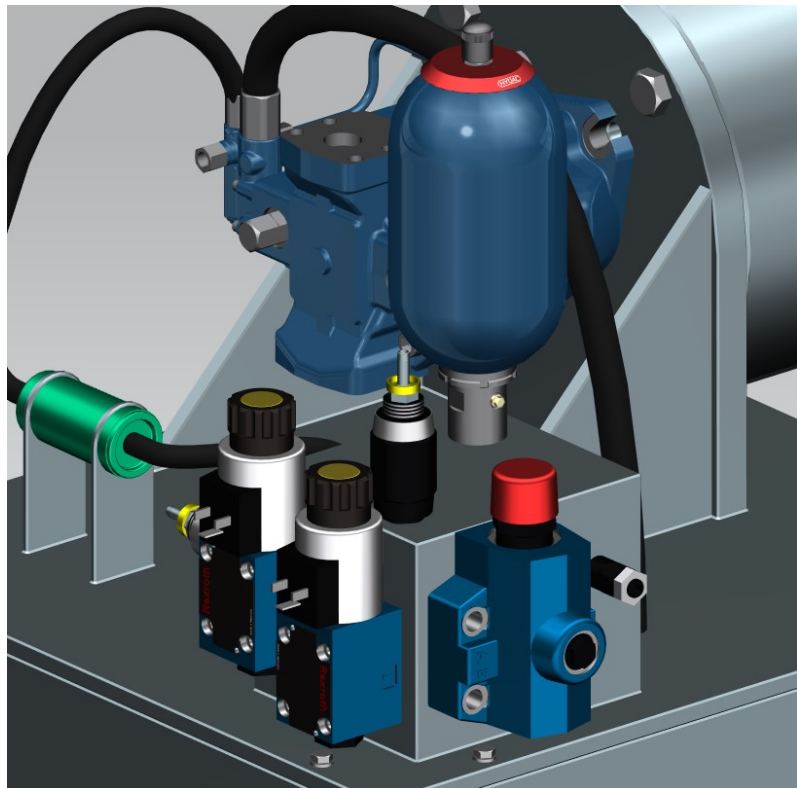
Od stejné firmy byly zvoleny směrové sedlové ventily pro přepinání mezi přítlačem a odlehčením válečků. Byly zvoleny ventily typu M3-SED 6 UK1X pro přítlačnou větev a M3-SED 6 CK1X pro odlehčovací větev.

Dále se v přítlačné i odlehčovací věti obvodu pro regulaci průtoku nachází škrtící ventil MK 6 G 1X.

Všechny řídící komponenty jsou připojeny na hydraulický blok, který je přivařen k víku nádrže. Blok je litinová kostka, do které jsou vyvrty otvory tak, aby spolu s komponenty tvořila navržený hydraulický oběh.

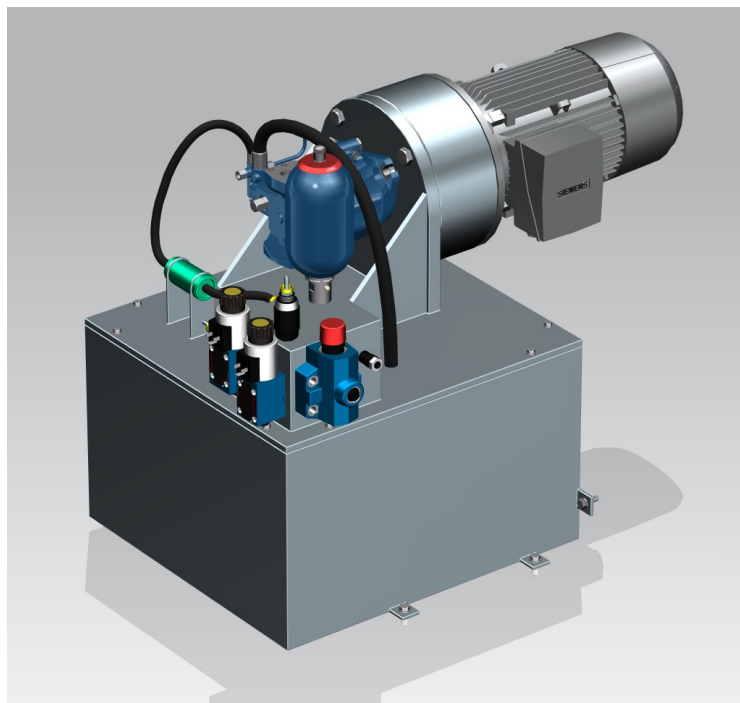


Obrázek č. 5.: Detail Hydraulického bloku

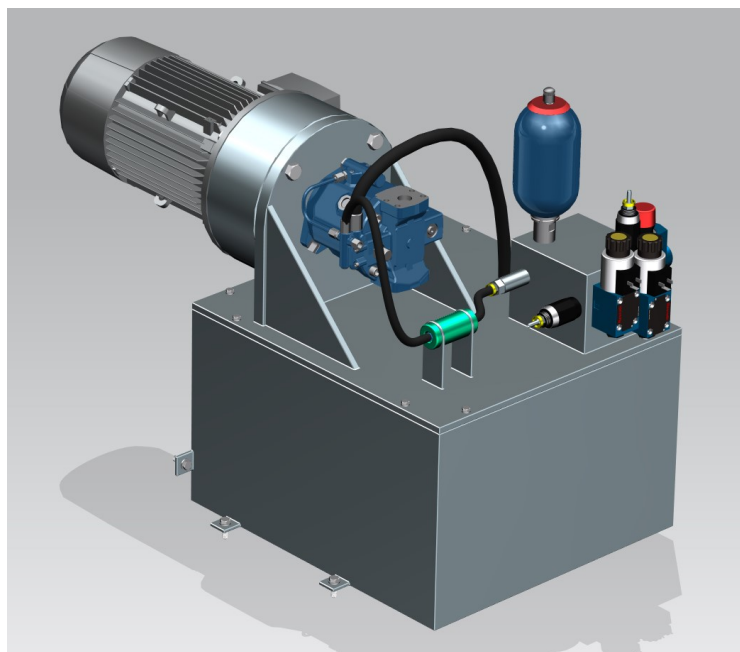


Obrázek č. 6.: Detail Hydraulického bloku

Jednotlivé části oběhu jsou propojeny hydraulickými hadicemi s příslušnými koncovkami.

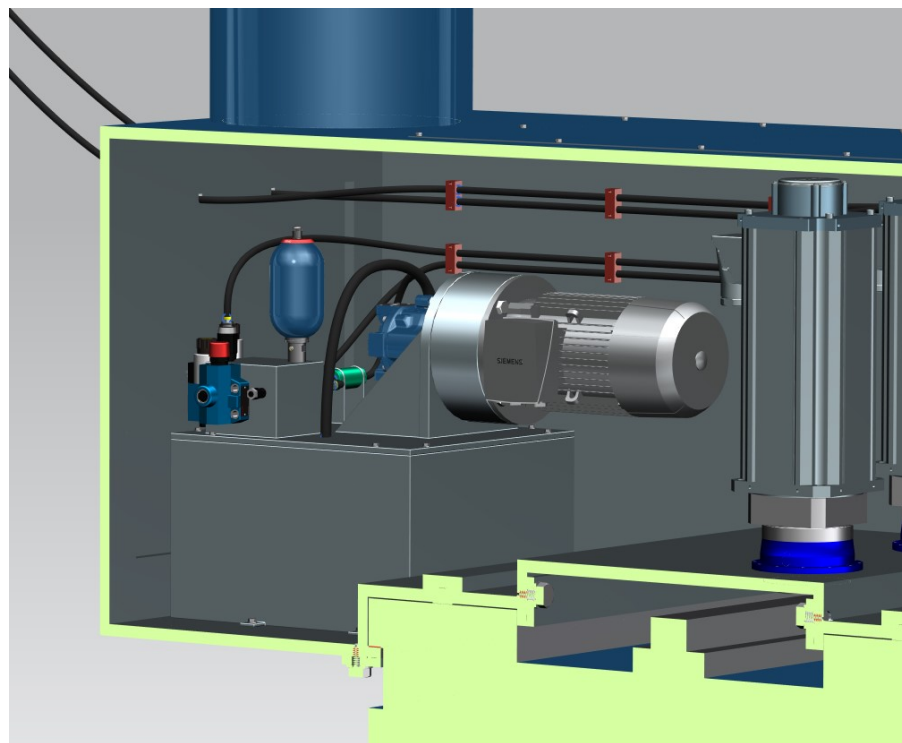


Obrázek č. 7.: Hydraulická jednotka



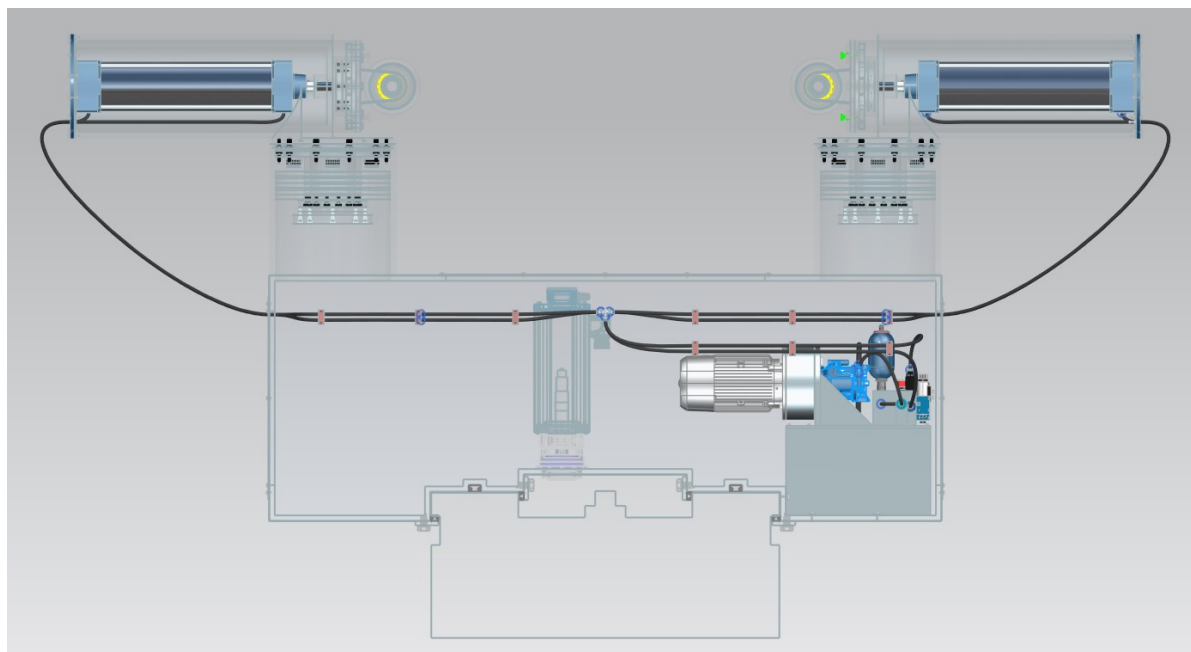
Obrázek č. 8.: Hydraulická jednotka

Sestava hydraulické jednotky je uložena v pravé části saní válečkovacího zařízení.



Obrázek č. 9.: Uložení hydraulické jednotky

Hadice hydraulického obvodu jsou ke stěnám připevněny klipy a k rozdělení do větví slouží T spojky. Hadice poté vedou otvory v bočních krycích plechách, dále otvory přírub hydromotorů až k jeho přívodům.



Obrázek č. 10.: Hydraulický obvod

PŘÍLOHA Č. 9

Výpočet hirthovy spojky

Hirth - otočná hlava

$$F_A := 48 \cdot \text{kN}$$

$$F_R := 120 \cdot \text{kN}$$

$$D_o := 1200 \cdot \text{mm} \quad \dots \text{max. průměr válečkování}$$

$$d_o := 250 \cdot \text{mm} \quad \dots \text{min. průměr válečkování}$$

$$D_t := 400 \cdot \text{mm} \quad \dots \text{průměr tělesa otočné části}$$

$$x := -35 \cdot \text{mm}$$

$$y := 855 \cdot \text{mm}$$

$$z := 208 \cdot \text{mm}$$

$$\text{ORIGIN} := 1$$

$$r_F := [x \ y \ z]$$

$$F := [-F_A \ -F_R \ 0] = [-4.8 \cdot 10^4 \ -1.2 \cdot 10^5 \ 0] \text{ N}$$

$$M := r_F^T \times F^T = \begin{bmatrix} 2.496 \cdot 10^4 \\ -9.984 \cdot 10^3 \\ 4.524 \cdot 10^4 \end{bmatrix} \text{ N} \cdot \text{m}$$

Hirth 400:

$$D := 399 \cdot \text{mm} \quad d := 340 \cdot \text{mm} \quad d_L := 18 \cdot \text{mm} \quad n_b := 10 \quad z := 120$$

$$r := 0.6 \cdot \text{mm} \quad s := 0.6 \cdot \text{mm} \quad \eta_z := 0.75 \quad z_H := 4.7 \cdot \text{mm} \quad \dots \text{zdvih}$$

$$b := 2(r+s) \cdot \tan(30 \cdot \text{deg})$$

$$h := \frac{D-d}{2}$$

$$I_m := \frac{1}{12} \cdot b \cdot h^3$$

$$A_m := b \cdot h$$

$$r_m := \frac{D+d}{4}$$

$$I_{mSi} := I_m + A_m \cdot r_m^2$$

$$I_{mSi} := I_m + A_m \cdot r_m^2$$

$$I_{mS} := I_{mSi} \cdot 2 \cdot z$$

$$I_b := \frac{\pi}{64} \cdot d_L^4$$

$$I_0 := \frac{\pi}{64} \cdot (D^4 - d^4)$$

$$A_b := \frac{\pi}{4} \cdot d_L^2 = (2.545 \cdot 10^{-4}) \text{ m}^2$$

$$I_{bS} := (I_b + A_b \cdot r^2) \cdot n_b$$

$$A := \left(\frac{\pi}{4} \cdot (D^2 - d^2) - A_b \cdot n_b - 2 \cdot z \cdot A_m \right) \cdot \eta_z = 0.016 \text{ m}^2$$

$$I := I_0 - (I_{mS} - I_{bS}) = (2.526 \cdot 10^{-4}) \text{ m}^4$$

$$W := I \cdot \frac{2}{D} = 0.001 \text{ m}^3$$

Upínací síla spojky Hirth

Vzhledem k momentu Mz

$$F_{zM} := \frac{4 \cdot M_3}{D + d} \cdot \tan(30 \cdot \deg) = 141.377 \text{ kN}$$

$$v := 2 \quad \dots \text{bezpečnost upnutí: 1,8-3}$$

$$F_u := v \cdot F_{zM} = 282.753 \text{ kN}$$

$$p_F := \frac{F_u + F_{zM}}{A} = 25.835 \text{ MPa}$$

Vzhledem ke klopnému momentu Mxy

$$M_{xy} := \sqrt{M_1^2 + M_2^2} = (2.688 \cdot 10^4) \text{ N} \cdot \text{m}$$

$$p_M := \frac{|M_{xy}|}{W} = 21.229 \text{ MPa}$$

$$p_{max} := p_F + p_M = 47.064 \text{ MPa}$$

$$p_{min} := p_F - p_M = 4.606 \text{ MPa}$$

$$p_D := 120 \cdot \text{MPa} \quad \dots \text{dovolený měrný tlak}$$

$$F_u := \begin{cases} \text{if } p_{min} < 0 \\ \quad \| p_M \cdot A - F_{zM} \| \\ \text{else} \\ \quad \| F_u \| \end{cases} = 282.753 \text{ kN}$$

$$D := \begin{cases} \text{if } p_{max} > p_D \\ \quad \| \text{"zvětšit D"} \| \\ \text{else} \\ \quad \| D \| \end{cases} = 0.399 \text{ mm}$$

Vnější průměr ozubení...

$$D = 399 \text{ mm}$$

Potřebný zdvih...

$$z_H = 4.7 \text{ mm}$$

Upínací síla...

$$F_u = 282.753 \text{ kN}$$

Síla pružin po překonání zdvihu (Kisssoft):

$$F_2 = 316.6 \text{ kN}$$

Tíha sestavy...

$$F_Q = 6.7 \text{ kN}$$

Výtlačná síla...

$$F_v := F_2 + F_Q = 323.3 \text{ kN}$$

Průměr pístů hydraulických tělisek:

$$d_p = 50 \text{ mm}$$

Počet hydraulických tělisek:

$$n_p = 4$$

$$S := \pi \cdot \frac{d_p^2}{4} = 0.002 \text{ m}^2$$

Tlak v pístech:

$$p := \frac{F_v}{n_p \cdot S} = 41.164 \text{ MPa}$$

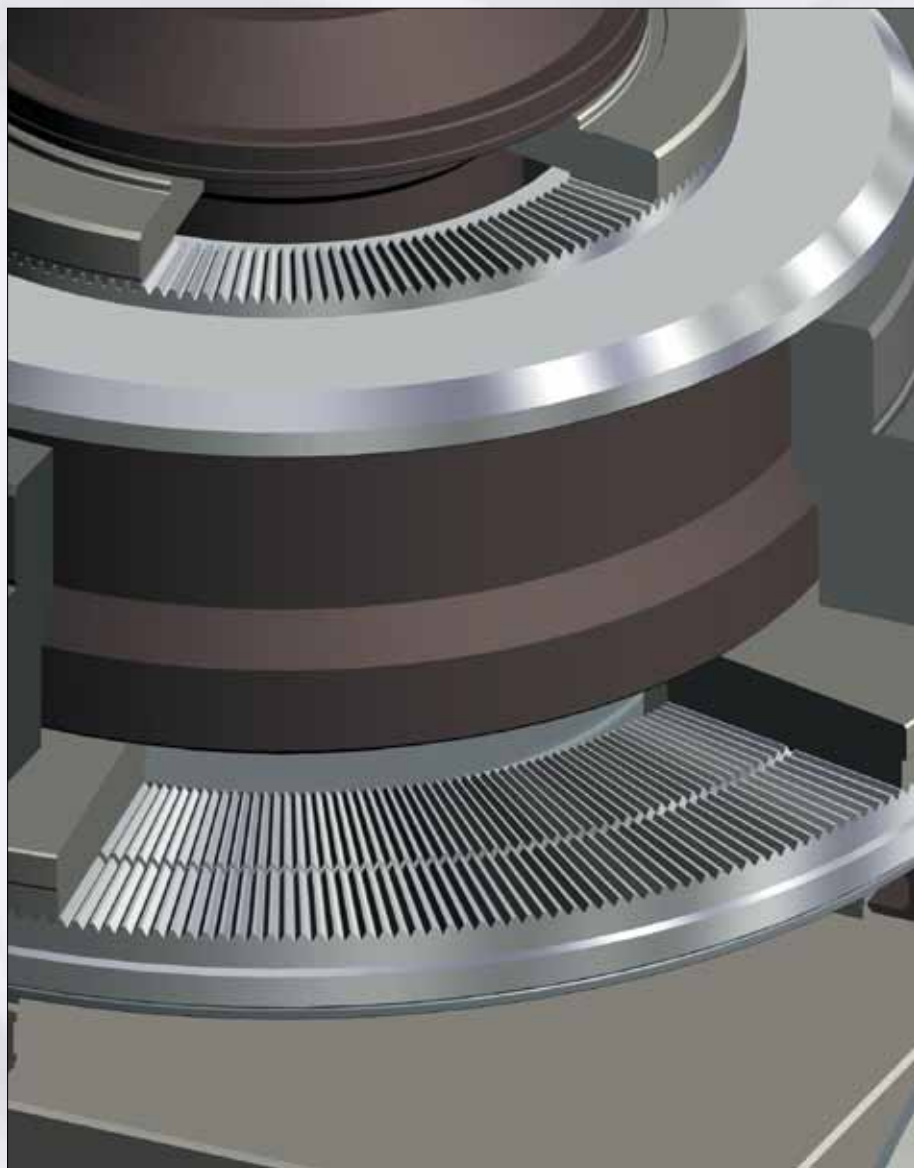
PŘÍLOHA Č. 10

Hirthovo ozubení

Technical features / Range of application

Hirth crown gears

Economic transmission element for high torques



Angular milling cutter head

Blocking in working position free from play. The milling spindle will be centered by the Hirth-Rings absolutely free from play in 1 degree stepping between 0 and ± 90 degrees.

Hirth crown gears are suitable for accurate positioning, locating and especially for angular adjustment of machine elements and parts, e.g. turret heads, pallet changers, rotary indexing tables etc.

1 $\varnothing \leq 400$

2 $\varnothing > 400$ + Special design

Technical Features:

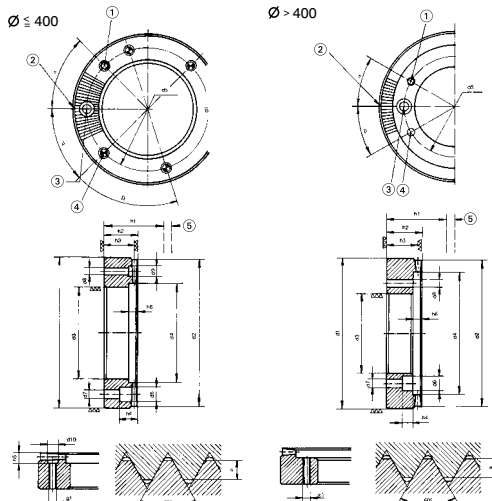
- Very compact design
- Positive locking
- Self-centering
- High indexing accuracy $\pm 3''$
- High repetitive accuracy
- Ground surfaces
- Concentricity and parallelism errors within 0,01mm
- Tothing hardened to HRc 52 ± 2

Hirth crown gears



Economic transmission element for high torques

Frictional self-centering connection elements



Tool group C 15
Type 870 Hirth crown gears

Item no.	Ø d1	Number of teeth	Stroke	Tooth overlap	Fixing hole	Hole for alignment pin	β	Ω	Draw-off screw	α	Ø d2	Ø d3	Ø d4	Ø d5	Ø d6	Ø d7	Ø d8	Ø d9	Ø d10	g1	h1	h2	h3	h4	h5	h6
658421	50	24	3,5	3,2	4x90°	2x180°	45°	-	2x180°	45°	49	20	21	35	11	6,6	5	7	7	M6	20	11,6	10	8,5	4	4
658422	50	36	2,6	2,4	4x90°	2x180°	45°	-	2x180°	45°	49	20	21	35	11	6,6	5	7	7	M6	20	11,2	10	8,5	4	4
658423	100	36	4,2	4	6x60°	2x180°	30°	-	2x180°	30°	99	60	61	80	11	6,6	5	7	7	M6	25	14,5	12,5	9,5	5	5
658424	100	48	3,5	3,2	6X60°	2x180°	30°	-	2x180°	30°	99	60	61	80	11	6,6	5	7	7	M6	25	14,1	12,5	9,5	5	5
658425	100	60	2,4	2,2	6x60°	2x180°	30°	-	2x180°	30°	99	60	61	80	11	6,6	5	7	7	M6	25	13,6	12,5	9,5	5	5
658426	125	48	3,6	3,4	6x60°	2x180°	30°	-	2x180°	30°	124	85	86	105	11	6,6	7	10	7	M6	30	16,7	15	12	5	5
658427	125	60	3,5	3,2	6x60°	2x180°	30°	-	2x180°	30°	124	85	86	105	11	6,6	7	10	7	M6	30	16,6	15	12	5	5
658428	125	72	3,5	3,2	6x60°	2x180°	30°	-	2x180°	30°	124	85	86	105	11	6,6	7	10	7	M6	30	16,6	15	12	5	5
658429	160	60	3,8	3,6	6x60°	2x180°	30°	-	2x180°	30°	159	120	121	140	11	6,6	7	10	10	M6	30	16,8	15	12	6	5
658430	160	72	3,8	3,6	6x60°	2x180°	30°	-	2x180°	30°	159	120	121	140	11	6,6	7	10	10	M6	30	16,8	15	20	6	5
658431	160	96	3,4	3,2	6x60°	2x180°	30°	-	2x180°	30°	159	120	121	140	11	6,6	7	10	10	M6	30	16,6	15	12	6	5
658432	200	72	4,2	4	6x60°	2x180°	30°	-	2x180°	30°	199	150	151	175	15	9	7	10	12	M8	35	19,5	17,5	14	6	5
658433	200	120	3,4	3,2	6x60°	2x180°	30°	-	2x180°	30°	99	150	151	175	15	9	7	10	12	M8	35	19,1	17,5	14	6	5
658434	250	120	3,5	3,2	10x36°	4	54°	72°	2x180°	18°	149	200	201	225	15	9	7	10	10	M8	35	19,1	17,5	13,5	5	5
658435	250	144	2,6	2,4	10x36°	4	54°	72°	2x180°	18°	249	200	201	225	15	9	7	10	10	M8	35	18,7	17,5	13,5	5	5
658436	280	120	4,2	3,9	10x36°	4	54°	72°	2x180°	18°	279	230	231	255	15	9	7	10	10	M8	40	21,59	20	14	6	5,5
658437	280	144	3,1	2,8	10x36°	4	54°	72°	2x180°	18°	279	230	231	255	15	9	7	10	10	M8	40	21,4	20	14	6	5,5
658438	320	120	5	4,8	10x36°	4	54°	72°	2x180°	18°	319	260	261	290	15	9	7	10	10	M8	40	22,4	20	14,5	6,5	5,5
658439	320	144	4	3,6	10x36°	4	54°	72°	2x180°	18°	319	260	261	290	15	9	7	10	10	M8	40	21,8	20	14,5	6,5	5,5
658440	360	120	4,8	4,5	10x36°	4	54°	72°	2x180°	18°	359	300	301	330	18	11	9	12	12	M8	45	24,75	22,5	15,5	6	6
658441	260	144	4,6	4,4	10x36°	4	54°	72°	2x180°	18°	359	300	301	330	18	11	9	12	12	M8	45	24,7	22,5	15	6	5
658442	360	360	2	1,8	10x36°	4	54°	72°	2x180°	18°	359	300	301	330	18	11	9	12	12	M8	45	23,4	22,5	15	6	5
658443	400	120	5	4,6	10x36°	4	54°	72°	2x180°	18°	399	340	341	370	18	11	9	12	12	M8	45	24,8	22,5	15	6	5
658444	400	144	4,2	4	10x36°	4	54°	72°	2x180°	18°	399	340	341	370	18	11	9	12	12	M8	45	24,5	22,5	15	6	5
658445	400	360	2,2	2	10x36°	4	54°	72°	2x180°	18°	399	340	341	370	18	11	9	12	12	M8	45	23,5	22,5	15	6	5
658446	450	120	5,2	5	12x30°	4°90°	15°	-	4x90°	45°	449	350	400	380	18	11	9	-	-	M8	50	27,5	25	11	-	6,5
658447	450	144	4	3,6	12x30°	4x90°	15°	-	4x90°	45°	449	350	400	380	18	11	9	-	-	M8	50	26,8	25	11	-	5
658448	450	360	3	2,7	12x30°	4x90°	15°	-	4x90°	45°	449	350	400	380	18	11	9	-	-	M8	50	26,35	25	11	-	5
658449	500	120	5,2	5	12x30°	4x90°	15°	-	4x90°	45°	499	400	450	430	18	11	9	-	-	M8	50	27,5	25	11	-	6,5
658450	500	144	5,2	5	12x30°	4x90°	15°	-	4x90°	45°	499	400	450	430	18	11	9	-	-	M8	50	27,5	25	11	-	6,5
658451	500	360	3,2	3	12x30°	4x90°	15°	-	4x90°	45°	499	400	450	430	18	11	9	-	-	M8	50	26,5	25	11	-	6
658452	560	120	5,2	5	12x30°	4x90°	15°	-	4x90°	45°	559	450	502	480	20	14	11	-	-	M10	55	30	27,5	13	-	7
658453	560	144	5,2	5	12x30°	4x90°	15°	-	4x90°	45°	559	450	502	480	20	14	11	-	-	M10	55	30	27,5	13	-	7
658454	560	360	3,8	3,4	12x30°	4x90°	15°	-	4x90°	45°	559	450	502	408	20	14	11	-	-	M10	55	29,2	27,5	13	-	5
658455	630	120	6,2	6	12x30°	4x90°	15°	-	4x90°	45°	629	520	580	550	20	14	11	-	-	M10	55	30,5	27,5	13	-	8
658456	630	144	5,7	5,5	12x30°	4x90°	15°	-	4x90°	45°	629	520	580	550	20	14	11	-	-	M10	55	30,25	27,5	13	-	7,5
658457	630	360	3,6	3,4	12x30°	4x90°	15°	-	4x90°	45°	629	520	580	550	20	14	11	-	-	M10	55	29,2	27,5	13	-	6
658458	630	720	2,2	2	12x30°	4x90°	15°	-	4x90°	45°	629	520	580	550	20	14	10	-	-	M10	55	28,5	27,5	13	-	6
658459	710	120	7,4	7	12x30°	4x90°	15°	-	4x90°	45°	709	590	650	620	20	14	11	-	-	M10	60	33,5	30	13	-	9,5
658460	710	144	6,5	6,2	12x30°	4x90°	15°	-	4x90°	45°	709	590	650	620	20	14	11	-	-	M10	60	33,1	30	13	-	8,5
658461	710	360	3,2	3	12x30°	4x90°	15°	-	4x90°	45°	709	590	650	620	20	14	11	-	-	M10	60	31,5	30	13	-	6
658462	710	720	2,3	2,1	12x30°	4x90°	15°	-	4x90°	45°	709	590	650	620	20	14	11	-	-	M10	60	31,05	30	13	-	6

Design and calculation guide

Pressure calculation

In a compressed situation, with a suitable F_{va} load and with no transmission of torque, this load is equally distributed on both faces of the tooth. Therefore, this is no resulting bending stress. But when transmitting torque M , pressure rises on one face of the tooth and diminishes on the other. The maximum pressure is calculated as follows:

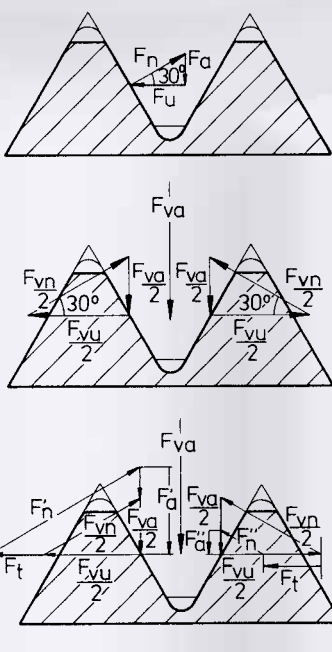


D	= Outer diameter
d	= Inner diameter
n	= N° of holes in the toothed area
dL	= Diameter of holes in toothed area
Z	= N° of teeth
a	= Contact height between teeth on outer diameter
ηz	= Percentage of contact on surface over 70%
Az	= Effective contact surface

$$P = \frac{F_{va} + Fa}{Az}$$

$$Az = \frac{\pi}{4} (D^2 - d^2 - nd_L^2) \frac{1,155 \cdot z \cdot a}{\pi D} \eta z$$

$$Az = \frac{(D^2 - d^2 - nd_L^2) 0,289 \cdot z \cdot a \cdot \eta z}{D}$$



In consequence of the inclination of the tooth faces, an axial force F_u must be applied, due to the peripheral force F_v of the driving torque M . This axial force must be absorbed with a safety coefficient of $v=1,8$ to 3 , due to outside systems which tend to compress the couplings.

This axial force is:

$$Fu = \frac{F_{va}}{D + d}$$

$$Fa = F_v \operatorname{tg} 30^\circ = 0,577 F_v = Fa$$

$$Fa = 0,577 \frac{4M}{D + d} = \frac{2,31M}{D + d} = Fa$$

$$F_{va} = v \cdot 0,577 \cdot Fu \quad Fu = \frac{F_{va}}{v \cdot 0,577}$$

$$F_{va} = v \frac{2,31M}{D + d} \quad M = \frac{F_{va} (D + d)}{v \cdot 2,31}$$

PŘÍLOHA Č. 11

Výpočet talířových pružin

KISSsoft Release 03/2016 A

Team-SolidSQUAD

File

Name : Pružiny
 Changed by: Martin Beber on: 23.07.2020 at: 14:17:40

Disk springs [F040]

Calculation method: DIN 2092:2006

INPUTS:

Spring geometry

Own Input

Inner diameter (mm)	[Di]	202.000 H12
External diameter (mm)	[De]	400.000 h12
Spring force of singular spring ($s=0.75 \cdot h_0$) (N)	[Fn]	322403.033
Spring travel of singular spring ($s=0.75 \cdot h_0$) (N)	[sne]	7.500
Length of relaxes spring (mm)	[L0e]	28.000
Thickness of a single disk (mm) (without support area)	[t]	18.000
Number of springs per package	[n]	1.000
Number of packages per column	[i]	5.000

Material

Material	X10CrNi 18-8 (EN 10270-3)	
Young's modulus at 20°C (N/mm ²)	[E20]	180000.000
Poisson's ratio	[ny]	0.270
Young's modulus depending on temperature (1/°C)	[alphaE]	-0.00028
Young's modulus at service temperature (N/mm ²)	[E]	180000.000

Load

Smaller spring travel (mm)	[s1]	32.000
Larger spring travel (mm)	[s2]	36.700
Operating temperature (°C)	[TB]	20.000
static or quasistatic loading		

RESULTS OF WHOLE SPRING SYSTEM:

Total length at unloaded state (mm)	[L0]	140.000
Total length with load F1 (mm)	[L1]	108.000
Total length with load F2 (mm)	[L2]	103.300
Spring rate with s1 (N/mm)	[R1]	7428.267

Spring rate with s2 (N/mm)	[R2]	7204.827
Spring work with s1 (N/mm)	[W1]	4798676.769
Spring work with s2 (N/mm)	[W2]	6206602.239
Spring travel with force F1 (mm)	[s1]	32.000
Spring travel with force F2 (mm)	[s2]	36.700
Spring travel with force Fn (mm)	[sn]	37.500
Spring travel with force Fc (mm)	[sc]	50.000
Force on the system (N)	[F1]	282290.352
Force on the system (N)	[F2]	316651.841
Usable force (N)	[Fn]	322403.033
Force when flat ($s=h_0$) (N)	[Fc]	410093.810
Utilization of spring travel (%)	[AW]	97.867
Utilization of spring force (%)	[AusF]	98.216

End of Report

lines: 74

PŘÍLOHA Č. 12

Výpočet šroubů zdvihacího tělesa

Team-SolidSQUAD

File

Name : Šrouby upnutí
 Changed by: Martin Beber on: 23.07.2020 at: 14:05:57

Bolt calculation according to VDI 2230:2015

INPUTS:

Configuration: Flange connection with torque and forces (multiple bolts)

Calculation using assembly temperature

Assembly temperature (°C)	[TM]	20.00
Thread standard		Standard thread
Label		M10
Pitch (mm)	[P]	1.50
Flank angle (°)	[β]	60.00
Reference diameter (mm)	[d]	10.00
Minor diameter inner thread (mm)	[D1]	8.38
Flank diameter inner thread (mm)	[D2]	9.03
Thread manufacturing		Final heat treated
Surface roughness (µm)	[Rz]	16.00
Axial force at flange (N)	[FaU/FaO]	280000.00 / 330000.00
Shearing force at flange (N)	[Fq]	0.00
Torque at flange (Nm)	[Mt]	0.00
Bending moment at flange (Nm)	[Mb]	0.00
Required clamping force for sealing (N)	[Fd]	0.00
Coefficient of friction between parts	[μ]	0.150
Bolt pitch diameter at flange (mm)	[dt]	180.00
Number of screws	[n]	14
Shearing force at single screw (N)	[Q]	0.00
Axial force at single screw (N)	[FAU/FAO]	20000.00 / 23571.43
Required clamping force:		
For shearing force transmission (N)	[FKQ]	0.00
For sealing (N)	[FKP]	0.00

Tightening technique: Torque wrench (by estimating the coefficient of friction)

Tightening factor	[αA]	1.60
-------------------	------	------

Load application factor	[n]	0.70
-------------------------	-----	------

Bolting type: SV 1

Length of connected solid (mm)	[lA]	0.00
--------------------------------	------	------

Distance of connected solid (mm)	[ak]	0.00
----------------------------------	------	------

Coef. of friction in thread [μG] 0.100/ 0.100

Coef. of friction at head support [μK] 0.100/ 0.100

Bolt type: Cylindrical screw with socket head bolt DIN EN ISO 4762:2004

Reference diameter (mm)	[d]	10.00
-------------------------	-----	-------

Bolt length (mm)	[l]	20.00
------------------	-----	-------

Shank diameter (mm)	[d1]	10.00
---------------------	------	-------

Shank length (mm)	[l1]	4.50
-------------------	------	------

Thread length (mm)	[b]	15.50
--------------------	-----	-------

Outer diameter of head support (mm)	[dw]	15.33
Inner diameter of head support (mm)	[da]	11.20
Surface roughness (head bearing area) (μm)	[Rz]	16.00
Stressed cross section of screw (mm^2)	[As]	57.99
Free thread length (mm)	[l3]	4.50
Reduction coefficient	[kr]	0.50
Strength class		10.9
Tensile strength (N/mm^2)	[Rm]	1040.00
Yield point (N/mm^2)	[Rp0.2]	940.00
Clamped parts: Segment of annulus		
External radius annulus (mm)	[ra]	110.00
Screw radius annulus (mm)	[rs]	95.00
Internal radius annulus (mm)	[ri]	80.00
Bolt spacing (mm)	[t]	29.85
Number of parts	[IP]	1
Part A		
Material	C45 (1)	
Depth of Layer (mm)	[hi]	8.00
Permissible surface pressure (N/mm^2)	[pG]	770.00
Surface roughness (μm)	[Rz]	16.00
Thread with pocket hole		
Clamping length (mm)	[lk]	8.00
Effective Clamping length (mm)	[lkeff]	9.00
(including washers and counter bore depth or extension sleeves)		
Through hole standard		ISO 273:1979 (DIN 273) fine
Diameter through hole (mm)	[dh]	10.50
Chamfer at head (mm)	[cK]	0.00
No washer below screw head		

Blind hole		
Material	C45 (1)	
Counter bore depth (mm)	[ts]	1.00
Surface roughness (μm)	[Rz]	16.00

RESULTS:

Virtual outer diameter of base body:		
Diameter (mm)	[DA']	39.60
Diameter (mm)	[DA]	39.60
Ductility of flange (mm/N)	[δP]	2.166218e-007
Addition for plate resilience (mm/N)	[δPzu]	2.039656e-007
Ductility of screw (mm/N)	[δS]	1.618095e-006
Load factor for centric load introduction	[Φn]	0.1605
Preload loss (N)	[Fz]	5450.43
required assembly preload:		
-minimum (N)	[FMmin]	25239.43
-maximum (N)	[FMmax]	40383.09

Pretension force according table (N)	[FMtab]	44500.00
Screw force at yield point (N)	[FM0.2]	54000.00
attained assembly preload:		
-maximum (N)	[FM]	44578.54
(utilization of yield strength (%)	[%Re]	90.00)
Pretension force (N)	[FV]	39128.11
Additional bolt load (N)	[FSA]	3782.43
Additional plate load (N)	[FPA]	19789.00
Fatigue load (N/mm ²)	[σa]	4.94
Fatigue life (N/mm ²)	[σAzul]	298.24
Number of load cycles	[NZ]	2000

Calculation with maximum attained pretension force:

(utilization of yield strength (%)	[%Re]	90.00)
Mounting-Pretension force (N)	[FM]	44578.54
Pretension force (N)	[FV]	39128.11
Equivalent stress (N/mm ²)	[σred.M]	846.00
Equivalent stress (N/mm ²)	[σred.B]	866.57
Tightening torque (Nm)	[MA]	63.65
Surface pressure (below screw head) (N/mm ²)	[pK]	561.98

Calculation with the maximum required assembly preload with tightening factor: 1.60

Mounting-Pretension force (N)	[FMmax]	40383.09
Additional clamping force (reserve) (N)	[FKres]	2622.16
Equivalent stress (N/mm ²)	[σred.M_FMmax]	766.38
Equivalent stress (N/mm ²)	[σred.B_FMmax]	790.92
Tightening torque (Nm)	[MA_FMmax]	57.66
Surface pressure (below screw head) (N/mm ²)	[pK_FMmax]	513.22
Permissible equivalent stress (N/mm ²)	[σ.Mzul]	846.00
Permissible equivalent stress (N/mm ²)	[σ.Bzul]	940.00
Permissible surface pressure (below screw head) (N/mm ²)	[pKzul]	770
Shearing strength Screw (N/mm ²)	[tBS]	644.80

SUMMARY:

The yield point must not be exceeded.

Calculation with the maximum required assembly preload with tightening factor: 1.60

Safety against yield point	[SF]	1.19
Safety against fatigue	[SD]	60.36
Safety against pressure	[SP]	1.50

Calculation with maximum attained pretension force:

Safety against yield point	[SF]	1.08
Safety against fatigue	[SD]	60.36
Safety against pressure	[SP]	1.37

Remarks:

-The safeties (SF, SD, SP) are calculated according to VDI2230.

- Calculating safeties with the maximal assembly preload (FMmax).
- Safety against sliding [SG = FKR/FKerf] is calculated with:
FKR: with FM/αA, FKerf = FKQ + FKP
- Safety against shearing SA = τBS*As/Q >= 1.1;
- The calculation of the normal values for 90% usage (Preload and tightening torque) follows the corresponding equation according VDI 2230.
These values correspond with the values in the tables in the VDI Standard. Small differences may however occur..
- Total required clamp load according to (R2/4): FKerf >= Max(FKA + FKP, FKQ)

End of Report

lines: 177

PŘÍLOHA Č. 13

Výpočet šroubů otočného tělesa

Team-SolidSQUAD

File

Name : šrouby otáčení
 Changed by: Martin Beber on: 23.07.2020 at: 14:07:02

Bolt calculation according to VDI 2230:2015

INPUTS:

Configuration: Flange connection with torque and forces (multiple bolts)

Calculation using assembly temperature

Assembly temperature (°C)	[TM]	20.00
Thread standard		Standard thread
Label		M10
Pitch (mm)	[P]	1.50
Flank angle (°)	[β]	60.00
Reference diameter (mm)	[d]	10.00
Minor diameter inner thread (mm)	[D1]	8.38
Flank diameter inner thread (mm)	[D2]	9.03
Thread manufacturing		Final heat treated
Surface roughness (µm)	[Rz]	16.00
Axial force at flange (N)	[FaU/FaO]	0.00 / 280000.00
Shearing force at flange (N)	[Fq]	0.00
Torque at flange (Nm)	[Mt]	0.00
Bending moment at flange (Nm)	[Mb]	0.00
Required clamping force for sealing (N)	[Fd]	0.00
Coefficient of friction between parts	[μ]	0.150
Bolt pitch diameter at flange (mm)	[dt]	144.00
Number of screws	[n]	14
Shearing force at single screw (N)	[Q]	0.00
Axial force at single screw (N)	[FAU/FAO]	0.00 / 20000.00
Required clamping force:		
For shearing force transmission (N)	[FKQ]	0.00
For sealing (N)	[FKP]	0.00
Tightening technique:		Torque wrench (by estimating the coefficient of friction)
Tightening factor	[αA]	1.60
Load application factor	[n]	0.70
Bolting type: SV	1	
Length of connected solid (mm)	[lA]	0.00
Distance of connected solid (mm)	[ak]	0.00
Coef. of friction in thread	[μG]	0.100/ 0.100
Coef. of friction at head support	[μK]	0.100/ 0.100
Bolt type:		Cylindrical screw with socket head bolt DIN EN ISO 4762:2004
Reference diameter (mm)	[d]	10.00
Bolt length (mm)	[l]	20.00
Shank diameter (mm)	[d1]	10.00
Shank length (mm)	[l1]	4.50
Thread length (mm)	[b]	15.50

Outer diameter of head support (mm)	[dw]	15.33
Inner diameter of head support (mm)	[da]	11.20
Surface roughness (head bearing area) (μm)	[Rz]	16.00
Stressed cross section of screw (mm^2)	[As]	57.99
Free thread length (mm)	[l3]	4.50
Reduction coefficient	[kr]	0.50
Strength class		10.9
Tensile strength (N/mm^2)	[Rm]	1040.00
Yield point (N/mm^2)	[Rp0.2]	940.00
Clamped parts: Segment of annulus		
External radius annulus (mm)	[ra]	110.00
Screw radius annulus (mm)	[rs]	95.00
Internal radius annulus (mm)	[ri]	80.00
Bolt spacing (mm)	[t]	29.85
Number of parts	[IP]	1
Part A		
Material	C45 (1)	
Depth of Layer (mm)	[hi]	8.00
Permissible surface pressure (N/mm^2)	[pG]	770.00
Surface roughness (μm)	[Rz]	16.00
Thread with pocket hole		
Clamping length (mm)	[lk]	8.00
Effective Clamping length (mm)	[lkeff]	9.00
(including washers and counter bore depth or extension sleeves)		
Through hole standard		ISO 273:1979 (DIN 273) fine
Diameter through hole (mm)	[dh]	10.50
Chamfer at head (mm)	[cK]	0.00
No washer below screw head		

Blind hole		
Material	C45 (1)	
Counter bore depth (mm)	[ts]	1.00
Surface roughness (μm)	[Rz]	16.00

RESULTS:

Virtual outer diameter of base body:		
Diameter (mm)	[DA']	39.60
Diameter (mm)	[DA]	39.60
Ductility of flange (mm/N)	[δP]	2.166218e-007
Addition for plate resilience (mm/N)	[δPzu]	2.039656e-007
Ductility of screw (mm/N)	[δS]	1.618095e-006
Load factor for centric load introduction	[Φn]	0.1605
Preload loss (N)	[Fz]	5450.43
required assembly preload:		
-minimum (N)	[FMmin]	22241.10
-maximum (N)	[FMmax]	35585.75

Pretension force according table (N)	[FMtab]	44500.00
Screw force at yield point (N)	[FM0.2]	54000.00
attained assembly preload:		
-maximum (N)	[FM]	44578.54
(utilization of yield strength (%)	[%Re]	90.00)
Pretension force (N)	[FV]	39128.11
Additional bolt load (N)	[FSA]	3209.34
Additional plate load (N)	[FPA]	16790.66
Fatigue load (N/mm ²)	[σa]	27.67
Fatigue life (N/mm ²)	[σAzul]	298.24
Number of load cycles	[NZ]	2000

Calculation with maximum attained pretension force:

(utilization of yield strength (%)	[%Re]	90.00)
Mounting-Pretension force (N)	[FM]	44578.54
Pretension force (N)	[FV]	39128.11
Equivalent stress (N/mm ²)	[σred.M]	846.00
Equivalent stress (N/mm ²)	[σred.B]	857.06
Tightening torque (Nm)	[MA]	63.65
Surface pressure		
(below screw head) (N/mm ²)	[pK]	555.32

Calculation with the maximum required assembly preload with tightening factor: 1.60

Mounting-Pretension force (N)	[FMmax]	35585.75
Additional clamping force (reserve) (N)	[FKres]	5620.49
Equivalent stress (N/mm ²)	[σred.M_FMmax]	675.34
Equivalent stress (N/mm ²)	[σred.B_FMmax]	694.91
Tightening torque (Nm)	[MA_FMmax]	50.81
Surface pressure		
(below screw head) (N/mm ²)	[pK_FMmax]	450.82
Permissible equivalent stress (N/mm ²)	[σ.Mzul]	846.00
Permissible equivalent stress (N/mm ²)	[σ.Bzul]	940.00
Permissible surface pressure		
(below screw head) (N/mm ²)	[pKzul]	770
Shearing strength Screw (N/mm ²)	[tBS]	644.80

SUMMARY:

The yield point must not be exceeded.

Calculation with the maximum required assembly preload with tightening factor: 1.60

Safety against yield point	[SF]	1.35
Safety against fatigue	[SD]	10.78
Safety against pressure	[SP]	1.71

Calculation with maximum attained pretension force:

Safety against yield point	[SF]	1.10
Safety against fatigue	[SD]	10.78
Safety against pressure	[SP]	1.39

Remarks:

-The safeties (SF, SD, SP) are calculated according to VDI2230.

- Calculating safeties with the maximal assembly preload (FMmax).
- Safety against sliding [SG = FKR/FKerf] is calculated with:
FKR: with FM/αA, FKerf = FKQ + FKP
- Safety against shearing SA = τBS*As/Q >= 1.1;
- The calculation of the normal values for 90% usage (Preload and tightening torque) follows the corresponding equation according VDI 2230.
These values correspond with the values in the tables in the VDI Standard. Small differences may however occur..
- Total required clamp load according to (R2/4): FKerf >= Max(FKA + FKP, FKQ)

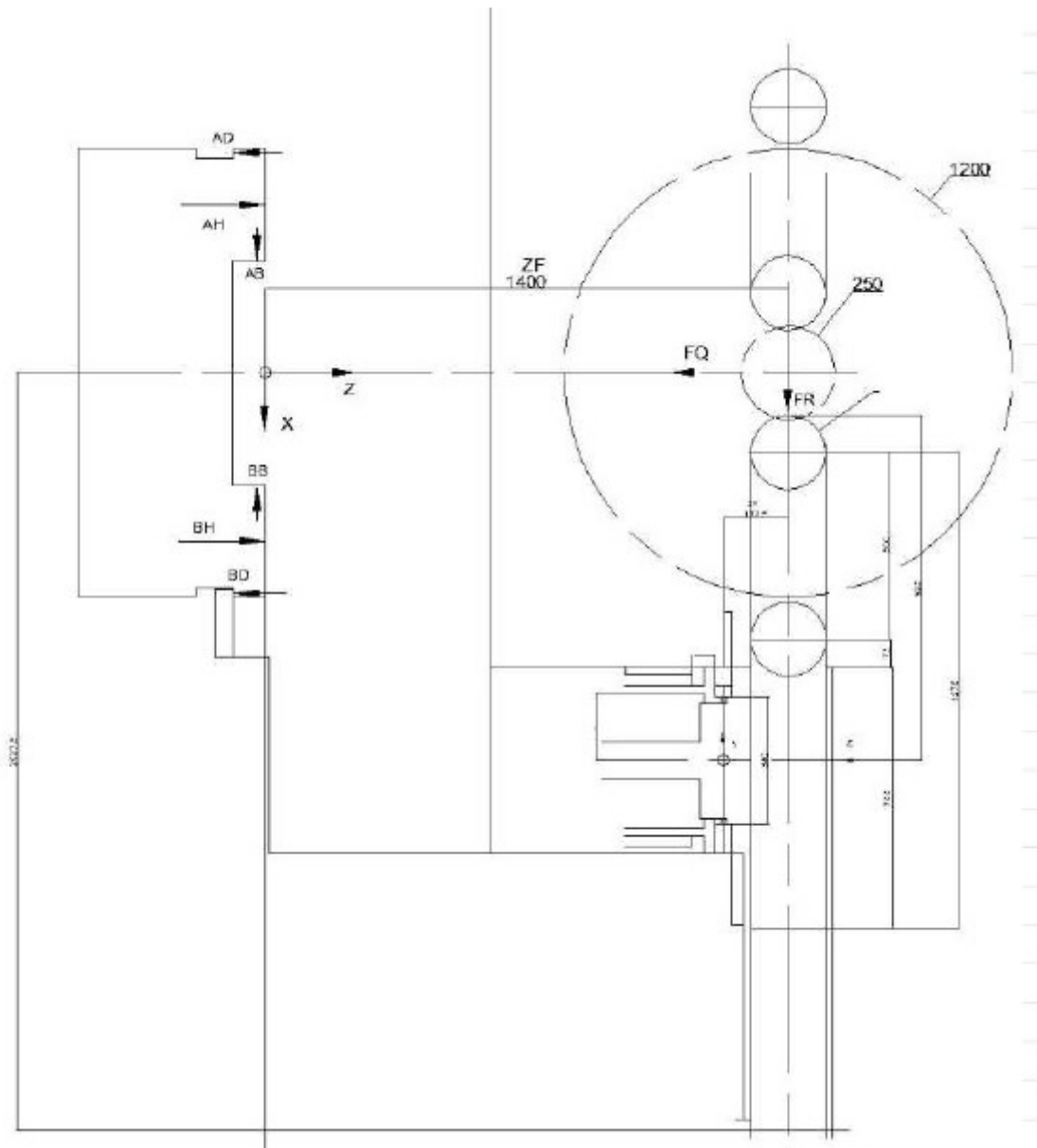
End of Report

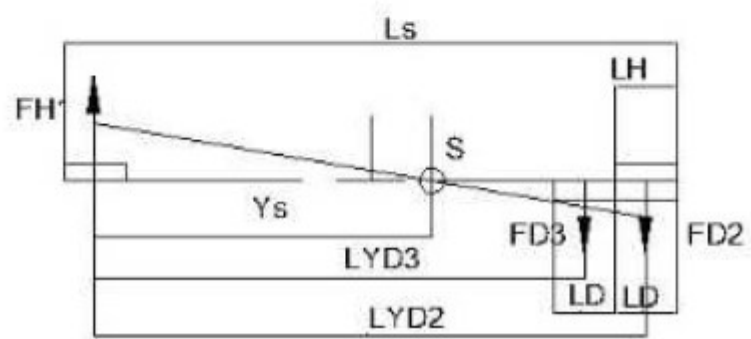
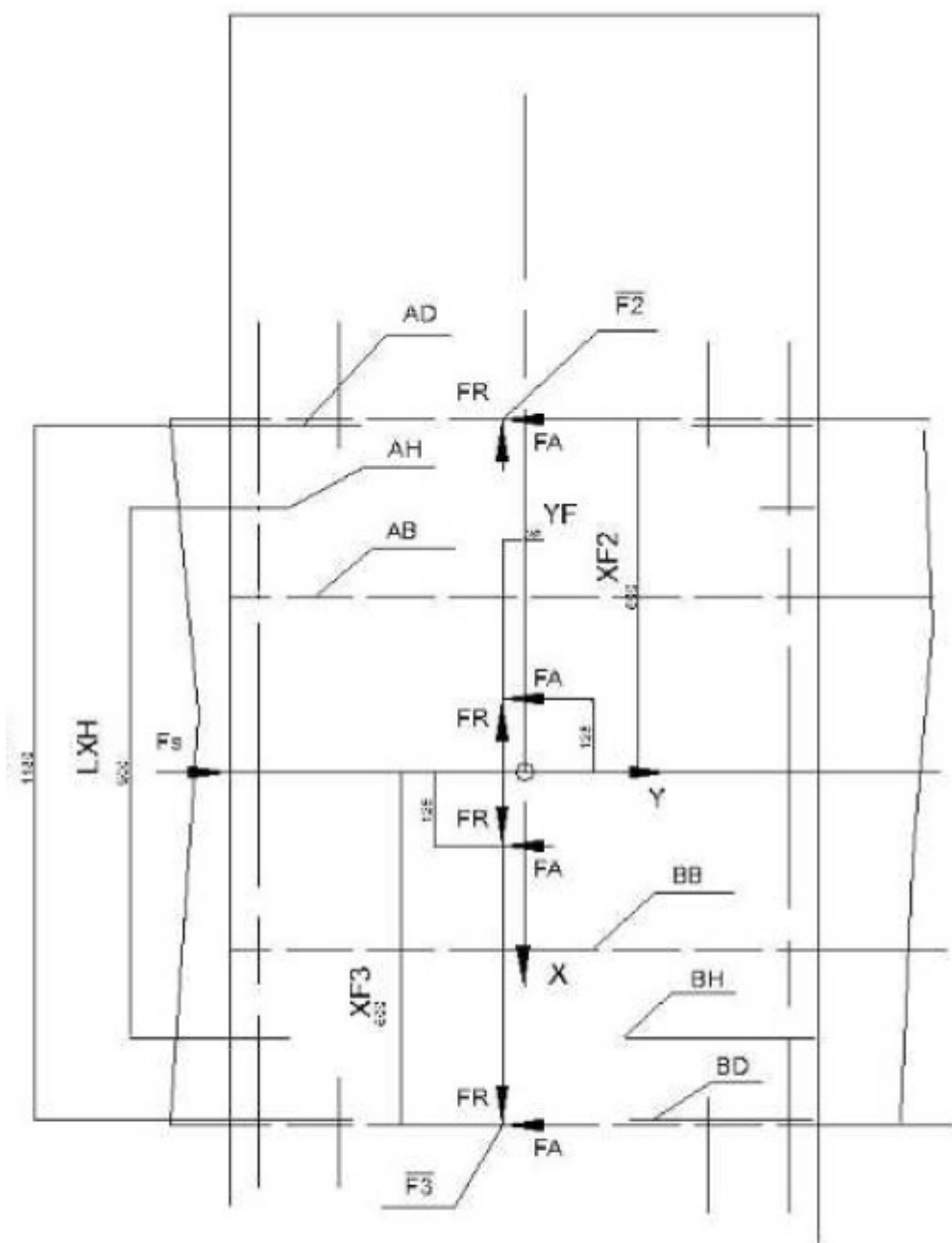
lines: 177

PŘÍLOHA Č. 14

Návrh valivého vedení

Valivé vedení válečkovacího zařízení po loži soustruhu





1 Rozměry vedení, označení reakcí valivých jednotek

$L_{xD} := 1177 \text{ mm}$...rozteč dolních (D) val. jednotek ve směru X

$L_{xH} := 900 \text{ mm}$...rozteč horních (D) val. jednotek ve směru X

$L_s := 800 \text{ mm}$...délka saní

$L_H := 93 \text{ mm}$...délka HORNÍ val. jednotky

$L_D := 78.5 \text{ mm}$...délka DOLNÍ val. jednotky

$L_{D2} := 110 \text{ mm}$...roztečná vzdálenost řady D2

$L_{yD3} := L_s - L_D = 0.722 \text{ m}$...rozeč krajních val. jednotek (D,H) ve směru Y

$L_{yD2} := L_{yD3} - L_{D2} = 0.612 \text{ m}$...souřadnice řady val. jednotek (D2) ve směru Y

$y_s := \frac{L_{yD3} + L_{yD2}}{3} = 0.444 \text{ m}$...souř. středu pružnosti

$y_{FH} := \frac{y_s^2 + (L_{yD2} - y_s)^2 + (L_{yD2} - y_s)^2}{y_s} = 0.57 \text{ m}$...transf. souřadnice síly FH

$y_{FD2} := \frac{y_s^2 + (L_{yD3} - y_s)^2 + (L_{yD2} - y_s)^2}{(L_{yD2} - y_s)} = 1.808 \text{ m}$...transf. souřadnice síly FD2

$y_{FD3} := \frac{y_s^2 + (L_{yD3} - y_s)^2 + (L_{yD2} - y_s)^2}{(L_{yD3} - y_s)} = 1.09 \text{ m}$ transf. souřadnice síly FD3

F_{AD1Fz} F_{AD1Fz} F_{BD1Fz} F_{BD2Fz} reakce DOLNÍ jednotky vlivem síly Fz

F_{AH1Fz} F_{AH2Fz} F_{BH1Fz} F_{BH2Fz} reakce HORNÍ jednotky vlivem síly Fz

F_{AD1Mx} F_{AD2Mx} F_{BD1Mx} F_{BD1Mx} reakce DOLNÍ jednotky vlivem momentu Mx

F_{AH1Mx} F_{AH2Mx} F_{BH1Mx} F_{BH2Mx} reakce HORNÍ jednotky vlivem momentu Mx

F_{AD1My} F_{AD2My} F_{BD1My} F_{BD1My} reakce DOLNÍ jednotky vlivem momentu My

F_{AH1My} F_{AH2My} F_{BH1My} F_{BH2My} reakce HORNÍ jednotky vlivem momentu My

F_{AB1Mz} F_{AB2Mz} F_{BB1Mz} F_{BB2Mz} reakce BOČNÍ jednotky vlivem momentu Mz

F_{AB1Fy} F_{AB2Fy} F_{BB1Fy} F_{BB2Fy} reakce BOČNÍ jednotky vlivem síly Fy

FH_{max} FD_{max} FB_{max} max. hodnoty reakcí krajních jednotek (H,D,B)

2

Zatížení v počátku soustavy souřadnic

$$F_Q := 40 \text{ kN} \quad \dots \text{tíha zařízení}$$

$$F_R := 120 \text{ kN} \quad \dots \text{radiální síla působící na kladku}$$

$$F_A := 48 \text{ kN} \quad \dots \text{axiální síla působící na kladku}$$

3

Vektory sil při jednostranném válečkování

Při jednostranném válečkování lze využívat pouze poloviční hodnoty FA, FR.

$$F_1 := [0 \ 0 \ -F_Q] = [0 \ 0 \ -4 \cdot 10^4] \text{ N} \quad r_1 := [0 \ 0 \ 0] \text{ m}$$

$$F_2 := [0 \ 0 \ 0] \text{ N} \quad r_2 := [-600 \ -35 \ 1400] \text{ mm}$$

$$F_3 := \left[\frac{-F_R}{2} \ \frac{-F_A}{2} \ 0 \right] = \left[-6 \cdot 10^4 \ -2.4 \cdot 10^4 \ 0 \right] \text{ N} \quad r_3 := [600 \ -35 \ 1400] \text{ mm}$$

$$M_1 := r_1^T \times F_1^T = \begin{bmatrix} 0 \\ 0 \\ 0 \end{bmatrix} \text{ N} \cdot \text{m} \quad M_2 := r_2^T \times F_2^T = \begin{bmatrix} 0 \\ 0 \\ 0 \end{bmatrix} \text{ N} \cdot \text{m}$$

$$M_3 := r_3^T \times F_3^T = \begin{bmatrix} 3.36 \cdot 10^4 \\ -8.4 \cdot 10^4 \\ -1.65 \cdot 10^4 \end{bmatrix} \text{ N} \cdot \text{m} \quad \text{ORIGIN} := 1 \quad i := 1..4$$

$$M_c := M_1 + M_2 + M_3 = \begin{bmatrix} 3.36 \cdot 10^4 \\ -8.4 \cdot 10^4 \\ -1.65 \cdot 10^4 \end{bmatrix} \text{ N} \cdot \text{m}$$

$$M_x := M_{c_1} = (3.36 \cdot 10^4) \text{ N} \cdot \text{m} \quad M_y := M_{c_2} = -8.4 \cdot 10^4 \text{ N} \cdot \text{m} \quad M_z := M_{c_3} = -1.65 \cdot 10^4 \text{ N} \cdot \text{m}$$

$$F_c := F_1^T + F_2^T + F_3^T = \begin{bmatrix} -60 \\ -24 \\ -40 \end{bmatrix} \text{ kN}$$

$$F_x := F_{c_1} = -6 \cdot 10^4 \text{ N} \quad F_y := F_{c_2} = -2.4 \cdot 10^4 \text{ N} \quad F_z := F_{c_3} = -4 \cdot 10^4 \text{ N}$$

$$F_{y1} := -F_{c_2} = (2.4 \cdot 10^4) \text{ N} \quad \dots \text{hnací síla pos. mech.}$$

3.1 Reakce jednotek

HORNÍ jednotky

$$[F_{AH1Fz} \ F_{AH2Fz} \ F_{BH1Fz} \ F_{BH2Fz}] := \begin{cases} \text{if } F_z > 0 \\ \begin{bmatrix} 0 & 0 & 0 & 0 \end{bmatrix} \textcolor{blue}{N} \\ \text{else} \\ \begin{bmatrix} \frac{|F_z|}{4} & \frac{|F_z|}{4} & \frac{|F_z|}{4} & \frac{|F_z|}{4} \end{bmatrix} \end{cases} = [1 \cdot 10^4 \ 1 \cdot 10^4 \ 1 \cdot 10^4 \ 1 \cdot 10^4] \textcolor{blue}{N}$$

$$FHFz := [F_{AH1Fz} \ F_{AH2Fz} \ F_{BH1Fz} \ F_{BH2Fz}] = [1 \cdot 10^4 \ 1 \cdot 10^4 \ 1 \cdot 10^4 \ 1 \cdot 10^4] \textcolor{blue}{N}$$

$$[F_{AH1Mx} \ F_{AH2Mx} \ F_{BH1Mx} \ F_{BH2Mx}] := \begin{cases} \text{if } M_x \leq 0 \\ \begin{bmatrix} 0 & \frac{|M_x|}{2 \cdot y_{FH}} & 0 & \frac{|M_x|}{2 \cdot y_{FH}} \end{bmatrix} \\ \text{else} \\ \begin{bmatrix} \frac{|M_x|}{2 \cdot y_{FH}} & 0 & \frac{|M_x|}{2 \cdot y_{FH}} & 0 \end{bmatrix} \end{cases} = [2.947 \cdot 10^4 \ 0 \ 2.947 \cdot 10^4 \ 0] \textcolor{blue}{N}$$

$$FHMx := [F_{AH1Mx} \ F_{AH2Mx} \ F_{BH1Mx} \ F_{BH2Mx}] = [2.947 \cdot 10^4 \ 0 \ 2.947 \cdot 10^4 \ 0] \textcolor{blue}{N}$$

$$[F_{AH1My} \ F_{AH2My} \ F_{BH1My} \ F_{BH2My}] := \begin{cases} \text{if } M_y \leq 0 \\ \begin{bmatrix} 0 & 0 & \frac{|M_y|}{(L_{xH}+L_{xD})} & \frac{|M_y|}{(L_{xH}+L_{xD})} \end{bmatrix} \\ \text{else} \\ \begin{bmatrix} \frac{|M_y|}{(L_{xH}+L_{xD})} & \frac{|M_y|}{(L_{xH}+L_{xD})} & 0 & 0 \end{bmatrix} \end{cases} = [4.044 \cdot 10^4 \ 4.044 \cdot 10^4]$$

$$FHMMy := [F_{AH1My} \ F_{AH2My} \ F_{BH1My} \ F_{BH2My}] = [4.044 \cdot 10^4 \ 4.044 \cdot 10^4 \ 0 \ 0] \textcolor{blue}{N}$$

$$FH1 := FHFz + FHMx + FHMMy = [79.911 \ 50.443 \ 39.468 \ 10] \textcolor{blue}{kN}$$

$$FH1_{max} := \max(FH1) = 79.911 \textcolor{blue}{kN} \quad \text{max.reakce HORNÍ jednotky}$$

DOLNÍ jednotky

$$[F_{AD1Fz} \ F_{AD2Fz} \ F_{BD1Fz} \ F_{BD2Fz}] := \begin{cases} \text{if } F_z \leq 0 \\ \begin{bmatrix} 0 & 0 & 0 & 0 \end{bmatrix} \mathbf{N} \\ \text{else} \\ \begin{bmatrix} \frac{|F_z|}{8} & \frac{|F_z|}{8} & \frac{|F_z|}{8} & \frac{|F_z|}{8} \end{bmatrix} \end{cases} = [0 \ 0 \ 0 \ 0] \mathbf{N}$$

$$FDFz := [F_{AD1Fz} \ F_{AD2Fz} \ F_{BD1Fz} \ F_{BD2Fz}] = [0 \ 0 \ 0 \ 0] \mathbf{N}$$

$$[F_{AD1Mx} \ F_{AD2Mx} \ F_{BD1Mx} \ F_{BD2Mx}] := \begin{cases} \text{if } M_x \leq 0 \\ \begin{bmatrix} \frac{M_x}{2 \cdot y_{FD3}} & 0 & \frac{M_x}{2 \cdot y_{FD3}} & 0 \end{bmatrix} \\ \text{else} \\ \begin{bmatrix} 0 & \frac{-M_x}{2 \cdot y_{FD3}} & 0 & \frac{-M_x}{2 \cdot y_{FD3}} \end{bmatrix} \end{cases} = [0 \ -1.541 \cdot 10^4 \ 0 \ -1.541 \cdot 10^4] \mathbf{N}$$

$$FDMx := [F_{AD1Mx} \ F_{AD2Mx} \ F_{BD1Mx} \ F_{BD2Mx}] = [0 \ -1.541 \cdot 10^4 \ 0 \ -1.541 \cdot 10^4] \mathbf{N}$$

$$[F_{AD1My} \ F_{AD2My} \ F_{BD1My} \ F_{BD2My}] := \begin{cases} \text{if } M_y \leq 0 \\ \begin{bmatrix} \frac{-M_y}{2(L_{xH}+L_{xD})} & \frac{-M_y}{2(L_{xH}+L_{xD})} & 0 & 0 \end{bmatrix} \\ \text{else} \\ \begin{bmatrix} 0 & 0 & \frac{M_y}{2(L_{xH}+L_{xD})} & \frac{M_y}{2(L_{xH}+L_{xD})} \end{bmatrix} \end{cases} = [0 \ 0 \ -2.022 \cdot 10^4 \ -2.022 \cdot 10^4] \mathbf{N}$$

$$FDMy := [F_{AD1My} \ F_{AD2My} \ F_{BD1My} \ F_{BD2My}] = [0 \ 0 \ -2.022 \cdot 10^4 \ -2.022 \cdot 10^4] \mathbf{N}$$

$$FD1 := FDFz + FDMx + FDMy = [0 \ -15.408 \ -20.221 \ -35.63] \mathbf{kN}$$

$$FD1_{max} := |min(FD1)| = 35.63 \mathbf{kN} \quad \dots \text{max.reakce DOLNÍ jednotky}$$

BOČNÍ jednotky

$$\begin{bmatrix} F_{AB1Fx} & F_{AB2Fx} & F_{BB1Fx} & F_{BB2Fx} \end{bmatrix} := \begin{cases} \text{if } F_x > 0 \\ \begin{bmatrix} 0 & 0 & \frac{-F_x}{2} & \frac{-F_x}{2} \end{bmatrix} \\ \text{else} \\ \begin{bmatrix} \frac{-F_x}{2} & \frac{-F_x}{2} & 0 & 0 \end{bmatrix} \end{cases} = [3 \cdot 10^4 \ 3 \cdot 10^4 \ 0 \ 0] \text{ N}$$

$$FBFx := [F_{AB1Fx} \ F_{AB2Fx} \ F_{BB1Fx} \ F_{BB2Fx}] = [3 \cdot 10^4 \ 3 \cdot 10^4 \ 0 \ 0] \text{ N}$$

$$\begin{bmatrix} F_{AB1Mz} & F_{AB2Mz} & F_{BB1Mz} & F_{BB2Mz} \end{bmatrix} := \begin{cases} \text{if } M_z > 0 \\ \begin{bmatrix} 0 & \frac{M_z}{L_{yD2}} & \frac{-M_z}{L_{yD2}} & 0 \end{bmatrix} \\ \text{else} \\ \begin{bmatrix} \frac{-M_z}{L_{yD2}} & 0 & 0 & \frac{M_z}{L_{yD2}} \end{bmatrix} \end{cases} = [2.698 \cdot 10^4 \ 0 \ 0 \ -2.698 \cdot 10^4] \text{ N}$$

$$FBMz := [F_{AB1Mz} \ F_{AB2Mz} \ F_{BB1Mz} \ F_{BB2Mz}] = [2.698 \cdot 10^4 \ 0 \ 0 \ -2.698 \cdot 10^4] \text{ N}$$

$$FB1 := FBFx + FBMz = [56.983 \ 30 \ 0 \ -26.983] \text{ kN}$$

$$FB1_{max} := \max([\max(FB1) \ |\min(FB1)|]) = 56.983 \text{ kN} \quad \dots \text{max.reakce BOČNÍ jednotky}$$

Vektory sil při oboustranném válečkování

$$\begin{aligned}
 F_1 &:= [0 \ 0 \ -F_Q] = [0 \ 0 \ -4 \cdot 10^4] \textcolor{blue}{N} & r_1 &:= [0 \ 0 \ 0] \textcolor{blue}{m} \\
 F_2 &:= [-F_R \ -F_A \ 0] = [-1.2 \cdot 10^5 \ -4.8 \cdot 10^4 \ 0] \textcolor{blue}{N} & r_2 &:= [600 \ 0 \ 1400] \textcolor{blue}{mm} \\
 F_3 &:= [F_R \ -F_A \ 0] = [1.2 \cdot 10^5 \ -4.8 \cdot 10^4 \ 0] \textcolor{blue}{N} & r_3 &:= [-600 \ 0 \ 1400] \textcolor{blue}{mm} \\
 M_1 &:= r_1^T \times F_1^T = \begin{bmatrix} 0 \\ 0 \\ 0 \end{bmatrix} \textcolor{blue}{N} \cdot \textcolor{blue}{m} & M_2 &:= r_2^T \times F_2^T = \begin{bmatrix} 6.72 \cdot 10^4 \\ -1.68 \cdot 10^5 \\ -2.88 \cdot 10^4 \end{bmatrix} \textcolor{blue}{N} \cdot \textcolor{blue}{m} \\
 M_3 &:= r_3^T \times F_3^T = \begin{bmatrix} 6.72 \cdot 10^4 \\ 1.68 \cdot 10^5 \\ 2.88 \cdot 10^4 \end{bmatrix} \textcolor{blue}{N} \cdot \textcolor{blue}{m} & \text{ORIGIN} &:= 1 & i &:= 1..4 \\
 M_c &:= M_1 + M_2 + M_3 = \begin{bmatrix} 1.344 \cdot 10^5 \\ 0 \\ 0 \end{bmatrix} \textcolor{blue}{N} \cdot \textcolor{blue}{m} \\
 M_x &:= M_{c_1} = (1.344 \cdot 10^5) \textcolor{blue}{N} \cdot \textcolor{blue}{m} & M_y &:= M_{c_2} = 0 \textcolor{blue}{N} \cdot \textcolor{blue}{m} & M_z &:= M_{c_3} = 0 \textcolor{blue}{N} \cdot \textcolor{blue}{m} \\
 F_c &:= F_1^T + F_2^T + F_3^T = \begin{bmatrix} 0 \\ -96 \\ -40 \end{bmatrix} \textcolor{blue}{kN} \\
 F_x &:= F_{c_1} = 0 \textcolor{blue}{N} & F_y &:= F_{c_2} = -9.6 \cdot 10^4 \textcolor{blue}{N} & F_z &:= F_{c_3} = -4 \cdot 10^4 \textcolor{blue}{N} \\
 F_{y1} &:= -F_{c_2} = 96 \textcolor{blue}{kN} & \dots & \text{hnací síla pos. mech.}
 \end{aligned}$$

Reakce jednotek

HORNÍ jednotky

$$\begin{bmatrix} F_{AH1Fz} & F_{AH2Fz} & F_{BH1Fz} & F_{BH2Fz} \end{bmatrix} := \begin{cases} \text{if } F_z > 0 \\ \begin{bmatrix} 0 & 0 & 0 & 0 \end{bmatrix} \textcolor{blue}{N} \\ \text{else} \\ \begin{bmatrix} \frac{|F_z|}{4} & \frac{|F_z|}{4} & \frac{|F_z|}{4} & \frac{|F_z|}{4} \end{bmatrix} \end{cases} = \begin{bmatrix} 1 \cdot 10^4 & 1 \cdot 10^4 & 1 \cdot 10^4 & 1 \cdot 10^4 \end{bmatrix} \textcolor{blue}{N}$$

$$FHFz := \begin{bmatrix} F_{AH1Fz} & F_{AH2Fz} & F_{BH1Fz} & F_{BH2Fz} \end{bmatrix} = \begin{bmatrix} 1 \cdot 10^4 & 1 \cdot 10^4 & 1 \cdot 10^4 & 1 \cdot 10^4 \end{bmatrix} \textcolor{blue}{N}$$

$$\begin{bmatrix} F_{AH1Mx} & F_{AH2Mx} & F_{BH1Mx} & F_{BH2Mx} \end{bmatrix} := \begin{cases} \text{if } M_x \leq 0 \\ \begin{bmatrix} 0 & \frac{|M_x|}{2 \cdot y_{FH}} & 0 & \frac{|M_x|}{2 \cdot y_{FH}} \end{bmatrix} \\ \text{else} \\ \begin{bmatrix} \frac{|M_x|}{2 \cdot y_{FH}} & 0 & \frac{|M_x|}{2 \cdot y_{FH}} & 0 \end{bmatrix} \end{cases} = \begin{bmatrix} 1.179 \cdot 10^5 & 0 & 1.179 \cdot 10^5 & 0 \end{bmatrix} \textcolor{blue}{N}$$

$$FHMx := \begin{bmatrix} F_{AH1Mx} & F_{AH2Mx} & F_{BH1Mx} & F_{BH2Mx} \end{bmatrix} = \begin{bmatrix} 1.179 \cdot 10^5 & 0 & 1.179 \cdot 10^5 & 0 \end{bmatrix} \textcolor{blue}{N}$$

$$\begin{bmatrix} F_{AH1My} & F_{AH2My} & F_{BH1My} & F_{BH2My} \end{bmatrix} := \begin{cases} \text{if } M_y \leq 0 \\ \begin{bmatrix} 0 & 0 & \frac{|M_y|}{(L_{xH}+L_{xD})} & \frac{|M_y|}{(L_{xH}+L_{xD})} \end{bmatrix} \\ \text{else} \\ \begin{bmatrix} \frac{|M_y|}{(L_{xH}+L_{xD})} & \frac{|M_y|}{(L_{xH}+L_{xD})} & 0 & 0 \end{bmatrix} \end{cases} = \begin{bmatrix} 0 & 0 & 0 & 0 \end{bmatrix} \textcolor{blue}{N}$$

$$FHMy := \begin{bmatrix} F_{AH1My} & F_{AH2My} & F_{BH1My} & F_{BH2My} \end{bmatrix} = \begin{bmatrix} 0 & 0 & 0 & 0 \end{bmatrix} \textcolor{blue}{N}$$

$$FH2 := FHFz + FHMx + FHMy = \begin{bmatrix} 127.871 & 10 & 127.871 & 10 \end{bmatrix} \textcolor{blue}{kN}$$

$$FH2_{max} := \max(FH2) = 127.871 \textcolor{blue}{kN} \quad \text{max.reakce HORNÍ jednotky}$$

DOLNÍ jednotky

$$[F_{AD1Fz} \ F_{AD2Fz} \ F_{BD1Fz} \ F_{BD2Fz}] := \begin{cases} \text{if } F_z \leq 0 \\ \quad [0 \ 0 \ 0 \ 0] \ \textcolor{blue}{N} \\ \text{else} \\ \quad \left[\frac{|F_z|}{8} \ \frac{|F_z|}{8} \ \frac{|F_z|}{8} \ \frac{|F_z|}{8} \right] \end{cases} = [0 \ 0 \ 0 \ 0] \ \textcolor{blue}{N}$$

$$FDFz := [F_{AD1Fz} \ F_{AD2Fz} \ F_{BD1Fz} \ F_{BD2Fz}] = [0 \ 0 \ 0 \ 0] \ \textcolor{blue}{N}$$

$$[F_{AD1Mx} \ F_{AD2Mx} \ F_{BD1Mx} \ F_{BD2Mx}] := \begin{cases} \text{if } M_x \leq 0 \\ \quad \left[\frac{M_x}{2 \cdot y_{FD3}} \ 0 \ \frac{M_x}{2 \cdot y_{FD3}} \ 0 \right] \\ \text{else} \\ \quad \left[0 \ \frac{-M_x}{2 \cdot y_{FD3}} \ 0 \ \frac{-M_x}{2 \cdot y_{FD3}} \right] \end{cases} = [0 \ -6.163 \cdot 10^4 \ 0 \ -6.163 \cdot 10^4] \ \textcolor{blue}{N}$$

$$FDMx := [F_{AD1Mx} \ F_{AD2Mx} \ F_{BD1Mx} \ F_{BD2Mx}] = [0 \ -6.163 \cdot 10^4 \ 0 \ -6.163 \cdot 10^4] \ \textcolor{blue}{N}$$

$$[F_{AD1My} \ F_{AD2My} \ F_{BD1My} \ F_{BD2My}] := \begin{cases} \text{if } M_y \leq 0 \\ \quad \left[\frac{-M_y}{2 (L_{xH} + L_{xD})} \ \frac{-M_y}{2 (L_{xH} + L_{xD})} \ 0 \ 0 \right] \\ \text{else} \\ \quad \left[0 \ 0 \ \frac{M_y}{2 (L_{xH} + L_{xD})} \ \frac{M_y}{2 (L_{xH} + L_{xD})} \right] \end{cases} = [0 \ 0 \ 0 \ 0] \ \textcolor{blue}{N}$$

$$FDMy := [F_{AD1My} \ F_{AD2My} \ F_{BD1My} \ F_{BD2My}] = [0 \ 0 \ 0 \ 0] \ \textcolor{blue}{N}$$

$$FD2 := FDFz + FDMx + FDMy = [0 \ -61.634 \ 0 \ -61.634] \ \textcolor{blue}{kN}$$

$$FD2_{max} := |min(FD2)| = 61.634 \ \textcolor{blue}{kN} \quad \dots \text{max.reakce DOLNÍ jednotky}$$

BOČNÍ jednotky

$$\begin{bmatrix} F_{AB1Fx} & F_{AB2Fx} & F_{BB1Fx} & F_{BB2Fx} \end{bmatrix} := \begin{cases} \text{if } F_x > 0 \\ \begin{bmatrix} 0 & 0 & \frac{-F_x}{2} & \frac{-F_x}{2} \end{bmatrix} \\ \text{else} \\ \begin{bmatrix} \frac{-F_x}{2} & \frac{-F_x}{2} & 0 & 0 \end{bmatrix} \end{cases} = [0 \ 0 \ 0 \ 0] \text{ N}$$

$$FBFx := [F_{AB1Fx} \ F_{AB2Fx} \ F_{BB1Fx} \ F_{BB2Fx}] = [0 \ 0 \ 0 \ 0] \text{ N}$$

$$\begin{bmatrix} F_{AB1Mz} & F_{AB2Mz} & F_{BB1Mz} & F_{BB2Mz} \end{bmatrix} := \begin{cases} \text{if } M_z > 0 \\ \begin{bmatrix} 0 & \frac{M_z}{L_{yD2}} & \frac{-M_z}{L_{yD2}} & 0 \end{bmatrix} \\ \text{else} \\ \begin{bmatrix} \frac{-M_z}{L_{yD2}} & 0 & 0 & \frac{M_z}{L_{yD2}} \end{bmatrix} \end{cases} = [0 \ 0 \ 0 \ 0] \text{ N}$$

$$FBMz := [F_{AB1Mz} \ F_{AB2Mz} \ F_{BB1Mz} \ F_{BB2Mz}] = [0 \ 0 \ 0 \ 0] \text{ N}$$

$$FB2 := FBFx + FBMz = [0 \ 0 \ 0 \ 0] \text{ kN}$$

$$FB2_{max} := \max(FB2) = 0 \text{ kN}$$

...max.reakce BOČNÍ jednotky

5 Návrh a kontrola krajních valivých jednotek

$$T_c := 4000 \text{ hr} \quad \dots \text{celková doba běhu}$$

$$S_{0dov} := 2 \quad \dots \text{dovolená hodnota - statická bezpečnost}$$

5.1 Max. reakce

$$FH_{max} := \max(FH1_{max}, FH2_{max}) = 127.871 \text{ kN}$$

$$FD_{max} := \max(FD1_{max}, FD2_{max}) = 61.634 \text{ kN}$$

$$FB_{max} := \max(FB1_{max}, FB2_{max}) = 56.983 \text{ kN}$$

5.2 Statická bezpečnost a výběr tanků

Horní

$$FH_{max} = 127.871 \text{ kN}$$

$$C_{0H} := S_{0dov} \cdot FH_{max} = 255.742 \text{ kN}$$

RUS26126 - počet: 4

$$C_{0H} := 209 \text{ kN} \quad C_H := 122 \text{ kN}$$

$$S_{0H} := \frac{C_{0H}}{FH_{max}} = 1.634$$

Dolní

$$FD_{max} = 61.634 \text{ kN}$$

$$C_{0D} := S_{0dov} \cdot FD_{max} = 123.267 \text{ kN}$$

RUS19105 - počet: 8

$$C_{0D} := 123 \text{ kN} \quad C_D := 68 \text{ kN}$$

$$S_{0D} := \frac{C_{0D}}{FD_{max}} = 1.996$$

Boční

$$FB_{max} = 56.983 \text{ kN}$$

$$C_{0B} := S_{0dov} \cdot FB_{max} = 113.966 \text{ kN}$$

RUS19105 - počet: 4

$$C_{0B} := 123 \text{ kN} \quad C_B := 68 \text{ kN}$$

$$S_{0B} := \frac{C_{0B}}{FB_{max}} = 2.159$$

5.3 Dynamická bezpečnost

$$v_c := 0.5 \frac{m}{s}$$

$$f_n := 0.4 \text{ mm}$$

$$D_{min} := 250 \text{ mm}$$

$$v_f := f_n \cdot \frac{v_c}{\pi \cdot D_{min}} = 15.279 \frac{\text{mm}}{\text{min}}$$

$$l_c := v_f \cdot T_c = 3666.93 \text{ m}$$

Horní

$$L_H := \left(\frac{C_H}{FH_{max}} \right)^{\frac{10}{3}} \cdot 10^5 \cdot \text{m} = (8.55 \cdot 10^4) \text{ m}$$

$$S_{dynH} := \frac{L_H}{l_c} = 23.316 \quad \dots \text{dynamická bezpečnost}$$

Dolní

$$L_D := \left(\frac{C_D}{FH_{max}} \right)^{\frac{10}{3}} \cdot 10^5 \cdot \text{m} = (1.218 \cdot 10^4) \text{ m}$$

$$S_{dynH} := \frac{L_D}{l_c} = 3.323 \quad \dots \text{dynamická bezpečnost}$$

Boční

$$L_B := \left(\frac{C_B}{FH_{max}} \right)^{\frac{10}{3}} \cdot 10^5 \cdot \text{m} = (1.218 \cdot 10^4) \text{ m}$$

$$S_{dynB} := \frac{L_B}{l_c} = 3.323 \quad \dots \text{dynamická bezpečnost}$$

6 Zatížení lišty dolních valivých jednotek

$$FD1 := FD_{max} = 61.634 \text{ kN} \quad \dots \text{krajní jednotka}$$

$$FD2 := FD_{max} \cdot \frac{L_{yD2} - y_s}{L_{yD3} - y_s} = 37.173 \text{ kN} \quad \dots \text{vnitřní jednotka}$$

$$F_1 := [0 \ 0 \ -FD1] = [0 \ 0 \ -6.163 \cdot 10^4] \text{ N}$$

$$F_2 := [0 \ 0 \ -FD2] = [0 \ 0 \ -3.717 \cdot 10^4] \text{ N}$$

$$r_1 := [35 \ 12.2 \ 0] \text{ mm}$$

$$r_2 := [105 \ 12.2 \ 0] \text{ mm}$$

$$M_p := \sum_{i=1}^2 r_i^T \times F_i^T = \begin{bmatrix} -1.205 \cdot 10^3 \\ 6.06 \cdot 10^3 \\ 0 \end{bmatrix} \text{ N} \cdot \text{m}$$

$$F_p := \sum_{i=1}^2 F_i = [0 \ 0 \ -9.881 \cdot 10^4] \text{ N}$$

$$r_p := [-70 \ -78 \ 0] \text{ mm}$$

$$M_S := r_p^T \times F_p^T + M_p = \begin{bmatrix} 6.501 \cdot 10^3 \\ -856.127 \\ 0 \end{bmatrix} \text{ N} \cdot \text{m}$$

PŘÍLOHA Č. 15

Valivé jednotky

Linear roller bearings RUS19105 (Series RUS)

with spacer elements

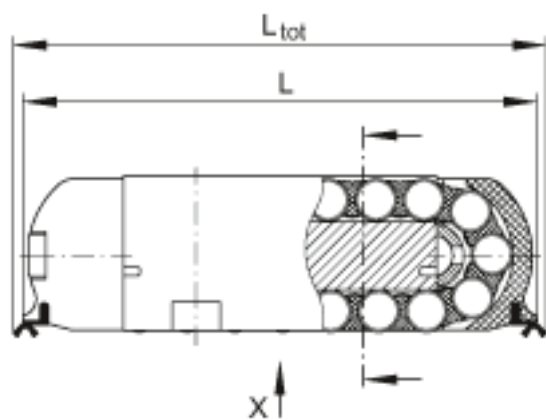
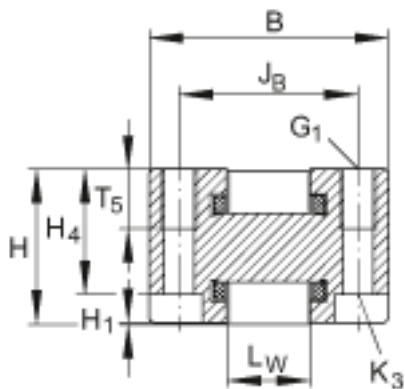
The datasheet is only an overview of dimensions and basic load ratings of the selected product. Please always observe all the guidelines in these overview pages. Further information is given on many products under the menu item "Description". You can also order comprehensive information via the Catalogue ordering system (https://www.schaeffler.de/content.schaeffler.de/en/news_media/index.jsp) or by telephone on +49 (91 32) 82 - 28 97.

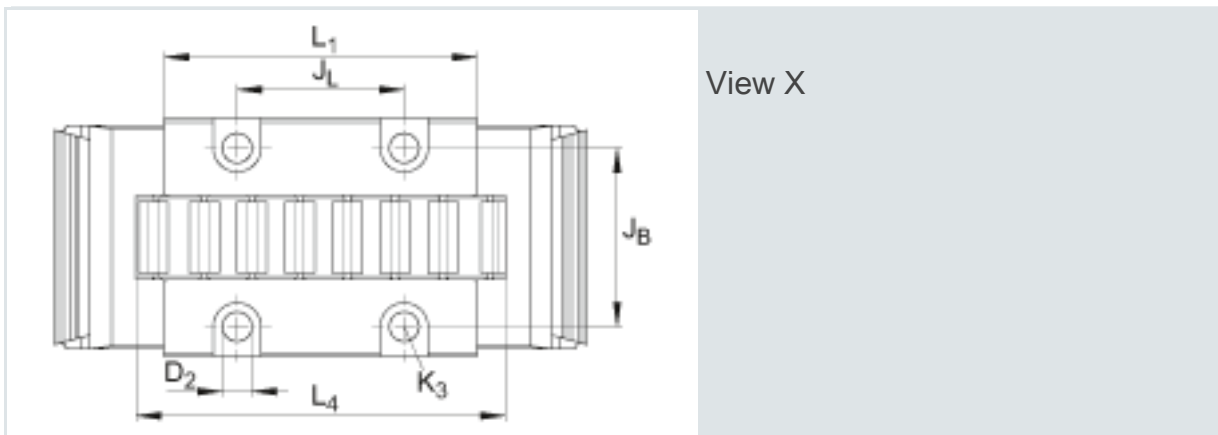
L	105,5 mm
B	27 mm
H	19 mm
D2	3,5 mm
G1	<p>M4 for fixing screws to DIN ISO 4762-12.9 Max. tightening torque [MA]: M4 = 5 Nm M6 = 17 Nm M8 = 41 Nm M10 = 83 Nm M14 = 229 Nm</p> <p>The stated torques represent maximum values for the reliable transmission of forces in vibration-free, quasistatic applications ($S_0=1$). We recommend that the tightening torques of the screw connection to the adjacent construction should be determined at the customer under the specific application conditions and operating conditions, observing the data in VDI Guideline 2230 Part 1 (2015) and the data in the description.</p>

H1	0,2 mm	
H4	15,2 mm	
JB	20,6 mm	Tolerance: +0,1/-0,1
JL	50 mm	Tolerance: +0,1/-0,1
K3	M3	for fixing screws to DIN ISO 4762-12.9 Max. tightening torque [MA]: M4 = 5 Nm M6 = 17 Nm M8 = 41 Nm M10 = 83 Nm M14 = 229 Nm The stated torques represent maximum values for the reliable transmission of forces in vibration-free, quasistatic applications ($S_0=1$). We recommend that the tightening torques of the screw connection to the adjacent construction should be determined at the customer under the specific application conditions and operating conditions, observing the data in VDI Guideline 2230 Part 1 (2015) and the data in the description.
L1 max	79 mm	
L4	85 mm	Minimum support length
L _{tot}	109 mm	≈
L _w	10 mm	
T5	6,2 mm	
m	0,32 kg	≈ Mass
C	68000 N	Basic dynamic load rating

C₀

123000 N Basic static load rating





View X

Linear roller bearings RUS26126 (Series RUS)

with spacer elements

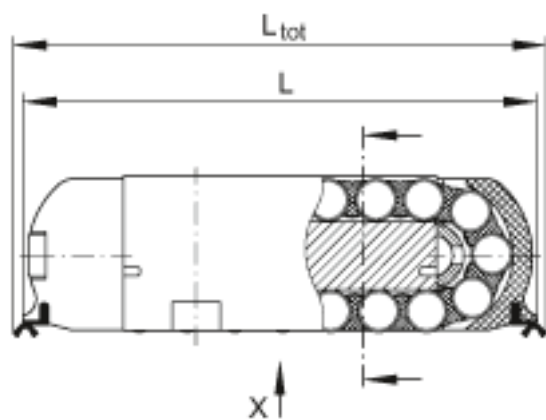
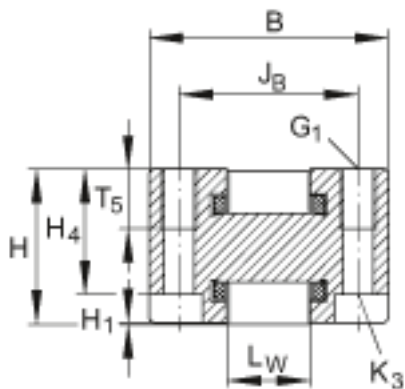
The datasheet is only an overview of dimensions and basic load ratings of the selected product. Please always observe all the guidelines in these overview pages. Further information is given on many products under the menu item "Description". You can also order comprehensive information via the Catalogue ordering system (https://www.schaeffler.de/content.schaeffler.de/en/news_media/index.jsp) or by telephone on +49 (91 32) 82 - 28 97.

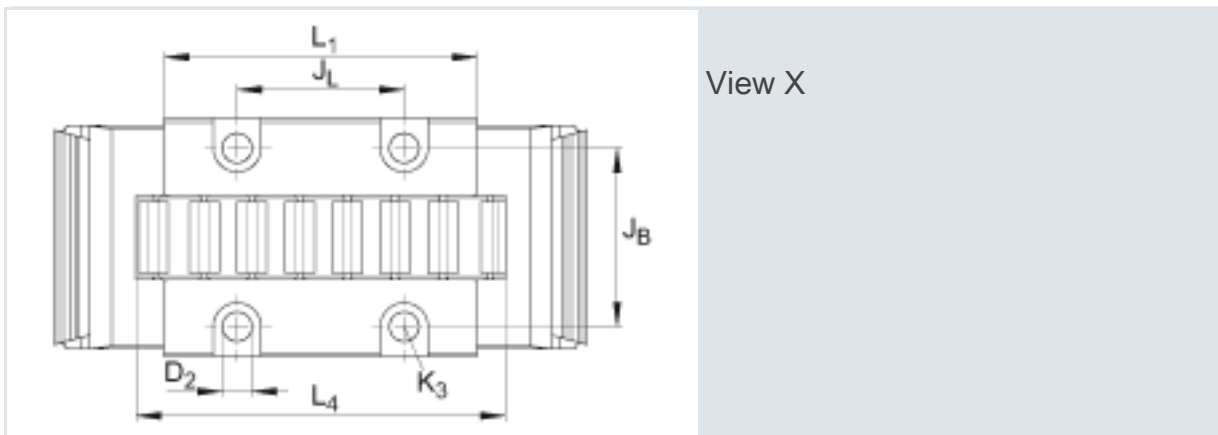
L	126,5 mm
B	40 mm
H	26 mm
D2	4,9 mm
G1	<p>M6 for fixing screws to DIN ISO 4762-12.9 Max. tightening torque [MA]: M4 = 5 Nm M6 = 17 Nm M8 = 41 Nm M10 = 83 Nm M14 = 229 Nm</p> <p>The stated torques represent maximum values for the reliable transmission of forces in vibration-free, quasistatic applications ($S_0=1$). We recommend that the tightening torques of the screw connection to the adjacent construction should be determined at the customer under the specific application conditions and operating conditions, observing the data in VDI Guideline 2230 Part 1 (2015) and the data in the description.</p>

H1	0,2 mm
H4	21 mm
JB	30 mm Tolerance: +0,1/-0,1
JL	68 mm Tolerance: +0,1/-0,1
K3	<p>M4 for fixing screws to DIN ISO 4762-12.9 Max. tightening torque [MA]: M4 = 5 Nm M6 = 17 Nm M8 = 41 Nm M10 = 83 Nm M14 = 229 Nm</p> <p>The stated torques represent maximum values for the reliable transmission of forces in vibration-free, quasistatic applications ($S_0=1$). We recommend that the tightening torques of the screw connection to the adjacent construction should be determined at the customer under the specific application conditions and operating conditions, observing the data in VDI Guideline 2230 Part 1 (2015) and the data in the description.</p>
L1 max	93 mm
L4	103 mm Minimum support length
L _{tot}	130 mm ≈
L _w	14 mm
T5	10,2 mm
m	0,8 kg ≈ Mass
C	122000 N Basic dynamic load rating

C₀

209000 N Basic static load rating





View X

PŘÍLOHA Č. 16

Mechanismus posuvu

	Customer data	Your contact	
Company Contact Street ZIP / Town Phone E-mail	ZČU v Plzni	ZČU v Plzni Martin Beber 30100 beber@students.zcu.cz	
Your project:	Project 1	Date:	18.07.2020
Your variation:	Variant 1		
Your axes:	Axis 1		

1 General notes

The data provided by you forms the basis for the calculation performed with cymex®. WITTENSTEIN alpha does not assume any responsibility for the accuracy and completeness of this data – by ordering, you are confirming the accuracy of the data provided by you.

The calculation documentation is based on your customized design. This non-binding recommendation does not release you from your duties or responsibilities, which include compliance with legal and safety regulations, and completion of a functional test. We remind you that the permitted load values for the selected products may not be exceeded under any operating conditions.

This recommendation, which is based on the calculation performed with cymex® is not suitable for application and/or transfer to other products, data, applications, etc.

Please note that the cymex® calculation documentation is protected by copyright.

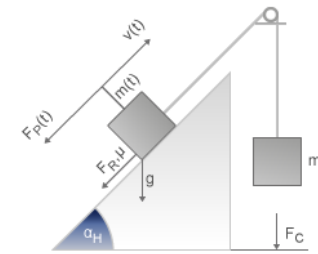
2 Your application



2.1 Project description

2.2 Linear load application

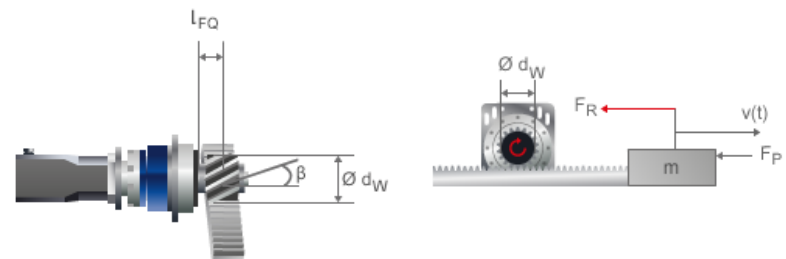
Parameter	Value	Parameter	Value
Friction coefficient μ	0.05	Total mass to be moved m	4000 kg
Friction force F_R	0 N	Max. process force F_P	48000 N
Angle to horizontal α_H	0 °	Max. speed v_{max}	0.26 m/s
Compensation force F_C	0 N	Max. acceleration a_{max}	1 m/s²
Counter mass m_C	0 kg		



Missing data has been replaced with empirical data, which must be checked and corrected if necessary.

2.3 Rack and pinion manual mechanism

Parameter	Value	Parameter	Value
Diameter pinion d_w	15 mm	Helix angle pinion β	0 °
Lever arm lateral force l_{FQ}	60 mm	Efficiency η	99.5 %

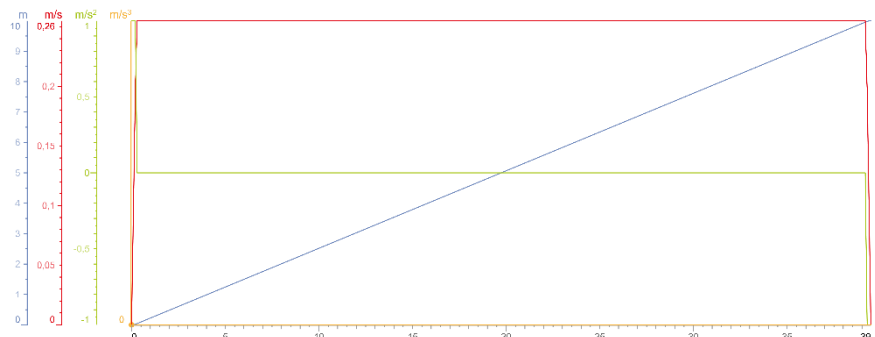


Missing data has been replaced with empirical data, which must be checked and corrected if necessary.

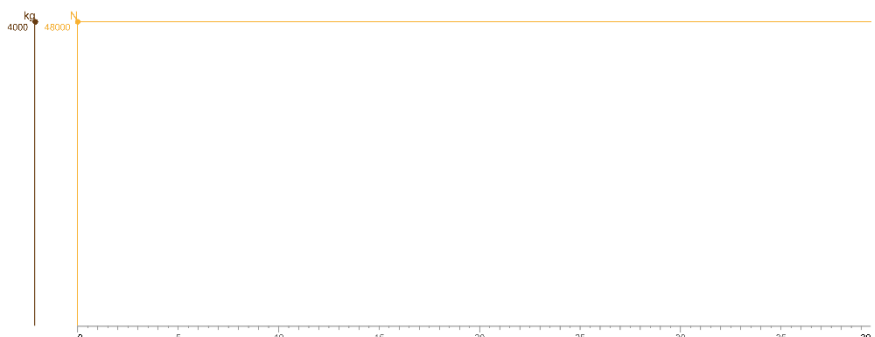
2.4 Cycle data

Parameter	Value	Parameter	Value
Movement duration t_{mov}	39.47 s	Duty cycle ED	100 %
Cycle duration t_{cyc}	39.47 s	Number of cycles per hour n/h	91.21

2.5 Movement profile



2.6 Load profile



3 Drive design

3.1 Coupling transformation

Parameter	Value
Moment of inertia J	0 kgcm²



3.2 Gearbox

Type: Low backlash planetary gearbox TP+
 Designation: TP050S-MF1-4-011-2S
 Utilization total: 97 %

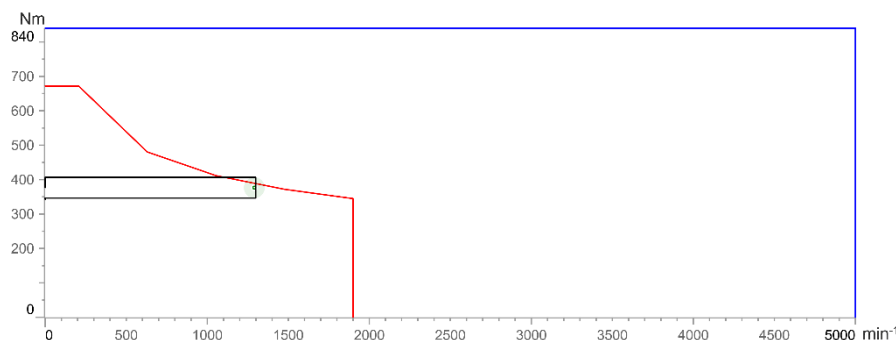
Features	Value
Ratio i	4
Output design	Flange
Max. Backlash value j_t	≤ 3 arcmin
Design keyword	Standard



Parameter	Calculated Value	Permissible Value	Utilization
Max. acceleration torque at output (with impact factor 1) $T_{2a}(fs)$	406.75 Nm	840 Nm	48 % 
Nominal torque at output T_{2N}	376.61 Nm	389.42 Nm	97 % 
Max. speed rotative n_{1Max}	1298.7 min ⁻¹	5000 min ⁻¹	26 % 
Nominal speed rotative n_{1N}	1290.31 min ⁻¹	1427 min ⁻¹	90 % 
Max. axial force F_{2AMax}	0 N	6130 N	0 % 
Max. tilting moment M_{2KMax}	0 Nm	1335 Nm	0 % 
Ratio of inertia lambda λ with respect to gearbox output	0.93	-	-
Bearing lifetime L_{10}	>20000 h	-	-

¹⁾ WITTENSTEIN recommends using this λ value for determining the control precision

Gearbox characteristic curve



Gearbox characteristic curve key

Grey	Characteristic curve application
Black	Characteristic curve application (with load factor 1)
Green	Operating point of application (T_N and n_{1N})
Red	S1 characteristic curve
Blue	S5 characteristic curve

Messages

✖ Errors

⚠ Warnings

ⓘ Notes

3.3 Coupling transformation

Parameter	Value
Moment of inertia J	0 kgcm ²



3.4 Motor

Manufacturer:

Bosch Rexroth

Type:

MSK101E-0200-FN-__-__-

Utilization total:

92 % 

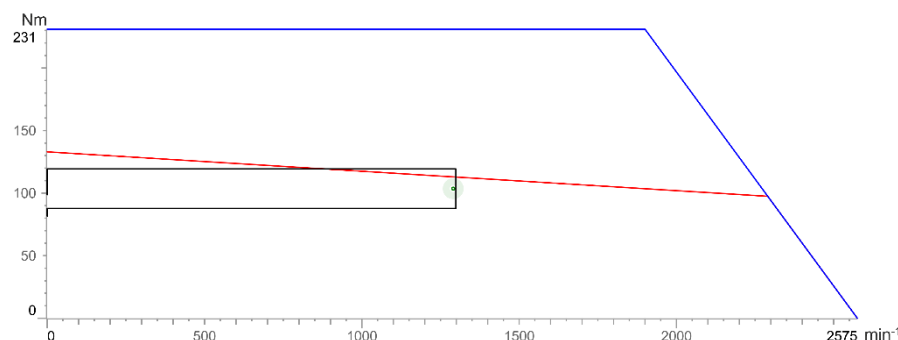
Features	Value
Inertia J	138 kgcm ²
Shaft diameter d	38 mm



Parameter	Calculated value	Permissible value	Utilization
Max. torque T_{Max}	119.37 Nm	231 Nm	52 % 
Max. speed n_{Max}	1298.7 min^{-1}	3500 min^{-1}	37 % 
Nominal speed n_{N}	1290.31 min^{-1}	3500 min^{-1}	37 % 
Ratio of inertia lambda λ with respect to motor shaft	1.11	-	-
Average torque T_{RMS}	103.58 Nm	See S1 characteristic curve	-
Utilization curve (S1)	-	-	92 % 
Max. utilization curve (S5)	-	-	58 % 

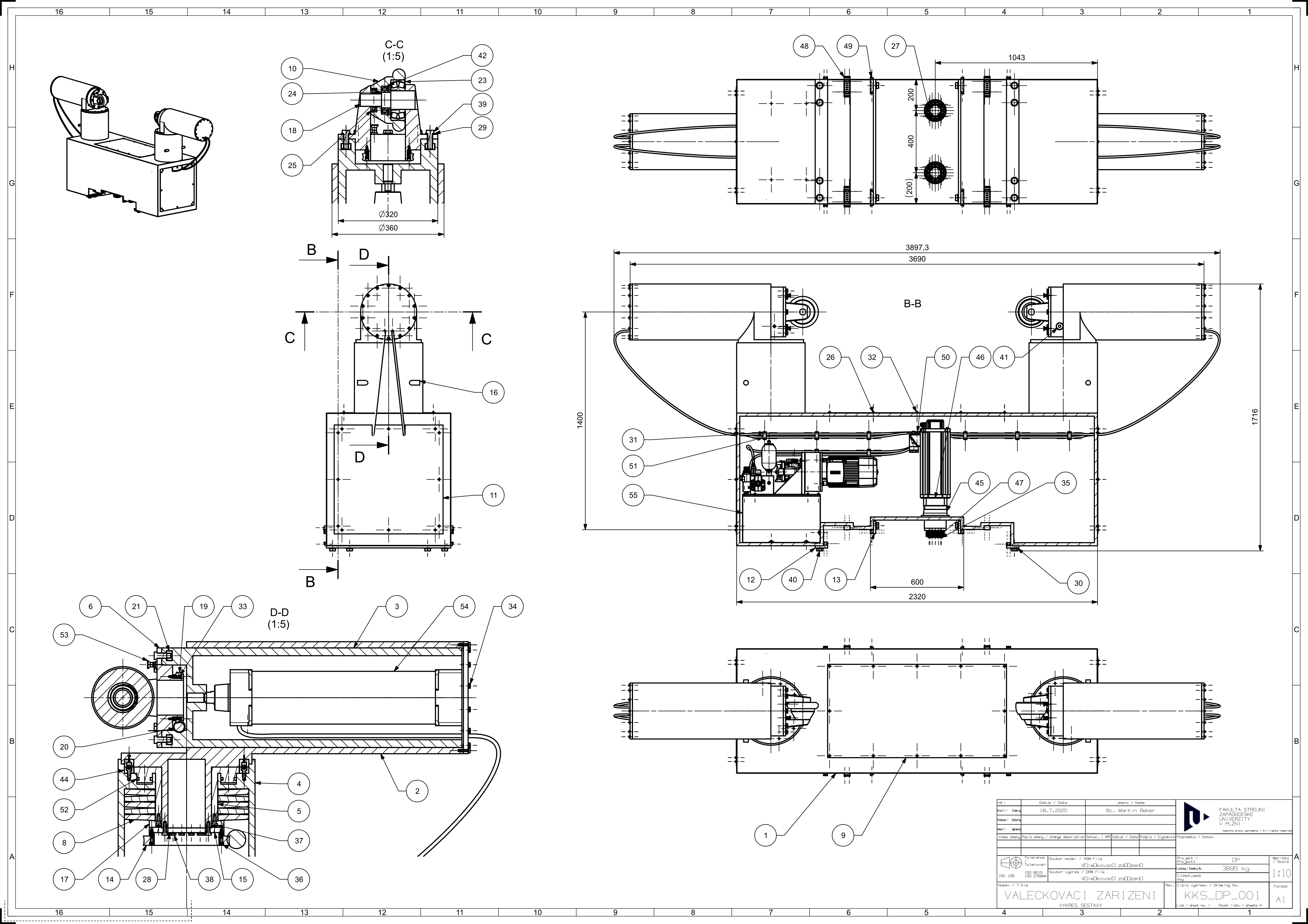
The motor in the application design is included for example purposes only. It is the responsibility of the manufacturer to confirm the suitability of the motor. Please note that some values may not be defined by certain manufacturers.

Motor characteristic curves



Motor characteristic curve key

Black	Characteristic curve application
Green	Operating point application (T_{RMS} und n_{N})
Red	S1 characteristic curve
Blue	S5 characteristic curve



POZ.	POPIS	HMOT. (kg)	MNOŽ.
1	SANĚ	1110,97	1
2	TĚLESO VEDENÍ	216,20	2
3	PINOLA		2
4	VĚŽ	126,16	2
5	TĚLESO ZDVIHU	25,93	2
6	TĚLESO VÁLEČKOVACÍ HLAVICE	24,49	2
7	VÁLEČEK VYHLAZOVACÍ	14,30	1
8	TALÍŘOVÁ PRUŽINA	13,20	10
9	KRYCÍ PLECH HORNÍ	10,80	1
10	VÁLEČEK TVÁŘECÍ	9,09	1
11	KRYCÍ PLECH BOČNÍ	7,64	2
12	LIŠTA DOLNÍ	7,45	2
13	LIŠTA BOČNÍ	7,07	2
14	ŠNEKOVÉ KOLO 1	6,79	2
15	PŘÍRUBA NATÁČENÍ	4,11	2
16	ŠNEK 1	3,87	2
17	PŘÍRUBA UPNUTÍ	3,73	2
18	OSA	2,86	2
19	ŠNEKOVÉ KOLO 2		2
20	ŠNEK 2		2
21	MATICE	0,21	16
22	VÍČKO	0,17	2
23	LOŽISKO SKF 22312 E	2,95	2
24	LOŽISKO SKF 6210	0,46	2
25	LOŽISKO 81208 TN	0,25	1

CAD 1 Datum / Date

Jmeno / Name

Kreslil / Drawn by

25.7.2020

Martin Beber

Prekreslil / Checked by

Schvalil / Approved by

Index zmeny

Popis zmeny / change description

Schval. / APP

Datum / Date

Podpis / Signature



FAKULTA STROJNÍ
ZÁPADOČESKÉ
UNIVERZITY
V PLZNI

Všechna práva vyhrazena / All rights reserved

Poznámka / Note:

Tolerance

Soubor-model / ASM-file

Tolerování

Válečkovací zařízení

Projekt /
Project:

DP

Měřitko /
Scale

ISO 128

Soubor-vykres / DRW-file

ISO 8015

Válečkovací zařízení

ISO 2768mK

C. sestavy / Assembly No.

3895

kg

1 : 10

Nazev / Title

C. hmot. sestavy

VALECKOVACI ZARIZENI
KUSOVNIK

List / sheet no. 2

Pocet listu / sheets 4

Rev.

Cislo vykresu / Drawing No.

2

KKS_DP_001

Format

A4

4

3

2

1

POZ.	POPIS	HMOT. (kg)	MNOŽ.
25	LOŽISKO SKF 81208 TN	0,25	1
26	PODLOŽKA 6	-	36
27	PODLOŽKA 8	-	52
28	PODLOŽKA 10	-	28
29	PODLOŽKA 16	0,01	8
30	PODLOŽKA 24	0,03	12
31	ŠROUB M3X16	-	34
32	ŠROUB M6X10 - 8.8	-	36
33	ŠROUB M6X30	0,01	16
34	ŠROUB M8X25	0,01	28
35	ŠROUB M8X40	0,02	24
36	ŠROUB M8X45	-	16
37	ŠROUB M10X20 - 10.9	0,03	68
38	ŠROUB M10X35	0,03	28
39	ŠROUB M16X50 - 10.9	0,11	8
39	ŠROUB M16X50 - 10.9	0,10	8
40	ŠROUB M24X35 - 12.9	0,24	12
41	POJISTNÝ KROUŽEK 45	0,01	2
42	POJISTNÝ KROUŽEK 90	0,05	2
44	HIRTH RING ROHM 400 -120	5,71	4
45	PŘEVODOVKA WITTENSTEIN TP 050S-MF1-4-0I1-2S	26,42	2
46	SERVOPOHON BOSCH REXROTH MSK101E-0200-FN	-	2
47	PASTOREK WITTENSTEIN RMW 300-444-21G0-055	2,15	2
48	VALIVÁ JEDNOTKA INAFAG RUS26126	0,96	4
48	KOLIK_9	0,01	16

Kreslil / Drawn by

Datum / Date

Jmeno / Name

Prekreslil / Checked by

25.7.2020

Martin Beber

Schvalil / Approved by

Index zmeny / Change description

Popis zmeny / change description

Schval. / APP

Datum / Date

Podpis / Signature



FAKULTA STROJNÍ
ZAPADOČESKÉ
UNIVERZITY
V PLZNI

Všechna práva vyhrazena / All rights reserved

Poznámka / Note:

Tolerance / Tolerování

ISO 128

ISO 8015

ISO 2768mK

Soubor-model / ASM-file

Výrobekovací zadávání

Projekt / Project:

DP

Měřítko / Scale

1 : 10

C. sestavy / Assembly No.

3895 kg

C. hmot. sestavy

Nazev / Title

Rev.

Cislo vykresu / Drawing No.

Format

A4

VALECKOVACÍ ZARIŽENÍ

KUSOVNIK

KKS_DP__001

List / sheet no. 3 Pocet listu / sheets 4

4

3

2

1

4

3

2

1

POZ.	POPIS	HMOT. (kg)	MNOŽ.
49	VALIVÁ JEDNOTKA INAFAG RUS19105	0,39	12
50	T SPOJKA T06SCF	0,13	2
51	CLAMP	0,12	9
D	52 PÍSTNÍ TĚSNĚNÍ K735-X50X36X9	0,07	8
	53 ARETAČNÍ ČEP K0338 1206	0,06	4
	54 HYDROMOTOR 125 - 550	71,60	2
	55 HYDRAULICKÝ AGREGÁT	1,28	1

C

C

B

B

CAD 1	Datum / Date	Jmeno / Name	 <p>FAKULTA STROJNÍ ZAPADOČESKÉ UNIVERZITY V PLZNI</p> <p>Všechna práva vyhrazena / All rights reserved</p>							
Kreslil / Drawn by	25.7.2020	Martin Beber								
Překreslil / Checked by										
Scholil / Approved by										
Index zmeny	Popis zmeny / change description	Schval. / APP		Datum / Date	Podpis / Signature					
Poznámka / Note:										
<table border="1"> <tr> <td rowspan="2">  Tolerance / Tolerování ISO 128 </td> <td>Soubor-model / ASM-file Valeckovac zařízení</td> <td>Projekt / Project: DP</td> <td rowspan="2">Měřitko / Scale: 1 : 10</td> </tr> <tr> <td>Soubor-vykres / DRW-file Valeckovac zařízení</td> <td>C. sestavy / Assembly No. 3895 kg</td> </tr> </table>					 Tolerance / Tolerování ISO 128	Soubor-model / ASM-file Valeckovac zařízení	Projekt / Project: DP	Měřitko / Scale: 1 : 10	Soubor-vykres / DRW-file Valeckovac zařízení	C. sestavy / Assembly No. 3895 kg
 Tolerance / Tolerování ISO 128	Soubor-model / ASM-file Valeckovac zařízení	Projekt / Project: DP	Měřitko / Scale: 1 : 10							
	Soubor-vykres / DRW-file Valeckovac zařízení	C. sestavy / Assembly No. 3895 kg								
Název / Title	Rev.	Cílo vykresu / Drawing No.	Format							
VALECKOVACI ZARIZENI			KKS_DP_001	A4						
KUSOVNIK		List / sheet no. 4	Pocet listu / sheets 4							

4

3

2

1

8

7

6

5

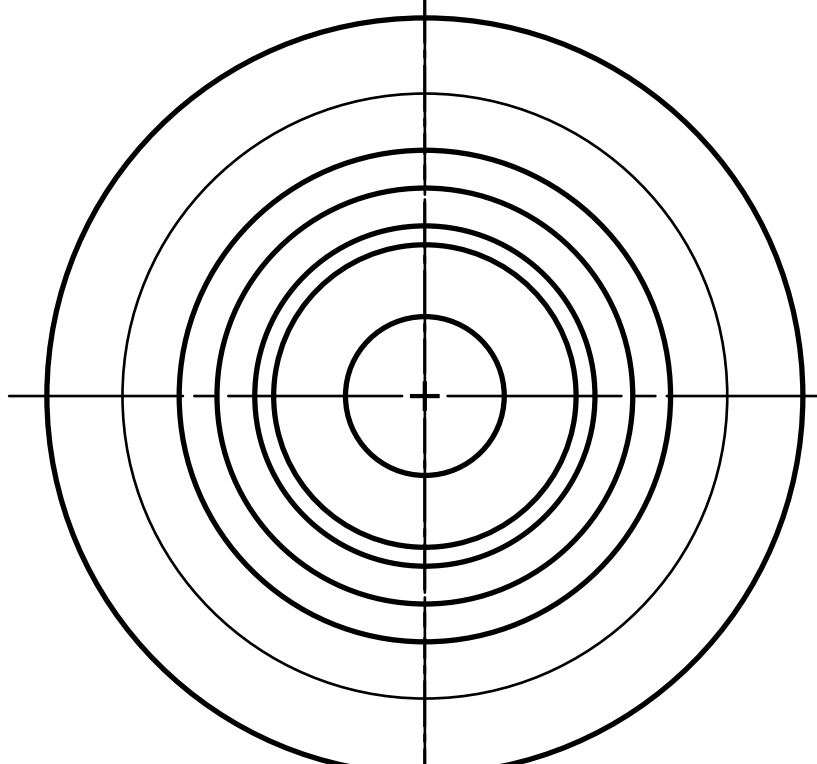
4

3

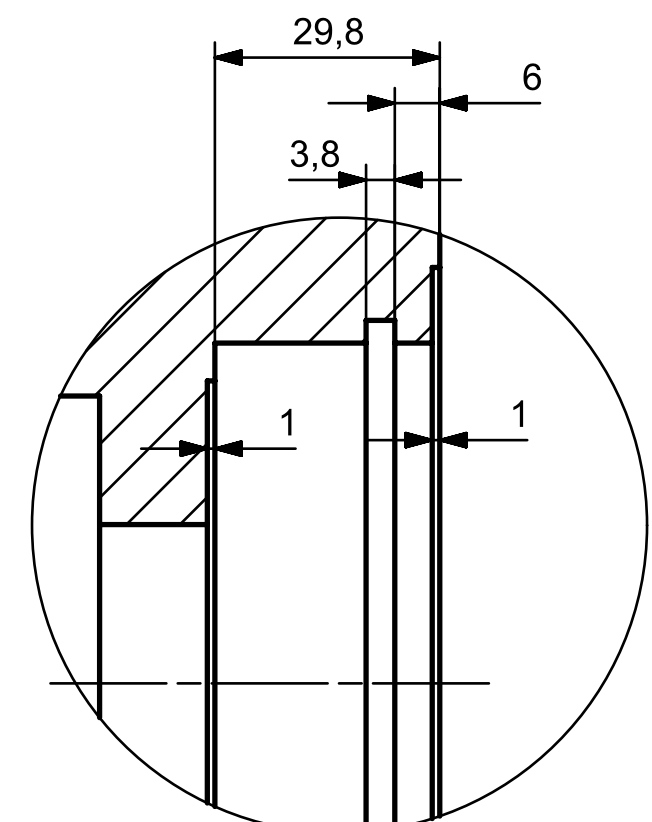
2

1

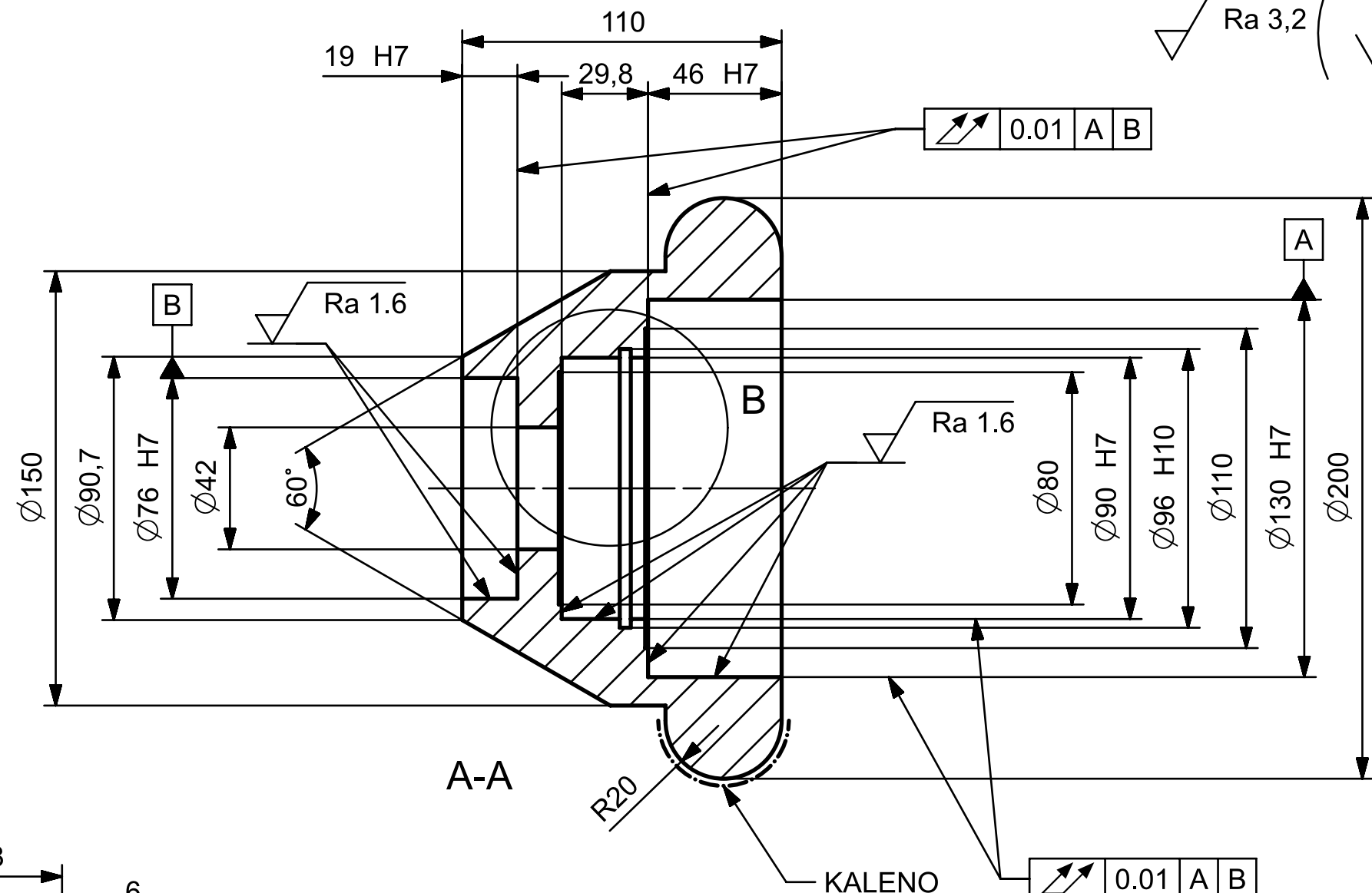
A



A



DETAIL B
SCALE 1:1



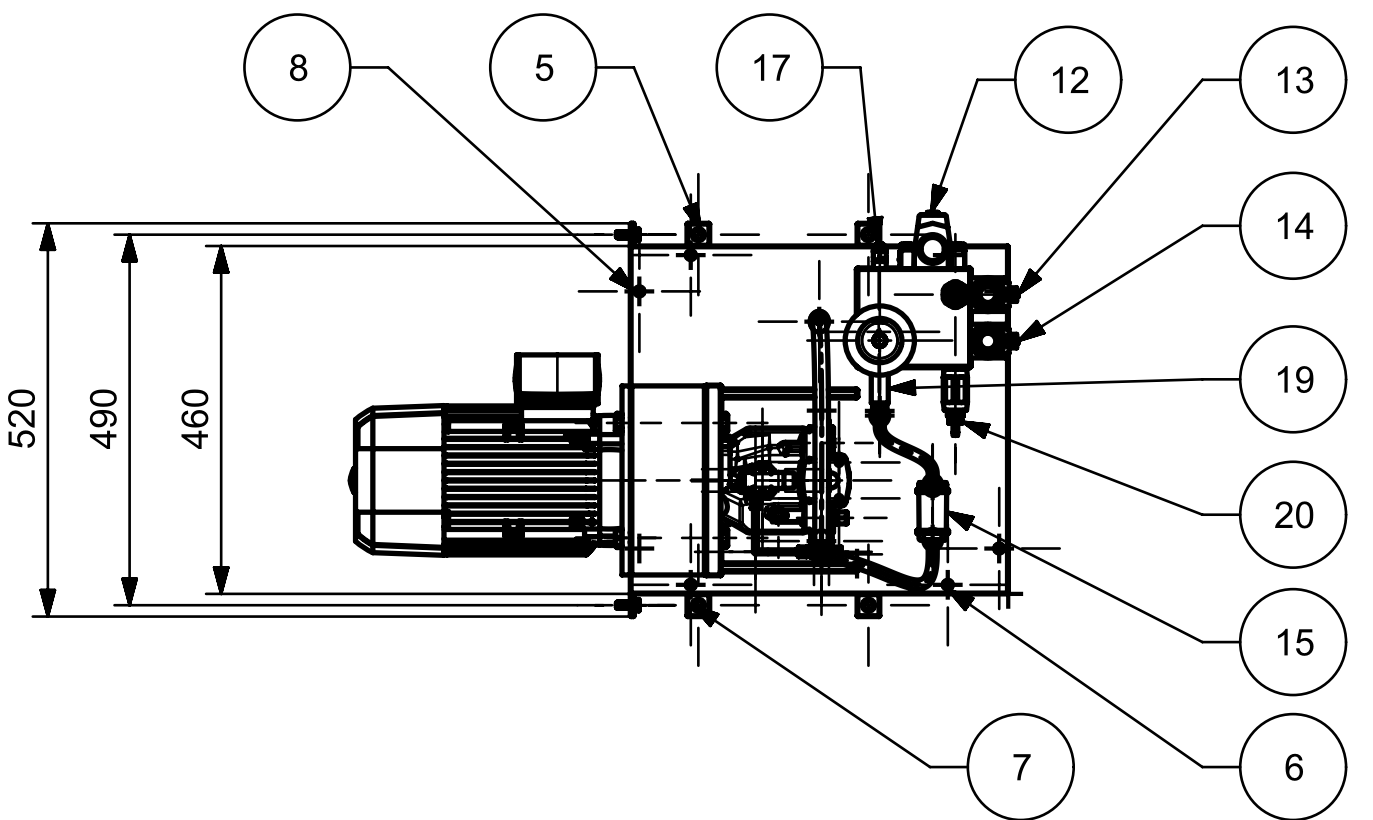
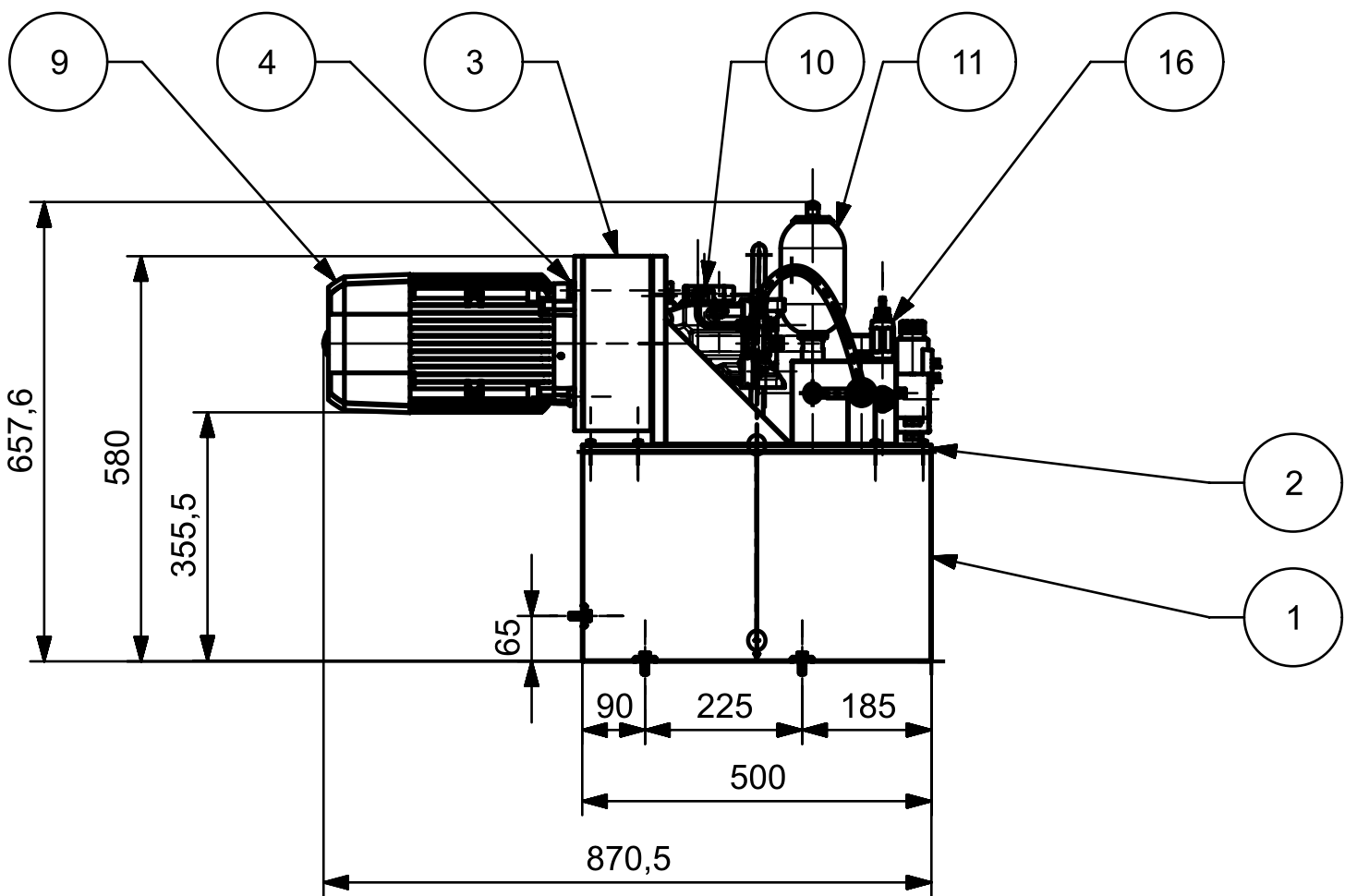
TVÁŘECÍ PLOCHU VÁLEČKU KALIT 62-64 HRC

10	KR 210-120	/	9,090	KKS_DP_001	-
Poz.	Nazev - rozmer	Polotovar	Material konecny/vychazi	T.O. C.hmot.	H.hmot. Cislo vynkresu sestavy
Pos.	Title - size	Blank	End material/Start material	C.W. Weight	R.wei g. Assembly drawing no. Quant.
CAD 1	Datum / Date	Jmeno / Name			
Kreslil / Drawn by	23.7.2020	Martin Beber			
Překusel / Checked by					
Schvalil / Approved by					
Index zmeny	Popis zmeny / change description	Schval. / APP	Datum / Date	Podpis / Signature	Poznamka / Note:
	Tolerance / Tolerovani	Soubor-model / ASM-file	Kladka	Projekt / Project:	DP
ISO 128	ISO 8015 ISO 2768mK	Soubor-vynkres / DRW-file	Kladka	Cestovy / Assembly No.	KKS_DP_001
Nazev / Title				Cislo vynkresu / Drawing No.	KKS_DP_002
				List / sheet no. 1	A3
				Pocet listu / sheets 1	

FAKULTA STROJNÍ
ZAPADOČESKÉ
UNIVERSITY
V PLZNI

Všechna práva vyhrazena / All rights reserved





20	KONCOVKA 3D082-8-4		3
19	ZPĚTNÝ VENTIL S6A00-10420J3		1
17	PŘEPOUŠTĚCÍ VENTIL DBDS 4 K1X 200V		1
16	ŠKRTÍCÍ VENTIL MK 6 G 1X		2
15	HYDRAULICKÝ FILTR REXROTH F4W6		1
14	VENTIL SMĚROVÝ SEDLOVÝ M-3SED 6 CK1X 350CG24K4		1
13	VENTIL SMĚROVÝ SEDLOVÝ M-3SED 6 UK1X 350CG24K4		1
12	TLAKOVÝ REDUKČNÍ VENTIL REXROTH DR 10-5-4X/100YMV		1
11	AKUMULÁTOR EHV 10		1
10	ČERPADLO BOSCH AA10VSO-18		1
9	ELEKTROMOTOR SIEMENS 1AL132S-4		1
8	PODLOŽKA 6	CSN EN ISO 7089	8
7	PODLOŽKA 8	CSN EN ISO 7089	6
6	ŠROUB M6X20 - 8.8	CSN EN ISO 4017	8
5	ŠROUB M8X25 - 8.8	CSN EN ISO 4017	6
4	ŠROUB M14X60 - 8.8	CSN EN ISO 4017	8
3	SPOJKA	SPVS1-01-03	1
2	BLOK	SPVS1-01-02	1
1	NADRZ	SPVS1-01-01	1
POZ. NÁZEV - OZNAČENÍ			VÝKRES/NORMA/MATERIÁL
			MNOŽ.

CAD 1	Datum / Date	Jmeno / Name	
Kreslil / Drawn by	19.07.2020	MARTIN BEBER	
Prozoušel / Checked by			
Schvalil / Approved by			
Index zmeny / Popis zmeny / change description		Schval. / APP	Datum / Date
			Podpis / Signature
			Poznámka / Note:
Tolerance / Tolerovani	Soubor-model / ASM-file hydraulicky_obvod		
ISO 128	ISO 8015	ISO 2768mK	Cestav / Assembly No.
			C.hmot.sestavy
			0,00
			Merítka / Scale
			1 : 10
Název / Title	Rev.	Cislo vykresu / Drawing No.	Format
HYDRAULICKA JEDNOTKA	0	SPVS1 - 01	A3
List / sheet no. 1	Pocet listu / sheets 1		

FAKULTA STROJNÍ
ZAPADOČESKÉ
UNIVERSITY
V PLZNI

Všechna práva vyhrazena / All rights reserved